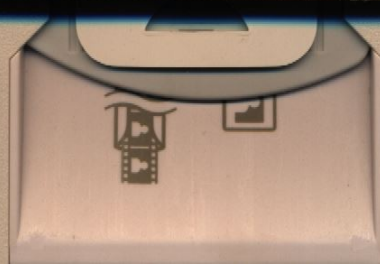


ISSN 0201-8489

Физиологический
журнал

Том 32
1986

4





АКАДЕМИЯ НАУК УКРАИНСКОЙ ССР
ИНСТИТУТ ФИЗИОЛОГИИ им. А. А. БОГОМОЛЬЦА

ФИЗИОЛОГИЧЕСКИЙ ЖУРНАЛ

Научно-теоретический журнал ● Основан в 1955 г. ● Выходит 1 раз в 2 месяца

Том 32, № 4, июль—август, 1986

Киев Наукова думка

(111) київського університету фізіології
академічного та науково-технічного розвитку
наукової та підприємницької діяльності

Міжнародний журнал фундаментальної та клінічної фізіології та фізіотерапії

УДК 591.88:591.481.1

Н. С. Косицьн, В. М. Сердюченко, С. В. Гетманцев

ВЛИЯНИЕ ЭКСПЕРИМЕНТАЛЬНОГО ПОВРЕЖДЕНИЯ АПИКАЛЬНЫХ ДЕНДРИТОВ ПИРАМИДНЫХ НЕИРОНОВ СЕНСОМОТОРНОЙ КОРЫ НА УСЛОВНЫЕ РЕФЛЕКСЫ РАЗНОЙ СТЕПЕНИ СЛОЖНОСТИ

Для изучения сложных функций мозга, в частности высшей нервной деятельности животных, раньше широко применяли метод, основанный на экспериментальном повреждении различных областей коры больших полушарий. Так, ценные результаты получены с помощью этого метода в лабораториях И. П. Павлова, Э. А. Асратяна, Ю. М. Конорского и др. [1, 5, 10]. Однако метод экстирпации имел существенный недостаток, так как неизбежно приводил к деструкции корковых и (или) подкорковых образований мозга. Поэтому впоследствии нейрофизиологи стали применять методы обратимого выключения различных отделов коры: локальное охлаждение [3], распространяющуюся депрессию [4], фармакологическое воздействие и т. д., что положительно сказалось на результатах изучения работы мозга. Однако, с нашей точки зрения, и при таких методах выключалась довольно значительная область коры со всеми многочисленными составляющими ее элементами. В настоящее время уже можно ставить вопрос, какой функциональный вклад вносят определенные клеточные элементы (и даже отдельные фрагменты нервных клеток) в условно-рефлекторную деятельность животных, так как разработана модель функционального выключения апикальных дендритов корковых нейронов [8].

Авторы данной статьи поставили перед собой задачу выяснить, как функциональное выключение апикальных дендритов пирамидных нейронов сенсомоторной коры отразится на инструментальных условных рефлексах разной степени сложности.

Методика

Работу проводили в условиях хронического эксперимента на 15 кошках: три группы животных по пять в каждой. Предварительно всем животным вживляли раздражающие никромовые электроды в специфическое заднее вентролатеральное (VPL) ядро таламуса и регистрирующие серебряные электроды в сенсомоторную кору в об-

РЕДАКЦИОННЫЙ СОВЕТ

Ф. Н. Серков
Г. М. Бутенко
Ф. П. Ведяев
Н. Н. Горев
З. С. Донцова
В. Н. Казаков
А. В. Квасницкий
К. В. Кованов
В. П. Комиссаренко
А. О. Навакаткиян
В. Н. Никитин
Е. Н. Панасюк
В. С. Райцес
П. И. Сябров
Г. И. Федорович
Г. А. Хасабов
А. И. Хомазюк

Серков
и Г. С. Сокирко

24, ул. Богомольца, 4

Немировская
Дибуля
С. Божок

594. Формат 70×108/16. Выс. печ.
59. Тираж 1000 экз. Заказ 6-418.
252004, Киев 4, ул. Репина, 4.



ласти представительства передней конечности [8]. Концы всех электродов припаивали к разъему, который прочно крепили на черепе с помощью цемент-фосфата и протакрила, края раны зашивали. Все это позволяло длительно использовать животное в хроническом эксперименте. Через 3–5 сут после операции по поводу вживления электродов у кошек вырабатывали инструментальные условные рефлексы (УР) разной степени сложности. Схематически эти УР изображены на рис. 1.

У первой группы животных вырабатывали наиболее простой инструментальный УР на натуральный раздражитель, в частности на вид и запах мяса. При подаче кормушки с кусочком мяса, прикрытым ограничителем, кошку обучали доставать мясо

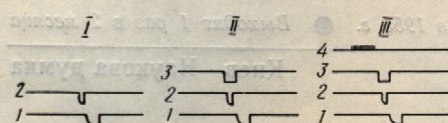


Рис. 1. Схематическое изображение инструментальных условных рефлексов (УР) на натуральный раздражитель (I), обстановку (II), искусственный раздражитель разной степени сложности (III):
1 — отметка лапы в кормушке; 2 — отметка кормушки; 3 — отметка нажатия на педаль; 4 — отметка раздражения.

правой передней лапой. Этот рефлекс близок к естественным двигательным рефлексам животного, поэтому он вырабатывался довольно быстро: в течение одного или нескольких опытов.

У второй группы животных вырабатывали более сложный инструментальный УР на обстановку, где условный стимул — экспериментальная ситуация. Помещенную в камеру кошку обучали нажимать правой передней лапой на педаль. После этого ей подавали кормушку с мясом, которое она должна была доставать той же лапой.

У третьей группы животных вырабатывали наиболее сложный инструментальный УР на искусственный раздражитель. Условным сигналом служило низкочастотное (4 Гц) электрическое раздражение ядра VPL в течение 3 с. Параметры этого раздражения подбирали таким образом, чтобы в ответ на него в сенсомоторной коре были оптимально выражены вызванные потенциалы (ВП). Обычно сила раздражающего тока составляла 0,1–0,2 мА при длительности отдельного прямоугольного импульса 0,2 мс. Кошку обучали в ответ на действие условного стимула нажимать правой передней лапой на педаль. После этого подавали кормушку с мясом, которое она брала той же лапой. В процессе проявления УР регистрировали ВП сенсомоторной коры в пункте представительства «работающей» конечности. Эти ВП усредняли методом алгебраического суммирования на ЭВМ «АТАС 501-10» японской фирмы Nihon Kohden.

Все УР регистрировали на чернильнопишуемом энцефалографе. Регистрация рефлекса второй группы приведена на рис. 2, третьей — на рис. 3. После упрочнения всех УР животных (через предварительно вживленные в VPL раздражающие электроды под нембуталовым наркозом) подвергали длительной (в течение 2 ч) высокочастотной (100 Гц) электростимуляции по ранее описанной методике [8]. Когда животные выходили из наркоза, у них проверяли сохранность выработанных условных рефлексов. У части животных сразу после высокочастотной электростимуляции VPL, проводимой в условиях острого опыта, мозг подвергали транскардиальной перфузии фиксатором, содержащим 1,25 %-ный раствор глютарового альдегида и 0,4 %-ный раствор параформальдегида, приготовленный на фосфатном буфере (0,1 моль/л) при pH 7,4. Под регистрирующими электродами и в симметричной области коры противоположного полушария, служащей контролем, вырезали кусочки сенсомоторной коры, которые обрабатывали стандартным способом для электронно-микроскопического анализа. Ультратонкие срезы толщиной 40 нм приготовляли на ультратоме LKB-IV, дополнительно контрастировали на сетках растворами уранилацетата и цитрата свинца и просматривали в электронном микроскопе JEM-100B. Часть ткани коры для светооптического анализа обрабатывали модифицированным методом Гольджи.

Результаты и их обсуждение

Как мы уже сообщали [8], электронно-микроскопический анализ сенсомоторной коры, проведенный сразу после стимуляции, выявлял существенные нарушения ультраструктуры нервных элементов коры ипсилатерального по отношению к стимулируемому ядру полушария. Они касались, в первую очередь, апикальных дендритов пирамидных нейронов и проявлялись в полной дезагрегации специфического микротубулярного аппарата дендритов и появление в полостных вакуолей. У больших в то время как остальные их компоненты (цитоплазмы) и компоненты окружные окончания, глиальные отростки изменились.

Нарушения в цитоплазме коры, куда приходит запечатлены [2, 14], и в области представите-

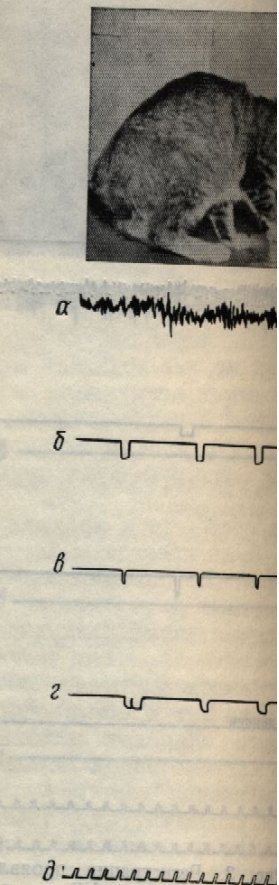


Рис. 2. Регистрация и
а — ЭЭГ сенсомоторной области коры; б — отметка лапы в кормушке; в — лены фотографии кошки, ил.

стороне стимуляции. В аналогичной ядру полушария, у тех же животных не обнаружены: в их цитоплазме со стороны стимуляции микротрубочек, которая встречается в ядру полушария.

Анализ ВП экспериментального ядру полушария существенно не меняются в двухчасовой высокочастотной электри-

Зная о существенных морфологических изменениях коры, вызванных стимуляцией, как такие изменения, как дезагрегация апикальных дендритов пирамидных клеток, проявляются в поведении животных.

Физиол. журн., 1986, т. 32, № 4

Концы всех электродов припаивали мощью цемент-фосфата и протакрило использовать животное в хронии по поводу вживления электродовые рефлексы (УР) разной степени с. 1.

аиболее простой инструментальный вид и запах мяса. При подаче корнем, кошкам обучали доставать мясо

1. Схематическое изображение инструментальных условных рефлексов на натуральный раздражитель (I), ановку (II), искусственный раздражатель разной степени сложности (III): 1 — отметка лапы в кормушке; 2 — отметка ушки; 3 — отметка нажатия на педаль; 4 — отметка раздражения.

тественным двигательным рефлексам быстр: в течение одного или не-

млее сложный инструментальный УР ентральная ситуация. Помещенную в й лапой на педаль. После этого ей была доставать той же лапой.

аиболее сложный инструментальный сигналом служило низкочастотное значение 3 с. Параметры этого раздражения него в сенсомоторной коре были I). Обычно сила раздражающего то-тдельного прямоугольного импульса ого стимула нажимать правой перед-шку с мясом, которое она брала той ли ВП сенсомоторной коры в пункте ВП усредняли методом алгебраиче-ской фирмы Nihon Kohden.

ем энцефалографе. Регистрация реф-ей — на рис. 3. После упрочнения иные в VPL раздражающие электро-ельной (в течение 2 ч) высокочастот-ной методике [8]. Когда животные выработанных условных рефлек-ной электростимуляции VPL, прово-транскардиальной перфузии фикса-ного альдегида и 0,4 %-ный раствором буфере (0,1 моль/л) при pH 7,4.ной области коры противоположного сенсомоторной коры, которые об-микроскопического анализа. Ультра-ультратоме LKB-IV, дополнительно гата и цитрат свинца и просматри-ть ткани коры для светооптического Гольджи. Актуально вносящих восторгов ходу-дование

оскопический анализ сенсомоторной ял существенные нарушения ультра-то по отношению к стимулируемому апикальных дендритов пирамидных специфического микротубулярного ап-

парата дендритов и появления в их цитоплазме разнообразных (в том числе и много-полостных) вакуолей. У большинства дендритов микротрубочки полностью исчезали, в то время как остальные их компоненты (митохондрии, наружные мембранны, матрикс цитоплазмы) и компоненты окружающего их нейропилия (мякотные аксоны, синаптические окончания, глиальные отростки, тела нейронов и глиоцитов) сохранялись и не изменялись.

Нарушения в цитоплазме апикальных дендритов наблюдались во II—IV слоях коры, куда приходит значительная частьafferентов из специфических ядер таламуса [2, 14], и в области представительства передней конечности в сенсомоторной коре на

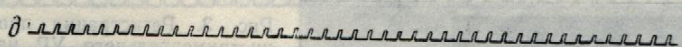
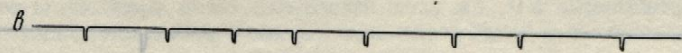
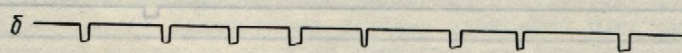
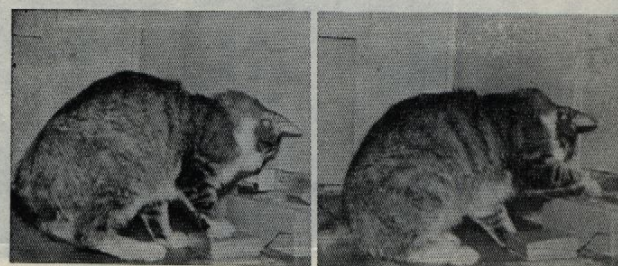


Рис. 2. Регистрация инструментального УР на обстановку:
а — ЭЭГ сенсомоторной области коры; б — отметка нажатия на педаль; в — отметка подачи кормушки; г — отметка лапы в кормушке; д — отметка времени (1 с). Здесь и далее сверху представлены фотографии кошки, иллюстрирующие поведенческое проявление УР.

стороне стимуляции. В аналогичной области коры противоположного полушария, служащей контролем, у тех же животных никаких изменений микроструктуры дендритов не обнаружены: в их цитоплазме сохранялась правильная пространственная организация микротрубочек, которая встречается в норме у интактных животных.

Анализ ВП экспериментального (левого) полушария показал, что ВП сенсомоторной коры существенно не меняются ни по амплитуде, ни по длительности в ходе всей двухчасовой высокочастотной электрической стимуляции VPL [8].

Зная о существенных морфологических и электрофизиологических изменениях коры, вызванных ее стимуляцией, интересно было исследовать, как такие изменения, как нарушение ультраструктуры апикальных дендритов пирамидных клеток сенсомоторной коры, отразятся на УР-поведении животных.

Через 1 сут после окончания электростимуляции все кошки полностью выходили из наркоза и у них проверяли сохранность ранее выработанных инструментальных УР.

Первая группа животных. Инструментальный УР на натуральный раздражитель оставался практически неизменным: при подаче кормушки с кусочком мяса кошки свободно доставали его правой передней лапой, причем это движение сохранялось четким и координированным, как и до воздействия.

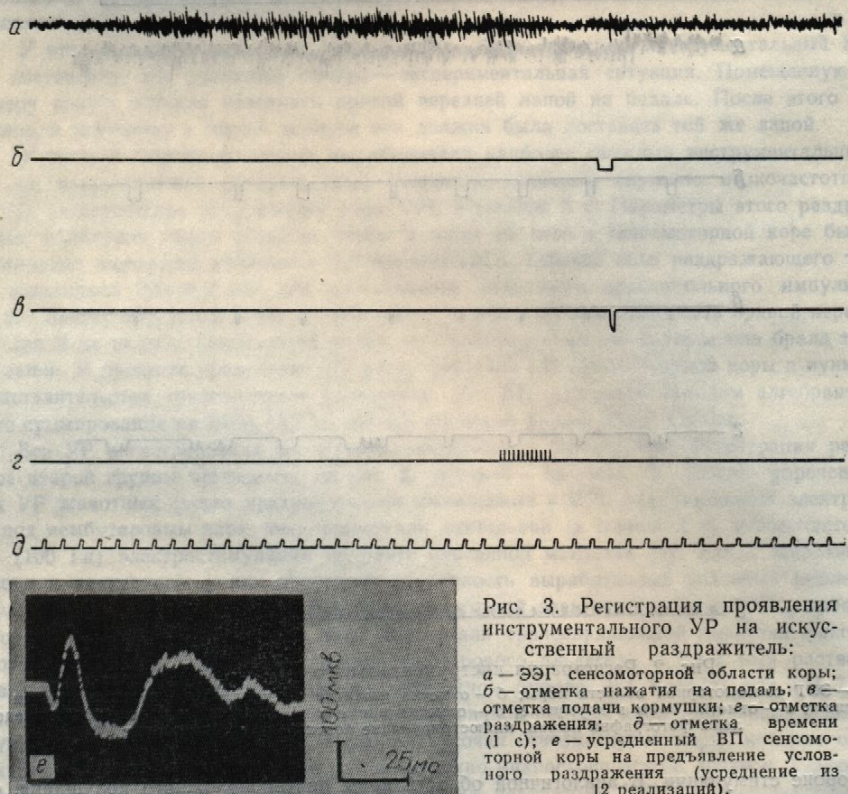
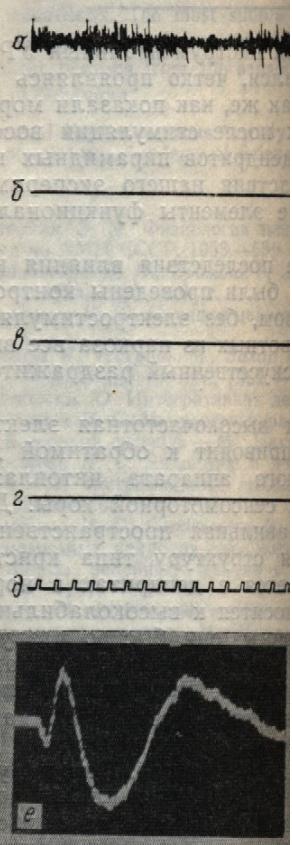
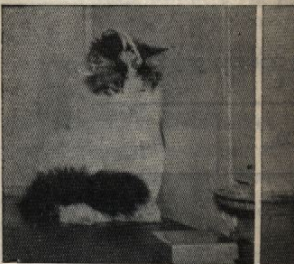


Рис. 3. Регистрация проявления инструментального УР на искусственный раздражитель:

Вторая группа животных. Инструментальный УР на обстановку претерпевал некоторые изменения. Так, существенно увеличивался латентный период (ЛП) УР, т. е. время от момента помещения животного в экспериментальную камеру до первого нажатия лапой на педаль. Типичные значения ЛП УР на обстановку до стимуляции и через 1 сут после нее (по трем кошкам) приведены в таблице. Кроме того, значительно (в 6–8 раз) увеличивались интервалы между отдельными нажатиями на педаль в начальный период опыта. Но в ходе эксперимента они прогрессивно сокращались и в среднем через 3–6 мин после начала тестирования интервалы между соседними инструментальными

движениями достигали ис-
стимуляции. Таким образом
1 сут после стимуляции пол-
же опыта.

Третья группа животных



стимуляции все кошки пол-
еряли сохранность ранее вы-
зываемого УР на натуральный
мненным: при подаче кормушки
тавали его правой передней
четким и координированным,

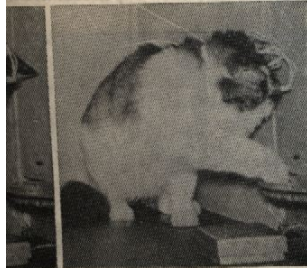


Рис. 3. Регистрация проявления инструментального УР на искусственный раздражитель:

— ЭЭГ сенсомоторной области коры;
— отметка нажатия на педаль; *a* —
отметка подачи кормушки; *g* — отметка
издражения; *d* — отметка времени
1 с; *e* — усредненный ВП сенсомо-
торной коры на предъявление услов-
ного раздражения (усреднение из
12 реализаций).

ентальный УР на обстановку существенно увеличивался ла-
момента помещения животного го нажатия лапой на педаль.
у до стимуляции и через 1 сут в таблице. Кроме того, значи-
тельные между отдельными ча-
од опыта. Но в ходе экспери-
в среднем через 3–6 мин после
соседними инструментальными

движениями достигали исходных значений, которые они имели до стимуляции. Таким образом, инструментальный УР на обстановку через 1 сут после стимуляции полностью восстанавливается в течение первого же опыта.

Третья группа животных. Инструментальный УР на искусственный раздражитель — наиболее сложный вид УР — через 1 сут после окончания высокочастотной электростимуляции существенно изменялся: нарушилась целостная условно-рефлекторная реакция. Ни разу за все

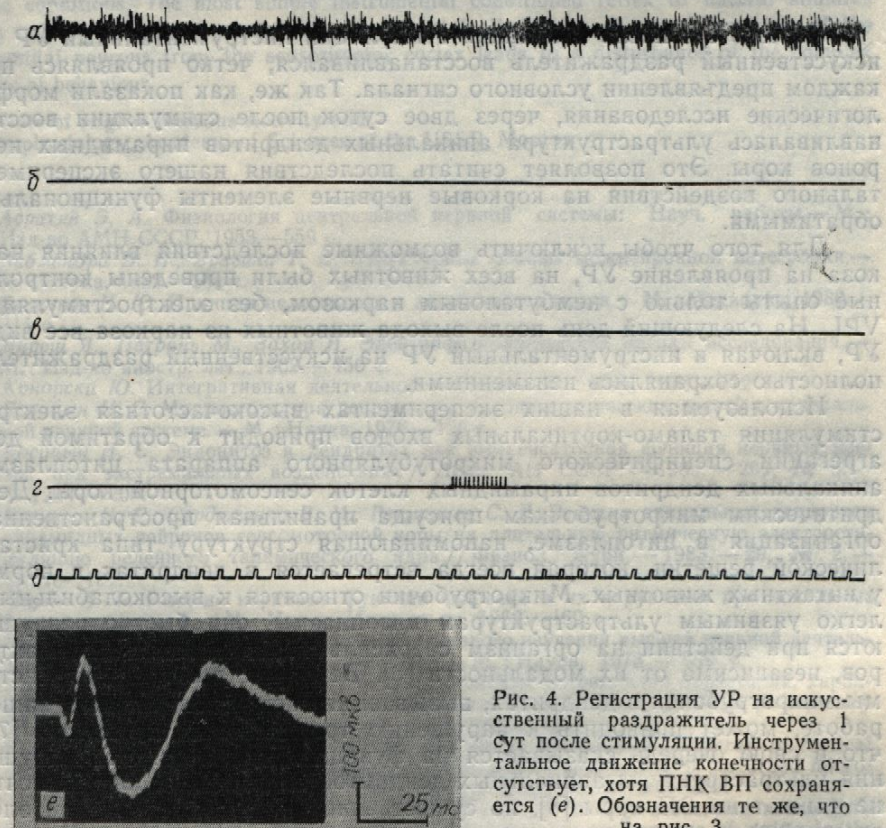


Рис. 4. Регистрация УР на искусственный раздражитель через 1 сут после стимуляции. Инструментальное движение конечности отсутствует, хотя ПНК ВП сохраняется (*e*). Обозначения те же, что на рис. 3.

время опыта при многократном предъявлении условного раздражителя кошки даже не пытались нажать лапой на педаль (рис. 4), хотя общее поведение животных при этом внешне выглядело совершенно нормальным: при помещении в экспериментальную камеру они, как обычно, садились возле педали с кормушкой и ожидали условного сигнала. Также сохранялись поведенческие компоненты УР-реакции: при действии условного раздражителя кошки настораживались, поворачивались к кормушке, заглядывали в нее, пытались лезть в кормушку лапой. Причем особенно интересно, что во время действия условного

сигнала (низкочастотного раздражения ядра VPL) в сенсомоторной коре вслед за первичным компонентом ВП регистрировали поздний позитивно-негативный компонент (ПНК) (рис. 4, e), который всегда появляется и стабилизируется по мере выработки УР подобного типа [11]. При произвольной подаче экспериментатором кормушки с мясом кошки свободно доставали его правой передней лапой, при этом никаких нарушений в действии конечности не отмечалось. Следовательно, через 1 сут после стимуляции наблюдалась полная дезинтеграция наиболее сложного УР-поведения животного при сохранности всех его отдельных компонентов.

Латентный период инструментального условного рефлекса на обстановку у кошек, с

Условие эксперимента	B ₁₄	Ю ₁₂	B ₁₅
До стимуляции	1,5	2,5	2,0
Через 1 сут после стимуляции	20	42	170

Через 2 сут после окончания стимуляции инструментальный УР на искусственный раздражитель восстанавливался, четко проявляясь при каждом предъявлении условного сигнала. Так же, как показали морфологические исследования, через двое суток после стимуляции восстанавливалась ультраструктура апикальных дендритов пирамидных нейронов коры. Это позволяет считать последствия нашего экспериментального воздействия на корковые первые элементы функционально обратимыми.

Для того чтобы исключить возможные последствия влияния наркоза на проявление УР, на всех животных были проведены контрольные опыты только с нембуталовым наркозом, без электростимуляции VPL. На следующий день после выхода животных из наркоза все виды УР, включая и инструментальный УР на искусственный раздражитель, полностью сохранялись неизменными.

Используемая в наших экспериментах высокочастотная электростимуляция таламо-кортикальных входов приводит к обратимой дезагрегации специфического микротубулярного аппарата цитоплазмы апикальных дендритов пирамидных клеток сенсомоторной коры. Дендритическим микротрубочкам присуща правильная пространственная организация в цитоплазме, напоминающая структуру типа кристаллической решетки, которая всегда встречается в дендритах в норме, у интактных животных. Микротрубочки относятся к высоколабильным, легко уязвимым ультраструктурам цитоплазмы, они быстро разрушаются при действии на организм сверхсильных, экстремальных факторов, независимо от их модальности [6]. Вероятно, дезагрегация системы микротрубочек в дендритах, вызываемая экспериментально в нашей работе, может приводить к нарушению транспортных процессов [7], что в свою очередь сказывается на функции дендритов. Эти нарушения ультраструктуры апикальных дендритов пирамидных клеток почти не влияют на ВП коры [8], но существенно отражаются на наиболее сложной форме поведения животных, какой в наших опытах является инструментальный УР на искусственный раздражитель. Значительно меньше при этом страдает и быстрее восстанавливается инструментальный УР на обстановку. И совсем не изменяется наиболее простой инструментальный УР на натуральный пищевой раздражитель.

Вероятно, описанные нами экспериментальные факты могут иметь связь с теми проявлениями нарушений высшей нервной деятельности, которые наблюдаются в неврологической клинике при некоторых заболеваниях мозга человека [9]. Не исключено, что в основе этих заболеваний также могут лежать ультраструктурные нарушения дендритов корковых клеток. Так, например, из сведений, имеющихся в лите-

ратуре, известно, что при болезни Альцгеймера, сени отсталости и др., морфолог образом в дендритах нервных нейрофиляментов и микротр

N. S. Kositsup, V. M.
THE EFFECT OF E-
DENDRITES OF T-
SENSORIMOTOR
REFLEXES OF DIF-

Ultrastructural disturbances in dendrites of the pyramidal neurons by high-frequency electrostimulation of the most complex form of the animal's instrumental conditioned reflex to experimental situation suffer from these conditions. The most simple does not change. Consequently, the pyramidal neurons from the sensor forms of behaviour.

Institute of Higher Nervous Activity
Neurophysiology, Academy of Sciences

1. Асратян Э. А. Физиология цепей. — Изд-во АМН СССР, 1953.—559.
2. Бабиндра В. П., Брагина Т. А. — Л.: Наука, 1982.—164 с.
3. Беленков Н. Ю. Принцип целостности. — 311 с.
4. Буреш Я., Петрань М., Захарова М.: Изд-во иностр. лит., 1962.—
5. Конорски Ю. Интегративная деятельность. —
6. Косицын Н. С. Микроструктура нервной системы. — М.: Наука, 1975.—
7. Косицын Н. С. Эндодиоз в дендритах при экстремальных воздействиях. — С. 1203—1205.
8. Косицын Н. С., Сердюченко В. А. Пирамидных нейронов сенсомоторную стимуляцию релейного таламического ядра. — С. 148—151.
9. Лурия А. Р. Высшие корковые поражения мозга. — М.: Изд-во Медицины, 1965.—
10. Павлов И. П. Двадцатилетний опыт (поведения) животных. —
11. Сердюченко В. М. Поздние негативизирующие положительные и тормозные явления в поведении кошек: Автореф. дис. канд. биол. наук. —
12. Bodick N., Stevens J. K., Sasabe H. — Dendrites and neurobehavioral failure in the cat. // Develop. Brain Res. — 1982. — 15, N 3. — P. 247—257.
13. Iqbal K., Grundke-Iqbali I., Merzenich M. — Dendritic changes in the aging brain. // The aging brain: nervous system / Ed. by E. Giacalone. — New York: Raven press, 1982.—
14. Jones E. G., Powell T. P. S. The aging brain: the thalamus in the cat. // Brain Res. — 1982. — 247, N 1. — P. 247—257.
15. Mehraein P., Yamada M., Tanaka S. — Dendritic spines in Alzheimer's disease. // Neuropathology and neurobehavioral failure. I: Geriatric psychiatry. — New York: Raven press, 1982.—
16. Purpura D. R., Bodick N., Suzuki J. — Dendritic changes in the aging brain. // The aging brain: nervous system / Ed. by E. Giacalone. — New York: Raven press, 1982.—

Ин-т высш. нерв. деятельности и нейрофизиологии АН СССР, Москва



ида VPL) в сенсомоторной ВП регистрировали поздний (рис. 4, e), который всегда гработки УР подобного типа интатором кормушки с мясом средней лапой, при этом не отмечалось. Следовательно, полная дезинтеграция наименее сохранности всех его от-

о условного рефлекса
ек, с

Ю ₁₂	В ₁₂
2,5	2,0
42	170

ции инструментальный УР наявлялся, четко проявляясь при. Так же, как показали морфологи после стимуляции восстановления дендритов пирамидных нейронов нашего экспериментальные элементы функционально

ые последствия влияния наркоза были проведены контрольным, без электростимуляции животных из наркоза все виды искусственный раздражитель,

ах высокочастотная электроприводит к обратимой дезинтеграции аппарата цитоплазмы и сенсомоторной коры. Дендритальная пространственная структура типа кристаллизуется в дендритах в норме, гносятся к высоколабильным, лазмы, они быстро разрушаются, экстремальных факторов, вероятно, дезагрегация системы экспериментально в нашей транспортных процессов [7], дендритов. Эти нарушения пирамидных клеток почти не отражаются на наиболее ярко в наших опытах является раздражитель. Значительно останавливается инструментальная изменяется наиболее простой ищевой раздражитель. Клинические факты могут иметь высшей нервной деятельности, клинике при некоторых заключено, что в основе этих заключительные нарушения дендритических сведений, имеющихся в лите-

ратуре, известно, что при некоторых болезнях мозга, в частности болезни Альцгеймера, сенильной деменции, врожденной умственной отсталости и др., морфологические изменения наблюдаются главным образом в дендритах нервных клеток, причем они касаются в основном нейрофиламентов и микротрубочек [12, 13, 15, 16].

N. S. Kositsyn, V. M. Serdyuchenko, S. V. Getmantsev

THE EFFECT OF EXPERIMENTAL DAMAGE OF APICAL DENDRITES OF THE PYRAMIDAL NEURONS IN THE SENSORIMOTOR CORTEX ON THE CONDITIONED REFLEXES OF DIFFERENT DEGREE OF COMPLEXITY

Ultrastructural disturbances in the system of microtubules in cytoplasm of apical dendrites of the pyramidal neurons from the sensorimotor cortex evoked by the prolonged high-frequency electrostimulation of thalamic nucleus VPL have an essential effect on the most complex form of the animals' behaviour, which in this study was represented by instrumental conditioned reflex to an artificial stimulus. Instrumental conditioned reflex to experimental situation suffers less considerably and is restored more rapidly under these conditions. The most simple instrumental conditioned reflex to natural stimulus does not change. Consequently, the experimental elimination of apical dendrites of the pyramidal neurons from the sensorimotor cortex leads to a disturbance of the complex forms of behaviour.

Institute of Higher Nervous Activity and Neurophysiology, Academy of Sciences of the USSR, Moscow

1. Асратьян Э. А. Физиология центральной нервной системы: Науч. работы.—М.: Изд-во АМН СССР, 1953.—559 с.
 2. Бабинцова В. П., Брагина Т. А. Структурные основы межнейронной интеграции.—Л.: Наука, 1982.—164 с.
 3. Беленков Н. Ю. Принцип целостности в деятельности мозга.—М.: Медицина, 1980.—311 с.
 4. Буреш Я., Петрань М., Захар И. Электрофизиологические методы исследования.—М.: Изд-во иностр. лит., 1962.—456 с.
 5. Конорски Ю. Интегративная деятельность мозга.—М.: Мир, 1970.—412 с.
 6. Косицын Н. С. Микроструктура дендритов и аксонодендритических связей в центральной нервной системе.—М.: Наука, 1976.—198 с.
 7. Косицын Н. С. Эндоцитоз в дендритах как компенсаторная функция нервных клеток при экстремальных воздействиях // Докл. АН СССР.—1983.—269, № 5.—С. 1203—1205.
 8. Косицын Н. С., Сердюченко В. М., Гетманцев С. В. Реакция апикальных дендритов пирамидных нейронов сенсомоторной коры на длительную ритмическую электростимуляцию релейного таламического ядра // Физiol. журн.—1983.—29, № 2.—С. 148—151.
 9. Лурия А. Р. Высшие корковые функции человека и их нарушения при локальных поражениях мозга.—М.: Изд-во Моск. ун-та, 1962.—462 с.
 10. Павлов И. П. Двадцатилетний опыт объективного изучения высшей нервной деятельности (поведения) животных.—10-е изд.—М.: Наука, 1973.—659 с.
 11. Сердюченко В. М. Поздние негативные компоненты потенциалов нарастания, характеризующие положительные и тормозные пищедобывающие условные рефлексы у кошек: Автореф. дис. канд. биол. наук.—М., 1974.—19 с.
 12. Bodick N., Stevens J. K., Sasaki S., Purpura D. P. Microtubular disarray in cortical dendrites and neurobehavioral failure. II: Computer reconstruction of perturbed microtubular arrays // Develop. Brain Res.—1982.—5, N 3.—P. 299—309.
 13. Iqbal K., Grundke-Iqbali I., Merz P. A., Wisniewski H. M. Age-associated neurofibrillary changes // The aging brain: cellular and molecular mechanisms of aging in the nervous system / Ed. by E. Giacobini et al.—New York: Raven press, 1982.—P. 247—257.
 14. Jones E. G., Powell T. P. S. The cortical projection of the ventroposterior nucleus of the thalamus in the cat // Brain Res.—1969.—13, N 2.—P. 298—318.
 15. Mehraein P., Yamada M., Tarnowska-Dziduszko E. Quantitative study on dendrites and dendritic spines in Alzheimer's disease and senile dementia // Advances in neurology.—New York: Raven press, 1975.—P. 453—458.
 16. Purpura D. R., Bodick N., Suzuki K. et al. Microtubule disarray in cortical dendrites and neurobehavioral failure. I: Goldi and electron microscopic studies // Develop. Brain Res.—1982.—5, N 3.—P. 287—297.
- Ин-т высш. нерв. деятельности Поступила 30.11.84
и нейрофизиологии АН СССР, Москва

Установлено, что нейроны медиальных ядер таламуса отвечают на соматические иноцентивные и неиноцентивные стимулы [7]. При изучении ответов этих нейронов на адекватные раздражения и стимуляцию периферических нервов были получены данные, характеризующие особенности рецептивных полей нейронов медиальных ядер таламуса и их функциональное подразделение в отношении различных афферентных входов у крыс [28], кошек [2, 6, 12, 24, 29] и обезьян [11, 26]. Следует отметить, что в этих исследованиях анализировались ответы нейронов медиальных ядер таламуса преимущественно на стимуляцию, приложенную в области конечностей и туловища. В то же время в ряде работ с использованием морфологических методов были показаны проекции путей системы тройничного нерва в медиальные ядра таламуса [10, 18, 20, 27]. Электрофизиологическими исследованиями в этой области таламуса обнаружены фокальные потенциалы, вызванные раздражением подглазничного нерва и пульпы зуба [19, 21], а также ответы нейронов на стимуляцию верхней губы и пульпы зуба [2, 25].

Цель настоящей работы — изучение ответов нейронов медиальных ядер таламуса, вызванных стимуляцией различных групп афферентных волокон тройничного нерва. Для этого стимулировали пульпу зуба, которая иннервируется миелинизированными А-б и немиелинизированными С-волокнами [8, 9, 14, 15, 23], а также подглазничный нерв, в котором в зависимости от силы стимула можно раздражать А-α либо А-α и А-б волокна [1, 4].

Методика

Опыты проведены на 18 взрослых кошках обоего пола массой 2,2—4,0 кг, наркотизированных внутримышечной инъекцией кеталара (15 мг/кг) и последующим внутривенным введением хлоралозы (40—60 мг/кг). Подготовка животного к эксперименту включала трахеотомию, катетеризацию бедренной артерии, установку стимулирующих электродов на пульпе верхнего и нижнего клыков, препарирование подглазничного нерва и установку там стимулирующих электродов. Для отведения афферентной волны, возникающей при раздражении подглазничного нерва в волокнах, подходящих к Гассерову ганглию, удаляли затылочную часть левого полушария головного мозга. Методика отведения афферентной волны и определения порогов стимуляции подглазничного нерва описана ранее [4]. За один порог принимали стимул длительностью 0,2 мс, амплитудой, достаточной для появления минимальной афферентной волны в Гассеровом ганглии. Установлено, что при раздражении подглазничного нерва силой 1—4 порога возбуждаются низкопороговые А-α волокна, а при дальнейшем увеличении силы стимуляции до 9 порогов — активируются высокопороговые А-б волокна [1, 4].

Для доступа к области отведения в таламусе удаляли часть правого полушария, контралатерального по отношению к раздражаемым афферентам. Стимуляцию пульпы осуществляли с помощью биполярных электродов из никромовой проволоки диаметром 100 мкм в лаковой изоляции. Электроды вводили в пульпарный канал через отверстия, высверленные в дентине зуба и закрепляли фосфат-цементом. Межэлектродное расстояние составляло 1,5—2,0 мм. Раздражение пульпы осуществлялось 1—3 прямоугольными импульсами тока с межимпульсным интервалом 3 мс и длительностью импульса 0,2 мс. Пульпу раздражали током силой равной или в полтора раза превышающей пороговое значение тока, необходимое для сокращения двубрюшной мышцы. После завершения подготовительных операций животное обездвиживали внутривенным введением д-тубокурарина или миорелаксина (1—2 мг/кг). Отведение электрических потенциалов отдельных нейронов осуществлялось стеклянными микроэлектродами, заполненными NaCl (4 моль/л), погруженными в медиальные ядра таламуса в соответствии с координатами стереотаксического атласа Джаспера и Аймон — Марса.

на [17]: Fr 7,0÷8,0; L 2,0÷4,0; Н электродного отведения в таламус пропускали переменный ток 2—3 мс ции мозга в 10 %-ном растворе фолициной около 100 мкм на замораживающую жидкость.

Исследованы ответы 86 следующих ядрах таламуса: ядро (Pf), центральное латеральное (MD). Резванные стимуляцией подглазничного нерва силой 1—4 порога, за ванны внеклеточно в 75 нейронов представляли собой фазный и разряд, состоящий из 1—2, не группы пиковых потенциалов появления ответов в них значительно отличалась. нейронов ответ возникал при появления его состава.

Рис. 1. Реакции нейронов медиальных ядер таламуса на раздражение низкопороговых афферентных волокон:

а — гистограмма латентных периодов от (n=75) медиального таламуса на раздражение низкопороговым импульсом силой 3—4 порога; б — рециклирование пульпы клыка в 1 (1), 2 (2) и 4 (3) порога. Календарь 20 мс.

0.4. Латентные периоды отвественных импульсов подглазничного нерва. Следует отметить, что за раздражение минимальное значение для 10 импульсов силы стимула от 3—4, либо возникал с малой вероятностью и изменялся или увеличивался стимуляцией подглазничного медиального таламуса предстимулами силы стимула, приложенного к таламусу. Латентные периоды ответов боли.

У шести нейронов раздражение не вызывало, но ответы появлялись при раздражении подглазничного нерва силой 9 порогов (рис. 2, б) колебались от 4,0 до 64,0 мс.

Ответы на раздражение 45 нейронов, а на раздражение не вызывало. У 16 из этих нейронов в обоих клыках. Реакции, вызванные стимулами из нескольких импульсов, состояли из нескольких импульсов, частоте следования стимулов, стимуляцию пульпы клыка б подглазничного нерва. В неко- ляцию пульпы клыка возникали серии (рис. 2, б) либо вероятность появления стимулов была выше.

Латентные периоды ответов на раздражение подглазничного нерва, колебались в пределах от 8—53 мс (рис. 2, б). Активации, возникавшие на стимулы.

Ю. П. Лиманский
МЕДИАЛЬНЫХ ЯДЕР
НЕМ РАЗЛИЧНЫХ ГРУПП
НОГО НЕРВА

их ядер таламуса отвечают на цептивные стимулы [7]. При ватные раздражения и стимулы получены данные, характеризующие ядеров медиальных ядер таламуса в отношении различных ядер [2, 6, 12, 24, 29] и обезьян исследований анализировались преимущественно на сти- ческого и туловища. В то же орфологических методов были ячичного нерва в медиальные физиологическими исследованы фокальные потенциалы, нерва и пульпы зуба [19, 21], верхней губы и пульпы зу-

ответов нейронов медиальных групп афферентного стимулировали пульпу зу- ванными А-б и немиелинизи- а, также подглазничный нерв, а можно раздражать А-α либо

боего пола массой 2,2—4,0 мг, нарко- па (15 мг/кг) и последующим внут- Тодготовка животного к эксперименту артерии, установку стимулирующих , препарирование подглазничного нер- Для отведения афферентной волны, ерва в волокнах, подходящих к Гас- о полуширю головного мозга. Методы порогов стимуляции подглазничного имели стимул длительностью 0,2 мс, бной афферентной волны в Гассероподглазничного нерва силой 1—4 по-

а при дальнейшем увеличении силы пороговые А-б волокна [1, 4]. Удаляли часть правого полушария, ам афферентам. Стимуляцию пульпы из никромовой проволоки диаметром один в пульпарный канал через отшли фосфат-цементом. Межэлектродное пульпа осуществлялось 1—3 прямым интервалом 3 мс и длительностью 100% равной или в полтора раза пре- для сокращения двубрюшной мыш- и животное обездвиживали внутри- сина (1—2 мг/кг). Отведение элек- целялось стеклянными микрозлектрическими в медиальные ядра таламуса в атласа Джаспера и Аймон — Марса-

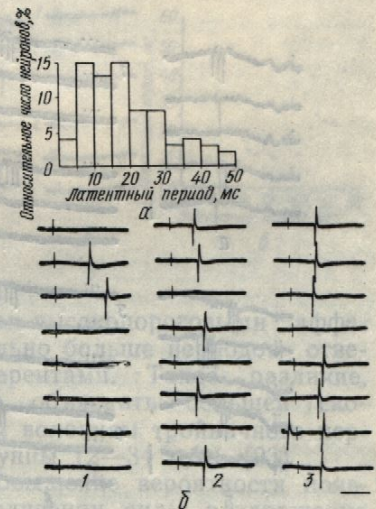
на [17]: Fr 7,0—8,0; L 2,0—4,0; H 1,0—3,0. В конце опыта по координатам микроэлектродного отведения в таламус погружали никромовый электрод, через который пропускали переменный ток 2—3 мА для коагуляции места отведения. После фиксации мозга в 10%-ном растворе формалина изготавливали серийные срезы таламуса толщиной около 100 мкм на замораживающем микротоме.

Результаты

Исследованы ответы 86 нейронов, которые были локализованы в следующих ядрах таламуса: срединный центр (СМ), парафасцикулярное (Pf), центральное латеральное (CL), субпарафасцикулярное (sPf) и медиодорсальное (MD). Реакции, вызванные стимуляцией подглазничного нерва силой 1—4 порога, зарегистрированы в 75 нейронах. Ответы представляли собой фазный импульсный разряд, состоящий из 1—2, но нередко и группы пиковидных потенциалов. Вероятность появления ответов в нейронах могла значительно отличаться. Так, у одних нейронов ответ возникал на каждый стимул, тогда как у других вероятность появления его составляла 0,3—

Рис. 1. Реакции нейронов медиального таламуса на раздражение низкопороговых афферентов тройничного нерва:

a — гистограмма латентных периодов ответов нейронов ($n=75$) медиального таламуса на раздражение подглазничного нерва силой 3—4 порога; *b* — реакция одного и того же нейрона при раздражении подглазничного нерва силой 1 (1), 2 (2) и 4 (3) порога. Калибровка: 1 мВ, 20 мс.



0,4. Латентные периоды ответов, вызванных низкопороговыми афферентами подглазничного нерва, колебались от 3 до 48 мс (рис. 1, *a*). Следует отметить, что за размер латентного периода принимали его минимальное значение для 10 и большего числа реакций. При уменьшении силы стимула от 3—4 порогов до одного ответ нередко исчезал, либо возник с малой вероятностью, латентный период при этом не изменялся или увеличивался на 1—4 мс. Примеры ответов, вызванных стимуляцией подглазничного нерва силой 1, 2 и 4 порога в нейроне медиального таламуса представлены на рис. 1, *b*, *c*, *г*. При увеличении силы стимула, приложенного к подглазничному нерву, до 9 порогов латентные периоды ответов большинства нейронов не изменялись.

У шести нейронов раздражение низкопороговых волокон реакций не вызывало, но ответы появлялись при стимуляции подглазничного нерва силой 9 порогов (рис. 2, *а*). Латентные периоды таких ответов колебались от 4,0 до 64,0 мс.

Ответы на раздражение пульпы верхнего клыка обнаружены у 45 нейронов, а на раздражение пульпы нижнего клыка — у 24 нейронов. У 16 из этих нейронов возникали ответы на раздражение пульпы обоих клыков. Реакции, вызванные стимуляцией пульпы клыка, обычно состояли из нескольких импульсных потенциалов (рис. 2, *б*—*д*). При частоте следования стимулов $0,5 \text{ с}^{-1}$ вероятность появления ответов на стимуляцию пульпы клыка была обычно ниже, чем на раздражение подглазничного нерва. В некоторых случаях ответ нейрона на стимуляцию пульпы клыка возникал лишь на первый стимул предъявляемой серии (рис. 2, *в*) либо вероятность его возникновения на первые несколько стимулов была выше, чем на последующие.

Латентные периоды ответов, вызванные стимуляцией пульпы верхнего клыка, колебались в пределах 7—58 мс (рис. 2, *е*), а пульпы нижнего клыка — 8—53 мс (рис. 2, *ж*). Между латентными периодами реакций, возникавших на стимуляцию верхнего и нижнего клыка, в одном

и том же нейроне наблюдается прямая корреляционная зависимость (рис. 2, з). На рис. 2, г, д показаны ответы, вызванные стимуляцией пульпы верхнего и нижнего клыков у двух нейронов при одновременной регистрации. У одного из нейронов амплитуда ответов была больше, а латентный период ответа на раздражение пульпы верхнего и нижнего клыков — меньше, чем у второго.

У большинства нейронов (76) были исследованы реакции на раздражение как низко-, так и высокопороговых волокон тройничного нерва. Исследованные нейроны разделены на три группы. В первую группу отнесены 45 нейронов, которые отвечали на стимуляцию низкопорогового

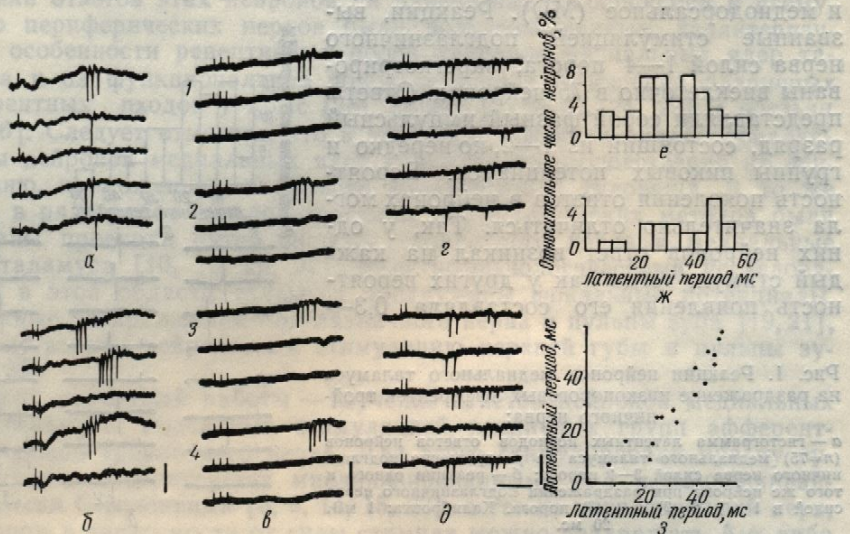


Рис. 2. Реакции нейронов медиального таламуса на раздражение высокопороговых афферентов.

Оscиллограммы реакций на раздражение: *a* — подглазничного нерва силой 9 порогов (при отсутствии ответа на раздражение силой 4 порога); *b* — пульпы верхнего клыка; *в* — пульпы нижнего клыка (*1—4*), появление ответа одного из тех же нейронов только на первый стимул серии; *г* — пульпы верхнего клыка при одновременной регистрации реакций двух нейронов; *д* — пульпы нижнего клыка (реакции тех же двух нейронов). Калибровка: 1 мВ, 20 мс. Гистограммы латентных периодов ответов на раздражение: *е* — пульпы верхнего (*n*=45) и *ж* — нижнего (*n*=24) клыков. График соотношения латентных периодов ответов одних и тех же нейронов на раздражение: *з* — пульпы верхнего (по вертикали) и пульпы нижнего (по горизонтали) клыков (*n*=16).

вых волокон подглазничного нерва и высокопороговых волокон пульпы зуба. Реакции одного из нейронов этой группы представлены на рис. 3, *a*, *б*. В одном и том же нейроне латентный период ответа, вызванного стимуляцией пульпы зуба, был больше, чем латентный период ответа, вызванного стимуляцией низкопороговых волокон подглазничного нерва. Причем между значениями этих латентных периодов наблюдалась прямая корреляция (рис. 3, *в*). Во вторую группу были отнесены 22 нейрона, которые отвечали только на стимуляцию низкопороговых волокон подглазничного нерва, в третью — девять нейронов, которые отвечали на раздражение высокопороговых афферентов подглазничного нерва и пульпы зуба.

Обсуждение результатов

Полученные результаты показывают, что сенсорные ядра тройничного нерва передают импульсацию, поступающую к ним по различным типам волокон периферических ветвей этого нерва, в медиальные ядра таламуса. Для большинства изученных нейронов характерны конвергенция низкопороговых волокон группы А- α и высокопороговых А- δ и, возможно, С, которые иннервируют пульпу зуба [8, 9, 14, 15, 23]. Такие же данные получены другими авторами [12] при исследовании ответов нейронов медиального таламуса, вызванных стимуляцией различных групп волокон конечности. Наличие конвергенции импульса-

ции, вызванной соматическими и слуховыми раздражениями ядер таламуса [5].

В то же время результаты в медиальном таламусе имеют раздражение только высокопороговых волокон тройничного нерва. Нейронов этих ядер обнаружены конвергентивные и ноцицептивные рефлексов [2, 12].

Рис. 3. Реакции одних и тех же нейронов медиального таламуса на раздражение низкопороговых и высокопороговых афферентов тройничного нерва.

Оscиллограммы реакций на раздражение: подглазничного нерва силой 1 (*1*) и 4 (*2*) порога; *б* — пульпы верхнего (*1*) и нижнего клыков. Калибровка: 1 мВ, 20 мс. График соотношения латентных периодов ответов одних и тех же нейронов на раздражение низкопороговых и высокопороговых афферентов тройничного нерва: *в* — пульпы верхнего (по горизонтали) и подглазничного нерва (по вертикали) силой 3—4 порога (*n*=38).

Латентные периоды ответов рентами тройничного нерва, бывших, вызванных низкопороговым очевидно, в значительной мерею проведения по низкопороговому (78 м/с) [4], чем по волокнам

Уменьшение латентного периода ответа у части нейронов подглазничного нерва до 4 мс при увеличении силы стимула количества активируемых волокон

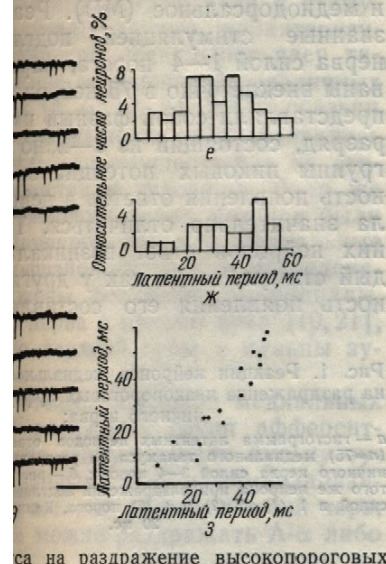
При анализе латентных путей передачи от низко- и высокопороговых волокон тройничного нерва к медиальным ядрам таламуса исследований имеются прямые от каудального ядра спинального мозга возможны и другие, более сложные. Так, имеются проекции к СМ мозга [13, 22], где обнаруженного тракта, сформированного ядра спинального тройничного

Показанная нами прямая связь между ответами, вызванными стимулами волокнами подглазничного нерва и ядрами таламуса эта импульсация ному пути. Таким образом, знающих на стимуляцию низкопорогового, обусловлено конвергенция ядер тройничного нерва. Это в каудальном ядре спинального нерва так называемых широкодиапазонных, как на ноцицептивные (пульпы) раздражения [15].

1. В опытах на кошках, навели ответы нейронов медиальных и А- δ волокон подглазничного нерва. Нейроны отвечали на стимуляцию пульпы зуба.

и корреляционная зависимость ответы, вызванные стимуляцией нейронов при одновременной стимуляции верхнего и нижнего пульпа верхнего и нижнего

исследованы реакции на раздражения волокон тройничного нерва три группы. В первую группу включены стимуляцию низкопорогового



на раздражение высокопороговых

нейронов силой 9 порогов (при отсутствии верхнего клыка; в — пульпы нижнего клыка на первый стимул серии; г — реакция двух нейронов; д — пульпы нижнего клыка: 1 мВ, 20 мс. Гистограммы латентных периодов (n=45) и ж — нижнего (n=24) клыков. к и тех же нейронов на раздражение: з — (по горизонтали) клыков (n=16).

сокопороговых волокон пульпы верхней группы представлены на графике латентный период ответа, выявленный больше, чем латентный период низкопороговых волокон подтверждением этих латентных периодов (3, в). Во вторую группу были включены только на стимуляцию низкопороговых волокон, в третью — девять нейронов, отвечающих на стимуляцию низкопороговых афферентов подтверждением.

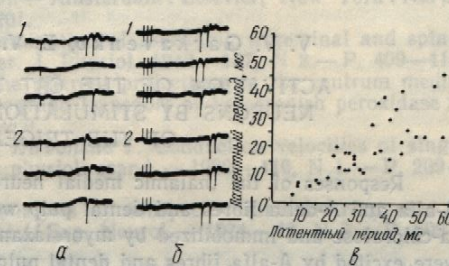
Показано, что сенсорные ядра тройничного нерва, в медиальные ядра, в которых эти нейроны характерны для пульпа зуба [8, 9, 14, 15, 23]. Вторыми [12] при исследовании, вызванных стимуляцией различия в конвергенции импульса-

ции, вызванной соматическими, висцеральными, болевыми, зрительными и слуховыми раздражениями, является особенностью медиальных ядер таламуса [5].

В то же время результаты нашего исследования показывают, что в медиальном таламусе имеются нейроны, которые реагируют на раздражение только высокопороговых, либо только низкопороговых афферентов тройничного нерва. Аналогичные функциональные группы нейронов этих ядер обнаружены при анализе их ответов на иоцицептивные и иеноцицептивные раздражения головы, туловища и конечностей [2, 12].

Рис. 3. Реакции одних и тех же нейронов медиального таламуса на раздражение низкопороговых и высокопороговых афферентов тройничного нерва.

Оциллограммы реакции на раздражение: а — подглазничного нерва силой 1 (1) и 4 (2) порога; б — пульпы верхнего (1) и нижнего (2) клыков. Калибровка: 1 мВ, 20 мс. График соотношения латентных периодов ответов одних и тех же нейронов на раздражение низкопороговых и высокопороговых афферентов тройничного нерва: в — пульпы верхнего клыка (по горизонтали) и подглазничного нерва (по вертикали) силой 3—4 порога (n=38).



Латентные периоды ответов, вызванных высокопороговыми афферентами тройничного нерва, были значительно больше периодов ответов, вызванных низкопороговыми афферентами. Такое различие, очевидно, в значительной мере можно объяснить большей скоростью проведения по низкопороговым А- α волокнам тройничного нерва (78 м/с) [4], чем по волокнам А- β группы (2—34 м/с) [23].

Уменьшение латентного периода и повышение вероятности появления ответа у части нейронов при увеличении силы раздражения подглазничного нерва до 4 порогов, очевидно, обусловлено тем, что при увеличении силы стимулирующего тока происходит повышение количества активируемых волокон группы А- α [4].

При анализе латентных периодов важно учитывать центральные пути передачи от низко- и высокопороговых афферентов тройничного нерва к медиальным ядрам таламуса. По данным морфологических исследований имеются прямые пути к ядрам медиального таламуса от каудального ядра спинального тройничного тракта [18, 27]. Однако возможны и другие, более сложные тригемино-таламические связи. Так, имеются проекции к СМ из верхних бугорков крыши среднего мозга [13, 22], где обнаружены окончания дорсального тригеминального тракта, сформированного гигантоклеточной частью каудального ядра спинального тройничного тракта [3].

Показанная нами прямая корреляция между латентными периодами ответов, вызванных стимуляцией пульпы зуба и низкопороговыми волокнами подглазничного нерва, позволяет считать, что к медиальным ядрам таламуса эта импульсация может поступать по общему конечному пути. Таким образом, значительное количество нейронов, отвечающих на стимуляцию низко- и высокопороговых афферентов, по-видимому, обусловлено конвергенцией этих афферентов на уровне сенсорных ядер тройничного нерва. Это подтверждается данными о том, что в каудальном ядре спинального тройничного тракта обнаружена группа так называемых широкодинамических нейронов, которые отвечают как на иоцицептивные (пульпа зуба), так и иеноцицептивные механические раздражения [15].

Выводы

1. В опытах на кошках, наркотизированных хлоралозой, исследовали ответы нейронов медиальных ядер таламуса на стимуляцию А- α и А- β волокон подглазничного нерва и пульпы зуба. 59 % исследованных нейронов отвечали на стимуляцию А- α волокон и пульпы зуба.

29 % нейронов отвечали только на стимуляцию А-а волокон, а 12 % — на стимуляцию А-б волокон подглазничного нерва и пульпы зуба. Латентные периоды ответов, вызванных стимуляцией А-а волокон колебались в пределах 3—48 мс, А-б волокон подглазничного нерва — 4—64 мс, пульпы верхнего клыка — 7—58 мс, а пульпы нижнего клыка — 8—53 мс.

Из 2. Установлена прямая корреляционная зависимость между латентными периодами ответов, вызываемых в одних и тех же нейронах раздражением низкопороговых и высокопороговых афферентов тройничного нерва.

V. V. Garkavenko, E. V. Gura, Yu. P. Limansky

ACTIVATION OF THE CAT THALAMIC MEDIAL NUCLEI NEURONS BY STIMULATION OF DIFFERENT GROUPS OF THE TRIGEMINAL FIBRES

Responses of the thalamic medial neurons to stimulation of the infraorbital nerve A-alfa and A-delta fibres and dental pulp were studied in the cats anesthetized with alfa-chloralose and immobilized by myorelaxants. Most of the neurons investigated (59 %) were excited by A-alfa fibres and dental pulp stimulation. 29 % of the neurons responded to A-alfa fibres stimulation only and 12 % — to stimulation of the infraorbital nerve A-delta fibres and dental pulp. The latencies of the responses evoked by stimulation of the infraorbital nerve A-alfa and A-delta fibres ranged between 3-48 and 4-64 ms, respectively. The latencies of the responses evoked by upper and lower dental pulp stimulation ranged between 7-58 ms and 8-53 ms, respectively.

The existence of a direct correlation between the latencies of the responses evoked in the same neurons by low-threshold and high-threshold trigeminal nerve afferents is established.

A. A. Bogomoletz Institute of Physiology, Academy of Sciences, Ukrainian SSR, Kiev

- Гура Е. В., Яхнича В. А., Лиманский Ю. П. Торможение рефлексов открывания пасти кошки стимуляцией центрального серого вещества и ядер шва // Нейрофизиология. — 1984. — 16, № 3. — С. 374—384.
- Дуринян Р. А., Мейзеров Е. Е., Чувин Б. Т., Решетняк В. К. Рефлекторное изменение спонтанной и вызванной активности нейронов параспинального комплекса таламуса кошки при электроакупунктурной стимуляции // Бюл. эксперим. биологии и медицины. — 1983. — 96, № 11. — С. 3—5.
- Лиманский Ю. П. Структура и функции системы тройничного нерва. — Киев : Наук. думка, 1976.—255 с.
- Лиманский Ю. П., Гура Е. В. ВПСП мотонейронов жевательной мышцы кошки, вызванные стимуляцией низкопороговых волокон подглазничного нерва // Нейрофизиология. — 1977. — 9, № 6. — С. 583—591.
- Серков Ф. Н., Казаков В. Н. Нейрофизиология таламуса. — Киев : Наук. думка, 1980.—260 с.
- Albe-Fessard D., Kruger L. Duality of unit discharges from cat centrum medianum in responses to natural and electrical stimulation // J. Neurophysiol. — 1962. — 25, N 1. — P. 1—20.
- Albe-Fessard D., Besson J. M. Convergent thalamic and cortical projections // The non-specific system. — Berlin Ac : Springer, 1973. — P. 489—561. — (Handbook of sensory physiology; Vol. 2).
- Anderson K. V., Pearl G. S. Conduction velocities in afferent fibers from feline tooth pulp // Exp. Neurol. — 1974. — 43, N 2. — P. 281—283.
- Brookhart J. M., Livingston W. K., Haugen F. P. Functional characteristics of afferent fibers from tooth pulp of cat // J. Neurophysiol. — 1953. — 16, N 2. — P. 634—642.
- Burton H., Craig A. D. Distribution of trigeminothalamic projection cells in cat and monkey // Brain Res. — 1979. — 161, N 3. — P. 515—521.
- Casey K. L. Unit analysis of nociceptive mechanisms in the thalamus of the awake squirrel monkey // J. Neurophysiol. — 1966. — 29, N 3. — P. 727—750.
- Dong W. K., Ryn H., Wagman I. H. Nociceptive responses of neurons in medial thalamus and their relationship to spinothalamic pathways // Ibid. — 1978. — 41, N 6. — P. 1592—1613.
- Graham J. An autoradiographic study of the efferent connections of the superior colliculus in the cat // J. Comp. Neurol. — 1977. — 173, N 3. — P. 629—654.
- Greenwood F., Horiuchi H., Matthews B. Electrophysiological evidence on the types of nerve fibres excited by electrical stimulation of teeth with a pulp tester // Arch. Oral. Biol. — 1972. — 17, N 3. — P. 701—709.

- Harris R., Griffin C. J. Fine Ibid. — 1972. — 13, N 7. — P.
- Hu J. W., Dostrovsky J. C. trigeminal subnucleus caudae noxious and nonnoxious stimuli. J. Neurophysiol. — 1981. — 45, 17. Jasper H. H., Ajmon-Marsan Ottawa : Nat. Res. Coun. — 18. Kawamura S. Afferent projection complex in the cat // Folia
- Kerr D. J. B., Haugen F. P. tooth stimulation // Amer. J. 20. Kruger L., Saporta S., Feline complex // Pain in the trigeminal system. — Holland biomed. press., 1977.
- Magoun H. W., McKinley W. Tracts in the thalamus of the cat // J. Neurophysiol. — 1950. — 13, N 1. — P. 1—12.
- McGuiness C. M., Krauthamer G. The nucleus centrum medianum of the cat as demonstrated by retrogradely labeled neurons // Brain Res. — 1980. — 184, N 1. — P. 1—10.
- Narhi M., Virtaneen A., Hultcrantz R. Feline tooth pulp nerve fibre units in the nucleus centrum medianum // Acta Physiol. Scand. — 1973. — 88, N 1. — P. 213.
- Nyquist Y. K., Greenholt S. A. Effect of high-intensity cutaneous input on feline tooth pulp // J. Neurophysiol. — 1982. — 47, N 1. — P. 622.
- Pearl G. S., Anderson K. V. Conduction velocities in afferent fibers from feline tooth pulp // Exp. Neurol. — 1974. — 43, N 2. — P. 281—283.
- Perl E. R., Whitlock D. C. Convergence of primary afferent and thalamic neurons in cat and monkey // J. Neurophysiol. — 1984. — 51, N 2. — P. 465—482.
- Peschanski M., Guilbaud G. D. Responses of cat thalamic neurons to noxious and non-noxious stimuli // J. Neurophysiol. — 1972, N 1. — P. 226—238.
- Urabe M., Tsubakawa T., Yamada T. The nucleus centrum medianum of the cat: retrogradely labeled neurons after application of noxious stimuli // J. Neurophysiol. — 1980. — 44, N 1. — P. 1—10.

Ин-т физиологии им. А. А. Баранова АН УССР, Киев

УДК 612.826:612.85

РЕАКЦИИ НЕЙРОННЫХ СИГНАЛЫ

При изучении электрореакций (ХЯ) установлено, что они реагируют на различные раздражениями [6, 10, 11] с различными уровнями чувствительности.

Для более детального изучения раздражений в настоящем исследовании нейронов ХЯ реагировали на различные пространственные параметры звука, и сигналы,

исследования проведены в условиях (40 мг/кг нембутала в/в), фиксирующих винтов и двумя

Физиол. журн., 1986, т. 32, № 4

цию А-а волокон, а 12 % — о нерва и пульпы зуба. Латентией А-а волокон колеблется от глазничного нерва — 4—5 мс до пульпы нижнего клыка — 12 мс. Стимуляция А-а волокон колеблется от глазничного нерва — 4—5 мс до пульпы нижнего клыка — 12 мс. Стимуляция А-а волокон колеблется от глазничного нерва — 4—5 мс до пульпы нижнего клыка — 12 мс.

Yu. P. Limansky

IC MEDIAL NUCLEI DIFFERENT GROUPS FIBRES

stimulation of the infraorbital nerve evoked in the cats anesthetized with althesin. 59 % of the neurons investigated responded to stimulation of the infraorbital nerve. 29 % of the neurons responded to stimulation of the infraorbital nerve. Responses evoked by stimulation of the infraorbital nerve were between 3-48 and 4-64 ms, resuming upper and lower dental pulp stimulation.

The latencies of the responses evoked by stimulation of the infraorbital nerve are as follows: threshold trigeminal nerve afferents is

Торможение рефлексов открывания щечного ядра и ядер шва // Нейрофизиология и экспериментальная биология. — Кн. 2. — Б. К. Рефлекторное изменение парасигматического комплекса // Бюл. эксперим. биологии и физиологии. — 1985. — № 1. — 10 с.

Ядер шва // Нейрофизиология и экспериментальная биология. — Кн. 2. — Б. К. Рефлекторное изменение парасигматического комплекса // Бюл. эксперим. биологии и физиологии. — 1985. — № 1. — 10 с.

Ядер шва // Нейрофизиология и экспериментальная биология. — Кн. 2. — Б. К. Рефлекторное изменение парасигматического комплекса // Бюл. эксперим. биологии и физиологии. — 1985. — № 1. — 10 с.

Ядер шва // Нейрофизиология и экспериментальная биология. — Кн. 2. — Б. К. Рефлекторное изменение парасигматического комплекса // Бюл. эксперим. биологии и физиологии. — 1985. — № 1. — 10 с.

Ядер шва // Нейрофизиология и экспериментальная биология. — Кн. 2. — Б. К. Рефлекторное изменение парасигматического комплекса // Бюл. эксперим. биологии и физиологии. — 1985. — № 1. — 10 с.

Ядер шва // Нейрофизиология и экспериментальная биология. — Кн. 2. — Б. К. Рефлекторное изменение парасигматического комплекса // Бюл. эксперим. биологии и физиологии. — 1985. — № 1. — 10 с.

Ядер шва // Нейрофизиология и экспериментальная биология. — Кн. 2. — Б. К. Рефлекторное изменение парасигматического комплекса // Бюл. эксперим. биологии и физиологии. — 1985. — № 1. — 10 с.

Ядер шва // Нейрофизиология и экспериментальная биология. — Кн. 2. — Б. К. Рефлекторное изменение парасигматического комплекса // Бюл. эксперим. биологии и физиологии. — 1985. — № 1. — 10 с.

Ядер шва // Нейрофизиология и экспериментальная биология. — Кн. 2. — Б. К. Рефлекторное изменение парасигматического комплекса // Бюл. эксперим. биологии и физиологии. — 1985. — № 1. — 10 с.

Ядер шва // Нейрофизиология и экспериментальная биология. — Кн. 2. — Б. К. Рефлекторное изменение парасигматического комплекса // Бюл. эксперим. биологии и физиологии. — 1985. — № 1. — 10 с.

15. Harris R., Griffin C. J. Fine structure of nerve endings in the human dental pulp // Ibid. — 1972. — 13, N 7. — P. 773—778.
16. Hu J. W., Dostrovsky J. O., Sessle B. J. Functional properties of neurons in cat trigeminal subnucleus caudalis (medullary) dorsal horn. I. Responses to oral-facial noxious and nonnoxious stimuli and projection to thalamus and subnucleus oralis // J. Neurophysiol. — 1981. — 45, N 2. — P. 173—192.
17. Jasper H. H., Ajmon-Marsan C. A stereotaxic atlas on the diencephalon of the cat. — Ottawa : Natl. Res. Counc. — 1954. — 90 p.
18. Kawamura S. Afferent projections of the nucleus caudalis of the spinal trigeminal complex in the cat // Folia Anat. Jap. — 1971. — 47, N 2. — P. 377—405.
19. Kerr D. J. B., Haugen F. P., Melzack R. Responses evoked in the brain stem by tooth stimulation // Amer. J. Physiol. — 1955. — 183, N 2. — P. 253—258.
20. Kruger L., Saporta S., Feldman S. G. Axonal transport of the sensory trigeminal complex // Pain in the trigeminal region. — Amsterdam : Elsevier; New York : North-Holland biomed. press., 1977. — P. 191—201.
21. Magoun H. W., McKinley W. A. The termination of ascending trigeminal and spinal tracts in the thalamus of the cat // Amer. J. Physiol. — 1942. — 137, N 2. — P. 409—416.
22. McGuiness C. M., Krauthamer M. G. The afferent projections to the centrum medianum of the cat as demonstrated by retrograde transport of horseradish peroxidase // Brain Res. — 1980. — 184, N 1. — P. 255—269.
23. Narhi M., Virtaneen A., Huopaniemi T., Hirvonen T. Conduction velocities of single pulp nerve fibre units in the cat // Acta physiol. scand. — 1982. — 116, N 1. — P. 209—213.
24. Nyquist Y. K., Greenhout Y. H. Unit analysis of nonspecific thalamic responses to high-intensity cutaneous input in the cat // Exp. Neurol. — 1974. — 42, N 3. — P. 609—622.
25. Pearl G. S., Anderson K. V. Responses of cells in feline nucleus centrum medianum to tooth pulp stimulation // Brain Res. Bull. — 1980. — 5, N 1. — P. 41—45.
26. Perl E. R., Whitlock D. G. Somatic stimuli exciting spino-thalamic projections to thalamic neurons in cat and monkey // Exp. Neurol. — 1961. — 3, N 2. — P. 256—296.
27. Peschanski M. Trigeminal afferents to the diencephalon in the rat // Neuroscience. — 1984. — 12, N 2. — P. 465—487.
28. Peschanski M., Guibaud G., Gautron M. Posterior intralaminar region in rat: neuronal responses to noxious and nonnoxious cutaneous stimuli // Exp. Neurol. — 1981. — 72, N 1. — P. 226—238.
29. Urabe M., Tsubakawa T., Watanabe Y. Alteration of activity of single neurons in the nucleus centrum medianum following stimulation of the peripheral nerve and application of noxious stimuli // Jap. J. Physiol. — 1966. — 16, N 4. — P. 421—435.

Поступила 10.04.85

Институт физиологии им. А. А. Богомольца
АН УССР, Киев

УДК 612.826:612.85

Р. Р. Великая, Г. М. Груздев

РЕАКЦИИ НЕЙРОНОВ НЕОСТРИАТУМА НА ЗВУКОВЫЕ СИГНАЛЫ С РАЗЛИЧНОЙ ЛОКАЛИЗАЦИЕЙ

При изучении электрических реакций нейронов хвостатого ядра (ХЯ) установлено, что на них конвергируют импульсы из разных сенсорных систем, в том числе и импульсы, вызываемые звуковыми раздражениями [6, 10, 11]. Известно также, что ХЯ имеет прямые связи с различными областями слуховой коры [4] и полисинаптические с более низкими уровнями слуховой системы.

Для более детального изучения участия ХЯ в анализе звуковых раздражений в настоящем исследовании проведено изучение способности нейронов ХЯ реагировать на звуковые сигналы, обладающие различными пространственными характеристиками неподвижного источника звука, и сигналы, имитирующие его движение.

Методика

Исследования проведены на 5 кошках массой 3,5—3,8 кг. Животным под наркозом (40 мг/кг нембутала внутривенно) производили операцию вживления в череп фиксирующих винтов и двух симметричных втулок над трепанационными отверстиями

в местах проекции ХЯ на конвекситальную поверхность черепа по методу, предложенному Батуевым [5]. Через 7—10 сут после операции у бодрствующих животных, фиксированных в стереотаксическом аппарате, производили транскортикальный поиск нейронов ХЯ и регистрацию их реакций на звуковые сигналы. Звуковые сигналы записывали на магнитную ленту по специальной программе и воспроизводили во время опыта с помощью экранированных и помещенных в звукопоглотители звукоизлучателей ТОН-2 через звуководы, вставленные непосредственно в слуховые проходы. Для изучения действия сигналов, обладающих характеристиками различного пространственного положения неподвижного источника звука, производили дихотическую стимуляцию сериями звуковых щелчков (40 Гц, 2 с) отдельно ипсилатерального уха, контраплатерального уха, бинауральную стимуляцию без интерауральной задержки, а также с варьированием интерауральных задержек [2, 3]. Интерауральная задержка (ΔT) варьировалась от 0 до 500 мкс. Для каждого значения ΔT использовали серию сигналов из 20 щелчков с частотой 1 щелчок в 3 с. Вся программа стимуляции предусматривала опережение сигнала по отношению к ипси-, а затем контраплатеральному уху. Такой способ применения звуковых сигналов при варьировании ΔT создавал феномен латерализации, т. е. смещения звука в сторону более раннего раздражения. Смещение звука прямо пропорционально ΔT в диапазоне до 300 мс. Для ΔT больше 300 мс звуковой образ полностью латерализован, т. е. находится у того уха, на которое подается опережающее раздражение.

Для получения сигнала, имитирующего перемещение звука в пространстве применяли также метод, предложенный Альтманом [2, 3]. Для этого использовали бинаурально предъявляемые серии щелчков с частотой 40 Гц. В первой паре бинаурально предъявляемых щелчков временное различие было максимальным: ΔT составляло 500 мкс. С каждой последующей парой щелчков в серии ΔT уменьшалось по линейному закону и через 1 с достигало минимального значения: ΔT составляло 10 мкс. На протяжении 2-й секунды ΔT линейно увеличивалось и к концу этой секунды достигало максимального значения. Таким образом, в течение первой секунды «перемещение» звукового сигнала происходило от уха к средней линии головы, а затем в обратном направлении. Варьируя той стороной, на которую подается опережающая серия щелчков и направление изменения ΔT (его увеличение или уменьшение), можно менять сторону стимуляции по отношению к средней линии головы (ипси- или контраплатеральное поле) и направление «перемещения» звука.

Нейронную активность после усиления, дискриминирования и преобразования в стандартные импульсы регистрировали на магнитную ленту, на одной из дорожек которой записывали также одиночные импульсы, маркировавшие начало звукового сигнала. В последующем с помощью ЭВМ строили постстимульные гистограммы. Таким образом были проанализированы 95 нейронов ХЯ.

Результаты

В первой серии опытов изучали реакции нейронов ХЯ на различную локализацию неподвижного источника звука. У 63 нейронов исследовали реакции на звуковые сигналы, локализованные по средней линии головы и возле ипсилатерального и контраплатерального уха. В результате анализа ответов по суммарным ПСТГ у значительного большинства исследованных нейронов обнаружено изменение реакций в зависимости от локализации источника звука. У 14 нейронов не обнаружено изменение реакций ни на одно из положений раздражителя. Число нейронов ХЯ, реагирующих на одно, два или три различных положения (S — слева, D — справа, B — по средней линии головы) сигнала, составляет 49:

15—S	4—S, B
6—D	5—B, D
6—B	2—S, D
11—S, D, B	

Различия между реакциями одних и тех же нейронов, обусловленные изменением локализации звука, касались начальных компонентов и более длительных тонических перестроек активности. На рис. 1 показано изменение реакций нейронов в зависимости от лока-

лизации раздражителя в на («он» ответ). Каждый из коротколатентной (до 20 мс) положений раздражителя: рального (2) уха или по сре-

дии оценки реакций наложения источника звука нейронов исследовали методом задержки во времени

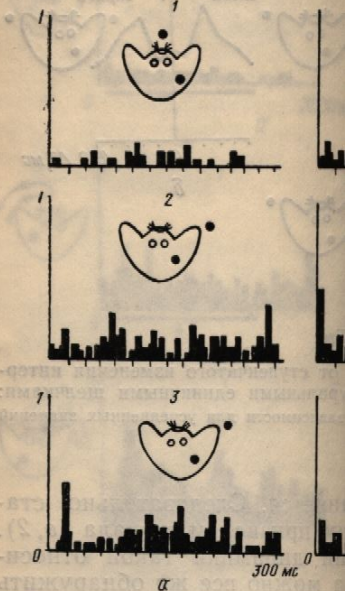


Рис. 1. Реакция нейронов ХЯ (1 — бинауральное; 2 — контраплатеральное; по оси ординат — число импульсов (мс); точка на схеме головы — схемы).

единичными щелчками. Обе максимальную реакцию при избирательно реагируют на по отношению к средней линии вероятностей ответов четырех уральной задержки при ипсе. Хорошо выявляется асимметрическая латеральная локализации симметрическими изменениями при определенных значениях максимум вероятности отве 100 мкс. Однако у нейронов наблюдалась при ипсилатеральной (4 — контраплатеральной (3) — выявляется второй пик повышенно, в контраплатеральном и ипсилатеральном.

Усредненный график реакции имеет метрическую форму с меньшим разными нейронами, возможно, зуемых интерауральных задержек.

Вторая серия исследована на бинауральные серии щелчков, изменяющейся во времени.

При действии такого сигнала ее форма изменялась в з

юсть черепа по методу, предложен-
и у бодрствующих животных, фикси-
или транскортикальный поиск ней-
сигнала. Звуковые сигналы запи-
рамме и воспроизводили во время
в звукоглотатели звукоизлучате-
ственно в слуховые проходы. Для
истиками различного пространствен-
производили дихотическую стимуля-
льно ипсолатерального уха, контра-
нерауральной задержки, а также
Интерауральная задержка (ΔT)
и ΔT использовали серию сигналов
рамма стимуляции предусматривала
ем контраплатеральному уху. Такой
записи ΔT создавал феномен латера-
него раздражения. Смещение звука
Для ΔT больше 300 мс звуковой
у того уха, на которое подается

ещение звука в пространстве при-
[3]. Для этого использовали бина-
40 Гц. В первой паре бинаурально
о максимальным: ΔT составляло
серии ΔT уменьшалось по линей-
значения: ΔT составляло 10 мкс.
ясь и к концу этой секунды дости-
жение первой секунды «перемеще-
лия линии головы, а затем в обрат-
ную подается опережающая серия
ение или уменьшение), можно ме-
лини головы (ипси- или контрапла-

иммирования и преобразования в
ю ленту, на одной из дорожек ко-
жировавшие начало звукового сиг-
онстимульные гистограммы. Таким

ии нейронов ХЯ на различ-
звука. У 63 нейронов иссле-
ализованные по средней ли-
ните рационального уха. В ре-
ИСТГ у значительного боль-
жено изменение реакций в
зука. У 14 нейронов не об-
з положений раздражителя.
но, два или три различных
по средней линии головы)

тех же нейронов, обуслов-
кались начальных компо-
перестроек активности. На-
нов в зависимости от лока-

лизации раздражителя в начальный период его применения до 300 мс
(«оп» ответ). Каждый из трех представленных нейронов отвечает коротколатентной (до 20 мс) фазной реакцией только на одно из трех положений раздражителя: возле ипсолатерального (3), контраплате-
рального (2) уха или по средней линии головы (1).

Для оценки реакций нейронов при различных промежуточных по-
ложениях источника звука с ипси- и контраплатеральной стороны 17
нейронов исследовали методом ступенчатого изменения интераураль-
ной задержки во времени (ΔT) между бинаурально предъявляемыми

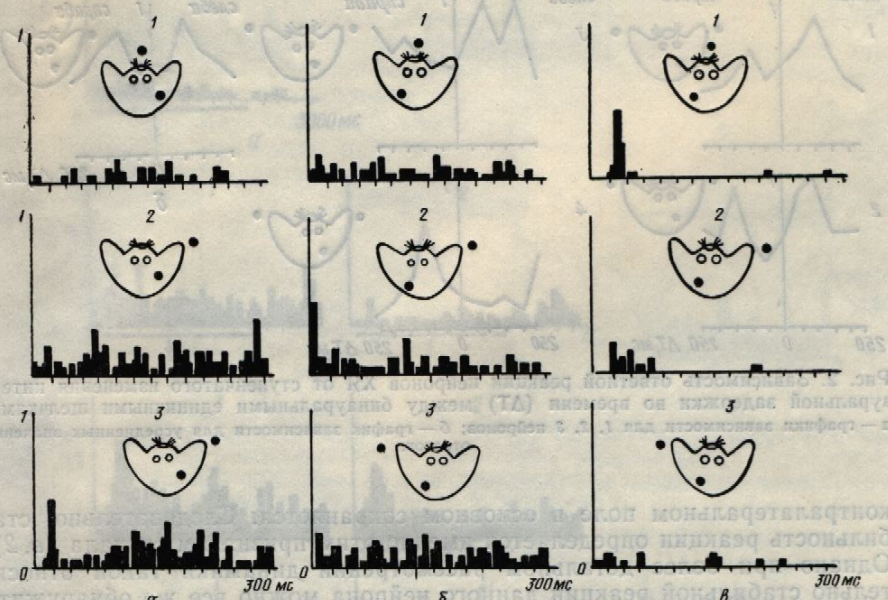


Рис. 1. Реакция нейронов ХЯ (а, б, в) на раздражение серией щелчков (ПСТГ):
1 — бинауральное; 2 — контраплатеральное и 3 — ипсолатеральное. Здесь и на последующих рисун-
ках по оси ординат — число импульсов, нормированное по числу стимулов, по оси абсцисс — время
анализа (мс); точка на схеме головы кошки — сторона отведения активности нейрона, точка вне
схемы — локализация раздражения.

единичными щелчками. Обнаружено, что разные нейроны проявляют максимальную реакцию при различной интерауральной задержке, т. е. избирательно реагируют на определенное смещение источника звука по отношению к средней линии. На рис. 2 показаны графики изменения вероятностей ответов четырех нейронов ХЯ в зависимости от интерауральной задержки при ипси- и контраплатеральном опережении звука. Хорошо выявляется асимметрия реакций нейронов при ипси- и контраплатеральной локализации сигнала и преимущественное их реагирование при определенных значениях ΔT . Для представленных нейронов максимум вероятности ответов наблюдался при ΔT , составляющем 100 мкс. Однако у нейронов 1, 2, 3 повышенная вероятность ответов наблюдалась при ипсолатеральной локализации сигнала, у нейрона 4 — контраплатеральной (см. рис. 2, а). Кроме того, у нейронов 2 и 3 выявляется второй пик повышенной вероятности ответа, соответственно, в контраплатеральном и ипсолатеральном полях.

Усредненный график реакций этих нейронов (б) имеет более симметричную форму с меньшим разбросом значений вероятностей ответов разных нейронов, возможно, перекрывающим весь диапазон используемых интерауральных задержек.

Вторая серия исследования посвящена изучению реакций нейронов на бинауральные серии щелчков с интерауральной задержкой, плавно изменяющейся во времени.

При действии такого сигнала у 16 из 20 нейронов (80 %) реакции и ее форма изменялись в зависимости от направления изменения

ΔT. На рис. 3, а представлен нейрон, не реагировавший на бинауральную серию щелчков без интерауральной задержки — ΔT составляет 0. При уменьшении ΔT в контралатеральном поле (в, 1) возникла четкая реакция, которая в два раза превышала реакцию этого нейрона на плавное уменьшение ΔT в ипсилатеральном поле (в, 1'). В контралатеральном поле обнаружена также реакция на увеличение ΔT, хотя и менее выраженная, чем в ответ на его уменьшение. При повторном предъявлении этих сигналов реакция нейрона на уменьшение ΔT в

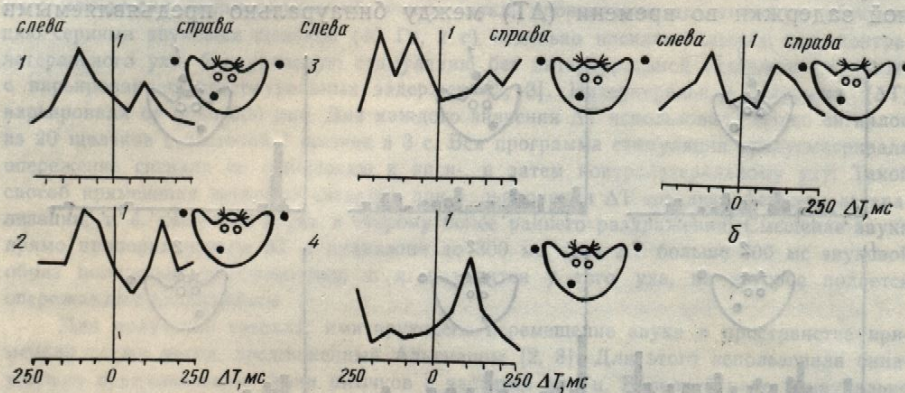


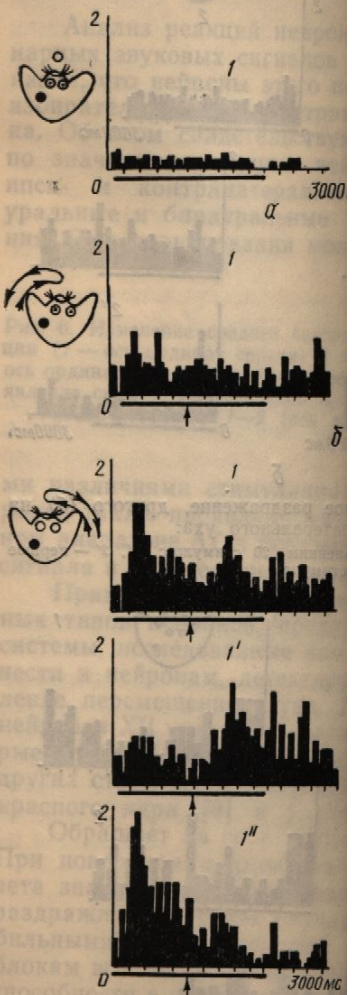
Рис. 2. Зависимость ответной реакции нейронов XЯ от ступенчатого изменения интерауральной задержки во времени (ΔT) между бинауральными единичными щелчками: а — графики зависимости для 1, 2, 3 нейронов; б — график зависимости для усредненных значений ответов.

контралатеральном поле в основном сохраняется. Следовательно, стабильность реакции определяется именно этим признаком сигнала (в, 2). Однако при более детальном рассмотрении динамики такой относительно стабильной реакции данного нейрона можно все же обнаружить определенные перестройки его активности во времени. При разделении ПСТГ на части и анализе таких временных блоков по 10 предъявлениям раздражителя видно, что первая суммарная ПСТГ (в, 1) отражает две реакции, возникающие в различные периоды предъявления сигнала. Во время первых 10 серий щелчков нейрон реагировал на увеличение ΔT в контралатеральном поле (в, 1') и только во время предъявления последующих 10 серий щелчков появилась очень четкая реакция на уменьшение ΔT в этом поле (в, 1''). При повторном применении сигнала на ПСТГ, построенных по 10 предъявлениям выявляется реакция только на уменьшение ΔT подобно тому, как это наблюдалось на суммарной ПСТГ (в, 2). Следовательно, хотя данный нейрон стабильно выделяет один признак сигнала (уменьшение ΔT в контралатеральном поле) реакция его на этот признак претерпевает динамические перестройки во времени.

Для исследования динамических свойств реакций нейронов XЯ были использованы также повторные контрольные предъявления неподвижных звуковых сигналов с различной локализацией. У 20 нейронов, тестированных таким образом, обнаружены существенные перестройки реакций во времени. При этом выделяются два основных направления перестроек активности: 1-е — усиление реакций или появление новых, 2-е — ослабление или исчезновение реакций. Наиболее характерная особенность активности исследованных нейронов при повторном стимулировании — повышение средней частоты разрядов и (или) появление реакции на ранее неэффективный раздражитель. На рис. 4, а показано изменение реакций одного нейрона на бинауральное раздражение серии щелчков (ΔT составляет 0) через определенные промежутки времени (около 5 мин). При первом предъявлении серии щелчков (1) наблюдается незначительная тоническая реакция инерционного типа с последействием. При повторном применении данного сигнала (2)

выявляется коротколатентная, возрастает во время третьего и повышается средний уровень.

В некоторых случаях реакций нейронов при повторном предъявлении раздражителей. На рис. 4, б пр

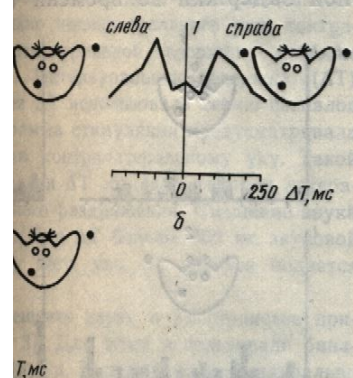


реакции одного нейрона XЯ этого уха (1, 2). При постр предъявлениям сигнала обнаруживается (1) соответствует реакция, серий щелчков (1'), в то время как (2) соответствует реакция, появившаяся серий щелчков (2').

Таким образом, возникновение и тот же вид раздражителя одом: реакция возникает в на и с большим опозданием во в

Противоположную направление можно было наблюдать у одних нейронов, реагирующих на разные сигналы с различной локализацией одного нейрона на стимуляции

реагировавший на бинауральную задержку — ΔT составляет 0. Поле (в, 1) возникла четкая реакция этого нейрона на поле (в, 1). В контраполатеральном увеличение ΔT , хотя и уменьшение. При повторном приложении на уменьшение ΔT в



от ступенчатого изменения интеруральных единичными щелчками: зависимости для усредненных значений

аняется. Следовательно, станим признаком сигнала (в, 2). динамики такой относительной можно все же обнаружить во времени. При разделении блоков по 10 предъявлениям ПСТГ (в, 1) отраженные периоды предъявления щелчков нейрон реагировал на (в, 1') и только во время щелчков появилась очень четкая (в, 1''). При повторном приложении 10 предъявлениям выявляется, однако тому, как это наблюдалось, хотя данный нейрон (уменьшение ΔT в контраполатеральном претерпевает динами-

ктуру реакций нейронов ХЯ было предъявления неподкализацией. У 20 нейронов, существенные перестройки в два основных направления реакций или появление новых, щелчков. Наиболее характерная для нейронов при повторном стимулировании разрядов и (или) появление раздражителя. На рис. 4, а показано бинауральное раздражение с определенными промежутками времени серий щелчков (1) — реакция инерционного типа на применение данного сигнала (2)

выявляется коротколатентная фазная реакция, которая значительно возрастает во время третьего предъявления сигнала (3), одновременно повышается средний уровень активности.

В некоторых случаях наблюдалась относительная стабильность реакций нейронов при повторных предъявлениях тех же самых раздражителей. На рис. 4, б представлены суммарные ПСТГ, отражающие

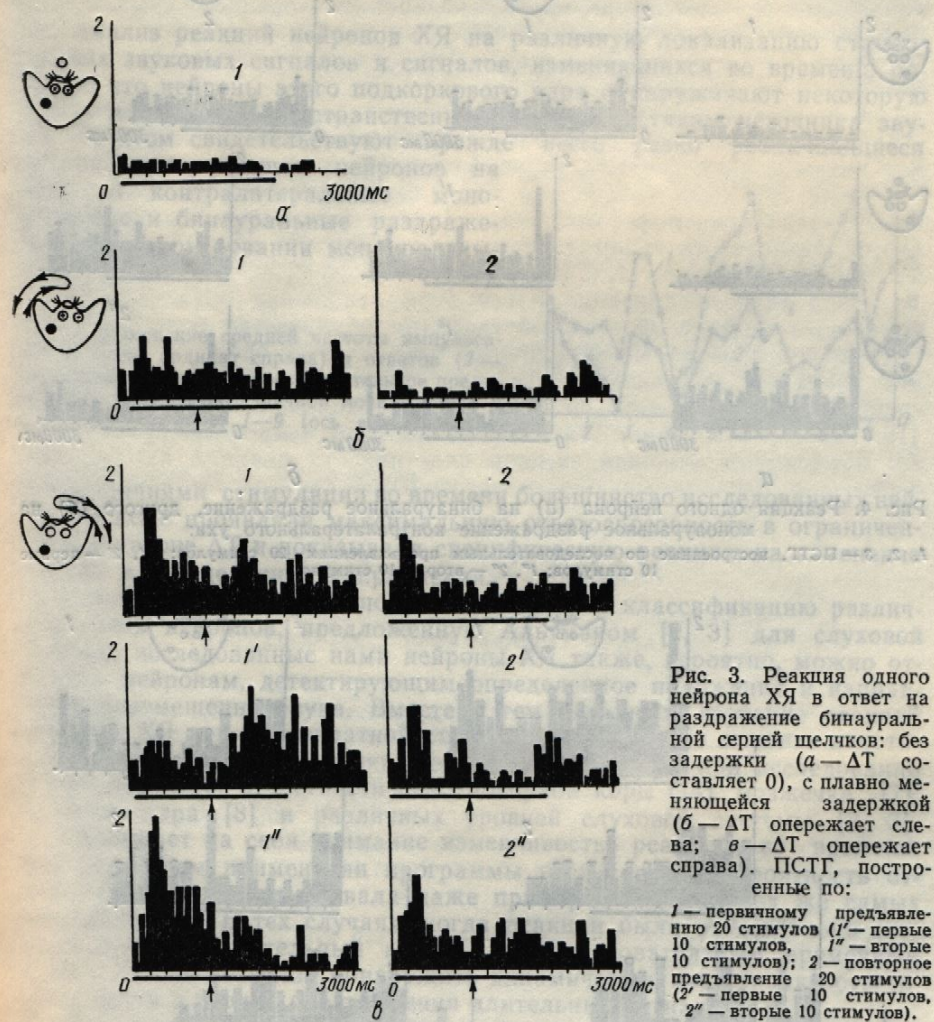


Рис. 3. Реакция одного нейрона ХЯ в ответ на раздражение бинауральной серией щелчков: без задержки (а — ΔT составляет 0), с плавно меняющейся задержкой (б — ΔT опережает слева; в — ΔT опережает справа). ПСТГ, построенные по:

1 — первичному предъявлению 20 стимулов (1' — первые 10 стимулов, 1'' — вторые 10 стимулов); 2 — повторное предъявление 20 стимулов (2' — первые 10 стимулов, 2'' — вторые 10 стимулов).

реакции одного нейрона ХЯ на повторную стимуляцию контраполатерального уха (1, 2). При построении же ПСТГ по 10 последовательным предъявлениям сигнала обнаруживается, что первой суммарной ПСТГ (1) соответствует реакция, возникшая в период применения первых 10 серий щелчков (1'), в то время как вторая суммарная ПСТГ (2) отражает реакцию, появившуюся только при предъявлении вторых 10 серий щелчков (2'').

Таким образом, возникновение реакции у данного нейрона на один и тот же вид раздражителя происходит с различным латентным периодом: реакция возникает в начале применения сигнала в первом случае и с большим опозданием во втором.

Противоположную направленность изменения ответоспособности можно было наблюдать у одного и того же нейрона при использовании сигналов с различной локализацией. На рис. 5 представлены реакции одного нейрона на стимуляцию ипси- (а) и контраполатерального уха (б).

Для каждого вида раздражения построены четыре ПСТГ по 5 предъявлениюм серий щелчков. На рис. 5, а видно, что стимуляция ипсилатерального уха привела к появлению хорошо оформленной фазной реакции при первых 5 предъявлениях сигнала (1), в каждом из последующих времененных блоков (2, 3, 4) реакция не выявляется. Стимуляция же контралатерального уха (см. рис. 5, б) была не эффективна в процессе предъявления 15 серий щелчков (1, 2, 3) и только на последней ПСТГ (15—20 серий щелчков) обнаруживается четкая фазная реакция (4).

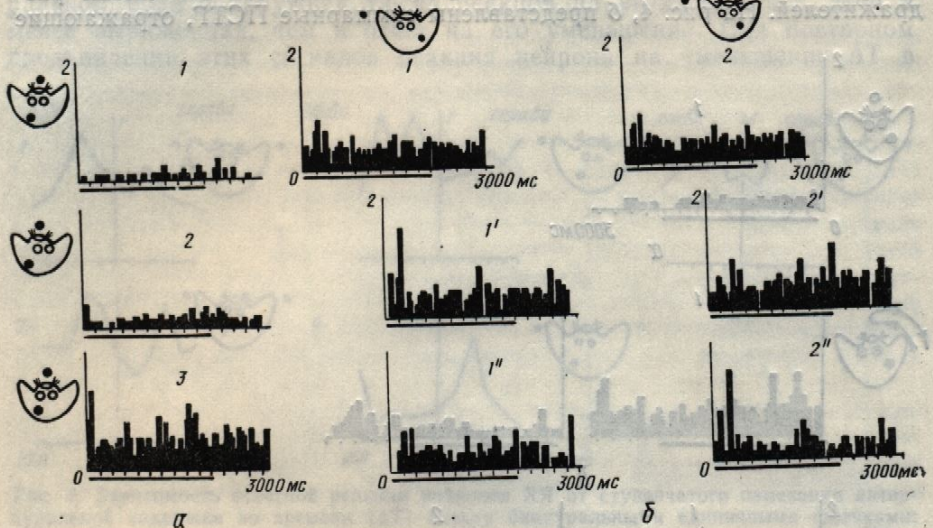


Рис. 4. Реакция одного нейрона (а) на бинауральное раздражение, другого (б) на моноауральное раздражение контралатерального уха:
1, 2, 3 — ПСТГ, построенные по последовательным предъявлениюм 20 стимулов; 1', 2' — первые 10 стимулов; 1'', 2'' — вторые 10 стимулов.

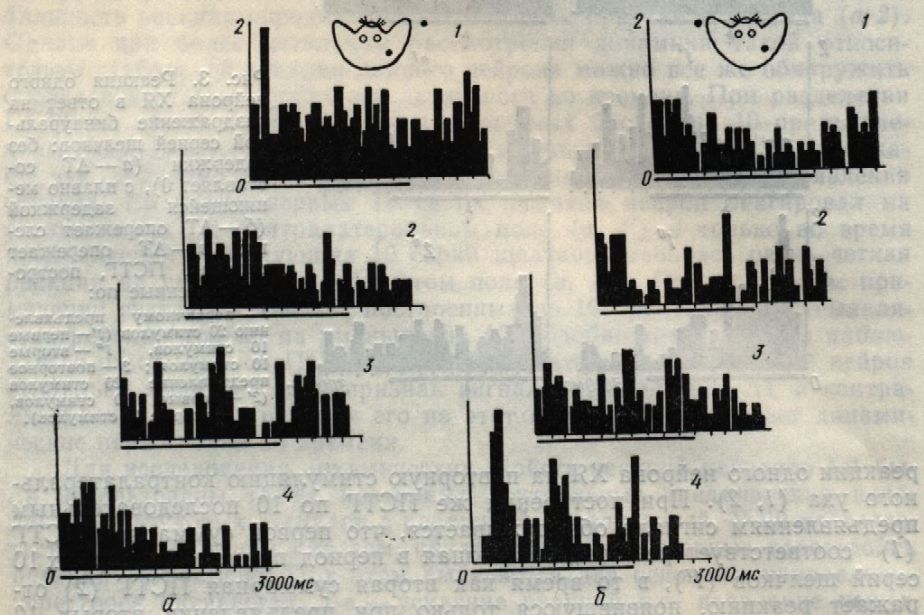


Рис. 5. Реакция одного нейрона ХЯ на моноауральное раздражение ипси- (а) и контралатерального (б) уха:
1, 2, 3, 4 — ПСТГ, построенные по последовательным предъявлениюм 5 стимулов.

ющих временных блоков (2, 3, 4) реакция не выявляется. Стимуляция же контралатерального уха (см. рис. 5, б) была не эффективна в процессе предъявления 15 серий щелчков (1, 2, 3) и только на последней ПСТГ (15—20 серий щелчков) обнаруживается четкая фазная реакция (4).

При построении график локализаций у ряд наружено, что такое изменение характер (рис. 6, 2).

Анализ реакций нейронов звуковых сигналов показал, что нейроны этого по избирательность к пространства. Об этом свидетельствуют значениям реакции нейрона и контраплатеральные уральные и бинауральные ния. При варьировании мон

Рис. 6. Изменение средней частоты (1 — ось ординат справа) и ось ординат слева) на последовательноеявление сигналов с различной лок

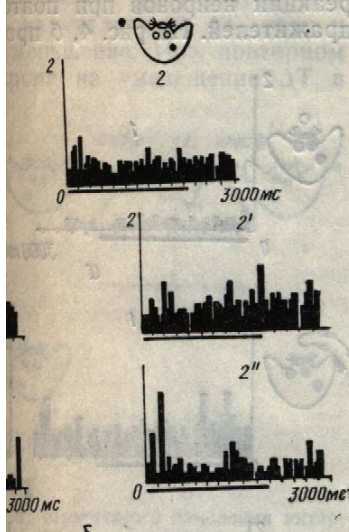
ми различиями стимуляции нейронов также проявляли максимум диапазоне ΔT и показывали сигнала в определенном напр

Применяя для оценки различных типов нейронов, предложенные системы, исследованные нам нести к нейронам, детектирующим перемещения звука. Гипотеза о том, что нейроны ХЯ при многократных особенностях их динамики других структур, в частности красного ядра [8] и разли

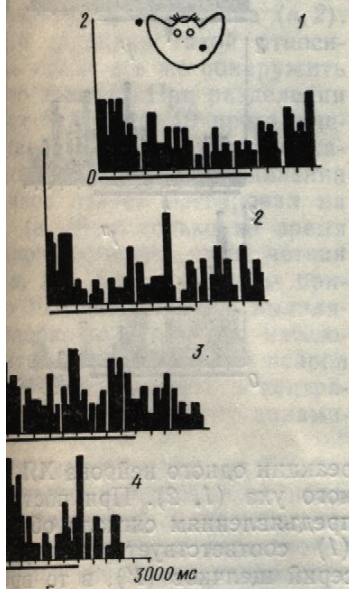
Обращает на себя внимание, что повторное применение ветра значительно варьировало раздражителей. В тех случаях, когда блокам все же позволил обнаружить способности в период предъявления.

Такая динамическая нестабильность способность нейронов к детекции звукового сигнала. Однако изменения детекторных свойств нейронов ХЯ при многократных особенностях их динамики других структур, в частности красного ядра [8] и различиями стимуляции звукового сигнала. На основании детального исследования детекторной функции гипотезу о пространственно-временном кодировании признаков сигнала. Автор считает, что для оценки необходимо учитывать распределение всей популяции нейронов в центральных нейронах. В исследовании также встречаются клетки, используемые параметров разброса времени создает дополнительные признаки. Можно думать,

четыре ПСТГ по 5 предъяв-
ло, что стимуляция ипсилате-
ральной фазной реак-
(1), в каждом из последу-



ное раздражение, другого (б) на алатерального уха:
появлениям 20 стимулов; 1', 2' — первые
0 стимулов.



ое раздражение ипси- (а) и контра-
ха:
ным предъявлением 5 стимулов.

не выявляется. Стимуляция
) была не эффективна в про-
(2, 3) и только на последней
является четкая фазная реак-

При построении графиков вероятностей ответов на сигналы с различной локализацией у ряда последовательно изученных нейронов обнаружено, что такое изменение вероятностей ответов имеет периодический характер (рис. 6, 2).

Обсуждение

Анализ реакций нейронов ХЯ на различную локализацию стационарных звуковых сигналов и сигналов, изменяющихся во времени, показал, что нейроны этого подкоркового ядра обнаруживают некоторую избирательность к пространственным характеристикам источника звука. Об этом свидетельствуют прежде всего резко различающиеся по значениям реакции нейронов на ипси- и контраполатеральные моноуральные и бинауральные раздражения. При варьировании моноуральных

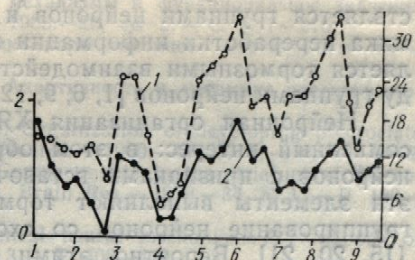


Рис. 6. Изменение средней частоты импульсации (1 — ось ординат справа) и ответов (2 — ось ординат слева) на последовательное предъявление сигналов с различной локализацией у ряда нейронов: 1—9 (ось абсцисс).

различиями стимуляции во времени большинство исследованных нейронов также проявляли максимальную ответоспособность в ограниченном диапазоне Δt и показывали специфическую реакцию на изменение сигнала в определенном направлении.

Применяя для оценки полученных данных классификацию различных типов нейронов, предложенную Альтманом [2, 3] для слуховой системы, исследованные нами нейроны ХЯ также, вероятно, можно отнести к нейронам, детектирующим определенное положение и направление перемещения звука. Вместе с тем детальное изучение реакций нейронов ХЯ при многократной стимуляции позволило выявить некоторые особенности их динамики, которые не отмечены при исследовании других структур, в частности сенсомоторной коры [14], мозжечка [7], красного ядра [8] и различных уровней слуховой системы [2, 3].

Обращает на себя внимание изменчивость реакций во времени. При повторном применении программы исследования вероятность ответа значительно варьировала даже при предъявлении тех же самых раздражителей. В тех случаях, когда реакции были относительно стабильными, дополнительный анализ по последовательным временным блокам все же позволил обнаружить динамические перестройки ответоспособности в период предъявления длительных сигналов.

Такая динамическая нестабильность реакций ставит как будто под сомнение способность нейронов ХЯ фиксировать определенную локализацию звукового сигнала. Однако в последнее время получены данные об изменении детекторных свойств нейронов зрительной коры (поле 17). На основании детального исследования динамических и пластических аспектов детекторной функции этих нейронов Шевелев [19] выдвинул гипотезу о пространственно-временном (а не только пространственном) кодировании признаков сигналов, как более гибким и экономичным. Автор считает, что для оценки детекторной ориентационной функции необходимо учитывать распределение предпочтительных ориентаций для всей популяции нейронов в целом и изменение их во времени для отдельных нейронов. В исследованной нами популяции нейронов ХЯ также встречаются клетки, значительно отличающиеся между собой по локализационным характеристикам, перекрывающим весь диапазон используемых параметров раздражений. Изменение этих характеристик во времени создает дополнительные возможности для анализа различных признаков. Можно думать, что в основе временной перестройки

нейронной активности в ХЯ лежат циклические процессы, так как изменение вероятностей ответов имеет колебательный характер.

Ранее [10] мы показали, что способность нейронов ХЯ отвечать на звуковые щелчки появляется периодически в соответствии с фазами повышения или понижения частоты их спонтанной активности. Флюктуация реакций нейронов ХЯ на звуковые раздражения с различной локализацией также коррелирует с колебаниями среднего уровня текущей частоты. Это достаточно убедительно показано при сопоставлении значений ответов нейронов с графиками средней частоты разрядов этих нейронов (см. рис. 6, 1).

Для объяснения колебательного режима различных мозговых образований привлекаются современные концепции, рассматривающие мозг как динамическую систему, переработка информации в которой осуществляется группами нейронов иносит вероятностный характер. Динамика переработки информации при этом в значительной мере определяется тормозными взаимодействиями как внутри группы, так и между группами нейронов [1, 6, 9, 12, 13, 17, 18].

Нейронная организация ХЯ в этом отношении представляет несомненный интерес: в этом образовании обнаружено большое число нейронов с признаками вставочных элементов и предполагается, что эти элементы выполняют тормозную функцию [4]. Описано также группирование нейронов со сходными функциональными признаками [15, 20, 21]. Вероятно, этими особенностями нейронной организации ХЯ объясняется высокая степень пластичности реакций на звуковые сигналы с различными пространственными характеристиками.

R. R. Velikaya, G. M. Gruzdev

RESPONSES OF NEOSTRIATUM NEURONS TO SOUND SIGNALS WITH DIFFERENT LOCALIZATION

The ability of caudate nucleus neurons to respond to the sound signals with different spatial characteristics of the immovable sound source and to the signals imitating its motion has been studied in experiments on nonanesthetized cats. It is found that most of the studied neurons are sensitive to the definite spatial position of the sound source and to the definite direction of its motion. It is found that responses even to the same character of the signal vary significantly and appear with different latent period, that may be considered as an additional factor directed to refine the localization of the sound signal.

A. A. Bogomolov Institute of Physiology,
Academy of Sciences of the Ukrainian SSR, Kiev

- Аладжалова Н. А. Психофизиологические аспекты сверхмедленной ритмической активности головного мозга. — М.: Наука, 1979.—214 с.
- Альтман Я. А. Локализация звука. — Л.: Наука, 1972.—214 с.
- Альтман Я. А. Локализация движущегося источника звука. — Л.: Наука, 1983.—176 с.
- Арушанян Э. Б., Отелин В. А. Хвостатое ядро. — Л.: Наука, 1976.—224 с.
- Батуев А. С., Василевский Н. И., Зиненко Н. В. и др. Простой способ регистрации нейрональной активности головного мозга бодрствующих животных // Физiol. журн. СССР.—1972.—58, № 11.—С. 1774—1776.
- Батуев А. С., Демьяненко Г. П. Степени свободы нейрона и корковые нейронные модули // Успехи физiol. наук. — 1983.—14, № 1.—С. 27—44.
- Бехтерев Н. Н. Электрофизиологические исследования слуховой зоны червя мозжечка при звуковой стимуляции: Автореф. дис... канд. биол. наук. — Л., 1980.—17 с.
- Братусь Н. В., Шинкаренко С. А., Кудрявцева И. Н. Электрические реакции красного ядра кошки при действии звуковых стимулов // Физiol. журн. СССР.—1981.—67, № 10.—С. 1493—1500.
- Верцеано М. Активность нейронных сетей при осуществлении функции познания // Нейрофизиологические механизмы поведения. — М.: Наука, 1982.—С. 199—222.
- Груздев Г. М., Великая Р. Р. Некоторые особенности фоновой и вызванной звуковыми щелчками активности нейронов хвостатого ядра кошки // Физiol. журн.—1983.—29, № 6.—С. 756—760.

- Груздев Г. М., Великая Р. Р. Фоновые сигналы // Там же.—1
- Забродин Ю. М., Носулена са обнаружения // Психол. С. 9—16.
- Коган А. Б. Нейронные а Механизмы объединения не
- Куликов Г. А., Бехтерев . коры кошки на моноаура СССР.—1979.—65, № 6.—
- Леонович Т. А. Нейронна га. — М.: Медицина, 1978.—
- Луханина Е. П. Литвино ра кошки на звуковые С. 588—595.
- Серков Ф. Н. Характеристика коркового торможения // С
- Серков Ф. Н. Торможени 1984.—30, № 3.—С. 278—2
- Шевелев И. Н. Нейроны з лей. — М.: Наука, 1984.—2
- Cospito I. A., Levine M. S. corticostriate projection in
- Graybiel A. M., Regsdale cel observed by retrograde cel 195.
- Masterton B., Diamond J. perceptual system. — New Y

Ин-т физиологии им. А. А. Богданова УССР, Киев

УДК 612.825—612.822.3

РЕАКЦИИ НЕЙРОННОЙ КОРЫ КОШКИ ДО И МЕДИАЛНОГО МЕДИАЛНОГО

Хорошо известно, что нейроны коры кошки отвечают на изменение в качестве звука и длительности, позволившие ассоциативной коре [10] том, что в этой области существуют двумя четко выражеными структурами [3, 13]. Учитывая данные о различии между медиальным колем и приводящим к нему, имеющих различные характеристики, отвечающих на тональные сигналы, можно выделить определенные структуры.

В настоящей работе было исследовано удаление МКТ на нием тонами различной частоты, по которым поступает социативную кору мозга.



ические процессы, так как из-
бательный характер.
юсть нейронов ХЯ отвечать
ски в соответствии с фазами
онтанной активности. Флюк-
е раздражения с различной
ниями среднего уровня теку-
показано при сопоставлении
единой частоты разрядов этих
и различных мозговых обра-
ции, рассматривающие мозг
информации в которой осуще-
ствленностный характер. Дина-
в значительной мере опреде-
внутри группы, так и меж-
].
отношении представляет не-
обнаружено большое число
ентов и предполагается, что
нкцию [4]. Описано также
функциональными признаками
ями нейронной организации
ности реакций на звуковые
и характеристиками.

GRUZDEV EURONS TO SOUND LOCALIZATION

ond to the sound signals with different source and to the signals imitating anesthetized cats. It is found that definite spatial position of the sound is found that responses even to the same appear with different latent periods. It is suggested to refine the localization of the sound source by using the method of successive approximation.

Библиография

ты сверхмедленной ритмической акции // Ученые записки БГУ. — 1972. — № 14. — 14 с.

1972.—214 с.

оchnika звука. — Л. : Наука, 1983. — 224 с.

ро. — Л. : Наука, 1976.—224 с.

. и др. Простой способ регистрации одрствующих животных // Физиология нервной системы. — С. 27—44.

ды нейрона и корковые пейронные // С. 27—44.

дования слуховой зоны червя мозга // Кандидатская диссертация. — С. ... канд. биол. наук. — Л., 1980. — 110 с.

И. Н. Электрические реакции красного креста // Физиология СССР. — 1978. — № 1. — С. 10—14.

исуществлении функции познания // М.: Наука, 1982.— С. 199—222.
енности фоновой и вызванной зву-
ого ядра кошки // Физiol. журн.—

11. Груздев Г. М., Великая Р. Р. Реакции нейронов неостриatum на сложные звуковые сигналы // Там же. — 1985.—31, № 4. — С. 407—415.
 12. Забродин Ю. М., Носуленко В. Н., Пахомов Л. П. Динамические аспекты процесса обнаружения // Психофизиология сенсорных проблем. — М.: Наука, 1979.—С. 9—16.
 13. Коган А. Б. Нейронные ансамбли как элементы конструкции первого центра // Механизмы объединения нейронов в первом центре. — Л.: Наука, 1974.—С. 21—26.
 14. Куликов Г. А., Бехтерев Н. Н. Характеристика реакций нейронов сенсомоторной коры кошки на моноaurальную и бинауральную стимуляцию // Физиол. журн. СССР. — 1979.—65, № 6. — С. 801—811.
 15. Леонович Т. А. Нейронная организация подкорковых образований переднего мозга. — М.: Медицина, 1978.—379 с.
 16. Луханина Е. П., Литвинова А. Н., Пильский Л. Г. Ответы нейронов хвостатого ядра кошки на звуковые раздражения // Нейрофизиология. — 1980.—12, № 6. — С. 588—595.
 17. Серков Ф. Н. Характеристика, нейронные механизмы и функциональное значение коркового торможения // Физиол. журн. — 1983.—29, № 2. — С. 207—215.
 18. Серков Ф. Н. Торможение и архитектоника коры головного мозга // Там же. — 1984.—30, № 3. — С. 278—289.
 19. Шевелев И. А. Нейроны зрительной коры: Адаптивность и динамика рецептив. полей. — М.: Наука, 1984.—230 с.
 20. Cospito I. A., Levine M. S., Adinolfi A. M. Organization of developing precruciate corticostriate projection in kiffs // Exp. Neurol. — 1980.—67, N 2. — P. 447—452.
 21. Graybiel A. M., Regsdale C. W., Moon S. Compartments in the striatum of the cat observed by retrograde cell labelling // Exp. Brain Res. — 1979.—34, N 1. — P. 189—195.
 22. Masterton B., Diamond J. T. Hearing: central neural mechanisms // Handbook of perceptual system. — New York, 1973. — Vol. 3. — P. 408—449.

Ин-т физиологии им. А. А. Богомольца
АН УССР, Киев

Поступила 11.06.85

УДК 612.825—612.822.3

В. В. Туркин

РЕАКЦИИ НЕЙРОНОВ ТЕМЕННОЙ АССОЦИАТИВНОЙ КОРЫ КОШКИ НА ТОНАЛЬНЫЕ РАЗДРАЖЕНИЯ ДО И ПОСЛЕ УДАЛЕНИЯ МЕДИАЛЬНЫХ КОЛЕНЧАТЫХ ТЕЛ

Хорошо известно, что нейроны теменной ассоциативной коры (ТАК) мозга кошки отвечают на звуковое раздражение (щелчок) [7]. Применение в качестве звукового раздражения тонов заданной частоты и длительности позволило более детально изучить реакции нейронов ассоциативной коры [10, 14]. В последнее время появились данные о том, что в этой области коры имеются нейроны, обладающие одной или двумя четко выраженным характеристическими частотами (ХЧ) [3, 13]. Учитывая данные морфологических работ, обнаруживших связи между медиальным коленчатым телом (МКТ) и ТАК [12], а также между слуховой корой и ТАК [6], можно предположить, что акустический сигнал поступает в теменную ассоциативную кору через выше-названные структуры. Мы показали [4], что удаление слуховой коры, хотя и приводит к уменьшению процентного соотношения числа нейронов, имеющих характеристические частоты, однако значительная часть отвечающих на тональные раздражения нейронов ТАК продолжает выделять определенные тоны из множества предъявляемых.

В настоящей работе представлены данные о влиянии билатерального удаления МКТ на реакции нейронов ТАК, вызванные раздражением тонами различной частоты. Это позволяет более точно определить пути, по которым поступает акустическая информация в теменную ассоциативную кору мозга кошки.

Методика

Опыты проведены на 18 кошках под слабым хлоралозовым наркозом (8–10 мг/кг внутривенно). Оперативную подготовку осуществляли под кеталаровым наркозом (20 мг/кг внутримышечно). Импульсную активность нейронов отводили внеклеточно с помощью стеклянных микроэлектродов, заполненных раствором KCl (2,5 моль/л). Место отведения — передняя часть средней супрасильвийской извилины. Поиск ответов нейронов вели на щелчок, который подавали ритмически с частотой один щелчок в 2 с, при медленном продвижении отводящего электрода. Методика акустического и электрокожного раздражения была описана в предыдущих работах [3, 5].

Удаление мелкоклеточной и крупноклеточной частей МКТ производили с помощью хирургического отсасывателя ОХ-2. Во время доступа к МКТ отсасывали зрительную кору, часть слуховой коры и гиппокампа. После опыта мозг животного извлекали и фиксировали в 10 %-ном растворе формалина. Точность удаления МКТ верифицировали на фронтальных срезах мозга толщиной 100 мкм (рис. 1).

Результаты

Исследовано 147 нейронов передней части средней супрасильвийской извилины, отвечавших импульсными разрядами на раздражение тонами различной частоты. Из их числа 68 отвечающих нейронов зарегистрированы у животных с интактным мозгом, 13 — после оперативного подхода к МКТ и 66 — после билатерального удаления медиального коленчатого тела. До удаления МКТ отвечающие нейроны были обнаружены во всех слоях, кроме первого, наибольшее их число зарегистрировали на глубине 0,7–1,2 мм. Обычно ответы нейронов на тональные раздражения состояли из 4–5 потенциалов действия (рис. 2, а), со скрытым периодом (СП) в пределах 20–55 мс, причем СП ответов у одного и того же нейрона всегда был постоянным. У 19 % нейронов, кроме первого, через 95–125 мс после раздражения возникал второй разряд (см. рис. 2, б), который отличался нерегулярностью появления и флюктуацией СП.

Пороговое раздражение для возникновения ответа нейрона составляло в среднем 45 дБ. Анализ частотно-пороговых кривых (ЧПК) нейронов ТАК до удаления МКТ показал, что подавляющее большинство нейронов отвечало на широкий диапазон предъявляемых частот (от 0,4 до 20 кГц), но при этом одни нейроны (62 %) имели только одну характеристическую частоту (см. рис. 2, в, 1), другие (14 %) — две характеристические ча-

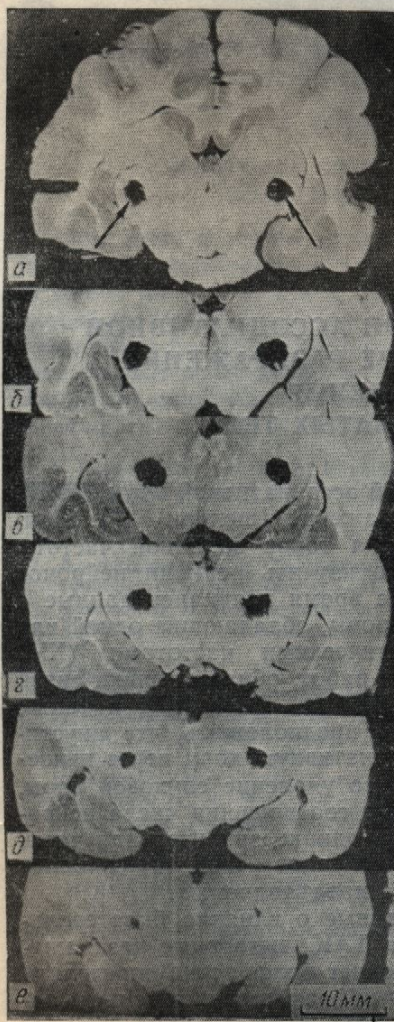


Рис. 1. Фронтальные срезы мозга кошки. Зоны билатерального разрушения МКТ (указаны стрелкой):

а — А5.5; б — А6.0; в — А6.5; г — А7.0; д — А7.5; е — А8.0. Калибровка: 10 мм.

стоты (см. рис. 2, в, 2), у ту выявить не удалось (см. В трех опытах отвод ствления оперативного по-

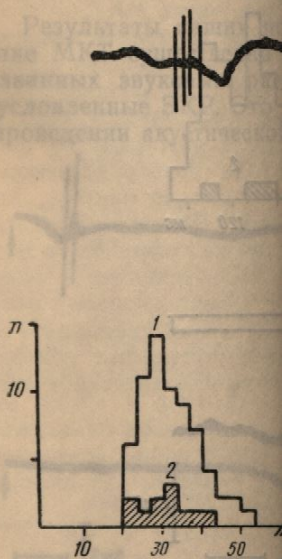


Рис. 2. Характеристика реакции

а — осциллограмма ответа нейрона на раздражение; б — гистограмма скрытого периода серии импульсов; 1 — двумя сериями с одной характеристической частотой; 2 — частота тонов (кГц)

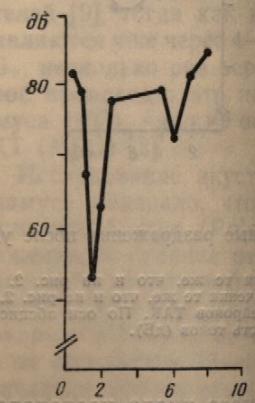


Рис. 3. Частотно-пороговые кривые

нейронов, отвечавших на тональные раздражения. У 19 % нейронов (рис. 3, 1, 2, 3), у пяти ХЧ отсутствовало СП. У остальных

После удаления МКТ у всех нейронов, особенно в вер-

ым хлоралозовым наркозом (8—существляли под кеталаровым наркотиком) активность нейронов отводили внешних, заполненных раствором KCl средней супрасильвиеевой извилины. И подавали ритмически с частотой отводящего электрода. Методика была описана в предыдущих рабо-

частей МКТ производили с помощью доступа к МКТ отсасывали зри. После опыта мозг животного изомалина. Точность удаления МКТ шиной 100 мкм (рис. 1).

части средней супрасильвии разрядами на раздражение 68 отвечающих нейронов зафиксированы у животных с интактным МКТ и 66 — после билатерального удаления медиального колла. До удаления МКТ отвечающие нейроны были обнаружены в слоях, кроме первого, наибольшее число зарегистрировали на 0,7—1,2 мм. Обычно ответы на тональные раздражения из 4—5 потенциалов действий (рис. 2, а), со скрытым периодом предела 20—55 мс, причем у одного и того же нейрона был постоянным. У 19 % кроме первого, через 95—100 мс раздражения возникал второй (см. рис. 2, б), который нерегулярностью появления имел СП. Тоновое раздражение для возбуждения нейрона составляло 45 дБ. Анализ частотно-пороговых кривых (ЧПК) нейронов до удаления МКТ показал, что большинство нейронов имели широкий диапазон предельных частот (от 0,4 до 20 кГц), из которых одни нейроны (62 %) имели одну характеристическую частоту (см. рис. 2, в, 1), другие две характеристические ча-

стоты (см. рис. 2, в, 2), у третьих (24 %) — характеристическую частоту выявить не удалось (см. рис. 2, в, 3). В трех опытах отводили активность нейронов ТАК после осуществления оперативного подхода к МКТ. Было зарегистрировано 13 нейро-

нов, отвечающих на тональные раздражения до удаления МКТ. Было зарегистрировано 13 нейро-

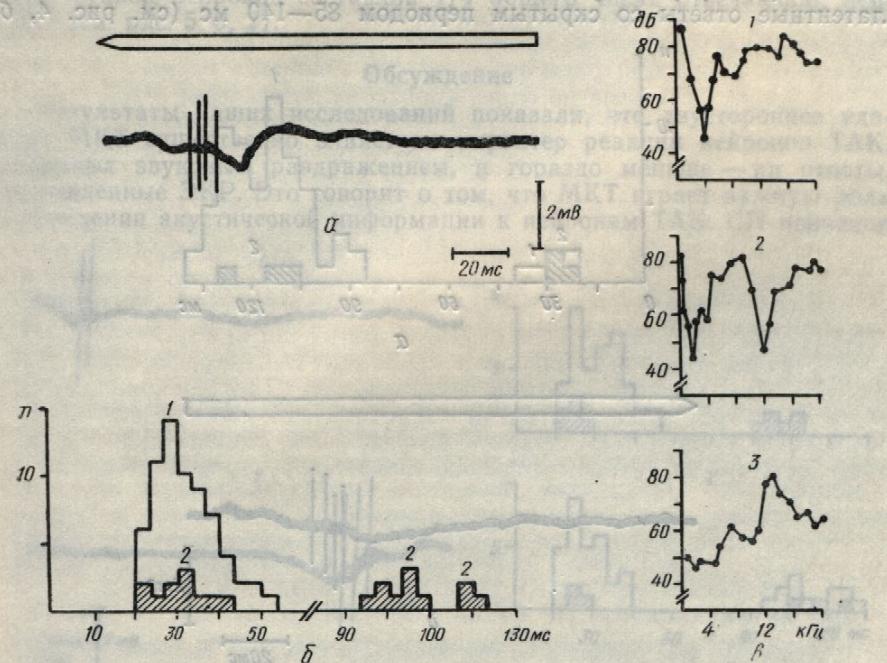


Рис. 2. Характеристика реакций нейронов ТАК на тональные раздражения до удаления МКТ:

а — осциллограмма ответа нейрона на тон частотой 2,2 кГц (верхний луч — отметка тонального раздражения); б — гистограмма скрытых периодов ответов нейронов: 1 — нейроны, отвечающие одной серией импульсов; 2 — двумя сериями импульсов; в — частотно-пороговые кривые нейронов: 1 — с одной характеристической частотой (ХЧ); 2 — с двумя; 3 — не имеющие ХЧ. По оси абсцисс — частота тонов (кГц), по оси ординат — интенсивность тонов (дБ).

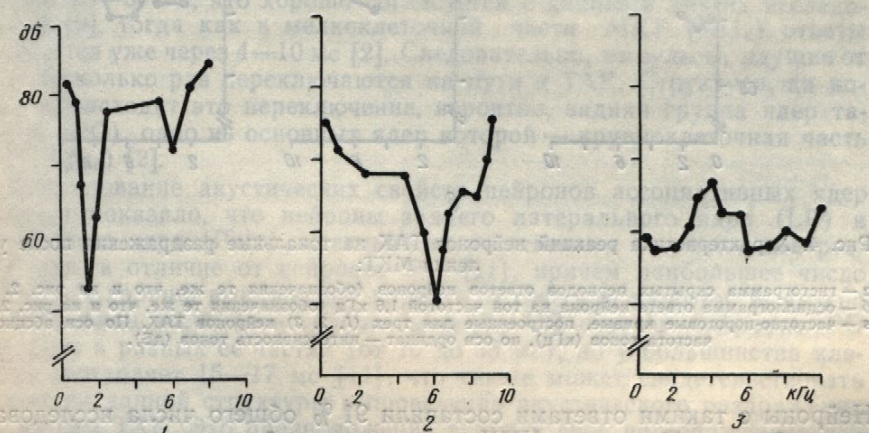


Рис. 3. Частотно-пороговые кривые нейронов ТАК после оперативного подхода к МКТ: 1, 2 — с одной характеристической частотой; 3 — без характеристической частоты (обозначения те же, что и на рис. 2, в).

ронов, отвечающих на тональные раздражения. Общим для всех этих нейронов явилось то, что они не отвечали на тоны выше 9—12 кГц (рис. 3, 1, 2, 3). У восьми из них ХЧ были четко выражены (см. рис. 3, 1, 2), у пяти ХЧ отсутствовали (см. рис. 3, 3).

После удаления МКТ значительно ухудшилась ответоспособность нейронов, особенно в верхних слоях ТАК, а на глубине до 0,6 мм от-

ветов вообще не наблюдалось. Резко уменьшилось (до 9 %) число отвечающих нейронов со скрытым периодом 20—40 мс (рис. 4, а), который был типичен для интактных животных. При повышении интенсивности звукового давления до 70—95 дБ, начинали возникать длиннолатентные ответы со скрытым периодом 85—140 мс (см. рис. 4, б).

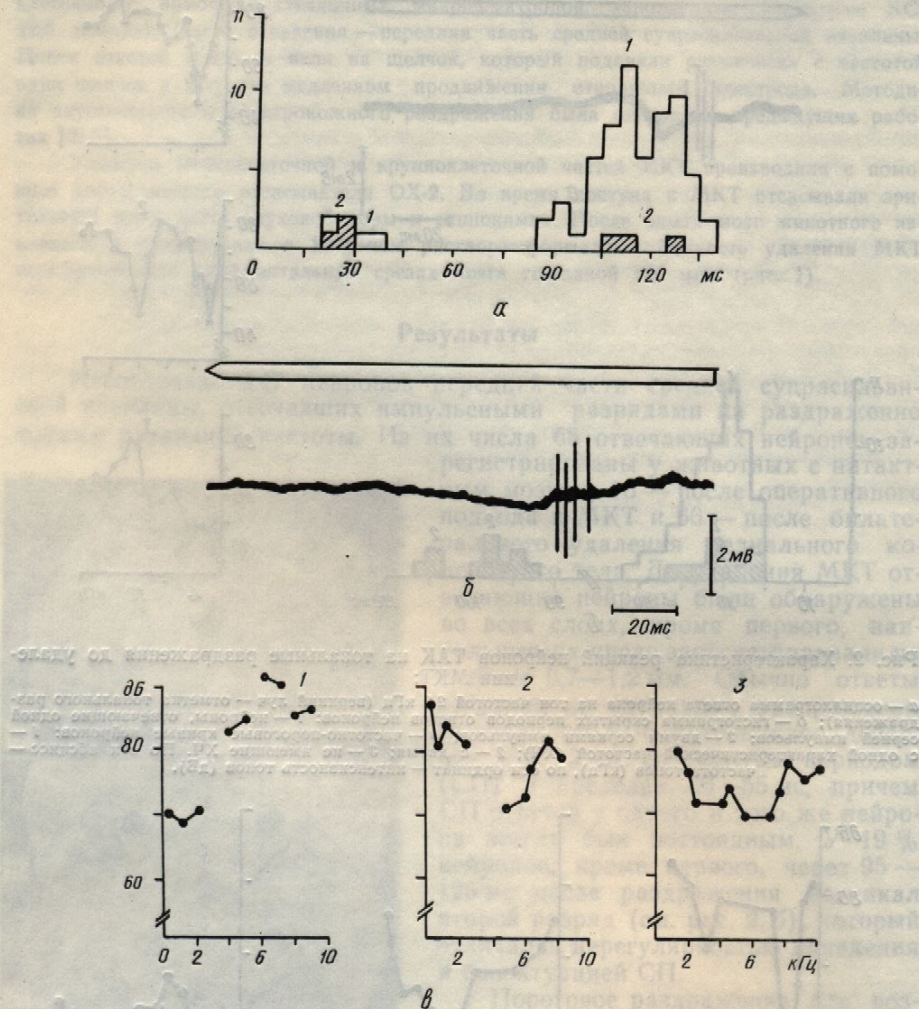


Рис. 4. Характеристика реакций нейронов ТАК на тональные раздражения после удаления МКТ:

а — гистограмма скрытых периодов ответов нейронов (обозначения те же, что и на рис. 2, б); б — осциллограмма ответа нейрона на тон частотой 1,6 кГц (обозначения те же, что и на рис. 2, а); в — частотно-пороговые кривые, построенные для трех (1, 2, 3) нейронов ТАК. По оси абсцисс — частота тонов (кГц), по оси ординат — интенсивность тонов (дБ).

Нейроны с такими ответами составили 91 % общего числа исследованных нейронов. Построить ЧПК для данных нейронов оказалось гораздо сложнее, чем в обычных условиях, так как ответы возникали нерегулярно и лишь на некоторые предъявляемые тоны. Не было обнаружено ни одного нейрона с четко выраженной ХЧ (см. рис. 4, в).

Для выяснения способности всех исследуемых нейронов отвечать на другой вид периферического раздражения использовали ЭКР верхней губы в области вибрисс. Было установлено, что 80 % клеток отвечает и на этот вид раздражений. Из их числа, у интактных животных значительное большинство нейронов (86 %) отвечало на ЭКР одним разрядом со скрытым периодом (СП) 18—50 мс (рис. 5, а, 1).

У части нейронов (14 %) СП которых состоял из двух разрядов (рис. 5, а, 2). Группа таких нейронов состояла из 110 мс (см. рис. 5, б, 1).

Результаты наших исследований показывают, что удаление МКТ существенно меняет характеристики отвечающих звуковым раздражениям нейронов, обусловленные ЭКР. Это связано с тем, что в проведении акустических раздражений участвует не только МКТ, но и другие структуры, в том числе и таламус.

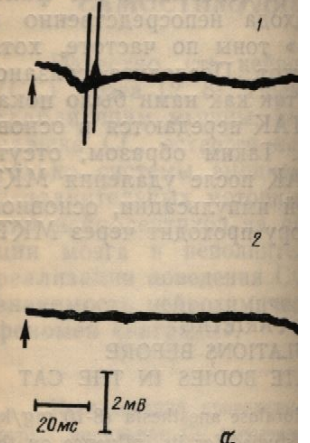


Рис. 5. Характеристика реакций нейронов ТАК на тональные раздражения после удаления МКТ:

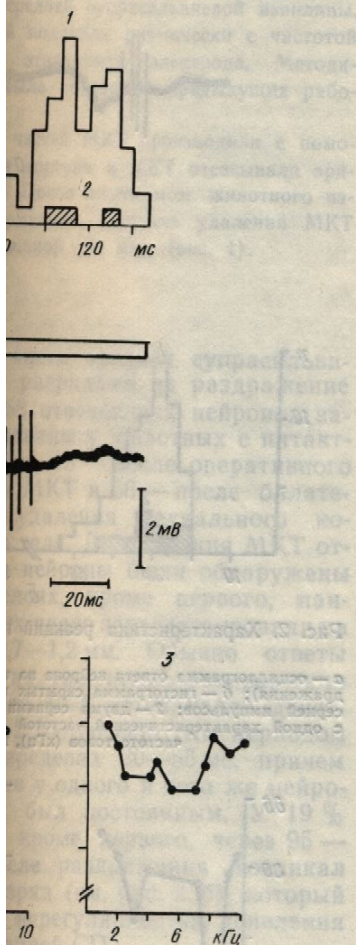
а — осциллограммы ответов нейронов (обозначения те же, что и на рис. 2, б); б — частотно-пороговые кривые, построенные для трех (1, 2, 3) нейронов ТАК. По оси абсцисс — частота тонов (кГц), по оси ординат — интенсивность тонов (дБ).

ТАК на тональные раздражения реагируют с опозданием в среднем 25—30 мс, что характерно для большинства нейронов [9], тогда как в некоторых случаях они появляются уже через 4—10 мс. Удаление МКТ, несколько раз переворачивающее тело ядра, приводит к тому, что первая волна раздражения, приходящая из таламуса (PO), одно из основных источников МКТ (MG_m) [2].

Исследование акустической чувствительности таламуса показало, что он реагирует на тональные раздражения, в отличие от нейронов с хорошо выраженным ЧПК, в латеральной части этой структуры. Частота варьирует в разных ее частях, но в среднем составляет 15—17 кГц. Участие данной структуры в формировании ЧПК нейронам ТАК. Это предполагается на основе морфологических исследований, в которых масса клеток MG_m по сравнению с массой клеток PO в передней коре [5] и лишь незначительно меньше, чем в задней группе ядер — основных связей ТАК и вторичных афферентных путей.

После удаления МКТ уменьшается количество нейронов ТАК. Для появления новых тональных раздражений требуется более длительное время, чем в интактном мозгом. Пороговый разряд устанавливается в среднем 69 дБ.

нышилось (до 9 %) число от 20—40 мс (рис. 4, а), которых при повышении интенсивности начинали возникать длиною 85—140 мс (см. рис. 4, б).



ональные раздражения после удале-

ния МКТ те же, что и на рис. 2, б); обозначения те же, что и на рис. 2, а); 3) нейронов ТАК. По оси абсцисс — чувствительность тонов (дБ).

общего числа исследованных нейронов оказалось гораздо больше, чем ответы возникали на немые тоны. Не было обнаружено ХЧ (см. рис. 4, в). У большинства нейронов отвечать на тоны использовали ЭКР верхней частоты. Оказалось, что 80 % клеток отвечали на ЭКР с частотой 18—50 мс (рис. 5, а, 1).

Физиол. журн., 1986, т. 32, № 4

У части нейронов (14 %) возникал и второй разряд со СП 90—110 мс (см. рис. 5, б, 1). После удаления МКТ появились ответы нейронов, СП которых составляли от 95 до 135 мс (см. рис. 5, а, 2). Группа таких нейронов составила 1/4 общего числа отвечающих нейронов (см. рис. 5, б, 2).

Обсуждение

Результаты наших исследований показали, что двустороннее удаление МКТ существенно влияет на характер реакций нейронов ТАК, вызванных звуковым раздражением, и гораздо меньше — на ответы, обусловленные ЭКР. Это говорит о том, что МКТ играет важную роль в проведении акустической информации к нейронам ТАК. СП нейронов

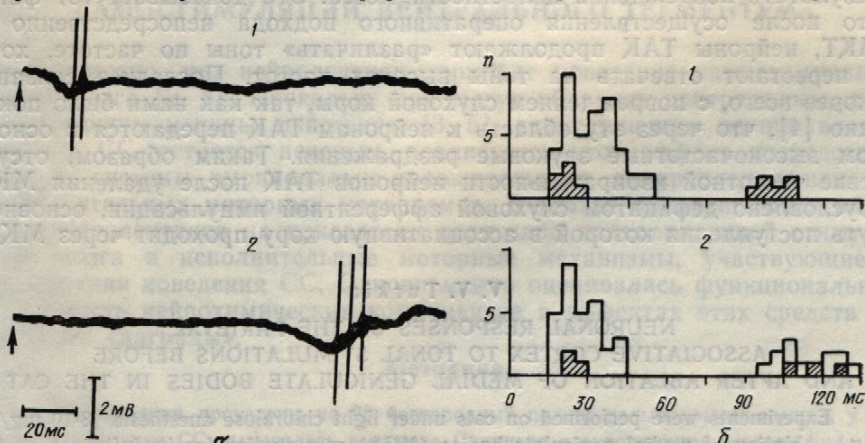


Рис. 5. Характеристика реакций нейронов ТАК на электрокожное раздражение: а — осциллограммы ответов нейронов; б — гистограммы скрытых периодов ответов нейронов (белые столбики — нейроны, отвечающие одной серией импульсов; защищенные — двумя сериями): 1 — до и 2 — после удаления МКТ.

ТАК на тональные раздражения в обычных условиях составляют в среднем 25—30 мс, что хорошо согласуется с данными других исследователей [9], тогда как в мелкоклеточной части МКТ (MG_v) ответы появляются уже через 4—10 мс [2]. Следовательно, импульсы, идущие от MG_v , несколько раз переключаются на пути к ТАК. Структура, на которой происходит это переключение, вероятно, задняя группа ядер таламуса (РО), одно из основных ядер которой — крупноклеточная часть МКТ (MG_m) [2].

Исследование акустических свойств нейронов ассоциативных ядер таламуса показало, что нейроны заднего латерального ядра (LP) и подушечного ядра (Pulv) практически не отвечают на тональные раздражения, в отличие от нейронов РО [11], причем наибольшее число нейронов с хорошо выраженной характеристической частотой выявлено в латеральной части этой группы ядер [8]. СП ответов нейронов РО варьирует в разных ее частях (от 10 до 35 мс), но у большинства клеток он составляет 15—17 мс [11], что также может свидетельствовать об участии данной структуры в проведении акустического раздражения к нейронам ТАК. Это предположение находит свое подтверждение и в морфологических исследованиях, в которых было показано, что основная масса клеток MG_v посылает свои аксоны в различные части слуховой коры [5] и лишь незначительная — в ТАК [12], тогда как нейроны задней группы ядер — основные таламические источники афферентных связей ТАК и вторичных слуховых областей [10].

После удаления МКТ значительно ухудшается ответоспособность нейронов ТАК. Для появления ответа необходимо подавать более сильные тональные раздражения, чем использовавшиеся для животного с интактным мозгом. Пороговое раздражение после удаления МКТ составляло в среднем 69 дБ, что приводило к появлению ответов с СП

порядка 90—130 мс и хорошо соответствует СП поздних разрядов, наблюдавшимся в ответах нейронов до удаления МКТ. Поэтому можно предположить, что существует другой, более длинный путь поступления звуковой импульсации, вероятно, через ретикулярную формацию [1], минуя МКТ. У интактных животных этот путь слабо проявляется как вследствие малой силы предъявляемого раздражения, так и вследствие тормозных процессов, развивающихся на мембране нейрона [2] после прохождения импульсов по более короткому пути, через МКТ.

После удаления МКТ нейроны ТАК перестают проявлять и частотную избирательность. Сглаживание ЧПК отвечающих нейронов и повышение порога раздражения не является следствием ухудшения общего функционального состояния животного, которое можно предположить в результате повреждения целостности мозга. Это доказывает тот факт, что после осуществления оперативного подхода непосредственно к МКТ, нейроны ТАК продолжают «различать» тоны по частоте, хотя и перестают отвечать на тоны высоких частот. Последнее связано, скорее всего, с повреждением слуховой коры, так как нами было показано [4], что через эту область к нейронам ТАК передаются в основном высокочастотные звуковые раздражения. Таким образом, отсутствие частотной избирательности нейронов ТАК после удаления МКТ обусловлено дефицитом слуховой афферентной импульсации, основной путь поступления которой в ассоциативную кору проходит через МКТ.

V. V. Turkin

NEURONAL RESPONSES OF THE PARIETAL ASSOCIATIVE CORTEX TO TONAL STIMULATIONS BEFORE AND AFTER ABLATION OF MEDIAL GENICULATE BODIES IN THE CAT

Experiments were performed on cats under light chloralose anesthesia (8–10 mg/kg i. v.). Ablation of medial geniculate bodies (MGB) was studied for its influence on the character of neuronal responses of the parietal associative cortex (PAC) to tonal stimulations. Frequency-threshold curves were plotted for 147 neurons. PAC-neurons were found to lose their frequency specificity after the MGB ablation. A conclusion is made that lack of neuronal frequency specificity is related to the fact that afferent flow ceased as a result of the MGB ablation. Consequently, the main bulk of acoustic information flowing onto PAC passes through MGB. A problem concerning another, more lengthy pathway for inflow of sound signals to associative cortex is discussed.

A. A. Bogomoletz Institute of Physiology,
Academy of Sciences of the Ukrainian SSR, Kiev

- Нарикашвили С. П., Каджая Д. В., Тимченко А. С. Влияние ретикулярного раздражения на ответы ассоциативной области коры больших полушарий кошки // Журн. высш. нерв. деятельности. — 1968. — 18, № 6. — С. 1009—1016.
- Серков Ф. Н., Казаков В. Н. Нейрофизиология таламуса. — Киев : Наук. думка, 1980. — 258 с.
- Туркин В. В. Реакции нейронов супрасильвииевой извилины коры мозга кошки на тональные раздражения // Физiol. журн. — 1985. — 31, № 4. — С. 392—397.
- Туркин В. В. Реакции нейронов теменной ассоциативной коры кошки на звуковое раздражение до и после выключения слуховой коры // Нейрофизиология. — 1986. — 18, № 3. — С. 354—360.
- Andersen R. A., Knight P. L., Merzenich M. The thalamocortical and corticothalamic connections of AI, AII and the anterior auditory field (AAF) in the cat // J. Comp. Neurol. — 1980. — 194, N 4. — P. 663—701.
- Diamond I. I., Jones E. G., Powell T. P. The association connections of the auditory cortex of the cat // Brain Res. — 1968. — 11, N 4. — P. 560—579.
- Dubner R., Rutledge L. T. Intracellular recording of the convergence of input upon neurons in cat association cortex // Exp. Neurol. — 1965. — 12, N 2. — P. 349—368.
- Imig D. R., Morel A. Tonotopic organization in ventral nucleus of medial geniculate body in the cat // J. Neurophysiol. — 1985. — 53, N 1. — P. 309—329.
- Irvine D. R., Huebner H. Acoustic response characteristics of neurons in nonspecific areas of cat cerebral cortex // Ibid. — 1979. — 42, N 1. — P. 107—122.
- Niimi K., Matsuo H., Yamazaki N. et al. Thalamic afferents to the anterior and middle suprasylvian gyri in the cat traced with horseradish peroxidase // J. Hirnforsch. — 1984. — 21, N 1. — P. 173—187.
- Phillips D. R., Irvine D. P. Acoustic input to single neurons in pulvinar-posterior complex of cat thalamus // J. Neurophysiol. — 1979. — 42, N 1. — P. 123—136.

12. Rojik I., Toldi G., Feher O. the medial geniculate body

13. Toldi G., Feher O. Acoustic suprasylvian gyrus of the

Ин-т физиологии им. А. А. Бекеева АН УССР, Киев

УДК 612.826.2:611.815.43:615.214.2

ВЛИЯНИЕ НА
САМОСТИМУЛЯЦИЮ

Известно, что нейроны (СС) мозга [2, 8]. После стимуляции мышцы, де- навыка СС, остается не только системы эмоциональных исполнительных моторных нейролептиков на позиции мозга и исполнительной реализации поведения СС, значимость нейрохимических феноменов «награды».

Исследования проведены на кошках. Педальная СС вызывала рефлексами (продолжительностью 2—3 с) в ответ на стимул 1 локализованных вентральной неполярный электрод ($A=2,2$; атласом [7]). Индифферентный пятиминутного сеанса СС, с регистрировали частоту нажатия и суммарное усилие, направляемое на педаль и развиваемое плавно за 60 мин до СС. По мере эффективные дозы, ослабляющие участия исполнительных сдвигов одного нажатия ($I=1$) даль, а также наличие или отсутствие вращающегося стержня [5]. О (M) под влиянием нейролептиков принят равным 0,05 [1].

Резу-

Результаты эксперимента видно, что все исследования животными электрическими стимулами не изменяют длительность диапазона доз нейролептиков и не уменьшают их. Можно заключить, что угнетение может быть связано с вовлечением в механизм. Вместе с тем результатирующего влияния нейролептиков указывает факт отсутствия

Физiol. журн., 1986, т. 32, № 4

ет СП поздних разрядов, на-
ления МКТ. Поэтому можно
ее длинный путь поступления
ретикулярную формацию [1],
путь слабо проявляется как
издражения, так и вследствие
мемbrane нейрона [2] после
пути, через МКТ.

прекращают проявлять и частот-
гда гаечных нейронов и повы-
шением ухудшения общего
горое можно предположить в
а. Это доказывает тот факт,
подхода непосредственно к
нить» тоны по частоте, хотя
частот. Последнее связано,
и, так как нами было пока-
и ТАК передаются в основ-
ния. Таким образом, отсут-
в ТАК после удаления МКТ
тной импульсации, основной
о кору проходит через МКТ.

THE PARIETAL IMULATIONS BEFORE ULATE BODIES IN THE CAT

chloralose anesthesia (8-10 mg/kg was studied for its influence on the iative cortex (PAC) to tonal stimu- 147 neurons. PAC-neurons were IGB ablation. A conclusion is made to the fact that afferent flow cea- the main bulk of acoustic informa- problem concerning another, more ciative cortex is discussed.

4. С. Влияние ретикулярного раз-
рь больших полушарий кошки //
6. — С. 1009—1016.

и таламуса. — Киев : Наук. думка,
и извилины коры мозга кошки на
— 31, № 4. — С. 392—397.
зативший коры кошки на звуковое
коры // Нейрофизиология. — 1986.—

thalamic and corticothalamic
field (AAF) in the cat // J. Comp.

ociation connections of the auditory
P. 560—579.

of the convergence of input upon
— 1965.—12, N 2. — P. 349—368.

entral nucleus of medial geniculate
N 1. — P. 309—329.

cteristics of neurons in nonspecific
1. — P. 107—122.

amic afferents to the anterior and
horseradish peroxidase // J. Hirn-

ngle neurons in pulvinar-posterior
9.—42, N 1. — P. 123—136.

12. Rojik I., Toldi G., Feher O. Afferents fibers to the anterior suprasylvian gyrus from the medial geniculate body of cat // Neurosci. Lett. — 1984. — 51, N 1. — P. 43—47.
13. Toldi G., Feher O. Acoustic sensitivity and bimodal properties of cells in the anterior suprasylvian gyrus of the cat // Exp. Brain Res. — 1984. — 55, N 1. — P. 180—183.

Ин-т физиологии им. А. А. Богомольца
АН УССР, Киев

Поступила 19.02.86

УДК 612.826.2:611.815.43:615.214.2

А. Н. Талалаенко

ВЛИЯНИЕ НЕЙРОЛЕПТИКОВ НА ЭФФЕКТЫ САМОСТИМУЛЯЦИИ ВЕНТРАЛЬНОГО ТЕГМЕНТУМА

Известно, что нейролептики тормозят поведение самостимуляции (СС) мозга [2, 8]. Поскольку они могут обладать центральным, расслабляющим мышцы, действием [3, 5], затрудняющим осуществление навыка СС, остается неясным, реализуется этот эффект посредством только системы эмоционально-положительного подкрепления или же исполнительных моторных механизмов. В статье анализируются влияния нейролептиков на показатели позитивно подкрепляющей стимуляции мозга и исполнительные моторные механизмы, участвующие в реализации поведения СС. Одновременно оценивалась функциональная значимость нейрохимических компонентов в эффектах этих средств на феномен «награды».

Методика

Исследования проведены на 28 беспородных половозрелых крысах-самцах, у которых педальная СС вызывалась в камере Скиннера электрическим раздражением сериями (продолжительностью 250 мс) прямоугольных стимулов частотой 100 с⁻¹ (длительность одного стимула 1 мс) дофаминергических мезолимбических нейронов, локализованных в вентральной покрышке среднего мозга (A_{10}) через вживленный монополярный электрод ($A=2,2$; $L=0,3$; $V=3,2$) в соответствии со стереотаксическим атласом [7]. Индифферентный электрод вживляли в лобную кость [9]. В течение пятиминутного сеанса СС, с помощью смонтированного на декатронах устройства, регистрировали частоту нажатий на педаль (N), общее время нажатий педали (T) и суммарное усилие, направленное на преодоление сопротивления пружины, фиксирующей педаль и развиваемое при ее нажатии (P). Нейролептики вводили внутрибрюшинно за 60 мин до СС. По методу Миллера и Тейнера [1] определяли средние эффективные дозы, ослабляющие СС на 50 %. Для исключения в эффектах нейролептиков участия исполнительных моторных механизмов определяли за сеанс СС: интенсивность одного нажатия ($I=\frac{P}{N}$) и длительность одного нажатия ($t=\frac{T}{N}$) на педаль, а также наличие или отсутствие расслабляющего мышцы действия по методике врачающегося стержня [5]. Оценивали средние значения изменений показателей СС (M) под влиянием нейролептиков и ошибки средней ($\pm m$). Уровень значимости был принят равным 0,05 [1].

Результаты и их обсуждение

Результаты экспериментов суммированы в таблице, из которой видно, что все исследованные нейролептики уменьшают частоту замыкания животными электрической цепи и общее время нажатий педали, но не изменяют длительность нажатий за сеанс СС. В испытанном диапазоне доз нейролептики не обладают расслабляющим мышцы действием и не уменьшают интенсивность нажатий на педаль. Это позволяет заключить, что угнетение нейролептиками поведения СС не может быть связано с воздействием на исполнительные моторные механизмы. Вместе с тем регистрируемые эффекты не результат активирующего влияния нейролептиков на систему «наказания». На это указывает факт отсутствия укорочения длительности нажатий на пе-

даль за сеанс СС под влиянием всех испытанных доз нейролептиков (см. таблицу). Как известно, укорочение длительности нажатий педали — показатель активации аверсивных элементов под воздействием психотропных средств [2]. Существенно отметить, что обусловленное нейролептиками ослабление СС мозга — не следствие подавления ими мотивационного состояния животных. На это указывает отсутствие угнетающего влияния нейролептиков на показатель интенсивности нажатий педали (I), который количественно характеризует выраженность мотивационного возбуждения [4]. Это коррелирует с нашими наблюдениями, в которых установлено, что дозы нейролептиков, уменьшающие частоту нажатий на 75—90 %, не влияют на положительное отношение животных к педали, так как, подойдя к последней и нажав несколько раз, крысы оставались около педали или даже садились на нее.

Таким образом, способность нейролептиков ослаблять механизмы педальной СС — результат их непосредственного воздействия на эмоционально позитивную систему подкрепления. Важно отметить неоднозначную роль нейрохимических механизмов этой системы в реализации эффектов позитивной стимуляции мозга. На это указывают существенные различия (см. таблицу) эффективных доз нейролептиков на результаты возбуждения центрального тегментума, опосредующего, как полагают, навык СС через активацию дофаминергических систем «награды» [9]. Так, по влиянию на поведение СС дроперидол (ЭД_{50} составляет 0,014 мг/кг) активней галоперидола (ЭД_{50} составляет

Влияние нейролептиков на педальную самостимуляцию (СС) крысами вентральной покрышки среднего мозга ($M \pm m$)

Препаратор	Доза, мг/кг	Средние эффективные дозы, подавляющие СС на 50% (ЭД_{50}), мг/кг	Показатели навыка СС через 60 мин после введения нейролептиков			
			Частота СС (N), с^{-1}	Общее время нажатия педали за сеанс СС (T), с	Длительность одного нажатия (t), с	Интенсивность одного нажатия (I), усл. ед.
Физиологический раствор	0,2 мл	—	298±42	82±15	0,29±0,04	16,8±3,1
Дроперидол	0,01	0,014	151±23 ¹	46±12	0,28±0,03	9,1±1,7
	0,02	±0,003	89±10 ²	34±7 ¹	0,37±0,06	12,4±2,5
	0,03		33±12 ³	10±2 ²	0,37±0,07	12,7±1,7
Фторфеназин	0,03	0,064	156±25 ¹	53±19	0,31±0,06	13,8±2,3
	0,05	±0,019	141±43 ¹	56±25	0,35±0,05	17,0±2,3
	0,1		89±19 ³	39±11 ¹	0,45±0,08 ¹	28,9±3,5 ¹
	0,2		54±14 ³	20±6 ³	0,36±0,08	28,6±7,0 ³
	0,3		12±3 ³	4±1 ³	0,32±0,06	21,1±3,0 ³
Галоперидол	0,04	0,077	231±33	77±19	0,35±0,09	25,2±8,7
	0,08	±0,013	104±19 ²	42±10 ¹	0,39±0,05	23,4±3,7
	0,1		69±25 ³	24±9 ³	0,25±0,05	32,7±10,0 ¹
Трифтазин	0,2	0,41	325±36	77±19	0,35±0,09	16,8±3,2
	0,4	±0,007	172±28 ²	69±21	0,36±0,06	22,8±4,1
	0,6		98±38 ³	41±17 ¹	0,40±0,06	25,1±4,0
	0,8		73±24 ³	18±4 ³	0,59±0,21	16,4±4,1
Аминазин	1,0	1,4	253±48	51,9±9	0,21±0,04	15,2±4,2
	1,5	±0,124	52±14 ³	25,9±9 ²	0,45±0,11	26,1±5,4
	2,0		38±14 ³	10±4 ³	0,27±0,05	20,8±5,4
Клизапин	1,5	1,67	170±48	59±21	0,35±0,06	15,2±4,7
	2,0	±0,321	115±22 ²	40±9 ²	0,38±0,06	15,5±2,8
	2,5		42±15 ³	24±12 ³	0,47±0,14	24,3±9,1
Тиоридазин	1,0	1,74	249±39	58±15	0,23±0,03	12,1±3,6
	1,5	±0,104	148±43 ¹	35±9 ²	0,25±0,04	14,6±2,7
	2,0		126±37 ²	33±7 ²	0,29±0,04	13,3±4,4
	2,5		67±30 ³	17±8 ³	0,22±0,06	25,6±7,7

Примечания. Каждая опытная серия выполнена на 5—8 животных, контрольная — на 28. Действие, расслабляющее мышцы, выраженное относительным числом животных (%), соколзнувших с врачающегося стержня, составляет $0^1 P < 0,05$; $^2 P < 0,01$; $^3 P < 0,001$.

0,077 мг/кг), а последний составляет 1,67 мг/кг). Следуют результаты исследование для этих психотропных нимизмы: а-адреноблокирующий (галоперидол) и антихолинергический не только о первичных нервных влияниях в ресивере мозга эффектов его позиций, но и холинергических, выполняющих их экстренной заключить, что влияние нимизмов обеспечивает интересного тегментума, ослабление может быть обусловлено нация или устранением способности выполнения

INFLUENCE OF THE VENTRAL CLORALOUCINE
OF THE VENTRAL CLORALOUCINE
Neuroleptics are analyzed
brain stimulation and on executive self-stimulation behaviour. The effects of these agents on the Medical Institute, Donetsk

- Беленький М. Л. Элементы. Л.: Медицдат, 1963.—152 с.
- Вальдман А. В., Звергауз М. : Медицина, 1976.—387 с.
- Раевский К. С. Фармакология.
- Судаков К. В. Биологическая.
- Dunham N., Miya T. A note in rat and mice // J. Amer. Acta pharmacol. et toxicol.
- Fjalland B., Boeck V. Neuropharmacology.
- König J., Klippel R. The rat brain.
- Olds M., Ito M. Effects of neuronal excitability in the rat. Neuropharmacology. — 1973.
- Wanquier A. Neuroleptics and the rat. — 1979.—21. — Р. 335—403.

Донецк. мед. ин-т МЗ УССР

УДК 612.73:612.014.42:611.149:615.225

В. А. Бурый, А. В.

ИССЛЕДОВАНИЕ МЕХАНИЗМОВ Действия СТЕНОПРИЛА НА АКТИВНОСТЬ ГЛАДКОМЫШЕЛЬНЫХ

Стеноприл и хлоралюцидин, применяемые в фармакологии кровообращения, трофизиологические исследования действия этих препаратов. Вторичный, а хлорацидин — третичные и четвертичные

Физиол. журн., 1986, т. 32, № 4

пытанных доз нейролептиков длительности нажатий педалей под воздействием отметить, что обусловленное не следствие подавления ими а это указывает отсутствие показатель интенсивности характеризует выраженность реагирует с нашими наблюдениями нейролептиков, уменьшающие положительное отношение последней и нажав несколько даже садились на нее. Нейролептики ослаблять механизмы венного воздействия на эмоции. Важно отметить неоднородность этой системы в реализации. И это указывают существенные дозы нейролептиков на рентгена, опосредующего, как фармакологических систем «наше СС дроперидол (ЭД₅₀ соридола (ЭД₅₀) составляет

индекс (СС) крысами вентральной (М±m)

ныка СС через 60 мин после введения нейролептиков

Время нажатия педали за сеанс С (Т), с	Длительность одного нажатия (t), с	Интенсивность одного нажатия (I), усл. ед.
32±15	0,29±0,04	16,8±3,1
16±12	0,28±0,03	9,1±1,7
34±7 ¹	0,37±0,06	12,4±2,5
0±2 ²	0,37±0,07	12,7±1,7
3±19	0,31±0,06	13,8±2,3
6±25	0,35±0,05	17,0±2,3
9±11 ¹	0,45±0,08 ¹	28,9±3,5 ¹
0±6 ³	0,36±0,08	28,6±7,0 ¹
4±1 ³	0,32±0,06	21,1±3,0
7±19	0,35±0,09	25,2±8,7
2±10 ¹	0,39±0,05	23,4±3,7
4±9 ³	0,25±0,05	32,7±10,0 ¹
7±19	0,35±0,09	16,8±3,2
9±21	0,36±0,06	22,8±4,1
1±17 ¹	0,40±0,06	25,1±4,0
8±4 ³	0,59±0,21	16,4±4,1
9±9	0,21±0,04	15,2±4,2
9±9 ²	0,45±0,11	26,1±5,4
0±4 ³	0,27±0,05	20,8±5,4
9±21	0,35±0,06	15,2±4,7
0±9 ²	0,38±0,06	15,5±2,8
4±12 ³	0,47±0,14	24,3±9,1
3±15	0,23±0,03	12,1±3,6
5±9 ²	0,25±0,04	14,6±2,7
3±7 ²	0,29±0,04	13,3±4,4
7±8 ³	0,22±0,06	25,6±7,7

на 5—8 животных, контрольное выражение относительным числом терзия, составляет 0. ¹P<0,05;

0,077 мг/кг), а последний существенно активней клозапина (ЭД₅₀ составляет 1,67 мг/кг). С этими экспериментальными данными коррелируют результаты исследований [3, 6, 9], в которых показано, что ведущие для этих психотропных средств — разные нейрохимические механизмы: α-адреноблокирующий (дроперидол), дофаминолитический (галоперидол) и антихолинергический (клозапин). Все это свидетельствует не только о первостепенной функциональной значимости α-адренергических влияний в реализации с вентральной покрышки среднего мозга эффектов его позитивной стимуляции, но и об участии в механизмах такой СС и других нейрохимических механизмов (дофамин-холинергических), выполняющих, вероятно, резервную функцию на случай их экстренной мобилизации. Проведенный анализ позволяет заключить, что влияние вышеперечисленных нейромедиаторных механизмов обеспечивает интеграцию механизмов педальной СС с вентрального тегментума, ослабление которой под влиянием нейролептиков может быть обусловлено нарушением восприятия животными подкрепления или устранением самого подкрепления и не есть следствие дефицита способности выполнения навыка СС.

А. Н. Талалаенко

INFLUENCE OF NEUROLEPTICS ON THE EFFECTS OF THE VENTRAL TEGMENTUM SELF-STIMULATION

Neuroleptics are analyzed for their influence on indices of the positively refreshing brain stimulation and on executive motor mechanisms participating in realization of the self-stimulation behaviour. The functional significance of neurochemical components in the effects of these agents on the «reward» phenomenon is estimated.

Medical Institute, Donetsk

- Беленький М. Л. Элементы количественной оценки фармакологического эффекта. — Л.: Медицидат, 1963.—152 с.
- Вальдман А. В., Звергауз Э. Э., Козловская М. М. Психофармакология эмоций. — М.: Медицина, 1976.—387 с.
- Раевский К. С. Фармакология нейролептиков. — М.: Медицина, 1976.—272 с.
- Судаков К. В. Биологические мотивации. — М.: Медицина, 1971.—304 с.
- Dunham N., Miya T. A note on a simple apparatus for detection neurological deficit in rat and mice // J. Amer. Pharmacol. Assoc. — 1957. — 46, N 3. — P. 208—210.
- Fjalland B., Boeck V. Neuroleptic influence on various neurotransmitter substances // Acta pharmacol. et toxicol. — 1977. — 41, Suppl N 4. — P. 47.
- König J., Klippe R. The rat brain. — Baltimore, 1963.—162 p.
- Olds M., Ito M. Effects of chlorpromazine, chlordiazepoxide and pentobarbital on neuronal excitability in the medial forebrain bundle during self-stimulation behavior // Neuropsychopharmacology. — 1973. — 12, N 12. — P. 1117—1133.
- Wanquier A. Neuroleptics and brain self-stimulation behavior // Int. Rev. Neurobiol. — 1979. — 21. — P. 335—403.

Донец. мед. ин-т МЗ УССР

Поступила 02.01.85

УДК 612.73:612.014.42:611.149:615.225.2

В. А. Бурый, А. В. Гурковская, Н. И. Гокина, М. Ф. Шуба

ИССЛЕДОВАНИЕ МЕХАНИЗМА ДЕЙСТВИЯ ХЛОРАЦИЗИНА И СТЕНОПРИЛА НА ЭЛЕКТРИЧЕСКУЮ И СОКРАТИТЕЛЬНУЮ АКТИВНОСТИ ГЛАДКИХ МЫШЦ ВОРОТНОЙ ВЕНЫ КРОЛИКА

Стеноприл и хлорацизин — сосудорасширяющие препараты, которые применяются в фармакологической практике для усиления коронарного кровообращения. До настоящего времени не проводили электрофизиологические исследования, направленные на выяснение механизма действия этих препаратов на кровеносные сосуды. Стеноприл — вторичный, а хлорацизин — третичный амин. Мы исследовали также третичные и четвертичные производные стеноприла и четвертичные —

хлорацизина. При этом обнаружены некоторые общие свойства этих препаратов, которые позволяют предполагать, что их действие связано преимущественно с блокированием кальмодулинзависимой активации сократительных белков.

Методика

Опыты проводили на продольных мышечных полосках воротной вены кролика. Для отведения электрической активности гладко-мышечных клеток (ГМК) использовали метод одинарного сахарозного мостика при одновременной регистрации сократительной активности с помощью механотрона. Регистрацию реакций производили на диаграммной ленте автоматического потенциометра КСП-4 и параллельно на фотопленке с экрана осциллографа. Состав раствора Кребса (ммоль/л): $\text{NaCl} = 120$; $\text{KCl} = 5,9$; $\text{NaHCO}_3 = 15,5$; $\text{MgCl}_2 = 1,2$; $\text{Na}_2\text{PO}_4 = 1,2$; $\text{CaCl}_2 = 2,5$; глюкоза — 11,5. Температура раствора была постоянной и составляла 37°C ; pH 7,4. В опытах с гиперкалиевым раствором концентрацию ионов K^+ увеличивали путем добавления к раствору Кребса необходимого количества сухой соли KCl . В экспериментах сравнивали действие одинаковых доз хлорацизина, метхлорацизина, а также стеноприла, метстено-прила, диметстено-прила и метэтстено-прила. Выбирали субмаксимальную концентрацию всех исследуемых веществ, которая составляла 10^{-4} моль/л. Это позволило четко от-dифференцировать реакции, связанные с внеклеточным действием исследуемых веществ, от реакций, вызванных их проникновением внутрь мышечных клеток.

Результаты

Действие всех исследуемых веществ испытывали на фоне спонтанной электрической и сократительной активности мышечных полосок воротной вены. Фазные сокращения, соответствующие каждому потен-

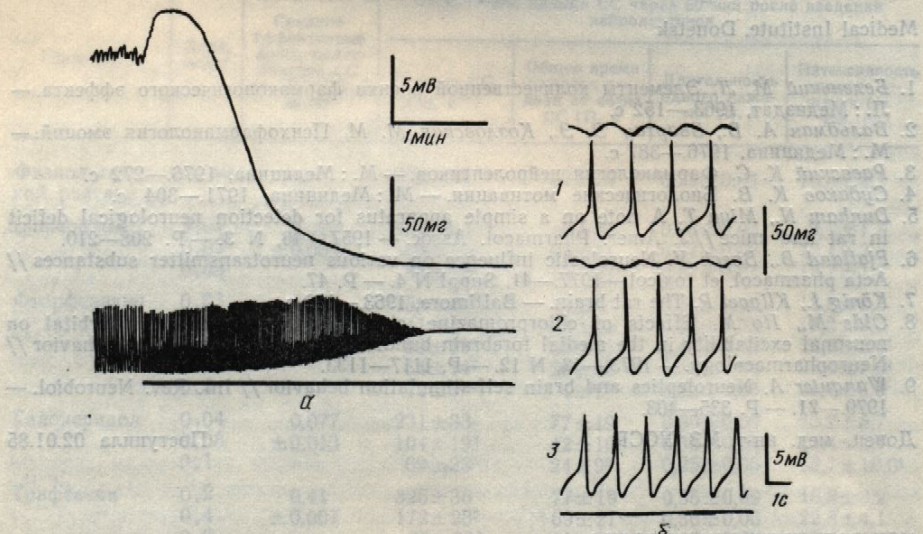


Рис. 1. Влияние хлорацизина на спонтанную электрическую и сократительную активности гладкомышечных клеток воротной вены. Регистрация на диаграммной ленте КСП-4 (а); (сплошной линией обозначено время действия вещества) и на фотопленке с экрана осциллографа (б):

1 — исходные сократительная и электрическая активности; 2 — на 1-й минуте и 3 — на 2-й минуте действия хлорацизина. На этом и последующих рисунках верхняя запись — сократительная активность, нижняя — электрическая.

циалу действия (ПД), суммировались в зубчатый тетанус. Приложение хлорацизина (рис. 1) сопровождалось значительным увеличением частоты и амплитуды спонтанных ПД, незначительным увеличением их длительности и деполяризацией мембранны на 2—3 мВ. Изменения электрической активности сопровождались повышением тетанического тонуса полосок, который через 7—10 с устанавливался на постоянном уровне (см. рис. 1, а). Через 30—40 с тонус мышечной полоски на-

чинал стремительно снижаться на повышенном уровне. Писи спонтанных ПД и с экрана осциллографа в норме на первой (см. рис. 1, б, 2) ствия хлорацизина. Отчеты ГМК генерируют ПД, однажды. Спустя 2 мин появляются спонтанные ПД начинаясь блокируются. В не- не наступало.

Как третичный амин pH частично находится в

Рис. 2. Действие метхлорацизина на спонтанную электрическую и сократительную активности гладкомышечных клеток (регистрация на диаграммной ленте). Сплошной линией обозначено время действия вещества.

через мембрану. Чтобы извлечь хлорацизина от внутриклеточного влияния метхлорацизина. Четыре от вторичных и третичных, не могут проникать через цин (та же концентрация спонтанных ПД и фазы повышения тетанического тонуса активности при действии, чем при действии хлорацизина не приводят к ПД. Снижение тетаническое лось. Реакции, вызываемые полностью обратимыми.

Стеноприл и метстено-прил, вызывали как цин, причем, метстено-прил. На рис. 3, а показано динамика сократительной активности в случае хлорацизина, приводящего к ПД и фазам сокращения тонуса мышечной полоски. Снижение тонуса мышечной полоски спонтанных ПД. Угнетение действия метстено-прила.

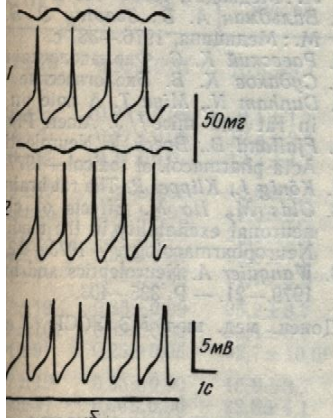
Метэтстено-прил и диметэтстено-прил, вызывая спонтанные ПД и сокращение тонуса мышечных полосок приводят к угнетению тетанического тонуса мышечных полосок. Реакции на стеноприл и

Мы исследовали действие хлорацизина на поляризацию мембранны и вызванное повышением концентрации калия в 80 моль/л. На рис. 4 показано, что хлорацизин приводит к полному угнетению тетанического тонуса мышечных полосок в этих условиях. Концентрация хлорацизина одинаковой и состав

которые общие свойства этих гать, что их действие связано модулированной активации

с полосках воротной вены кролика. мышечных клеток (ГМК) использовали одновременной регистрации сократительную регистрацию реакций производили на КСП-4 и параллельно на фотографии (ммоль/л): $\text{NaCl} = 120$; $\text{KCl} = 5$; $\text{CaCl}_2 = 2.5$; глюкоза — 11.5. Температура 37°C ; $\text{pH} 7.4$. В опытах с гиперкарияли путем добавления к раствору. В экспериментах сравнивали действие, а также стеноцирила, метстеноприла субмаксимальную концентрацию 4 моль/л . Это позволило четко отличить действием исследуемых веществ внутрь мышечных клеток.

спытывали на фоне спонтанной мышечных полосок соответствующие каждому потен-



и ческую и сократительную активность (регистрация на диаграммной ленте вещества) и на фотопленке с б):

— на 1-й минуте и 3 — на 2-й минуте (запись — сократительная актив-

и чатый тетанус. Приложение значительным увеличением значительным увеличением на 2—3 мВ. Изменения повышением тетанического навивался на постоянном тонус мышечной полоски на-

чинал стремительно снижаться, хотя частота и амплитуда ПД сохранялись на повышенном уровне. На рис. 1, б показаны фрагменты записи спонтанных ПД и сопровождающих их фазных сокращений с экрана осциллографа в нормальном растворе Кребса (см. рис. 1; б, 1), на первой (см. рис. 1, б, 2) и на второй минуте (см. рис. 1, б, 3) действия хлорацизина. Отчетливо видно, что на второй минуте действия ГМК генерируют ПД, однако они не сопровождаются фазными сокращениями. Спустя 2 мин после начала действия хлорацизина амплитуда спонтанных ПД начинает уменьшаться. Еще через 1 мин ПД полностью блокируются. В некоторых экспериментах полной блокады ПД не наступало.

Как третичный амин хлорацизин при физиологических значениях pH частично находится в незаряженной форме, способной проникать

Рис. 2. Действие метхлорацизина на спонтанную электрическую и сократительную активности гладкомышечных клеток воротной вены (регистрация на диаграммной ленте КСП-4). Сплошной линией обозначено время действия вещества.



через мембранны. Чтобы отдифференцировать внеклеточное действие хлорацизина от внутриклеточного, мы провели сравнительное исследование влияния метхлорацизина — четвертичного аммониевого производного хлорацизина. Четвертичные аммониевые соединения, в отличие от вторичных и третичных, находятся в постоянно заряженной форме и не могут проникать через мембранны [6—8]. Оказалось, что метхлорацизин (та же концентрация, что и хлорацизина) вызывал учащение спонтанных ПД и фазных сокращений, что приводило к некоторому повышению тетанического тонуса мышечных полосок. Изменения спонтанной активности при действии метхлорацизина были менее выражены, чем при действии хлорацизина (рис. 2). В отличие от хлорацизина, метхлорацизин не приводил к последующему угнетению спонтанных ПД. Снижение тетанического тонуса мышечных полосок не наблюдалось. Реакции, вызываемые хлорацизином и метхлорацизином, были полностью обратимыми.

Стеноцирил и метстеноприл — соответственно вторичный и третичный амины, вызывали качественно такие же реакции, как и хлорацизин, причем, метстеноприл был более эффективным, чем стеноцирил. На рис. 3, а показано действие метстеноприла на электрическую и сократительную активность мышечной полоски воротной вены. Как и в случае хлорацизина, происходило начальное учащение спонтанных ПД и фазных сокращений, приводящих к повышению тетанического тонуса мышечной полоски. Хорошо видно, что последующее быстрое снижение тонуса мышечной полоски происходило на фоне учащения спонтанных ПД. Угнетение спонтанных ПД наблюдалось на 3-й минуте действия метстеноприла.

Метэтстеноцирил и диметстеноцирил, непроникающие через мембранны четвертичные амины, вызывали только увеличение частоты и амплитуды спонтанных ПД и соответствующее им увеличение тетанического тонуса (см. рис. 3, б). Как и при действии метхлорацизина, расслабление мышечных полосок при действии этих препаратов не наблюдалось. Реакции на стеноцирил и его производные полностью обратимы.

Мы исследовали действие стеноцирила и метстеноцирила на фоне деполяризации мембранны и увеличения тонуса мышечных полосок, вызванных повышением концентрации ионов K^+ в растворе Кребса до 80 ммоль/л. На рис. 4 показано, что добавление метстеноцирила приводило к полному угнетению тонического сокращения, вызванного гипертониевым раствором. При этом задержка начала расслабления мышечных полосок в этих условиях и в растворе Кребса оказалась примерно одинаковой и составляла 45—50 с.

Обсуждение результатов

Для исследования сосудорасширяющего действия хлорацизина, стенооприла и их производных мы выбрали воротную вену. ГМК этого кровеносного сосуда генерируют спонтанные ПД, которые имеют кальциевую природу [1, 4]. Ионы Ca^{2+} , поступающие в клетку во время генерации ПД, запускают фазные сокращения, которые в зависимости от частоты спонтанной активности суммируются в зубчатый или слитный тетанус (см. рис. 1, 2, 3). Наличие спонтанных ПД кальциевой

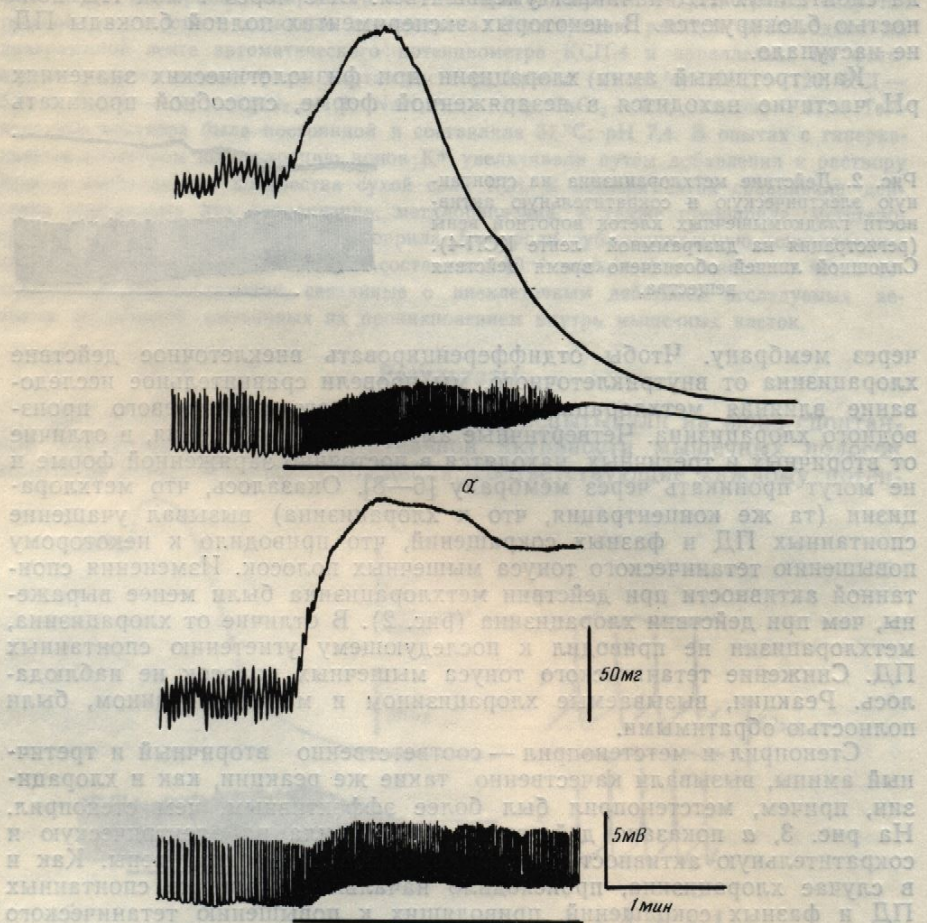


Рис. 3. Действие метстеноприла (а) и диметстеноприла (б) на электрическую и сократительную активности гладкомышечных клеток воротной вены. Сплошной линией обозначено время действия вещества.

природы в этих гладких мышцах позволяет четко отфильтровать действие сосудорасширяющих веществ на вход ионов Ca^{2+} в мышечные клетки от действия на внутриклеточные процессы, ведущие к активации мышечного сокращения.

Эксперименты показали, что хлорацизин оказывает сложное действие на спонтанную электрическую и сократительную активность ГМК воротной вены. Начальное учащение спонтанных ПД и фазных сокращений, приводящее к повышению тетанического сокращения мышечных полосок, вероятно, обусловлено взаимодействием этого вещества с калиевыми каналами на наружной стороне мембранны, приводящим к их частичному блокированию. Такое действие характерно для многих аммониевых соединений и в наибольшей мере — для тетраэтиламмония.

С блокированием калиевые ионные каналы и, следовательно, деполяризация мембранны, приводящая к генерации ПД, может быть блокирована. Это свидетельствует о том, что действие хлорацизина не связано с его способностью к деполяризации мембранны.

На рисунке 4 изображены записи, полученные в тех же условиях, что и на рисунке 3, но в присутствии хлорацизина. Видно, что действие метстеноприла и диметстеноприла на ГМК воротной вены не изменяется. В то же время хлорацизин, в концентрации, достаточной для блокирования калиевых каналов, не оказывает никакого действия на ГМК воротной вены.

Рис. 4. Действие метстеноприла и диметстеноприла на ГМК воротной вены в присутствии хлорацизина. Хлорацизин не оказывает никакого действия на ГМК воротной вены.

Такие же результаты были получены в экспериментах с хлорацизином и метстеноприлом. Таким образом, хлорацизин, который в концентрации, достаточной для блокирования калиевых каналов, не оказывает никакого действия на ГМК воротной вены, не может проникнуть в клетку и не может блокировать спонтанные ПД и фазовые сокращения.

Известно, что хлорацизин имеет специфический антиадрениальный эффект, обусловленный блокированием α_1 -адренорецепторов. Блокировка α_1 -адренорецепторов приводит к блокированию действия адреналина на ГМК воротной вены.

Физиол. журн., 1986, т. 32, № 4

льгатов

го действия хлорацизина, стечь воротную вену. ГМК этого ПД, которые имеют кальциевые в клетку во время сокращения, которые в зависимости руются в зубчатый или слит- спонтанных ПД кальциевой

С блокированием калиевых каналов может быть связано некоторое увеличение длительности и амплитуды спонтанных ПД (см. рис. 1, б), небольшая деполяризация мембранны и, как следствие, повышение частоты спонтанных ПД и уровня тетанического тонуса (см. рис. 1, а). Через 1 мин после начала действия хлорацизина, несмотря на продолжающуюся генерацию ПД, тонус мышечных полосок начинал стремительно падать. Это свидетельствует о том, что расслабляющее действие хлорацизина не связано с блокированием входа Ca^{2+} в ГМК, а обусловлено угнетением внутриклеточных процессов, приводящих к активации сократительных белков. Вероятно, это действие хлора-

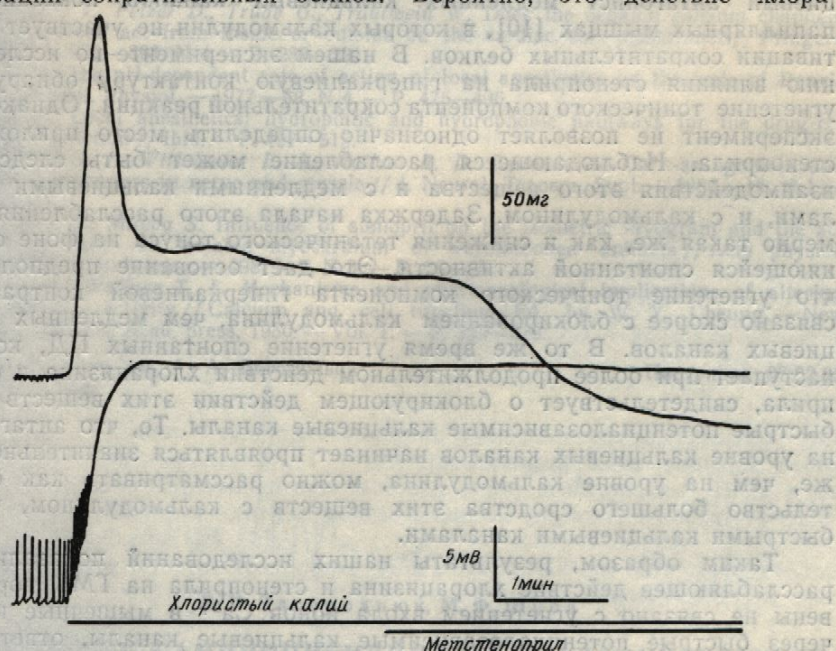


Рис. 4. Действие метстеноприла на тонический компонент гиперкалиевой контрактуры гладкомышечных клеток воротной вены.

цизина связано с его проникновением внутрь клетки, поскольку метхлорацизин, который в связи с наличием дополнительной метиловой группы не может проникать через мембрану, приводит только к учащению спонтанных ПД и фазных сокращений без расслабления мышечных полосок.

Такие же результаты получены при исследовании действия стено-прила и его третичных и четвертичных аммониевых производных. Стено-прил и метстеноприл — соответственно вторичный и третичный амины, частично находящиеся в незаряженной форме, оказывают расслабляющее действие на тонус исследованного кровеносного сосуда. Как и в случае хлорацизина, этому расслаблению предшествует учащение спонтанных ПД и некоторое увеличение тетанического тонуса. Ди-метстеноприл и метэтстеноприл, которые являются постоянно заряженными формами этого вещества и не могут проникать внутрь клетки, не оказывают расслабляющее действие на мышечные клетки, хотя эта часть реакции, которая связана с наружным действием этих веществ и заключающаяся в повышении амплитуды и частоты спонтанных ПД, деполяризации мембранны и увеличении тетанического тонуса, сохраняется практически неизменной.

Известно, что хлорацизин относится к фенотиазинам — эффективным специфическим антагонистам кальмодулина [11]. Са-рецептивного белка, играющего роль внутриклеточного посредника в активации и регуляции многих кальцийзависимых процессов, в частности нейросекреции и сокращения гладких мышц [2, 3, 5]. Поэтому наиболее вероят-

ная причина расслабления ГМК воротной вены под влиянием хлорацизина — угнетение кальмодулинзависимой активации сократительных белков гладких мышц.

По характеру действия стеноприл очень напоминает хлорацизин. В связи с этим можно предположить, что он, как и хлорацизин — антигонист кальмодулина. Косвенное подтверждение такого предположения то, что некоторые кальциевые антагонисты (например, верапамил, который имеет определенное структурное сходство со стеноприлом) являются антигонистами и кальмодулина [9]. То, что стеноприл — кальциевый антигонист медленных кальциевых каналов показано на папиллярных мышцах [10], в которых кальмодулин не участвует в активации сократительных белков. В нашем эксперименте по исследованию влияния стеноприла на гиперкалиевую контрактуру обнаружено угнетение тонического компонента сократительной реакции. Однако этот эксперимент не позволяет однозначно определить место приложения стеноприла. Наблюдающееся расслабление может быть следствием взаимодействия этого вещества и с медленными кальциевыми каналами, и с кальмодулином. Задержка начала этого расслабления примерно такая же, как и снижения тетанического тонуса на фоне сохраняющейся спонтанной активности. Это дает основание предполагать, что угнетение тонического компонента гиперкалиевой контрактуры связано скорее с блокированием кальмодулина, чем медленных кальциевых каналов. В то же время угнетение спонтанных ПД, которое наступает при более продолжительном действии хлорацизина и стеноприла, свидетельствует о блокирующем действии этих веществ и на быстрые потенциалзависимые кальциевые каналы. То, что антигонизм на уровне кальциевых каналов начинает проявляться значительно позже, чем на уровне кальмодулина, можно рассматривать как свидетельство большего сродства этих веществ с кальмодулином, чем с быстрыми кальциевыми каналами.

Таким образом, результаты наших исследований показали, что расслабляющее действие хлорацизина и стеноприла на ГМК воротной вены не связано с угнетением входа ионов Ca^{2+} в мышечные клетки через быстрые потенциалзависимые кальциевые каналы, ответственные за генерацию ПД. Предполагается, что сосудорасширяющий эффект хлорацизина в значительной степени связан с угнетением кальмодулин зависимой активации сократительных белков гладких мышц. Аналогичный механизм действия предполагается для стеноприла — нового сосудорасширяющего препарата.

V. A. Bilyi, A. V. Gorkovskaya, N. I. Gokina, M. F. Shuba

INVESTIGATION OF THE MECHANISM OF CHLORACIZINE AND STENOPRIL ACTION ON THE ELECTRICAL AND CONTRACTILE ACTIVITY OF SMOOTH MUSCLES OF THE RABBIT PORTAL VEIN

The effects of chloracizine, stenopril and their amine derivatives on the spontaneous electrical and contractile activities of smooth muscle cells of the rabbit portal vein were compared by the singular sucrose gap method. Chloracizine (a phenothiazine derivative) and stenopril increased the frequency of spontaneous action potentials and decreased the level of the tetanic tonus of smooth muscle strips. In a minute the strip began to relax rapidly in spite of the increased frequency of the action potentials. Quaternary derivatives of chloracizine and stenopril which could not cross the cell membranes also increased the frequency of spontaneous action potentials without subsequent relaxation of the tetanic tonus.

The above data indicate that vasodilatory effects of chloracizine and stenopril are not associated with calcium channel blocking, and that receptors, responsible for these effects are located inside the cells. Similarity of the actions of these drugs and the fact that phenothiazines are potent antagonists of calmodulin have permitted suggesting that vasodilatory effects of both chloracizine and stenopril are associated with inhibition of calmodulin-dependent activation of contractile proteins.

A. A. Bogomoletz Institute of Physiology,
Academy of Sciences of the Ukrainian SSR, Kiev

1. Тараненко В. М. Влияние ионных клеток портальной С. 704—710.
2. Adelstein R. S., Klee C. B. Cell function. — New York;
3. Cheung W. Y. Calmodulin. 1980.—207, N 1. — P. 19—27.
4. Daemers-Lambert C. Voltage-gated muscle / Eds. by E. Bühl. P. 83—90.
5. Hartshorne D. J., Mrwa U. et al. — 1982.—19, N 1. — P. 1.
6. Hescheler J., Pelzer D. Trivalent blockers D600 act from inside. Arch. — 1982.—393, N 4. — P. 7.
7. Hille B. The pH-dependent receptor // J. Gen. Physiol. — 1977.
8. Hille B. Local anesthetics: receptors reaction // Ibid. — P. 9.
9. Johnson D. J., Wittenauer J. Ca^{2+} -transporters in nerve and P. 97—111.
10. Spassov G., Mileva S. Inhibition potential of isolated pharmacol., Bulgariana. — 1981.
11. Weiss B., Wallace T. L. Modulation of calmodulin activity // Calcif. York; London; Acad. press, 1981.

Ин-т физиологии им. А. А. Богомолца, АН УССР, Киев

УДК 612.73:612.014.42
В. П. Борисов

ВЛИЯНИЕ 4-АМИНОПИРИДИНОВ НА ПЕРЕДАЧУ В ГЛАДКИЙ ТРАКТА МОЗГА

Аминопиридины, в частности, действуют на вызванные синаптические нервные волны. Показано, что увеличение концентрации в скелетных мышцах связана с угнетением K^+ -проводимости, что приводит к увеличению уровня входа в пресинаптические нервные волны. Высвобождение периферических пиритидинов на автономных животных обнаружено, что при трансмуральной стимуляции холина и норадреналина в кишке и семенниках. Однако влияние 4-АП на ГМ желудочно-кишечного тракта — блокатор K^+ -проводимости [7, 12, 13]. В связи с тем, что синаптические потенциалы проводимости мембранных следовательно, влияние 4-АП на синаптические потенциалы ГМ желудочно-кишечного тракта.

ной вены под влиянием хлорамина подтверждается активацией сократительных

очень напоминает хлорацизин. Он, как и хлорацизин — антагонист такого предположения (например, верапамил, сходство со стеноцином) яв. [9]. То, что стеноцин — кальциевых каналов показано на альмодулине не участвует в акции эксперимента по исследованию контактуру обнаружено итальной реакции. Однако этот определить место приложения может быть следствием медленными кальциевыми каналами этого расслабления присущего тонуса на фоне сохраняет основание предполагать, гиперкариевой контрактуры дулина, чем медленных кальциев спонтанных ПД, которое действии хлорацизина и стено- действия этих веществ и на каналы. То, что антагонизм проявляется значительно позже рассматривать как свидетельство с альмодулином, чем с

исследований показали, что стеноцина на ГМК воротной вене Ca^{2+} в мышечные клетки льцевые каналы, ответственные за сосудорасширяющий эффект связан с угнетением кальциевых белков гладких мышц. Тогда для стеноцина — но-

I. Gokina, M. F. Shuba

OF CHLORACIZINE AND STENOPRIL ON SMOOTH MUSCLE CELLS OF THE RABBIT PORTAL VEIN

amine derivatives on the spontaneous action potentials and decreased amplitude of the action potentials. Quarternary ammonium ions do not cross the cell membranes also without subsequent relaxation

receptors, responsible for these actions of these drugs and the calmodulin have permitted suggesting that stenoцин are associated with intracellular proteins.

1. Тараненко В. М. Влияние ионов кальция на электрофизиологические свойства мышечных клеток портальной вены // Физiol. журн. СССР. — 1971. — 57, № 3. — С. 704—710.
2. Adelstein R. S., Klee C. B. Smooth muscle myosin light chain kinase // Calcium and cell function. — New York; London: Acad. press, 1980. — P. 167—182.
3. Cheung W. Y. Calmodulin plays a pivotal role in cellular regulation // Science. — 1980. — 207, N 1. — P. 19—27.
4. Daemers-Lambert C. Voltage-clamp studies on rat portal vein // Physiology of smooth muscle / Eds. by E. Bülbörg, M. F. Shuba — New York: Raven press, 1976. — P. 83—90.
5. Hartshorne D. J., Mrwa U. Regulation of smooth muscle actomyosine // Blood Vessels. — 1982. — 19, N 1. — P. 1—18.
6. Hescheler J., Pelzer D., Trube G., Trautwein W. Does the organic calcium channels blockers D600 act from inside or outside on the cardiac cell membrane? // Pflügers Arch. — 1982. — 393, N 4. — P. 287—291.
7. Hille B. The pH-dependent rate of action of local anesthetics on the node of Ranvier // J. Gen. Physiol. — 1977. — 69, N 4. — P. 475—496.
8. Hille B. Local anesthetics: hydrophilic and hydrophobic pathways for the drug-receptors reaction // Ibid. — P. 497—515.
9. Johnson D. J., Wittenauer L. A., Nathan R. D. Calmodulin, Ca^{2+} -antagonists and Ca^{2+} -transporters in nerve and muscle // J. Neural. Transm. Supl. — 1983. — 18, N 1. — P. 97—111.
10. Spassov G., Mileva S. Influence of stenopril on the isometric myogram and the action potential of isolated myocardium of warmblooded animals // Acta physiol. pharmacol., Bulgarica. — 1981. — 7, N 3. — P. 26—33.
11. Weiss B., Wallace T. L. Mechanisms and pharmacological implications of altering calmodulin activity // Calcium and cell function / Ed. by W. Y. Cheung. — New York; London: Acad. press, 1980. — Vol. 1. — P. 329—379.

Ин-т физиологии им. А. А. Богомольца
АН УССР, Киев

Поступила 07.02.85

УДК 612.73:612.014.42

В. П. Загороднюк, М. Ф. Шуба

ВЛИЯНИЕ 4-АМИНОПИРИДИНА НА СИНАПТИЧЕСКУЮ ПЕРЕДАЧУ В ГЛАДКИХ МЫШЦАХ ЖЕЛУДОЧНО-КИШЕЧНОГО ТРАКТА МОРСКОЙ СВИНКИ И ЧЕЛОВЕКА

Аминопиридины, в частности 4-аминопиридин (4-АП), избирательно действуют на вызванное высвобождение медиаторов из пресинаптических первых волокон в различных возбудимых тканях [16]. Показано, что увеличение эффективности нервно-мышечной передачи в скелетных мышцах связано с пресинаптическим действием 4-АП: угнетением K^+ -проводимости мембрани пресинаптического волокна, что приводит к увеличению длительности ПД и вследствие этого к повышению входа в пресинаптическое окончание ионов Ca^{2+} , активирующих высвобождение передатчика [11]. При изучении влияния аминопиридинов на автономную нервную систему экспериментальных животных обнаружено, что 4-АП потенцирует возбуждающий ответ при трансмуральной стимуляции и увеличивает высвобождение ацетилхолина и норадреналина соответственно в гладких мышцах (ГМ) тонкой кишки и семявыносящего протока, вакулярных ГМ [7, 9, 10, 18]. Однако влияние 4-АП на холинергическую синаптическую передачу в ГМ желудочно-кишечного тракта животных не изучалось.

4-АП — блокатор K^+ -проводимости в нервной и мышечной тканях [7, 12, 13]. В связи с тем, что генерация неадрениногенных тормозящих синаптических потенциалов (ТСП) в ГМ обусловлена увеличением проводимости мембрани для ионов K^+ [17], представляло интерес исследовать влияние 4-АП не только на холинергические возбуждающие синаптические потенциалы (ВСП), но и на неадрениногенные ТСП в ГМ желудочно-кишечного тракта морской свинки и человека.

Методика

Опыты проводили с помощью модифицированного метода одинарного сахарозного мостика [1] на изолированных полосках ГМ кольцевого слоя фундального отдела желудка и слепой кишки морской свинки, а также тонкой и толстой кишечной человеческого, оперированных по поводу злокачественных опухолей поджелудочной железы и толстой кишки. В опыте брали визуально нормальные мышечные полоски. Синаптические потенциалы вызывали интрамуральным раздражением, длительность стимула которого составляла 0,3–0,5 мс. ТСП исследовали в растворе Кребса, содержащем 10^{-6} моль/л атропина.

Результаты и их обсуждение

Добавление в раствор Кребса 4-АП (10^{-4} – $5 \cdot 10^{-3}$ моль/л) вызывает деполяризацию (2–3 мВ) мембранны фундального отдела желудка морской свинки. В начальный момент действия наблюдается незначительное уменьшение амплитуды анэлектротинических потенциалов (АЭП), проходящее по мере аппликации 4-АП (рис. 1, а). При дей-

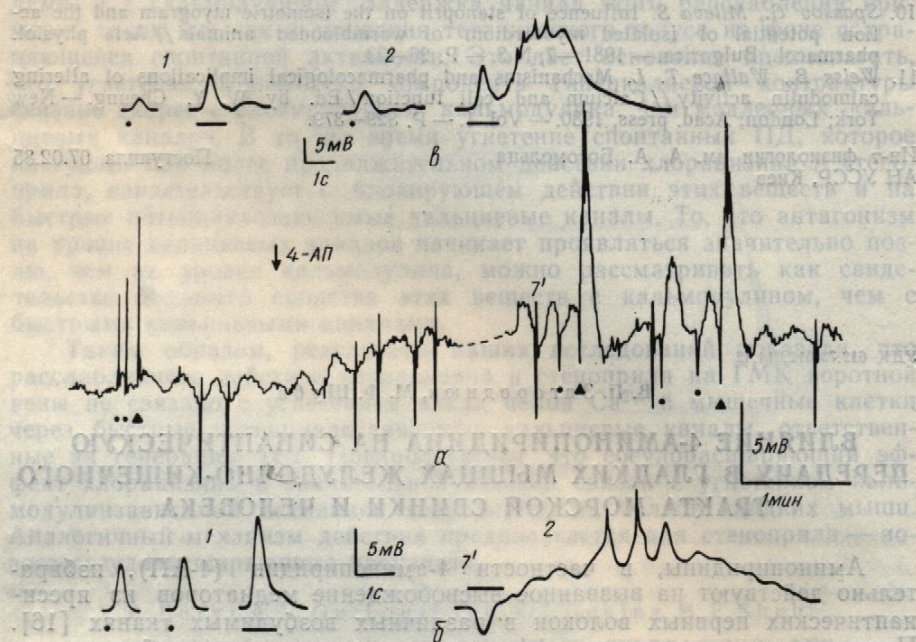


Рис. 1. Влияние 10^{-3} моль/л (а, б) и 10^{-4} моль/л (в) 4-аминопиридина (4-АП) на МП, АЭП (а) и холинергические ВСП (а, б, в) в ГМ фундального отдела желудка морской свинки:

1 — норма; 2 — на 7-й (б) и 15-й (в) минутах действия. На б — те же ВСП, что и на а, но снятые при большей скорости развертки. На всех рисунках точкой обозначено одиночное, треугольником или чертой — ритмическое (10 Гц) интрамуральное раздражение.

ствии малых доз 4-АП (10^{-4} моль/л) на некоторых мышечных полосках можно было наблюдать увеличение амплитуды ВСП, вызванных одиночным или ритмическим стимулами. После окончания ритмического раздражения генерируется длительная следовая волна деполяризации с ПД на ее вершине (см. рис. 1, а). При введении в раствор Кребса 10^{-4} – $5 \cdot 10^{-3}$ моль/л 4-АП вместо ВСП в ответ на одиночный или ритмический стимулы регистрируется ТСП, сопровождаемый после ритмического раздражения следовой волной деполяризации с ПД (рис. 1, а, б), которая, как и ВСП, блокируется атропином (10^{-6} моль/л). Эта следовая волна деполяризации аналогична задержанной волне, наблюдавшейся при действии 4-АП на холинергическую передачу в электрическом органе ската после потенциала электрической пластиники, вызванного одиночным стимулом [5].

Таким образом, 4-АП тилхолина в ГМ желудка получены на нервно-мышечном тракте находятся ческой возбуждающей и [2, 6]. Генерация ВСП идет зависеть от относительного мототонетрического

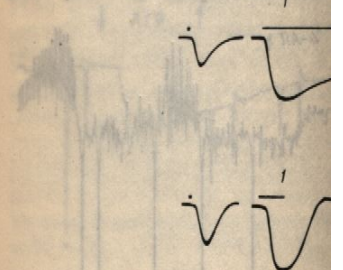


Рис. 2. Влияние 4-АП (10^{-4} моль/л) слепой кишки морской свинки:

1 — норма; 2 — на 7-й (б) и 15-й (в) минутах действия. На б — те же ВСП, что и на а, но снятые при большей скорости развертки. На всех рисунках точкой обозначено одиночное, треугольником или чертой — ритмическое (10 Гц) интрамуральное раздражение.

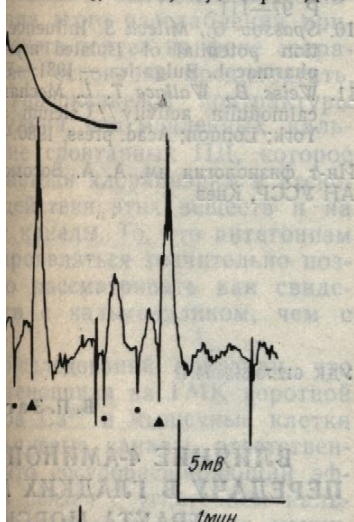
В нашем эксперименте на ГМ фундального отдела морской свинки, в нервической и неадренергической ВСП и ТСП в ГМ желудка в больший период [2], вместо ВСП генерируется ТСП и длительная следовая волна деполяризации имеющая намного большую амплитуду (рис. 1, а, б). Атропин (10^{-6} моль/л) блокирует деполяризации мембранных клеток ГМ, полученные на ГМ фундального отдела морской свинки. На ГМ taenia coli морской свинки 4-АП могут действовать угнетая ее K⁺-проводимость в димых тканях, в том числе

При действии малых концентраций 4-АП на ГМ кольцевые мышечные полоски тонкой или толстой кишки в большинстве случаев ТСП в ГМ фундального отдела морской свинки блокируются атропином, увеличивается супраколикальное раздражение (см. рис. 2, а). В ГМ тонкой кишки, вызванные ритмическим раздражением (см. рис. 2, б), блокируются к значению 4-АП ($5 \cdot 10^{-4}$ – $5 \cdot 10^{-3}$ моль/л). В ГМ слепой кишки в большинстве случаев увеличивается амплитуда ТСП (рис. 3, а). Отчетливо выраженное интрамуральным раздражением (рис. 3, б).

Борисовская Е. К. В статье о Т. Г.
и методе одинарного сахарозы-
м кольцевого слоя фундального
также тонкой и толстой кишечной
челюстей поджелудочной железы и
тонкие мышечные полоски. Синаптиче-
ским действием, длительность стимула ко-
в растворе Кребса, содержащем

увидение

(10^{-4} — $5 \cdot 10^{-3}$ моль/л) вызы-
фундального отдела желудка
вия наблюдается незначи-
ктротинических потенциалов
4-АП (рис. 1, а). При дей-



6 — те же BSP, что и на а, но снятые
й обозначено одиночное, треугольником
ральное раздражение.

некоторых мышечных полос-
амплитуды BSP, вызванных
после окончания ритмическо-
следовая волна деполяриза-
и введении в раствор Кребса
твет на одиночный или рит-
сопровождаемый после рит-
деполяризации с ПД (рис. 1,
тропином (10^{-6} моль/л)). Эта
на задержанной волне, на-
нергическую передачу в
ала электрической пластины

Таким образом, 4-АП увеличивает вызванное высвобождение аце-
тилхолина в ГМ желудка морской свинки, что согласуется с данными, полу-
ченными на нервно-мышечном соединении скелетных мышц [11].
Известно, что одна и та же гладкомышечная клетка пищевари-
тельного тракта находится под одновременным контролем холинерги-
ческой возбуждающей и неадренергической тормозящей иннерваций
[2, 6]. Генерация ВСП и ТСП при интрамуральном раздражении буд-
дет зависеть от относительной плотности этих иннерваций в данной

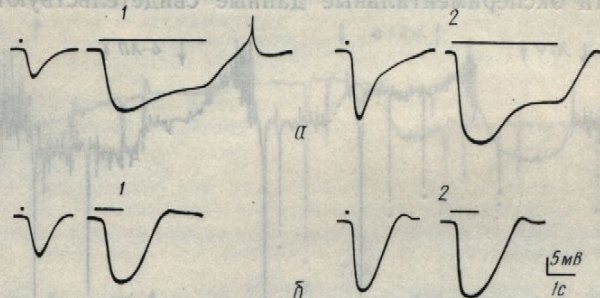


Рис. 2. Влияние 4-АП (10^{-4} моль/л) на неадренергические ТСП в ГМ кольцевого слоя слепой кишки морской свинки (а) и двенадцатиперстной кишки человека (б): 1 — норма, 2 — на 8-й (а) и 10-й (б) минутах действия.

мышечной полоске. Если одновременно наносить интрамуральное раз-
дражение, вызывающее ТСП в ГМ продольного слоя толстой кишки морской свинки, и раздражать тазовый нерв, вызывающий ВСП в тех же гладкомышечных клетках толстой кишки морской свинки, то будет регистрироваться ТСП [6].

В нашем эксперименте при действии 4-АП на ГМ фундального отдела морской свинки, вероятно, увеличивается эффективность холинергической и неадренергической нервно-мышечной передачи. Так как ВСП и ТСП в ГМ желудка морской свинки имеют одинаковый латентный период [2], вместо наблюдавшегося до действия 4-АП ВСП регистрируется ТСП и длительная следовая волна деполяризации с ПД, имеющая намного больший латентный период, чем ТСП (см. рис. 1, а, б). Атропин (10^{-6} моль/л) полностью не предотвращал развитие деполяризации мембрани ГМ желудка морской свинки, вызванной аппликацией больших доз 4-АП ($5 \cdot 10^{-3}$ моль/л), что согласуется с данными, полученными на ГМ фундального отдела желудка кошки [4]. На ГМ *taenia coli* морской свинки $3,4\text{-AP}$ ($5 \cdot 10^{-3}$ моль/л) вызывал деполяризацию мембрани, без изменения ее сопротивления, которая была чувствительна к действию атропина [3]. Вероятно, большие дозы 4-АП могут действовать на мембрани ГМ желудка морской свинки, угнетая ее K^+ -проводимость, как это было показано на многих возбуждимых тканях, в том числе на ГМ [4, 7, 12, 13].

При действии малых доз 4-АП ($2 \cdot 10^{-5}$ — 10^{-4} моль/л) на атропинизированные ГМ кольцевого слоя слепой кишки морской свинки и тонкой или толстой кишечной полоски человека наблюдается увеличение амплитуды ТСП в большинстве случаев без существенных изменений мембраниного потенциала (МП). Амплитуда ТСП, вызванных одиночным стимулом, увеличивается существенное, чем вызванных ритмическим раздражением (см. рис. 2, а, б). Это, вероятно, связано с тем, что ТСП, вызванные ритмическим стимулом, на фоне действия 4-АП уже приближаются к значению K^+ -равновесного потенциала в ГМ. Аппликация 4-АП ($5 \cdot 10^{-4}$ — $5 \cdot 10^{-3}$ моль/л) вызывает гиперполяризацию (5 мВ) мембрани ГМ слепой кишки морской свинки. При этом в большинстве случаев увеличивается амплитуда ТСП, вызванных одиночным раздражением (рис. 3, а). Отчетливо потенцирующий эффект 4-АП на вы-
званное интрамуральным раздражением высвобождение неадренергиче-
ского передатчика проявляется при блокировании ТСП тетродотокси-

ном ($2 \cdot 10^{-7}$ моль/л). Введение 4-АП (10^{-3} моль/л) в раствор Кребса на фоне действия тетродотоксина способно восстановить ТСП (см. рис. 3, б, 1). Гиперполяризация, вызываемая 4-АП, практически не изменяется в присутствии фентоламина ($3,1 \cdot 10^{-6}$ моль/л) и индерала ($3,4 \cdot 10^{-6}$ моль/л), но угнетается тетродотоксином ($2 \cdot 10^{-7}$ моль/л), в отличие от гиперполяризации той же амплитуды, вызванной аппликацией АТФ ($5 \cdot 10^{-5}$ моль/л). После отмытия тетродотоксина раствором Кребса гиперполяризующий эффект 4-АП восстанавливается (см. рис. 3, 1, 2, 3). Эти экспериментальные данные свидетельствуют о том, что

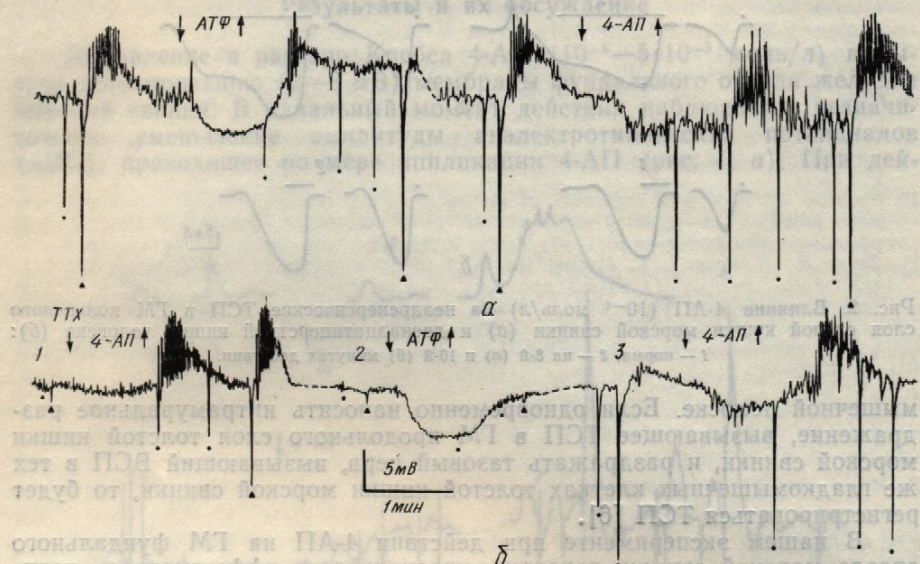


Рис. 3. Эффект АТФ ($5 \cdot 10^{-5}$ моль/л) и 4-АП (10^{-3} моль/л) на ГМ кольцевого слоя слепой кишки морской свинки в норме (а) и на фоне действия $2 \cdot 10^{-7}$ моль/л тетродотоксина (б): 1 — на 12-й; 2 — на 20-й минутах действия; 3 — на 15-й минуте отмывания ГМ раствором Кребса.

4-АП способен значительно увеличивать спонтанное выделение неадренергического тормозящего медиатора из нервных терминалов аксонов, действуя при этом на интрамуральные нервные образования (вероятно, на интрамуральные нейроны), находящиеся в толще мышечной полоски. Наиболее заметен эффект 4-АП на спонтанное выделение медиатора в ГМ слепой кишки морской свинки, где относительно большая плотность неадренергической тормозящей иннервации [8]. 4-АП ($5 \cdot 10^{-4}$ — $5 \cdot 10^{-3}$ моль/л) увеличивает частоту и амплитуду спонтанных ТСП (см. рис. 3, а). В некоторых случаях при действии 4-АП можно было наблюдать появление гигантских спонтанных ТСП (до 7 мВ), что согласуется с результатами, полученными на нервно-мышечном соединении лягушки [11]. 4-АП увеличивал спонтанное выделение норадреналина из ГМ воротной вены и легочной артерии крысы и морской свинки, а также ацетилхолина из нервных волокон тонкой кишки морской свинки [7, 10, 14].

Добавление 10^{-3} — $5 \cdot 10^{-3}$ моль/л 4-АП в раствор Кребса вызывает гиперполяризацию (3—5 мВ) в ГМ тонкой и толстой кишечек человека, на фоне которой в первые минуты действия 4-АП наблюдается незначительное уменьшение АЭП и в большинстве случаев — снижение амплитуды ТСП (рис. 4, а). При длительном действии 4-АП МП и амплитуда ТСП постепенно восстанавливаются. 4-АП широко используется как блокатор K^+ -проводимости в различных возбудимых тканях [12, 13]. Кроме того, на нейронах коры мозга крысы 4-АП блокирует тормозящее действие АТФ на спонтанную и глютамат вызванную активность, что может быть связано с его способностью уменьшать K^+ -про-

водимость [15]. В наших условиях гиперполяризация (см. рис. 4, б). Однако можно получить в случае (10^{-4} моль/л) с небольшой (10^{-6} моль/л) угнетает гиперполяризацию в ГМ кишечника человека, что при действии 4-АП на ГМ кишечника морской свинки

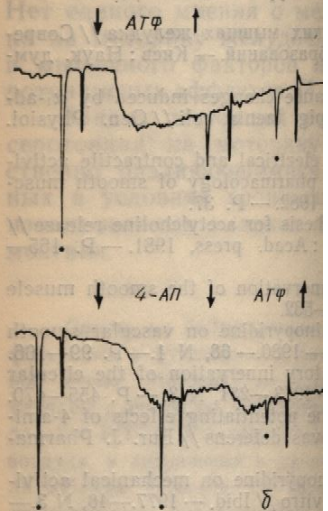


Рис. 4. Действие АТФ (10^{-4} моль/л) на ГМ кольцевого слоя слепой кишки морской свинки: а — в норме, б — при добавлении АТФ на 10-й минуте.

тормозящего медиатора, что является значительное уменьшение АТФ, тогда как амплитуда их действий (рис. 4, б) в пользу пуринергической активности.

Из представленных данных видно, что действие АТФ на ТСП в ГМ кишечника является значительное уменьшение ТСП в ГМ слепой кишки морской свинки ($30\%, n=12$) в ГМ слепой кишки морской свинки ($5 \cdot 10^{-3}$ моль/л) 4-АП определяет, а не блокирует.

Таким образом, полученные данные показывают, что действие 4-АП на ГМ кишечника человека наблюдается по механизму тормозящего действия АТФ на ГМ кишечника. Вследствие увеличения амплитуды ТСП в ГМ кишечника происходит выделение передатчиков, находящихся в ГМ кишечника.

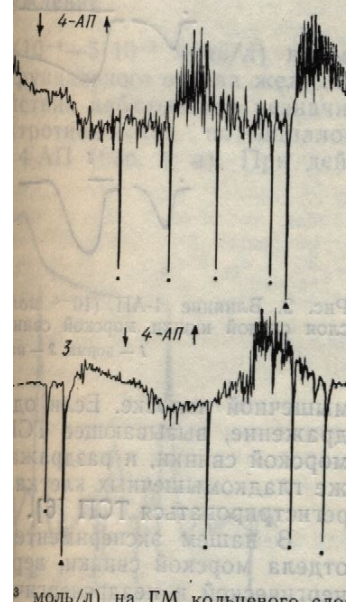
V. P. S.

THE INFLUENCE OF 4-AMINOPYRIDINE ON THE TRANSMISSION IN THE GUINEA-PIG COLON

The influence of 4-aminopyridine on the transmission in the guinea-pig colon has been studied by the methods of electrophysiology.

Физиол. журн., 1986, т. 32, № 4

$^{-3}$ моль/л) в раствор Кребса можно восстановить ТСП (см. амплитуда 4-АП, практически не $3 \cdot 10^{-6}$ моль/л) и индерала токсином ($2 \cdot 10^{-7}$ моль/л), вплоть до вызванной аппликации тетродотоксина раствором восстанавливается (см. рис. 3, свидетельствуют о том, что



моль/л) на ГМ кольцевого слоя при действии $2 \cdot 10^{-7}$ моль/л тетродотоксина в момент отмытия ГМ раствором Кребса.

спонтанное выделение из нервных терминалов активные нервные образования находящиеся в толще мышечного слоя на спонтанное выделение морской свинки, где относительно тормозящей иннервации [8]. частоту и амплитуду спонтанно-активных образований ТСП (до ученных на нервно-мышечном уровне) опосредовано выделение чистой артерии крысы и морских волокон тонкой кишки в растворе Кребса вызывает и толстой кишке человека, 4-АП наблюдается независимо от действия — снижение амплитуды 4-АП МП и амплитуды 4-АП широко используется в возбудимых тканях [12, 13], 4-АП блокирует тормозящую активность уменьшать K^+ -проводимость

водимость [15]. В наших экспериментах на ГМ тонкой и толстой кишки человека гиперполяризующий эффект АТФ также угнетается 4-АП (см. рис. 4, б). Однако такой же эффект, как показан на рис. 4, б, можно получить в случае следующих одна за другой аппликаций АТФ (10^{-4} моль/л) с небольшим интервалом (до 30 с). Тетродотоксин (10^{-6} моль/л) угнетает гиперполяризацию, вызванную 4-АП, но не АТФ в ГМ кишечника человека (см. рис. 4, в). Эти данные говорят о том, что при действии 4-АП на ГМ кишечника человека, как и на ГМ слепой кишки морской свинки, наблюдается выделение пуринергического

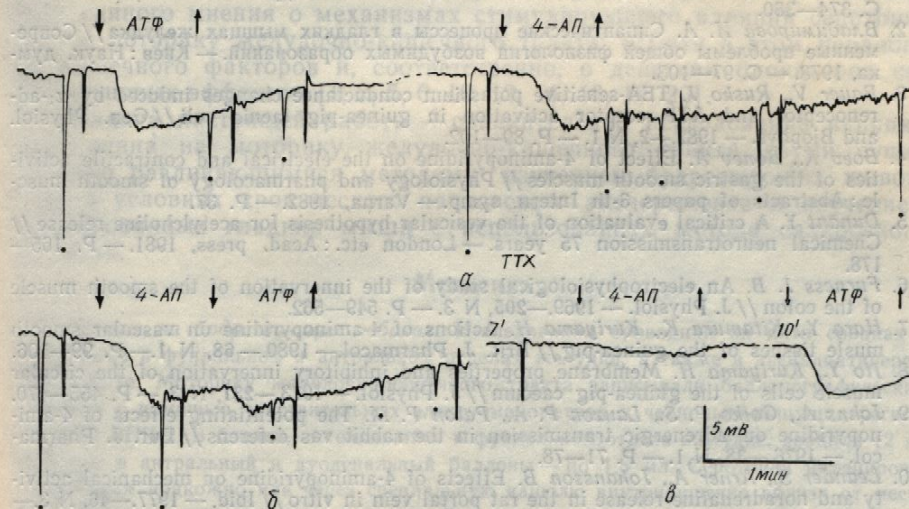


Рис. 4. Действие АТФ (10^{-4} моль/л) и 4-АП ($5 \cdot 10^{-3}$ моль/л) на МП, АЭП и ТСП в ГМ кольцевого слоя начального отдела тонкой кишки человека:
а — в норме, б — при добавлении АТФ в раствор Кребса сразу за действием 4-АП, в — на 7-й и 10-й минутах действия тетродотоксина (10^{-6} моль/л).

тормозящего медиатора из нервных терминалей. Необходимо отметить значительное уменьшение ТСП при последовательной аппликации 4-АП и АТФ, тогда как амплитуда АЭП снижается также как при раздельных их действиях (рис. 4, а, б), что может косвенно свидетельствовать в пользу пуринергической природы ТСП.

Из представленных экспериментальных данных по влиянию 4-АП на ТСП в ГМ кишечника морской свинки и человека следует, что уменьшение ТСП в ГМ кишечника человека и в некоторых случаях (30 %, $n=12$) в ГМ слепой кишки морской свинки при действии 10^{-3} — $5 \cdot 10^{-3}$ моль/л 4-АП опосредовано выделением пуринергического медиатора, а не блокированием K^+ -проводимости мембранны ГМ.

Таким образом, полученные результаты говорят о том, что при действии 4-АП на ГМ желудочно-кишечного тракта морской свинки и человека наблюдается повышение эффективности возбуждающей холинергической и тормозящей неадренергической синаптической передачи вследствие увеличения высвобождения этих медиаторов в ответ на интрамуральную стимуляцию. Кроме того 4-АП увеличивает спонтанное выделение передатчиков, действуя на интрамуральные нервные образования, находящиеся в толще мышечной полоски.

V. P. Zagorodnyuk, M. F. Shuba

THE INFLUENCE OF 4-AMINOPYRIDINE ON THE SYNAPTIC TRANSMISSION IN SMOOTH MUSCLES OF THE HUMAN AND GUINEA-PIG GASTROINTESTINAL TRACT

The influence of 4-aminopyridine on the cholinergic excitatory and non-adrenergic inhibitory synaptic potentials of the human and guinea-pig gastrointestinal smooth muscle has been studied by the modified single sucrose-gap method. 4-aminopyridine enhanced

the effectiveness of both cholinergic excitatory and non-adrenergic inhibitory synaptic transmission due to an increase in the amount of transmitters released in response to intramural stimulation. Besides, 4-aminopyridine increases spontaneous release of transmitters from the intramural nerve terminals in gastrointestinal smooth muscle.

A. A. Bogomoletz Institute,
Academy of Sciences of the Ukrainian SSR, Kiev

1. Артеменко Д. П., Бурый В. А., Владимирова И. А., Шуба М. Ф. Модификация метода одинарного сахарозного мостика // Физиол. журн. — 1982. — 28, № 3. — С. 374—380.
2. Владимирова И. А. Синаптические процессы в гладких мышцах желудка // Современные проблемы общей физиологии возбудимых образований. — Киев : Наук. думка, 1978. — С. 97—103.
3. Bauer V., Rusko J. TEA-sensitive potassium conductance changes induced by α_1 -adrenoreceptor and ATP-receptor activation in guinea-pig taenia coli // Gen. Physiol. and Biophys. — 1982. — 2, N 1. — P. 89—102.
4. Boev K., Bonev A. Effect of 4-aminopyridine on the electrical and contractile activities of the gastric smooth muscles // Physiology and pharmacology of smooth muscle : Abstracts of papers 3-th Intern. symp. — Varna, 1982. — P. 37.
5. Dunant Y. A critical evaluation of the vesicular hypothesis for acetylcholine release // Chemical neurotransmission 75 years. — London etc. : Acad. press, 1981. — P. 165—178.
6. Furness J. B. An electrophysiological study of the innervation of the smooth muscle of the colon // J. Physiol. — 1969. — 205, N 3. — P. 549—562.
7. Hara Y., Kitamura K., Kuriyama H. Actions of 4-aminopyridine on vascular smooth muscle tissues of the guinea-pig // Brit. J. Pharmacol. — 1980. — 68, N 1. — P. 99—106.
8. Ito Y., Kuriyama H. Membrane properties and inhibitory innervation of the circular muscle cells of the guinea-pig caecum // J. Physiol. — 1973. — 231, N 3. — P. 455—470.
9. Johns A., Golko P. S., Lauzon P. A., Paton P. M. The potentiating effects of 4-aminopyridine on adrenergic transmission in the rabbit vas deferens // Eur. J. Pharmacol. — 1976. — 38, N 1. — P. 71—78.
10. Leander S., Arner A., Johansson B. Effects of 4-aminopyridine on mechanical activity and noradrenaline release in the rat portal vein in vitro // Ibid. — 1977. — 46, N 3. — P. 351—361.
11. Lundh H. Effects of 4-aminopyridine on neuromuscular transmission // Brain Res. — 1978. — 153, N 3. — P. 307—318.
12. Meves H., Pichon Y. The effect of internal and external 4-aminopyridine on the potassium currents in intracellularly perfused squid giant axon // J. Physiol. — 1977. — 268, N 2. — P. 511—532.
13. Molgo J. Voltage-clamp analysis of the sodium and potassium current in skeletal muscle fibres treated with 4-aminopyridine // Experientia. — 1978. — 34, N 7. — P. 1275—1276.
14. Moritoki H., Taki M., Nakamoto N., Ishida Y. Actions of aminopyridines on guinea-pig ileum // Archs int. pharmacodyn. et ther. — 1978. — 232, N 1. — P. 28—41.
15. Perkins M. N., Stone T. V. 4-aminopyridine blockade of neuronal depressant responses to adenosine triphosphate // Brit. J. Pharmacol. — 1980. — 70, N 3. — P. 425—428.
16. Thesleff S. Aminopyridines and synaptic transmission // Neuroscience. — 1980. — 5, N 8. — P. 1413—1419.
17. Tomita T. Conductance change during the inhibitory potential in the guinea-pig taenia coli // J. Physiol. — 1972. — 225, N 3. — P. 693—703.
18. Vizi E. S., Van Duk T., Foldes F. F. The effect of 4-aminopyridine on acetylcholine release // J. Neural Transm. — 1977. — 41, N 2. — P. 265—274.

Ин-т физиологии им. А. А. Богомольца АН УССР, Киев
Поступила 29.05.85

СРАВНИТЕЛЬНЫЙ АНАЛИЗ ВЛИЯНИЯ СЕРОТОНИНА НА МОТОРНУЮ ФУНКЦИЮ ЖЕЛУДОЧНО-КИШЕЧНОГО ТРАКТА В ОПЫТАХ IN VIVO И IN VITRO

Хотя вопрос о влиянии серотонина на моторику желудочно-кишечного тракта интенсивно изучался [1—4, 7, 9, 12—14, 17—20 и др.], есть проблемы, которые еще не выяснены или остаются спорными. Прежде всего это — феноменология моторных эффектов, вызываемых серотони-

ном, которая обобщенно. Эта формулировка, например, тонин, стимулирующий м. Недостаточно исследовано, учитывая важное значение нина на желудочную секрецию нервов стимулировать въном тракте [9]. Спорным лаксии к серотонину проявляется. Нет единого мнения о механизмах на моторику желудочного и мышечного факторов, релаксации и потенциации серотониновых эффектов [1].

Задача настоящей работы — установить, каким образом серотонин на моторику желудочно-кишечного тракта, различающиеся в условиях хронического изолированного гладкого мостика.

Опыты на бодрствующих животных с аортальными и аортокавальными fistulами в фундальном и антравальном отделах кишечника. Моторику желудочно-кишечного тракта определяли методом с помощью чувствительных элементов РПЧ-2. В баллон, находящийся в антравальном отделе желудка, вводили воздух, в антравальный и дуоденальный отделы собакам подкожно или через расположение дуоденального шланга на фоне перибрюшинного тракта, и после склермирования тракта продолжалась не менее 20 минут. Введение воздуха в баллон производилось через трубку, введенную в баллон, ранее, чем через 10 минут, т. е. перед началом опыта.

Опыты на изолированных кишечниках кольцевого и продольного срезов производились в ванночку с проточной водой (1,38; CaCl_2 — 2,5; MgCl_2 — 0,10 мМ) следующего состава: 1,38; CaCl_2 — 2,5; MgCl_2 — 0,10 мМ, другой крепили к пружинке, соединяющей конец магнитного изолатора, регистрирующего сокращение.

В работе использовали адреналин, гексоний, фентоламин и обидат.

В опытах на пепарированном кишечнике оказывало сильное и антравальное сокращение, чиняя с пороговой дозы. Дозы эффекта удлинялись, вещества (таблица). Эффект с действием 0,016 мг/кг. Приложение дозы серотонина было достоверным. Удлинение времени сокращения вызывало рвоту подкожно и внутрикишечную, в 5—6 раз короче (рис. 1), последующее введение приводило к реакции на предыдущее,

Физиол. журн., 1986, т. 32, № 4

I non-adrenergic inhibitory synaptic transmitters released in response to releases spontaneous release of trans-trointestinal smooth muscle.

А. Шуба М. Ф. Модификация миол. журн. — 1982. — 28, № 3. —

гладких мышцах желудка // Современные образований. — Киев : Наук. думка, 1982. — 128 с. —

ductance changes induced by α_1 -adrenergic receptors in guinea-pig taenia coli // Gen. Physiol. the electrical and contractile activation and pharmacology of smooth muscle, 1982. — P. 37.

hypothesis for acetylcholine release // etc. : Acad. press, 1981. — P. 165 —

e innervation of the smooth muscle 549—562.

l-aminopyridine on vascular smooth muscle // 1980. — 68, N 1. — P. 99—106. Inhibitory innervation of the circular muscle // 1973. — 231, N 3. — P. 455—470. The potentiating effects of 4-aminopyridine on mechanical activation in vitro // Ibid. — 1977. — 46, N 3. —

skeletal transmission // Brain Res. — External 4-aminopyridine on the post-giant axon // J. Physiol. — 1977. —

and potassium current in skeletal Experientia. — 1978. — 34, N 7. —

ions of aminopyridines on guinea-pig // 1978. — 232, N 1. — P. 28—41.

de of neuronal depressant responses // 1980. — 70, N 3. — P. 425—428.

mission // Neuroscience. — 1980. — 5, —

try potential in the guinea-pig taenia coli // 1983.

f 4-aminopyridine on acetylcholine // 1985. — 265—274.

Поступила 29.05.85

В. Вовк, Б. Д. Черпак
НИЯ СЕРОТОНИНА
(ОЧНО-КИШЕЧНОГО
И IN VITRO)

оторику желудочно-кишечного тракта [12—14, 17—20 и др.], есть спорными. Прежде всего, вызываемых серотонином.

изол. журн., 1986, т. 32, № 4

ном, которая обобщенно характеризуется как стимуляция моторики. Эта формулировка, например, не может дать объяснение, почему серотонин, стимулирующий моторику, тормозит опорожнение желудка [9]. Недостаточно исследовано влияние ваготомии на эффекты серотонина, учитывая важное значение вагусной иннервации для влияния серотонина на желудочную секрецию [25], а также способность блуждающих нервов стимулировать высвобождение серотонина в желудочно-кишечном тракте [9]. Спорным остается вопрос, насколько феномен тахифилаксии к серотонину проявляется при моторных эффектах [2, 17, 18]. Нет единого мнения о механизмах стимулирующего влияния серотонина на моторику желудочно-кишечного тракта, о роли в этом нервного и мышечного факторов и, соответственно, о действии блокаторов серотониновых эффектов [1, 2, 5, 6, 10, 12, 14, 16, 19, 20].

Задача настоящей работы — сравнительное исследование влияния серотонина на моторику желудочно-кишечного тракта двумя существенно различающимися методами: изучением бодрствующих животных в условиях хронического павловского эксперимента и изучением изолированных гладких мышц с использованием метода сахарозного мостика.

Методика

Опыты на бодрствующих собаках. Исследования проводили на пяти собаках с фистулами в фундальном и антравальном отделах желудка, а также в двенадцатиперстной кишке. Моторику желудочно-кишечного тракта записывали баллонографическим методом с помощью чувствительных электроманометров и чернильно-пишущих регистраторов РПЧ-2. В баллон, находившийся в фундальном отделе желудка, вводили 12 мл воздуха, в антравальный и дуоденальный баллоны — по 1,5 мл. Серотонин инъецировали собакам подкожно или через специальную канюлю внутрикишечно вблизи от места расположения дуоденального баллона. Введение серотонина и нейроблокаторов осуществлялось на фоне периодической моторной деятельности желудочно-кишечного тракта, и после скармливания собакам по 75 г хлеба и тощего мяса. Регистрация моторики продолжалась не менее двух часов после каждого введения серотонина. При введении собакам нейроблокаторов тестовое введение серотонина осуществлялось не ранее, чем через 10 мин, т. е. на фоне полностью развившегося эффекта нейроблокаторов.

Опыты на изолированных гладких мышцах. Изолированные мышечные полоски кольцевого и продольного слоев тонкой кишки человека длиной менее 10 мм помещали в ванночку с проточным и подогретым до 35—36 °C раствором Кребса (в ммоль/л) следующего состава: NaCl — 133,3; KCl — 4,7; NaHCO₃ — 16,3; NaHPO₄ — 1,38; CaCl₂ — 2,5; MgCl₂ — 0,105, глюкозы — 7,8. Один конец полоски фиксировали зажимом, другой крепили к пружине, с помощью которой полоска растягивалась. К середине, соединяющей конец мышечной полоски с пружинкой, прикрепляли рычаг механотрона, регистрирующего сократительную активность полоски.

В работе использовали адипинат серотонина и пейроблокаторы: атропин, бензогексоний, фентоламин и обзидан.

Результаты

В опытах на ненаркотизированных собаках серотонин при подкожном введении оказывал стимулирующее влияние на моторику фундального и антравального отделов желудка и двенадцатиперстной кишки, начиная с пороговой дозы 0,02 мг/кг (рис. 1, а). По мере увеличения дозы эффект удлинялся, достигая максимума 41,6 мин при 0,35 мг/кг вещества (таблица). Эффект такой дозы серотонина был сопоставим с действием 0,016 мг/кг прозерина (рис. 1, б). Дальнейшее увеличение дозы серотонина до 0,7 мг/кг не сопровождалось статистически достоверным удлинением реакции (см. таблицу) и в некоторых случаях вызывало рвоту. При введении одинаковых доз серотонина подкожно и внутрикишечно в последнем случае действие его было в 5—6 раз короче (рис. 1, б). При повторном введении серотонина, если последующее введение проводилось не позже 5—7 мин после окончания реакции на предыдущее, отмечалась значительно менее выраженная

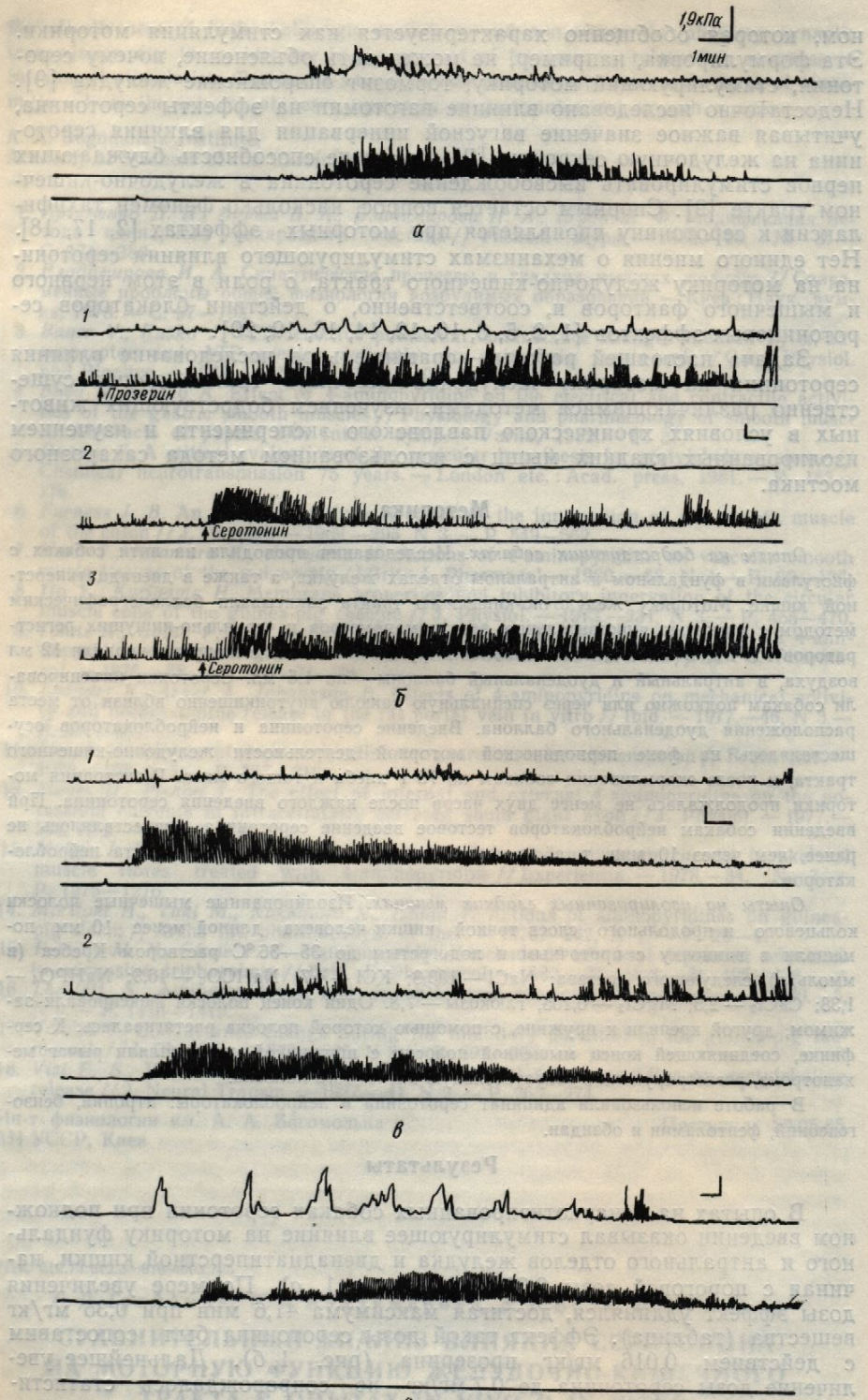


Рис. 1. Изменение моторной реакции желудка и двенадцатиперстной кишки бодрствующих собак под влиянием серотонина:

а — моторная реакция желудка и двенадцатиперстной кишки при подкожном введении серотонина в околопороговой дозе ($0,03 \text{ мг}/\text{кг}$); б — сопоставление эффектов на введение $0,016 \text{ мг}/\text{кг}$ прозерина подкожно (1), $0,7 \text{ мг}/\text{кг}$ серотонина внутрикишечно (2) и той же дозы серотонина подкожно (3); в — эффекты на повторное введение $0,16 \text{ мг}/\text{кг}$ серотонина (2) через 10 мин после завершения первой реакции (1); г — сокращения желудка типа А по Анитшкову и ритмическая сегментация двенадцатиперстной кишки при подкожном введении $0,17 \text{ мг}/\text{кг}$ серотонина. Кривые означают (сверху вниз): моторику фундального отдела желудка, сокращение двенадцатиперстной кишки (сверху вниз): моторику фундального отдела желудка, сокращение двенадцатиперстной кишки, отметку раздражения. На остальных рисунках кривые означают то же самое.

таксифилаксия (рис. 1, в), на [17].

Моторные реакции же рода: в виде возникновен 4—5 раз за 1 мин или в той $0,5$ — 2 волны за 1 ми чаше возникал 1-й тип ре играли индивидуальные ос

Зависимость длительности м в норме и на ф

Доза подкожно введенного серотонина, мг/кг	в норме
0,17	20 ± 3 ($n=$)
0,34	40 ± 7 ($n=$)
0,68	45 ± 11 ($n=$)

Примечание: n — число опь

Тонкий кишечник бы лудок. Поэтому при около реакция тонкой кишки бе ка. Обычно серотонин ст ной ритмической сегмента работы при периодическо ный эффект серотонина, с фона моторной активност введении серотонина гол ческой активности желуд моторики.

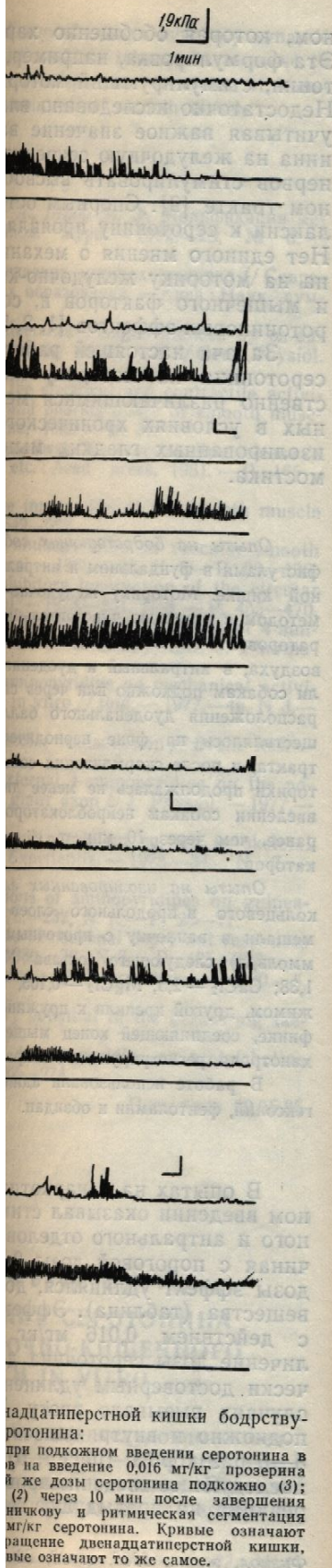
После окончания реа бак сразу восстанавлив

У ваготомированных ку, как у собак с целым того, эффект серотонина в моторика желудочно-кишловым наркозом. Если к эти собаки оставались по адинамия желудочно-киш

Действие Н- и М-х Ганглиоблокатор бензоге торные реакции, вызваны пороговые в 2—4 раза (И нина бензогексоний резко торного эффекта на серо плите сокращений желу

Атропин ($0,07 \text{ мг}/\text{кг}$) ротонина иногда также г ты, но это действие атро бензогексония. При боль гексонию существенно сок вет на введение серотони уменьшал амплитуду сок на серотонин начали быстро уменьшалась — ф ванных собак на фоне де та на серотонин была у

При удвоении доз ($3,4 \text{ мг}/\text{кг}$) описанные эф



таксифилаксия (рис. 1, в), чем описано при внутривенном введении амина [17].

Моторные реакции желудка на введение серотонина были двоякого рода: в виде возникновения обычных перистальтических волн частотой 4—5 раз за 1 мин или в виде сокращений типа А по Аничкову частотой 0,5—2 волны за 1 мин (рис. 1, г). При больших дозах серотонина чаще возникал 1-й тип реакции; определенную роль в этом отношении играли индивидуальные особенности собак.

Зависимость длительности моторного эффекта тонкой кишки от дозы серотонина в норме и на фоне блокады Н- и М-холинерцепторов

Доза подкожно-введенного серотонина, мг/кг	Длительность моторной реакции, мин		
	в норме	на фоне атропина (0,07 мг/кг)	на фоне бензогексония (1,7 мг/кг)
0,17	20±3 (n=6)	11±4 (n=6)	—
0,34	40±7 (n=5)	13±5 (n=4)	11±3 (n=6)
0,68	45±11 (n=7)	15±2 (n=4)	20±6 (n=5)

Примечание: n — число опытов.

Тонкий кишечник был более чувствителен к серотонину, чем желудок. Поэтому при околопороговых дозах иногда возникала моторная реакция тонкой кишки без сопутствующего усиления моторики желудка. Обычно серотонин стимулировал появление в тонкой кише сильной ритмической сегментации, напоминающей «щетку» в конце периода работы при периодической деятельности (рис. 1, б; 2, а; 2, б). Моторный эффект серотонина, особенно в кише, мало зависел от исходного фона моторной активности — он в одинаковой степени проявлялся при введении серотонина голодным собакам в различные фазы периодической активности желудочно-кишечного тракта и на фоне пищевой моторики.

После окончания реакции на введение серотонина у голодных собак сразу восстанавливался нормальный ритм периодики.

У ваготомированных собак серотонин вызывал такую же моторику, как у собак с целыми блуждающими нервами (рис. 2, б). Кроме того, эффект серотонина в полной мере проявлялся у собак, у которых моторика желудочно-кишечного тракта была заторможена нембуталовым наркозом. Если к моменту прекращения действия серотонина эти собаки оставались под действием наркоза, у них снова возникала адниамия желудочно-кишечного тракта (рис. 3).

Действие Н- и М-холиноблокаторов на серотониновые эффекты. Ганглиоблокатор бензогексоний (1,7 мг/кг) полностью устранил моторные реакции, вызванные серотонином в дозах, не превышавших пороговые в 2—4 раза (рис. 2, в). При больших количествах серотонина бензогексоний резко (в 3—4 раза) укорачивал длительность моторного эффекта на серотонин (см. таблицу), а также уменьшал амплитуду сокращений желудка и тонкой кишки.

Атропин (0,07 мг/кг) на фоне действия околопороговых доз серотонина иногда также полностью блокировал серотониновые эффекты, но это действие атропина было менее воспроизводимым, чем для бензогексония. При больших дозах серотонина атропин подобно бензогексонию существенно сокращал длительность моторных реакций в ответ на введение серотонина и в большей степени, чем бензогексоний, уменьшал амплитуду сокращений. Обычно на фоне атропина реакции на серотонин начинались с нормальной амплитуды, которая затем быстро уменьшалась — феномен лестницы (рис. 2, а). У ваготомированных собак на фоне действия атропина амплитуда моторного эффекта на серотонин была уменьшена с самого начала (рис. 2, б).

При удвоении доз атропина (0,14 мг/кг) и бензогексония (3,4 мг/кг) описанные эффекты практически не изменились.

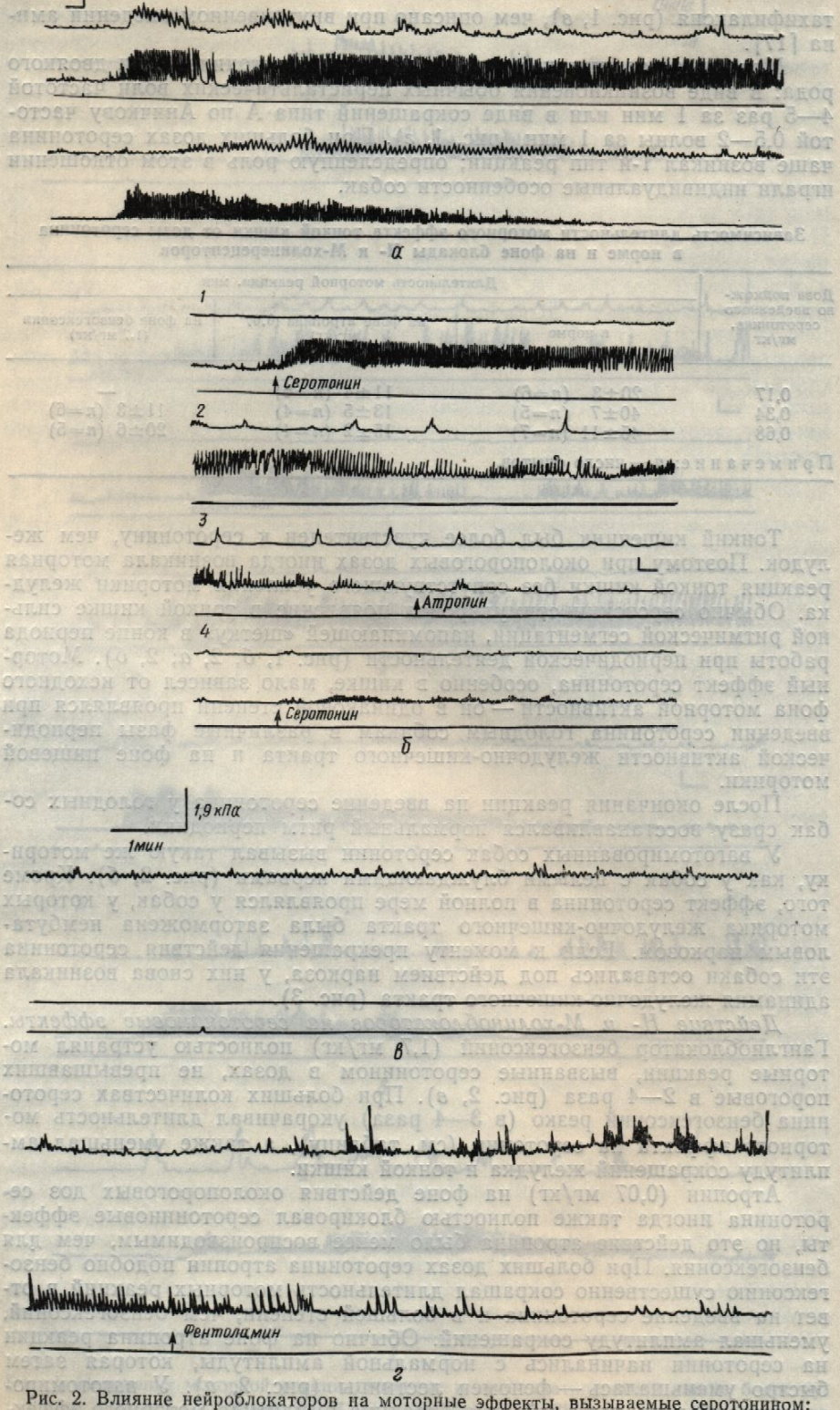


Рис. 2. Влияние нейроблокаторов на моторные эффекты, вызываемые серотонином:
а — реакция на подкожное введение 0,7 мг/кг серотонина до и после инъекции атропина (0,07 мг/кг подкожно) собаке с интактными блуждающими нервами и б — то же ваготомированной собаке;
в — отсутствие моторного эффекта на введение серотонина (0,35 мг/кг) через 15 мин после предварительного подкожного введения бензогексония (1,7 мг/кг) и фентоламина (0,8 мг/кг); г — угнетение серотонинового эффекта, предварительно ослабленного подкожным введением атропина (0,07 мг/кг), в ответ на подкожное введение фентоламина (1,7 мг/кг).

Действие α - и β -адреноблокаторов
а-Адреноблокатор фентоламин не оказывает на моторные серотонином моторные эффекты. Однако на фоне гексония (1,7 мг/кг) фентоламин оставшуюся ослабленную блокатор обездорван на мозговом уровне. Опыты на гладких мышцах ловка. Серотонин (10⁻⁶ моль/л) вызывает сокращение гладких мышц, которое блокируется адреноблокатором фентоламином (10⁻⁶ моль/л). Бензогексоний (1,7 мг/кг) не оказывает на гладкие мышцы моторных эффектов, но усиливает действие серотонина на гладкие мышцы. Введение серотонина (10⁻⁶ моль/л) вызывает сокращение гладких мышц, которое блокируется адреноблокатором фентоламином (10⁻⁶ моль/л). Бензогексоний (1,7 мг/кг) не оказывает на гладкие мышцы моторных эффектов, но усиливает действие серотонина на гладкие мышцы.

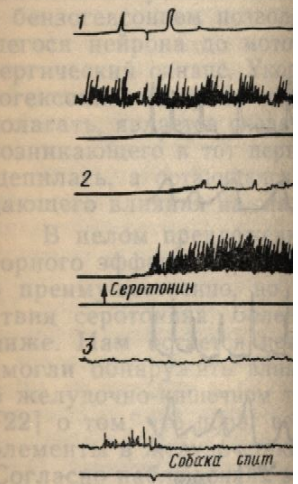


Рис. 3. Действие серотонина на подкожное введение в кишечном тракте, заторможенное мотрическим спазмом.

на мембрану гладкомышечной ткани действует на мембранные ионные каналы, что приводит к уменьшению проводимости ионов и, следовательно, к блокированию моторных эффектов. Адреноблокаторы, такие как фентоламин, блокируют эти каналы, что приводит к блокированию моторных эффектов. Бензогексоний, наоборот, усиливает действие серотонина на гладкие мышцы.

М-холиноблокаторы блокируют мембранные ионные каналы, что приводит к блокированию моторных эффектов. Атропин, например, блокирует мембранные ионные каналы, что приводит к блокированию моторных эффектов. Бензогексоний, наоборот, усиливает действие серотонина на гладкие мышцы.

Прежде всего обратим внимание на то, что чувствительность гладких мышц к серотонину, которая, как правило, превышает аналогичную чувствительность к адреналину, включая сердечно-сосудистую систему, проявляется при достижении определенного концентрации серотонина. При достижении определенной концентрации серотонина, чувствительность гладких мышц к серотонину становится выше, чем к адреналину, что приводит к блокированию моторных эффектов.

Действие α - и β -адреноблокаторов на серотониновые эффекты. α -Адреноблокатор фентоламин ($1,7-3,4$ мг/кг) не влиял на вызываемые серотонином моторные реакции в желудке и тонкой кишке.

Однако на фоне действия атропина ($0,07$ мг/кг) и чаще бензогексония ($1,7$ мг/кг) фентоламин в $40-50\%$ проб полностью угнетал оставшуюся ослабленную моторную реакцию (рис. 2, г). β -Адреноблокатор обзидан на моторные эффекты серотонина не влиял.

Опыты на гладких мышцах, изолированных из тонкой кишки человека. Серотонин (10^{-6} моль/л) оказывал возбуждающее влияние

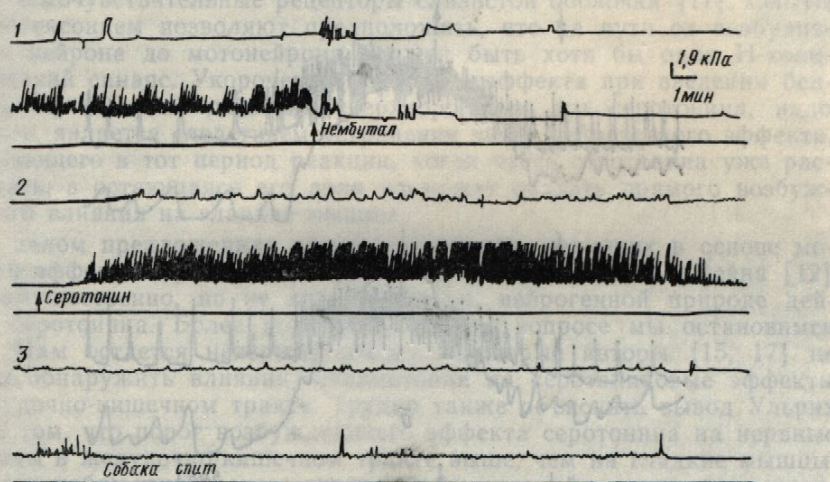


Рис. 3. Действие серотонина на моторные реакции наркотизированных животных:
1, 2 — эффект на подкожное введение серотонина ($0,7$ мг/кг) собаке на фоне моторики желудочно-кишечного тракта, заторможенной нембуталом ($0,35$ мг/кг внутривенно); 3 — полное угнетение моторики желудочно-кишечного тракта.

на мембранные гладкомышечные клетки, которое проявлялось в деполяризации мембранны, сопровождающейся в подавляющем большинстве случаев генерацией потенциалов действия и сокращением мышечной полоски (рис. 4, а). При длительной аппликации серотонина наблюдалась десенситизация, которая была более выражена в гладких мышцах кольцевого слоя.

M -холиноблокатор атропин (10^{-6} моль/л) в большинстве случаев ослаблял возбуждающее влияние серотонина на электрическую и сократительную активность препаратов (рис. 4, б). α -Адреноблокатор фентоламин (10^{-6} моль/л) и β -адреноблокатор пропранолол (10^{-6} моль/л) проявляли тенденцию к усилению стимулирующего эффекта серотонина на препараты гладких мышц тонкой кишки (рис. 4, в). Гексоний (10^{-4} моль/л) на серотониновые эффекты в опытах *in vitro* не влиял. Некоторые препараты, которые реагировали усилением электрической и моторной активности на серотонин, оказывались малочувствительными к действию всей группы нейроблокаторов парасимпатического и симпатического рядов.

Обсуждение

Прежде всего обращает на себя внимание исключительно высокая чувствительность гладких мышц желудочно-кишечного тракта к серотонину, которая, как впервые отметили Хавербак и соавт. [17], намного превышает аналогичную чувствительность других систем организма, включая сердечно-сосудистую систему. При увеличении вводимых доз серотонина проявлялся эффект насыщения, который выражался в том, что при достижении определенной дозы серотонина дальнейшее ее увеличение не приводило к усилению или удлинению эффекта.

После инъекции атропина ($0,07$ мг/кг, β — то же ваготомированной собаке; $0,35$ мг/кг) через 15 мин после предварительного введения атропина ($0,8$ мг/кг); ε — угнетение моторики тонкой кишки, вызываемое серотонином:

1 — после инъекции атропина ($0,07$ мг/кг);
 2 — то же ваготомированной собаке;
 3 — предварительное введение атропина ($0,8$ мг/кг);
 4 — угнетение моторики тонкой кишки, вызываемое серотонином ($1,7$ мг/кг).

Как и другие исследователи [2, 18], мы не обнаружили зависимости моторного эффекта на введение серотонина от состояния парасимпатической иннервации желудка и тонкой кишки.

Серотонин мог вызывать как обычную перистальтику желудка, подобно стимуляторам М-холинорецепторов или блокаторам холинэстеразы, так и сокращения типа А по Аничкову, что обычно связано с возбуждением миэнтерального сплетения. Это свидетельствует о прямом миогенном и опосредованном нейрогенном действии серотонина,

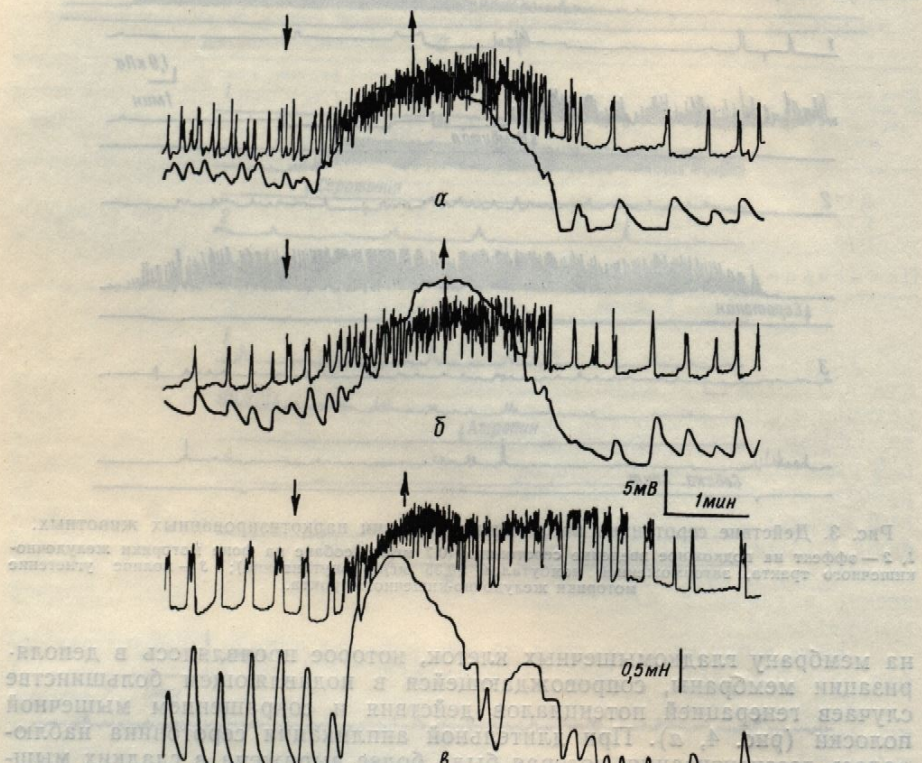


Рис. 4. Действие серотонина на изолированные гладкие мышцы продольного слоя подвздошной кишки человека:

α — деполяризация и сокращение, возникающие в ответ на аппликацию серотонина (10^{-6} моль/л); β — незначительное уменьшение возбуждающего эффекта серотонина (указанный выше концентрации) на фоне атропина (10^{-6} моль/л атропина); γ — эффект серотонина на 10-й минуте после добавления к омывающему препарата раствору Кребса с атропином фентоламина (10^{-5} моль/л).

что согласуется с представлениями других авторов [10, 14, 23]. Перистальтические ответы чаще вызывали большие дозы серотонина. Повидимому, порог возбудимости серотониновых рецепторов гладких мышц выше, чем ганглиев миэнтерального сплетения. Более высокая, по сравнению с гладкими мышцами желудка, чувствительность к серотонину гладких мышц кишечника и возникающие в нем преимущественно сегментарно-ритмические сокращения могут быть причиной угнетающего эффекта серотонина на опорожнение желудка, так как известно, что во-первых, предпосылка эвакуации из желудка — не абсолютная интенсивность моторики желудка, а ее превышение над моторикой двенадцатиперстной кишки, во-вторых, сильная ритмическая сегментация кишки не способствует быстрому продвижению по ней химуса [26].

Тахифилаксия проявлялась главным образом в опытах *in vitro*, в опытах на бодрствующих животных она была выражена слабее. Надо полагать, что предпосылка развития тахифилаксии — действие на ре-

цепторы относительно боль достигается при его подкож С концепцией о более ротонина на интрамуральне гласуются данные о влиян фекты. В этой связи станов серотонина, подпороговое д мышц, устраняется ганглио возможность того, что ник также хемочувствительные с бензогексонием позволяю шегося нейрона до мотоне нергический синапс. Укороч зогексония на фоне дейст полагать, является следстви возникающего в тот период щепилась, а остающаяся е дающего влияния на гладк

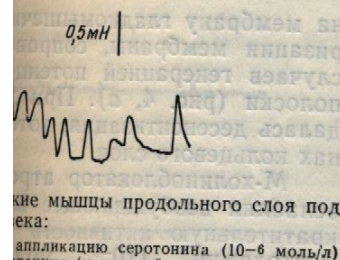
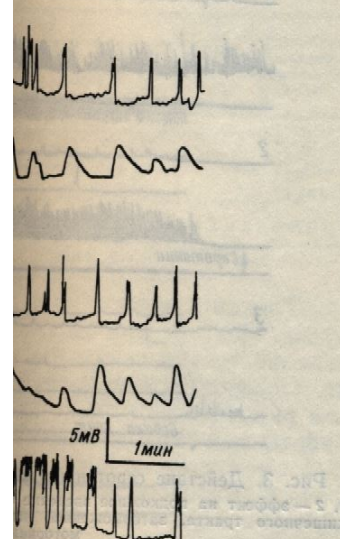
В целом предложенная торного эффекта серотонин о преимущественно, но не ствия серотонина. Более п ниже. Нам остается неясн смогли обнаружить влиян в желудочно-кишечном тракте [22] о том, что порог возбу элементы в желудочно-кишеч Согласно наблюдениям этог никовые эффекты в желуд лаблял эффекты на больши эффекты, вызванные малым

Вопрос о возможной ре тениях желудочно-кишечного предметом оживленной ди крайней мере, свидетельству торов на какой-то группе п одимому, серотониновые ре ского сплетения, иначе серо эффект у ваготомированной

Угнетающее действие аты указывает на то, что а ющийся мотонейронами миз нина. Впрочем, имеются дан серотониновые моторные эф Частичное сохранение мото рованных животных (и иногда серотонина) указывает на и нергических возбуждающ тельности моторного эффек как и в случае с бензогексоном атропином фактор (де относительно низких дозах ацетилхолинового звена в м Для выяснения механи желудочно-кишечного тракта значение имеют опыты *in vivo* ного эффекта серотонина в положить, что тормозное де следствие прямого влияния новые рецепторы гладких м ского звена моторной реакц

мы не обнаружили зависимость от состояния парасимпатики.

ную перистальтику желудка, или блокаторам холинэстечкову, что обычно связано с. Это свидетельствует о прямом действии серотонина,



авторов [10, 14, 23]. Первая доза серотонина. По-видимому, рецепторов гладких мышц тения. Более высокая, по чувствительность к серотонину в нем преимущественно быть причиной угнетающей дозы, так как известно, что — не абсолютная интенсивность над моторикой двенадцатиперстной кишки. Ритмическая сегментация по ней химуса [26]. Разом в опытах *in vitro*, в ля выражена слабее. Надо илакции — действие на ре-

цепторы относительно большей концентрации амина [15, 17], чем это достигается при его подкожном введении.

С концепцией о более низком пороге возбуждающего действия серотонина на интрамуральные ганглии желудочно-кишечного тракта согласуются данные о влиянии нейроблокаторов на серотониновые эффекты. В этой связи становится понятным, почему действие малых доз серотонина, подпороговое для непосредственного возбуждения гладких мышц, устраняется ганглиоблокатором бензогексонием. Не исключена возможность того, что низкие концентрации серотонина активируют также хемчувствительные рецепторы слизистой оболочки [11]. Опыты с бензогексонием позволяют предположить, что на пути от возбудившегося нейрона до мотонейрона должен быть хотя бы один Н-холинергический синапс. Укорочение моторного эффекта при введении бензогексония на фоне действия сверхпороговых доз серотонина, надо полагать, является следствием устраниния чисто нейрогенного эффекта, возникающего в тот период реакции, когда часть серотонина уже расщепилась, а остающаяся его доля не может оказать прямого возбуждающего влияния на гладкие мышцы.

В целом предложенная схема механизмов, лежащих в основе моторного эффекта серотонина, согласуется с мнением Дея и Вейна [12] о преимущественно, но не исключительно, нейрогенной природе действия серотонина. Более подробно на этом вопросе мы остановимся ниже. Нам остается неясным, почему некоторые авторы [15, 17] не смогли обнаружить влияния гексаметония на серотониновые эффекты в желудочно-кишечном тракте. Трудно также объяснить вывод Ульрих [22] о том, что порог возбуждающего эффекта серотонина на нервные элементы в желудочно-кишечном тракте выше, чем на гладкие мышцы. Согласно наблюдениям этого автора, бензогексоний не влиял на серотониновые эффекты в желудочно-кишечном тракте, а мекамиламин ослаблял эффекты на большие дозы серотонина и не изменял моторные эффекты, вызванные малыми дозами.

Вопрос о возможной роли серотонина как нейромедиатора в сплетениях желудочно-кишечного тракта до последнего времени остается предметом оживленной дискуссии [12]. Представленные данные, по крайней мере, свидетельствуют в пользу наличия серотониновых рецепторов на какой-то группе ганглиев миэнтимального сплетения. По-видимому, серотониновые рецепторы отсутствуют на ганглиях мейнеровского сплетения, иначе серотонин должен был бы давать секреторный эффект у ваготомированной собаки.

Угнетающее действие атропина на серотониновые моторные эффекты указывает на то, что ацетилхолин — один из медиаторов, выделяющийся мотонейронами миэнтимального сплетения при действии серотонина. Впрочем, имеются данные о незначительном влиянии атропина на серотониновые моторные эффекты, или на его полное отсутствие [1, 17]. Частичное сохранение моторного эффекта на серотонин у атропинизированных животных (иногда даже на фоне действия небольших доз серотонина) указывает на возможное выделение еще каких-то нехолинергических возбуждающих медиаторов. Укорочение при этом длительности моторного эффекта и уменьшение амплитуды сокращений, как и в случае с бензогексонием, свидетельствуют о том, что устранимый атропином фактор (действие ацетилхолина) мог проявляться при относительно низких дозах серотонина, т. е. говорит о важной роли ацетилхолинового звена в моторном эффекте серотонина.

Для выяснения механизма нейрогенного звена моторной реакции желудочно-кишечного тракта на введение серотонина принципиальное значение имеют опыты *in vitro*. Сохранение в опытах *in vitro* моторного эффекта серотонина в присутствии фентоламина позволяет предположить, что тормозное действие фентоламина в опытах *in vivo* — не следствие прямого влияния фентоламина на возбуждающие серотониновые рецепторы гладких мышц, а вызвано выключением адренергического звена моторной реакции.

от Вариабельность эффектов нейроблокаторов на серотониновые реакции в опытах *in vitro* объясняется тем, что полоски продольного или кольцевого слоя гладких мышц тонкой кишки (диаметром 1–2 мм) в зависимости от участка извлечения могли содержать разное число нервных элементов вплоть до почти полного их отсутствия. Надо полагать, что именно в последнем случае на фоне стимуляции гладких мышц серотонином нейроблокаторы не оказывали заметного влияния на моторные эффекты.

Выходы, сделанные на основании сопоставления эффектов серотонина и нейроблокаторов на структуры желудочно-кишечного тракта в опытах *in vivo* и *in vitro*, позволяют по-новому рассмотреть представления о механизме действия серотонина на желудочно-кишечный тракт. По мнению Гэддума и Пикарелли [15] имеются следующие два типа серотониновых рецепторов: М и Д. Первый тип блокируется морфином, второй — дibenзиллином. Дуглас [13] пишет о способности фентоламина угнетать серотониновые эффекты. Если учесть, что морфин тормозит выделение ацетилхолина, а дibenзиллин и фентоламин по своей фармакодинамике относятся к одной и той же группе блокаторов α -адренорецепторов, то в работе [15] речь идет об угнетающем влиянии на серотониновые эффекты выключения холинергической стимуляции (аналогия действию атропина) и α -адреноблокады, а не специфического действия морфина и дibenзиллина. В обзоре Пидевич [5] также подчеркивается сходство в блокаде серотониновых эффектов морфином, с одной стороны, атропином и местными анестетиками, с другой. Как свидетельствуют данные, полученные в опытах *in vitro*, блокаторы М-холинорецепторов и альфа-адренорецепторов устраняют только опосредованные эффекты серотонина, т. е. эффекты, вызванные медиаторами выделившимися нейронами энтеральных сплетений. Один из этих медиаторов — ацетилхолин, другой — пока не установлен. Это может быть вещество Р или какой-либо другой регуляторный пептид, вызывающий так называемую нехолинергическую моторную реакцию.

Хотя возбуждающее действие серотонина на желудочно-кишечный тракт обусловлено не менее чем двумя точками его приложения, конечные реакции серотонина реализуются через общий путь — сокращение гладких мышц, т. е. происходит конвергенция возбуждающих влияний, которая, учитывая различия в пороге чувствительности нервных и гладкомышечных элементов, имеет характер не суммации, а наложения, при котором эффект с более высоким порогом маскируется реакцией с меньшим порогом и может быть выявлен только посредством фармакологического анализа.

Мы уже упоминали, что при постепенном повышении доз серотонина реакции на малые дозы амина реализуются через возбуждение энтерального сплетения и выделение медиаторов. Сопоставление влияний атропина и фентоламина на моторику, стимулированную малыми дозами серотонина, свидетельствует о более значительной роли выделяющегося при этом ацетилхолина. Вызываемый увеличением доз серотонина моторный эффект — результат прямого миогенного и опосредованного нейрогенного его действия. Прямой миогенный эффект серотонина не может быть заторможен каждым в отдельности и комбинацией использовавшихся нейроблокаторов.

В тех случаях, когда не учитывался сложный характер возбуждающего влияния серотонина на моторику желудочно-кишечного тракта, возникала опасность принять блокаду серотониновых эффектов за блокаду серотониновых рецепторов. Это привело к тому, что в многочисленных источниках по изучению серотонина распространилось мнение о наличии двух или даже трех типов (М, Д и Т) серотониновых рецепторов [5]. После доказательства неспецифичности производных лизергиновой кислоты как блокаторов серотониновых рецепторов [13] в распоряжении исследователей нет ни одного достоверного блокатора этого амина. При необходимости устранения его действия пользуются эффектом тахифилаксии.

— *Journal of Comparative Physiology and Biochemistry* —
1. Возбуждающее вл
тонкой кишки не зависят
ции желудочно-кишечного
ствующих и наркотизирова
2. Более сильное воз
кишечник, чем на желудо
та серотонина на опорожни
3. Фармакологический
прямое возбуждающее вл
кишки и опосредованное —
системы.

4. Опосредованный эф
буждение мотонейронами и
холина и еще какого-то не
5. М- и Н-холино-а
действие серотонина на гл

S. D. Groisman, I. A. V
COMPARATIVE AN
ON THE MOTOR F
TRACT IN EXP

The investigations performed
tryptamine excited motor activi
tamine evoked peristaltic contrac
small intestine. The excitation th
with stomach. Pharmacological ar
blocking agents has shown that
mach and small intestine indirec
directly by the action on smooth
zed due to release of acetylcholi
neurons of Auerbach's plexus. Th
lated smooth muscles of the huma
abolished by N-cholino- and α , β -

Institute of Physiology of T. G. Sh
A. A. Bogomoletz Institute of Phys
of the Ukrainian SSR, Kiev; Medic

1. Абрамец И. И., Комиссаров Е. А. Влияние серотонина на гладкие мышцы тонкой кишки кошки. Физиология и экспериментальная терапия. — Казань, 1983, № 2. — С. 173—175.
2. Березина Т. П., Овсянников В. И. Влияние подвздошной кишки кошки на моторику желудочно-кишечного тракта. // Физиол. журн. — 1983, 69, № 10. — С. 1—5.
3. Богач П. Г., Коваль Л. А., Чайко В. А. Влияние серотонина на моторику желудка и тонкого кишечника. // Физиология и патология пищеварения. — Казань, 1983, № 1. — С. 1—5.
4. Лебедев Н. Н. Влияние серотонина на моторику желудочно-кишечного тракта // Физиология и патология пищеварения. — Казань, 1985, № 1. — С. 1—5.
5. Пидевич И. Н. Фармакология серотонина. // Физиология и патология пищеварения. — Казань, 1977. — С. 1—280.
6. Полетаев Г. И., Зефиров А. Л. Влияние серотонина на моторику желудочно-кишечного тракта. // Механизмы регуляции функций пищеварительного аппарата. — Казань, 1976. — С. 1—20.
7. Сесь Т. П., Овсянников В. И. Влияние серотонина на моторику желудка и тонкого кишечника. // Физиология и патология пищеварения. — Казань, 1983, № 10. — С. 1—5.
8. Фокина А. А. Влияние серотонина на моторику желудка и тонкого кишечника. // Там же. — 1976, № 1. — С. 1—5.
9. Ahlman H., Dahlstrom A. Vagotomy and the motor function of the rat small intestine. // Acta physiol. scandinav. — 1965, 64, № 1. — P. 119—140.

торов на серотониновые реакции полоски продольного или ишки (диаметром 1—2 мм) в содержать разное число нервных отсутствия. Надо полагать, стимуляции гладких мышц с заметного влияния на моторику желудочно-кишечного тракта вновь рассмотреть представа желудочно-кишечный тракт. имеются следующие два типа: 1) блокируется морфией [3] пишет о способности фенотоламина. Если учесть, что морфин блокирует и фентоламин, то в той же группе блокаторов идет об угнетающем влиянии холинергической стимуляции адреноблокады, а не специфика. В обзоре Пидевича [5] для серотониновых эффектов и местными анестетиками, полученные в опытах *in vitro*, адrenomепроприоров устраняют, т. е. эффекты, вызванные периферических сплетений. Один — пока не установлен. Это другой регуляторный пептид,ическую моторную реакцию, ина на желудочно-кишечный очками его приложения, — через общий путь — сократительная, возбуждающих прямую чувствительность нервного характер не суммации, а некоторым порогом маскируется выявлен только посредством повышения доз серотонина, через возбуждение моторов. Сопоставление влияния, стимулированную малыми значительной роли выделяемый увеличением доз прямого миогенного и опосредованного. Прямой миогенный эффект ядом в отдельности и комбинированно.

сложный характер возбуждения желудочно-кишечного тракта серотониновых эффектов заставило к тому, что в многочисленных распространялось мнение (М, Д и Т) о серотониновых специфичности производных тониновых рецепторов [13] о достоверного блокатора я его действия пользуются

Выводы

1. Возбуждающее влияние серотонина на моторику желудка и тонкой кишки не зависит от сохранности парасимпатической иннервации желудочно-кишечного тракта и в полной мере проявляется у бодрствующих и наркотизированных собак.
2. Более сильное возбуждающее влияние серотонина на тонкий кишечник, чем на желудок, может быть причиной угнетающего эффекта серотонина на опорожнение желудка.
3. Фармакологический анализ показал, что серотонин оказывает прямое возбуждающее влияние на гладкие мышцы желудка и тонкой кишки и опосредованное — через стимуляцию интрамуральной нервной системы.
4. Опосредованный эффект серотонина реализуется через высвобождение мотонейронами интрамурального нервного сплетения ацетилхолина и еще какого-то нехолинергического возбуждающего медиатора.
5. М- и Н-холино- α - и β -адреноблокаторы не устраняют прямое действие серотонина на гладкие мышцы желудка и тонкой кишки.

S. D. Groisman, I. A. Vladimirova, E. V. Vovk, B. D. Chergak

COMPARATIVE ANALYSIS OF THE SEROTONIN ACTION ON THE MOTOR FUNCTION OF THE GASTROINTESTINAL TRACT IN EXPERIMENTS IN VIVO AND IN VITRO

The investigations performed on unanaesthetized dogs have shown that 5-hydroxytryptamine excited motor activity of both stomach and small intestine. 5-hydroxytryptamine evoked peristaltic contractions of the stomach and rhythmic segmentation of the small intestine. The excitation threshold of the small intestine was lower as compared with stomach. Pharmacological analysis of action of N- and M-cholinergic and α , β -adreno-blocking agents has shown that 5-hydroxytryptamine stimulated motor activity of stomach and small intestine indirectly by excitation of neurons of Auerbach's plexus and directly by the action on smooth muscles. Indirect action of 5-hydroxytryptamine is realized due to release of acetylcholine or perhaps another exciting transmitter from the neurons of Auerbach's plexus. The excitatory action of 5-hydroxytryptamine on the isolated smooth muscles of the human small intestine was reduced by atropine and was not abolished by N-cholinergic and α , β -adrenoblocking agents.

Institute of Physiology of T. G. Shevchenko University, Kiev;
A. A. Bogomoletz Institute of Physiology, Academy of Sciences
of the Ukrainian SSR, Kiev; Medical Institute, Kiev

1. Абрамец И. И., Комиссаров И. В., Самойлович И. М., Шовтуга В. И. О действии серотонина на гладкие мышцы // Бюл. эксперим. биологии и медицины. — 1977. — № 2. — С. 173—175.
2. Березина Т. П., Овсянников В. И. Влияние ацетилхолина на сократительные реакции подвздошной кишки кошки, вызванные серотонином, до и после блокады холинорецепторов // Физiol. журн. СССР. — 1983. — № 11. — С. 1491—1497.
3. Богач П. Г., Коваль Л. А., Чабан В. И. Влияние серотонина и 5-гидрокситриптофана на моторику желудка и тонкого кишечника // Материалы науч. конф. «Физиология и патология пищеварения» (Кишинев, 1972). — Кишинев, 1972. — С. 7—9.
4. Лебедев Н. Н. Влияние серотонина на моторную периодическую деятельность желудочно-кишечного тракта // Материалы науч. конф. «Физиология и патология пищеварения» (Львов, 1965). — Львов, 1965. — С. 154—156.
5. Пидевич И. Н. Фармакология серотониноактивных структур. — М.: Медицина, 1977.—280 с.
6. Полетаев Г. И., Зефиров А. Л. Механизм действия серотонина на функцию нервно-мышечных синапсов // Механизмы деятельности нервной системы и двигательного аппарата. — Казань, 1976. — С. 66—70.
7. Сесь Т. П., Овсянников В. И. Потенцирование ацетилхолином сократительной реакции пилорического сфинктера кошки, вызванной серотонином // Физiol. журн. СССР. — 1983, 69, № 10. — С. 1333—1337.
8. Фокина А. А. Действие серотонина на моторную функцию органов пищеварительной системы // Там же. — 1976. — № 62, № 9. — С. 1395—1397.
9. Ahlman H., Dahlstrom A. Vagal mechanisms controlling serotonin release from the gastrointestinal tract and pyloric motor function // J. auton. Nerv. Syst. — 1983. — 9, N. 1. — P. 119—140.

10. Brownlee G., Johnson E. S. The site of the 5-hydroxytryptamine receptor on the intramural nervous plexus of guinea-pig isolated ileum // Brit. J. Pharmacol. — 1963. — 21, N 3. — P. 306—311.
11. Bulbring E., Lin R. C. Y. The effect of intraluminal application of 5-hydroxytryptamine and 5-hydroxytryptophan on peristalsis; the local production of 5-hydroxytryptamine and its release in relation to intraluminal pressure and propulsive activity // J. Physiol. — 1959. — 140, N 2. — P. 381—407.
12. Day M., Vane J. R. Analysis of direct and indirect actions of drugs on isolated guinea-pig ileum // Brit. J. Pharmacol. — 1963. — 20, N 2. — P. 150—170.
13. Douglas W. W. Histamine and antihistamines; 5-hydroxytryptamines and antagonists // The pharmacological basis of therapeutics. — New York etc.: Macmillan, 1975. — P. 590—629.
14. Furness J. B., Costa M. Identification of gastrointestinal neurotransmitters // Mediators and drugs in gastrointestinal motility. — Berlin etc.: Springer, 1983. — P. 383—442.
15. Gaddum J. H., Hameed R. A. Drugs which antagonize 5-hydroxytryptamine // Brit. J. Pharmacol. — 1954. — 9, N 3. — P. 240—248.
16. Gaddum J. H., Picarelli L. P. Two kinds of tryptamine receptors // Brit. J. Pharmacol. and Chemother. — 1957. — 12, N 3. — P. 323—332.
17. Haverback B. J., Hogben A. M., Moran N. C., Terry L. L. Effect of serotonin (5-hydroxytryptamine) and related compounds on gastric secretion and intestinal motility // Gastroenterology. — 1957. — 32, N 6. — P. 1058—1064.
18. Haverback B. J., Davidson J. D. Serotonin and the gastrointestinal tract // Ibid. — 1958. — 35, N 6. — P. 570—577.
19. Holtzer P., Lembeck F., Donnerer J. Caerulein, substance P, serotonin and cholinomimetics induce rhythmic contraction of the intestinal circular muscle // Naunyn-Schmideberg's Arch. Pharmacol. — 1980. — 312, N 1. — P. 131—137.
20. Kosterlitz H. W., Robinson J. A. The inhibitory action of morphine on the contraction of the longitudinal muscle coat of the isolated guinea-pig ileum // Brit. J. Pharmacol. — 1958. — 13, N 2. — P. 296—303.
21. Legay C., Saffrey M. J., Burnstock G. Coexistence of immunoreactive substance P and serotonin in neurones of the gut // Brain Res. — 1984. — 302, N 3. — P. 379—382.
22. Levy J., Michel-Ber E. Contribution à l'action pharmacologique exercée par la serotonine sur quelques organes isolés (intestin et oreilles) // J. physiol., Paris. — 1956. — 48, N 12. — P. 1051—1060.
23. Toto H. P. H., Forec B. Dual agonist-antagonist effects of 5-hydroxytryptamine (5-HT) in the guinea-pig ileum; evidence for a selective receptor desensitization effect // Eur. J. Pharmacol. — 1980. — 61, N 3. — P. 335—345.
24. Ulrich K. A direct and indirect action of 5-hydroxytryptamine on the distal part of the isolated colon of the rat // J. Pharm. and Pharmacol. — 1965. — 17, N 8. — P. 710—720.
25. Wise L., Burkholder J., Zagoloff A. et al. Studies on the role of serotonin in the inhibition of gastric acid secretion by the duodenum // Ann. Surg. — 1968. — 168, N 11. — P. 824—830.
26. Weisbrodt N. W., Wiley D. N., Overholt B. F., Bass P. A relation between gastro-duodenal muscle contractions and gastric emptying // Gut. — 1969. — 10, N 6. — P. 543—548.

Ин-т физиологии Киев. ун-та им. Т. Г. Шевченко;
Ин-т физиологии им. А. А. Богомольца
АН УССР, Киев;
Киев. мед. ин-т МЗ УССР

Поступила 20.02.85

Исследования выполнены кроликами породы шиншилла, взятых в опыт на различных эта-
2-я группа, в период имплантации органов (13—15 сут) — 4-я гру-
группа и накануне родов (31—
месяц — сутки случки, у рож-
па и у родивших, взятых в оп-
тимальных полосках рога матки (ис-
полоски из внутреннего лярных полосок влагалища (но-
кали параллельно продольной с-
Регистрацию изометрическ-
на установке, которая состояла из физиоритмом Кребса па 6М×1С, предусматривающей сам-
вателя (на базе ультратермостата) пературы в рабочей камере.

Программа эксперимента:
регистрация фоновой СА (0,5—1 ч),
вии одного из исследуемых бы-
в камеру в течение 10—15 ми-
10 раз) концентрациях (в про-
15 мин перфузировали обычные калиевом (60 мМоль/л) раствор
4-й — изучение на фоне калиево-
СА ГМК — кофеина бензоата
4 мкмоль на 1 л гиперкалиевого

Раствор Кребса (pH = 7,
СА, имел следующий состав:
KH₂PO₄ — 0,6; MgCl₂ — 1,2; Na-
окситоцин (5×10^{-8} — 5×10^{-3} Е)
запрост F, 10^{-6} г/мл или 3×10^{-8}
 10^{-6} г/мл или $2,5 \times 10^{-8}$ — $2,5 \times 10^{-6}$ г/мл или $0,8 \times 10^{-8}$ — $0,8 \times 10^{-6}$ г/мл

При обработке данных испытуемое — критерий знаков) метод

Резу-

Результаты экспериментальствуют о том, что на продольного слоя рога ма-
многом (но не полностью) ет основание считать мыш-
могенным образованием. влагалища существенно от Следовательно, физиологи-
кролика зависят от их фу-
ременности свойства ГМК менения, имеющие важное
дом. Свойства ГМК шейки Более подробный ана-
на продольных и циркуля- табл. 2), что ГМК обоих

В. И. Циркин

ФИЗИОЛОГИЧЕСКИЕ СВОЙСТВА ГЛАДКИХ МЫШЦ ВЛАГАЛИЩА, РОГА И ШЕЙКИ МАТКИ КРОЛИКА

Данные о физиологических свойствах гладкомышечных клеток (ГМК) циркулярного слоя рога матки малочисленны [1, 7], а ГМК шейки и влагалища — вообще отсутствуют. Это в итоге не позволяет создать полное представление о сократительной деятельности матки (СДМ) кролика. Цель нашей работы — изучение физиологических свойств ГМК (продольного и циркулярного слоев) рога матки, шейки и влагалища кролика с учетом основных фаз репродуктивного цикла (беременность, роды).

5-hydroxytryptamine receptor on the isolated ileum // Brit. J. Pharmacol. —

local application of 5-hydroxytryptamine local production of 5-hydroxytryptamine pressure and propulsive activity //

rect actions of drugs on isolated guinea-pig ileum // P. 150—170.

5-hydroxytryptamines and antagonists. — New York etc.: Macmillan,

intestinal neurotransmitters // Media-Berlin etc.: Springer, 1983. — P. 383—

antagonize 5-hydroxytryptamine // Brit.

tryptamine receptors // Brit. J. Pharmacol. —

Berry L. L. Effect of serotonin (5-hydroxysecretion and intestinal motility // P. 58—1064.

the gastrointestinal tract // Ibid. —

substance P, serotonin and cholinointestinal circular muscle // Naunyn-Schmiedebergs Arch. — 1984. — 302, N 3. — P. 379—382.

armacologique exercee par la serotonine // J. physiol., Paris. — 1956. —

onist effects of 5-hydroxytryptamine selective receptor desensitization ef-

335—345.

roxytryptamine on the distal part of

armacol. — 1965. — 17, N 8. — P. 710—

es on the role of serotonin in the in-

nn // Ann. Surg. — 1968. — 168, N 11. —

Bass P. A relation between gastro-

ntrypting // Gut. — 1969. — 10, N 6. —

Поступила 20.02.85

А ГЛАДКИХ МЫШЦ МАТКИ КРОЛИКА

ах гладкомышечных клеток алоциленны [1, 7], а ГМК г. Это в итоге не позволяет гельной деятельности матки — изучение физиологических (о слоях) рога матки, шейки фаз репродуктивного цикла

Методика

Исследования выполнены на мышечных полосках, иссеченных у 60 половозрелых кроликов породы шиншилла, в том числе у небеременных — 1-я группа, у беременных, взятых в опыт на различных этапах ее развития: до момента имплантации (2—4 сут) — 2-я группа, в период имплантации (7—8 сут) — 3-я группа, в конце периода органогенеза (27—30 сут) — 5-я группа и накануне родов (31—32 сут) — 6-я группа, принимая за нульевые сутки беременности — сутки случки, у рожающих, т. е. после рождения 1—2 плодов, — 7-я группа и у родивших, взятых в опыт спустя 1—12 ч, — 8-я группа или 24—48 ч после родов — 9-я группа. Опыты проводили на четырех видах мышечных полосок: продольных полосках рога матки (иссекали из наружного слоя рога), циркулярных полосок рога (иссекали из внутреннего слоя) и шейки (иссекали из всей ее толщи) и циркулярных полосок влагалища (иссекали из внутреннего слоя). Продольные полоски иссекали параллельно продольной оси рога матки, а циркулярные — перпендикулярно.

Регистрацию изометрической сократительной активности (СА) полосок проводили на установке, которая состояла из рабочей камеры (объемом 0,5 мл), непрерывно перфузируемой раствором Кребса со скоростью 2—4 мл/мин (при 37 °C), механотрона типа 6МХ1С, предустановленного прибора типа Н-340 или Н-339, термонаагревателя (на базе ультратермостата типа УТ-15) и системы непрерывного контроля температуры в рабочей камере.

Программа эксперимента включала в себя четыре основных этапа: 1-й — регистрация фоновой СА (0,5—1 ч), 2-й — исследование вызванной СА, т. е. СА при действии одного из исследуемых биологически активных веществ (БАВ), которое вводили в камеру в течение 10—15 мин в 3—4 различных последовательно возрастающих (в 10 раз) концентрациях (в промежутках между тестированием мышцы в течение 10—15 мин перфузировали обычным раствором Кребса), 3-й — регистрация СА в гиперкалиевом (60 ммоль/л) растворе Кребса, т. е. воспроизведение калиевой контрактуры, 4-й — изучение на фоне калиевой контрактуры влияния потенциальных ингибиторов СА ГМК — кофеина бензоата натрия и орципреналина (соответственно 5,5 ммоль и 4 мкмоль на 1 л гиперкалиевого раствора).

Раствор Кребса (рН — 7,4), используемый для изучения фоновой и вызванной СА, имел следующий состав (в ммоль/л): NaCl — 136; KCl — 4,7; CaCl₂ — 2,52; KH₂PO₄ — 0,6; MgCl₂ — 1,2; NaHCO₃ — 4,7; глюкоза — 11. В исследованиях применяли окситоцин (5×10^{-8} — 5×10^{-3} Е/мл или 10^{-13} — 10^{-8} моль/л), простагландин F_{2α} (энзапрост F, 10^{-6} г/мл или 3×10^{-6} моль/л), серотонин-креатинин сернокислый (10^{-8} — 10^{-6} г/мл или $2,5 \times 10^{-8}$ — $2,5 \times 10^{-6}$ моль/л), гистамина дигидрохлорид, ацетилхолина хлорид, адреналина гидрохлорид (10^{-8} — 10^{-6} г/мл или $5,5 \times 10^{-8}$ — $5,5 \times 10^{-6}$ моль/л), орципреналин (алупент, 10^{-8} — 10^{-6} г/мл или 4×10^{-8} — 4×10^{-6} моль/л), а также (в опытах с продольными полосками рога матки) — брадикинина триацетат (10^{-8} — 10^{-6} г/мл или $0,8 \times 10^{-8}$ — $0,8 \times 10^{-6}$ моль/л).

При обработке данных использовали параметрические и непараметрические (в том числе — критерий знаков) методы статистического анализа [2].

Результаты и их обсуждение

Результаты экспериментов, представленные в табл. 1—3, свидетельствуют о том, что на всех этапах репродуктивного цикла ГМК продольного слоя рога матки по своим физиологическим свойствам во многом (но не полностью) идентичны ГМК циркулярного слоя. Это дает основание считать мышечную стенку рога матки функционально гомогенным образованием. В то же время ГМК шейки матки и ГМК влагалища существенно отличаются между собой и от ГМК рога матки. Следовательно, физиологические особенности ГМК полового тракта кролика зависят от их функционального назначения. При развитии беременности свойства ГМК рога матки претерпевают определенные изменения, имеющие важное значение для вынашивания и рождения плодов. Свойства ГМК шейки и ГМК влагалища изменяются меньше.

Более подробный анализ результатов исследований, проведенных на продольных и циркулярных полосках рога матки, показывает (см. табл. 2), что ГМК обоих слоев рога матки небеременных животных

обладают свойством автоматии: продольные (в 85,4 % случаев) и циркулярные (в 100 % случаев) полоски после кратковременного (15—30-минутного) врабатывания начинают непрерывно генерировать спонтанные фазные сокращения (до 15—16 в течение 10-минутного интервала). Подобная ситуация характерна и для полосок рога матки беременных кроликов. Однако, судя по числу спонтанных сокращений, генерированных мышцей в течение 10-минутного интервала (см. табл. 2), автоматия у них существенно ниже ($P < 0,05$), особенно у полосок 5-й группы (27—30 сут беременности) животных. Накануне родов (31—32 сут беременности) свойство автоматии полностью утрачивается: даже после многочасовой перфузии раствором Кребса продольные полоски (в 94 % опытов) и циркулярные (в 100 % опытов) не генерировали спонтанных сокращений. У продольных и циркулярных полосок рога матки рожающих кроликов спонтанная СА наблюдается лишь в 40 и 25 % случаев соответственно, что позволяет на основании критерия знаков [2] говорить об отсутствии у ГМК матки рожающих кроликов способности к автоматии. Лишь спустя сутки после родов ГМК обоих слоев рога вновь приобретают свойство автоматии (полоски миометрия 9-й группы животных обладали спонтанной СА в 100 % опытов). Не исключено, что изменение автоматии и ее утрата накануне родов — результат не только влияния прогестерона, продукция которого [8] при беременности возрастает до 7—21 нг/мл (21—64 нмоль/л), но и следствие растяжения матки растущими плодами.

Оба вида полосок рога матки (независимо от фазы репродуктивного цикла) под влиянием гиперкалиевого раствора развиваются калиевую контрактуру (КК). В ней мы выделяем две фазы — быструю и медленную. У небеременных животных 2-я фаза выражена слабо: ее

Таблица 1. Пороговые концентрации веществ, вызывающие усиление сократительной активности продольных полосок (ПП) и циркулярных полосок (ЦП) рога матки кроликов

Группа животных	Вид полосок	Ацетилхолин, нг/мл или $1 \times 5,5$ нмоль/л	Адреналин, нг/мл или $1 \times 5,5$ нмоль/л	Гистамин, нг/мл или $1 \times 5,4$ нмоль/л	Оксигтоцин, мкЕ/мл или 1×2 пмоль/л
1-я (небеременные)	ПП	1480	398	> 10000	> 10000
	ЦП	1000	380	> 10000	> 10000
2-я (беременные 2—4 сут**)	ПП	10000	2511	> 10000	> 10000
3-я (беременные 7—8 сут)	ПП	3000	100	1580	> 10000
	ЦП	5130	1800*	> 10000	> 10000
4-я (беременные 13—15 сут)	ПП	2300	417	74	> 10000
	ЦП	2140	1660	1260*	> 10000
5-я (беременные 27—30 сут)	ПП	513	56	100	> 10000
	ЦП	562	316*	178	> 10000
6-я (беременные 31—32 сут)	ПП	602	126	100	14
	ЦП	100	100	100	50
7-я (рожающие)	ПП	32	42	10	3
	ЦП	63	21	51	13
8-я (после родов 1—12 ч **)	ПП	1800	100	178	
				10	50
9-я (после родов 24—48 ч **)	ПП	468	251	240	

Примечания. 10 000 — означает, что любая концентрация вещества, даже превышающая указанные значения, не вызывает изменения сократительной активности полосок. * Различия между продольными и циркулярными полосками носит достоверный характер ($P < 0,05$). ** Во 2-й, 8-й и 9-й группах циркулярные полоски не исследованы.

амплитуда у продольных циркулярных — 21 %. При бедрите 2-й фазы достигают способность к длительности для вынашивания плодов.

Таблица 2. Показатели неустранимости

Показатель
Число:
спонтанно активных полосок % общего числа спонтанных сокращений за 10 мин ($M \pm m$)
Амплитуда сокращений полосок МН/мг:
спонтанных ($M \pm m$) вызванных ионами КСІ адреналином

Амплитуда сокращений полосок МН/мг:
1-й фазы контрактуры, % амплитуды спонтанных сокращений
2-й фазы контрактуры, % амплитуды 1-й фазы
Ингибиторный эффект кофеина ($M \pm m$), % амплитуды 2-й фазы контрактуры

Показатель

Число:
спонтанно активных полосок % общего числа спонтанных сокращений за 10 мин ($M \pm m$)
Амплитуда сокращений полосок МН/мг:

спонтанных ($M \pm m$) вызванных ионами КСІ адреналином

Амплитуда сокращений полосок МН/мг:
1-й фазы контрактуры, % амплитуды спонтанных сокращений
2-й фазы контрактуры, % амплитуды 1-й фазы
Ингибиторный эффект кофеина ($M \pm m$), % амплитуды 2-й фазы контрактуры

е (в 85,4 % случаев) и циркуляции кратковременного (15—30 с) генерирования спонтанного 10-минутного интервала для полосок рога матки, слу- спонтанных сокращений, утного интервала (см. табл. <0,05), особенно у полосок животных. Накануне родов ации полностью утрачиваются раствором Кребса продольные (в 100 % опытов) не продольных и циркулярных спонтанная СА наблюдается что позволяет на основании у ГМК матки рожающих спустя сутки после родов свойство автоматии (полоски спонтанной СА в 100 % матки и ее утрата накануне гестерона, продукция которого 21 нг/мл (21—64 нмоль/л), плодами.

сими от фазы репродуктивного раствора развиваются касающие две фазы — быструю я фаза выражена слабо: ее

зывающие усиление сократительной циркулярных полосок (ЦП)

Гистамин, нг/мл или 1×5,4 нмоль/л	Окситоцин, мКЕ/мл или 1×2 пмоль/л
>10000	>10000
>10000	>10000
>10000	>10000

1580	>10000
>10000	>10000
74	>10000
1260*	>10000
100	>10000
178	>10000
100	14
100	50
10	3
51	13
178	
240	10
	50

центрация вещества, даже пренебрежимо малая активность полосками носит достоверный характер. Циркулярные полоски не исследованы.

амплитуда у продольных полосок составляет 26 % 1-й фазы, а у циркулярных — 21 %. При беременности устойчивость КК возрастает: амплитуда 2-й фазы достигает 30—60 % (см. табл. 2). Эти данные свидетельствуют о том, что при беременности ГМК рога матки приобретают способность к длительному тоническому сокращению, что важно для вынашивания плодов. Исходя из представлений о наличии в ГМК

Таблица 2. Показатели некоторых свойств гладких мышц матки и влагалища у кроликов 1-й, 4-й, 5-й и 7-й групп

Показатель	Продольные полоски из рога матки			
	1-я	4-я	5-я	7-я

Автоматия				
Число:				
спонтанно активных полосок, % общего числа	85	94	89	40
спонтанных сокращений за 10 мин ($M \pm m$)	15,1 ± 0,5	11,6 * ± 0,7	8,6 * ± 1,0	—
Сократимость				
Амплитуда сокращений полосок, мН/мг:				
спонтанных ($M \pm m$)	0,39 ± 0,04	1,29 * ± 0,14	2,05 * ± 0,46	—
вызванных ионами KCl	0,62 ± 0,08	1,85 * ± 0,20	2,34 * ± 0,30	4,53 * ± 0,56
адреналином	0,51 ± 0,07	2,23 * ± 0,23	3,07 * ± 0,47	4,10 * ± 0,69

Калиевая контрактура				
Амплитуда ($M \pm m$)				
1-й фазы контрактуры, % амплитуды спонтанных сокращений	138 ± 19	155 ± 32	166 ± 15	—
2-й фазы контрактуры, % амплитуды 1-й фазы	26 ± 4	41 * ± 4	64 * ± 6	48 * ± 4
Ингибирующий эффект кофеина ($M \pm m$), % амплитуды 2-й фазы контрактуры	97 ± 3	59 * ± 4	47 * ± 9	64 * ± 6

Циркулярные полоски из рога матки				
Показатель	Продольные полоски из рога матки			
	1-я	4-я	5-я	7-я
Автоматия				
Число:				
спонтанно активных полосок, % общего числа	100	100	90	25
спонтанных сокращений за 10 мин ($M \pm m$)	15,7 ± 0,7	13,2 ± 1,3	7,0 ± 1,0	—
Сократимость				
Амплитуда сокращений полосок, мН/мг:				
спонтанных ($M \pm m$)	0,64 ± 0,10	0,50 ± 0,09	0,94 ± 0,35	—
вызванных ионами KCl	0,81 ± 0,18	0,76 ± 0,17	1,98 ± 0,62	1,86 * ± 0,26
адреналином	0,92 ± 0,24	0,50 ± 0,10	2,33 ± 0,63	2,14 ± 0,53

Калиевая контрактура				
Амплитуда ($M \pm m$)				
1-й фазы контрактуры, % амплитуды спонтанных сокращений	104 ± 15	193 * ± 27	243 * ± 32	—
2-й фазы контрактуры, % амплитуды 1-й фазы	21 ± 6	45 * ± 6	38 ± 7	49 * ± 8
Ингибирующий эффект кофеина ($M \pm m$), % амплитуды 2-й фазы контрактуры	71 ± 9	45 * ± 5	54 ± 7	35 ± 18

Окончание табл. 2.

Показатель	Циркулярные полоски из шейки матки			
	1-я	4-я	5-я	7-я
Автоматия				
Число:				
спонтанно активных полосок, % общего числа	47	67	88	100
спонтанных сокращений за 10 мин ($M \pm m$)	18,0 ± 1,8	26,4* ± 1,8	24,9* ± 2,0	28,4* ± 3,2
Сократимость				
Амплитуда сокращений полосок, мН/мг:				
спонтанных ($M \pm m$)	0,19 ± 0,08	0,20 ± 0,05	0,37 ± 0,07	0,18 ± 0,05
вызванных ионами KCl	0,28 ± 0,04	0,11* ± 0,01	0,10* ± 0,02	0,17 ± 0,10
адреналином	0,50	0,35 ± 0,09	0,92 ± 0,12	0,42 ± 0,10
Калиевая контрактура				
Амплитуда ($M \pm m$)				
1-й фазы контрактуры, % амплитуды спонтанных сокращений	150 ± 76	57 ± 14	52 ± 18	75 ± 13
2-й фазы контрактуры, % амплитуды 1-й фазы	30 ± 16	27 ± 19	0	8 ± 8
Ингибирующий эффект кофеина ($M \pm m$), % амплитуды 2-й фазы контрактуры
Показатель	Циркулярные полоски из влагалища			
	1-я	4-я	5-я	7-я
Автоматия				
Число:				
спонтанно активных полосок, % общего числа	0	0	0	0
спонтанных сокращений за 10 мин ($M \pm m$)	—	—	—	—
Сократимость				
Амплитуда сокращений полосок, мН/мг:				
спонтанных ($M \pm m$)	—	—	—	—
вызванных ионами KCl	3,56	2,49 ± 0,38	1,13* ± 0,12	2,26 ± 0,50
адреналином	3,71	2,27 ± 0,37	...	0,22 ± 0,05
Калиевая контрактура				
Амплитуда ($M \pm m$)				
1-й фазы контрактуры, % амплитуды спонтанных сокращений	—	—	—	—
2-й фазы контрактуры, % амплитуды 1-й фазы	10	21 ± 4	18 ± 8	29 ± 8
Ингибирующий эффект кофеина ($M \pm m$), % амплитуды 2-й фазы контрактуры

* Достоверность различий по сравнению с 1-й группой животных $P < 0,05$.

двух популяций потенциалчувствительных ионных каналов — регенеративного и нерегенеративного типов [3] — можно считать, что повышение устойчивости КК — результат увеличения в ГМК числа каналов нерегенеративного типа.

Судя по значениям спонтанных и вызванных гиперкалиевым раствором или адреналином фазных сокращений, удельная сократимость

продольных и циркулярных, рассчитанная на единичное перечное сечение полоски возможно, под влиянием известно [8], возрастает, сократирных (с 13–15 сут) полосимальных значений к концу срока сокращения рога матки играет роль плодов, но и в периодический тонус стенок рога матки для циркулярного сокращения между соседними плодами.

Выражая амплитуду сокращений (показатели [4], полагаем, что проводимости по изолированным рогам матки показательных — 104% (см. табл. 2) животных (2–3-я группы), пример, в 3-й группе он дает основание считать, что сокращения рога матки снижены — сказать трудно, так как матки рожающих кроликов группы не рассчитывали.

Известно, что кофеин АМФ [6]. По нашим наблюдениям, сопровождается выраженным слаблением КК. Это позволяет кролика (все фазы рефлексов, активность которых

Эксперименты, проведенные на кроликах, показали (см. брадикинин (исследование правила, не изменяют СА

Таблица 3. Характер влияния матки и влагалища у кроликов

Вещество	Продольные полоски из рога матки			
	1	4	5	7
Ацетилхолин	С	С?	С?	С
Адреналин	С	С	С	С
Окситоцин	—	—	—	С
Серотонин	—	—	—	—
Гистамин	—	С	С	С
Простагландин	—	—	—	—
ПГФ _{2α}	С?	—	С?	С
Простагландин	—	—	С?	С?
ПГЕ ₂	—	—	С?	С?
Орципреналин	Т?	Т?	Т?	Т

Примечание. 1 Вариант верно стимулирует (С), возможно тормозит (Т?) сокращается многоточием (...).

Окончание табл. 2.

Циркулярные полоски		
из шейки матки		
4-я	5-я	7-я
67	88	100
$1^* \pm 1,8$	$24,9^* \pm 2,0$	$28,4^* \pm 3,2$
...
$20 \pm 0,05$	$0,37 \pm 0,07$	$0,18 \pm 0,05$
$1^* \pm 0,01$	$0,10^* \pm 0,02$	$0,17 \pm 0,10$
$35 \pm 0,09$	$0,92 \pm 0,12$	$0,42 \pm 0,10$
...
77 ± 14	52 ± 18	75 ± 13
77 ± 19	0	8 ± 8
...
Циркулярные полоски		
из влагалища		
4-я	5-я	7-я
0	0	0
—	—	—
$\pm 0,38$	$1,13^* \pm 0,12$	$2,26 \pm 0,50$
$\pm 0,37$...	$0,22 \pm 0,05$
...
± 4	18 ± 8	29 ± 8
...
животных $P < 0,05$.		

ионных каналов — регенерацию можно считать, что повышение в ГМК числа каналов анатомических гиперкалиевым расширений, удельная сократимость

продольных и циркулярных полосок рога матки небеременных животных, рассчитанная на единицу массы (см. табл. 2) или площади поперечного сечения полоски, сравнительно невысокая. При беременности, возможно, под влиянием эстрогенов, продукция которых, как известно [8], возрастает, сократимость продольных (с 7—8 сут) и циркулярных (с 13—15 сут) полосок существенно повышается, достигая максимальных значений к моменту родов. Это дает основание считать, что оба слоя рога матки играют важную роль не только в процессе изгнания плодов, но и в период вынашивания плодов, обеспечивая необходимый тонус стенок рога матки, а также участвуя (это больше характерно для циркулярного слоя) в создании функциональных сфинктеров между соседними плодовмилишами.

Выражая амплитуду 1-й фазы КК в процентах амплитуды спонтанных сокращений (показатель проводимости), мы, как и другие исследователи [4], полагаем, что таким способом косвенно оцениваем изменение проводимости по изолированному миометрию. У продольных полосок рога матки показатель проводимости составляет 138 %, у циркулярных — 104 % (см. табл. 2). Для полосок рога матки беременных животных (2—3-я группы) характерны более высокие его значения. Например, в 3-й группе он составляет соответственно 239 и 188 %. Это дает основание считать, что при беременности проводимость обоих слоев рога матки снижается. Восстанавливается ли она во время родов — сказать трудно, так как из-за отсутствия спонтанной СА в ГМК матки рожающих кроликов показатель проводимости для полосок 7-й группы не рассчитывали.

Известно, что кофеин повышает внутриклеточную концентрацию цАМФ [6]. По нашим наблюдениям введение его на фоне 2-й фазы КК сопровождается выраженным (на 50—80 % исходного значения) расслаблением КК. Это позволяет считать, что ГМК обоих слоев рога матки кролика (все фазы репродуктивного цикла) содержат кальциевые насосы, активность которых регулируется цАМФ.

Эксперименты, проведенные на полосках рога матки небеременных кроликов, показали (см. табл. 3), что окситоцин, серотонин, гистамин, брадикинин (исследованы продольные полоски), ПГФ_{2α} и ПГЕ₂, как правило, не изменяют СА ГМК, ацетилхолин и адреналин — усиливают

Таблица 3. Характер влияния веществ на сократительную активность гладких мышц матки и влагалища у кроликов 1-й, 4-й, 5-й и 7-й групп (оценка по критерию знаков)¹

Вещество	Продольные полоски из рога матки				Циркулярные полоски							
	из рога матки				из шейки матки			из влагалища				
	1	4	5	7	1	4	5	7	1	4	5	7
Ацетилхолин	C	C?	C?	C	C?	C	C	C?	—	C?	—	—
Адреналин	C	C	C	C	C	C?	C	C	—	C	—	C?
Окситоцин	—	—	—	C	—	—	C	—	—	—	—	—
Серотонин	—	—	—	—	—	—	—	—	—	—	—	—
Гистамин	—	C	C	C	—	C?	C	C	—	—	—	—
Простагландин	—	—	—	—	—	—	—	—	—	—	—	—
ПГФ _{2α}	C?	—	C?	C	—	—	C	C?	—	T?	—	...
Простагландин	—	—	—	—	—	—	—	—	—	—	—	—
ПГЕ ₂	—	—	C?	C?	—	—	C?	...	—	T	—	...
Ориципреналин	T?	T?	T?	T	...	—	T?

Примечание. ¹ Варианты эффектов: вещество достоверно не влияет (—), достоверно стимулирует (C), возможно стимулирует (C?), достоверно тормозит (T), возможно тормозит (T?) сократительную активность полосок. Отсутствие данных обозначается многоточием (...).

ее, а орципреналин ингибирует. Следовательно, ГМК обоих слоев рога матки небеременных кроликов содержит М-холинорецепторы, а также оба типа адренорецепторов (АР): α -АР (доминирующая популяция) и β -АР (вероятнее всего β_2 -АР). Во время беременности ГМК рога матки по-прежнему остаются рефрактерны к серотонину, брадикинину, ПГФ_{2 α} , ПГЕ₂ (лишь за 1—2 сут до родов они приобретают небольшую чувствительность к этим веществам-активаторам), сохраняют способность ингибировать свою СА под влиянием орципреналина и усиливать ее при действии адреналина и ацетилхолина. Характерно, что чувствительность ГМК к этим двум веществам в первой половине беременности снижается, а накануне родов — возрастает (см. табл. 1). Косвенно эти данные свидетельствуют о том, что при беременности ГМК также содержит оба типа АР, однако число β -АР возрастает, а накануне родов снижается. Это явление, по нашему мнению, имеет большое значение в регуляции СДМ беременных кроликов. Основываясь на данных литературы о том, что в условиях организма β -миметики могут ингибировать СДМ [9], а при длительной перфузии изолированного миометрия кролика в нем повышается концентрация α -АР [5], мы выдвигаем представление о том, что в условиях целостного организма при отсутствии условий для интенсивного синтеза эндогенных простагландинов в ГМК матки беременных кроликов доминирует популяция β -АР (а не α -АР, как это следует из экспериментов с полосками). Поэтому циркулирующий в крови адреналин или природный β -миметик, взаимодействуя с β -АР, вызывает торможение фазных сокращений, независимо от их генеза (β -АР-ингибирующий механизм, по нашей терминологии). Накануне родов вследствие интенсификации синтеза ПГ в миометрии и плодных оболочках число β -АР снижается, что снижает силу или выраженность β -АР-ингибирующего механизма.

Несмотря на повышенную продукцию прогестерона, ГМК продольного слоя (на 7—8-е сутки беременности) и ГМК циркулярного слоя (после 13—15 сут) приобретают чувствительность к гистамину (см. табл. 1). Максимальный стимулирующий эффект и чувствительность к нему наблюдаются на полосках рожающих кроликов. Значение этого явления в процессе регуляции СДМ кролика пока остается неясным. Вплоть до 30 сут беременности ГМК обоих слоев рога матки рефрактерны к окситоцину. Однако накануне родов (31—32-е сутки беременности), т. е. в период снижения продукции прогестерона, и особенно в период родов, ГМК приобретают чрезвычайно высокую чувствительность к этому гормону (см. табл. 1, 3). Для индукции фазных сокращений продольных полосок рога матки рожающих кроликов достаточно было использовать растворы, содержащие 3×10^{-6} Е/мл (или 6×10^{-12} моль/л) окситоцина, а циркулярных — 13×10^{-6} Е/мл (или 26×10^{-12} моль/л). Вызванная окситоцином СА сохраняется еще в течение 5—60 мин после удаления его из раствора Кребса. Длительность последействия находится в прямой зависимости от концентрации и времени экспозиции окситоцина. Как показали наши исследования, подобный феномен не характерен для адреналина, гистамина, ацетилхолина и не наблюдается на изолированном миометрии крысы, свиньи и человека, хотя окситоцин увеличивает их СА. Вероятнее всего, феномен последействия отражает наличие в ГМК рога матки рожающих кроликов высокой концентрации окситоциновых рецепторов и большое их сродство к этому гормону. На наш взгляд, это явление имеет важное значение для родового акта — в такой ситуации для изгнания плодов достаточно выделения всего нескольких порций окситоцина.

Результаты наших исследований позволяют считать, что в условиях целостного организма СДМ небеременных кроликов обусловлена спонтанной СА ГМК обоих слоев рога матки, которая может усиливаться за счет холинергических и адренергических влияний ЦНС и частично снижаться с помощью β -АР-ингибирующего механизма. Ингибирование высоких потенциальных возможностей сократительного аппарата матки и СДМ беременных кроликов осуществляется с помощью системы ме-

ханизмов, в том числе разующихся между сосудистым слоем под ЦНС, β -АР-ингибитором (блокирующим образом механизма блокады синаптических родов ведет Родовая деятельность, но, другими биологическими холином) СА ГМК обоих слоев.

В заключение расскажем о влагалища. Исследования на этапах репродуктивного цикла показывают спонтанные и вынужденные сокращения, интенсивные ГМК рога матки. Как и серотонину, ПГФ_{2 α} и ПГЦНК и гистамину. Время работы матки зависит от стороны ЦНС, кратительного аппарата, беременности шейка не имеет лишь биологическим базисом.

Полоски влагалища (см. табл. 2, 3), не способны к контрактурам и рефракции к ацетилхолину, сокращений удается вызвать или гиперкалиевого раствора — уникальные струи. Анатомические особенности, возможные логические свойства играют важную роль в общем значении в регуляции факторов, в частности д

инициацию аспирации, пот и выделения в цикле менструации и менопаузы. PHYSIOLOGICAL IN THE RABBIT IN THE PREGNANT AND NEWBORN. New contractile activity of smooth muscles during pregnancy in response to histamine and oxytocin increases, but the rate of the Medical Institute, Chelyabinsk.

1. Пешиков В. Л., Циркин Е. А. Сокращение матки и груди у крыс в различных слоях миометрия // Актуальные проблемы гинекологии и акушерства. Т. 1. М.: Медицина, 1986. № 8. — С. 1200—1208.
2. Рокицкий П. Ф. Биология гистамина // Актуальные проблемы гинекологии и акушерства. Т. 1. М.: Медицина, 1986. № 8. — С. 1200—1208.
3. Шуба М. Ф., Тараненко И. А. Гистамин и сокращение в гладком миометрии // Актуальные проблемы гинекологии и акушерства. Т. 1. М.: Медицина, 1986. № 8. — С. 1200—1208.
4. Anderson G., Kawarabayashi T. Uterine activity in pregnant rabbits // J. Physiol. Biol. Reprod. — 1981. — 24.
5. Cornett L., Goldfien A. F. The β -adrenergic receptor // Nature. — 1976. — 261. — P. 247.
6. Krall I., Barrett I., Korenman S. The effect of β -adrenergic receptor on uterine muscle // Biol. Reprod. — 1976. — 15. — P. 103.

Физиол. журн., 1986, т. 32, № 4

тельно, ГМК обоих слоев рога М-холинорецепторы, а также (доминирующая популяция) и беременности ГМК рога матки серотонину, брадикинину, они приобретают небольшую активаторам), сохраняют способность орципреналина и усиливать инга. Характерно, что чувствительность в первой половине беременности возрастает (см. табл. 1). Коснется, что при беременности ГМК число β -АР возрастает, а на нашем мнению, имеет больших кроликов. Основываясь на организма β -миметики могут о перфузии изолированного концентрации α -АР [5], мыловиях целостного организма синтеза эндогенных простатиков доминирует популяция экспериментов с полосками). Помимо природный β -миметик, чные фазных сокращений, неизвестный механизм, по нашей терминологии интенсификации синтеза ПГ-АР снижается, что снижает го механизма. прогестерона, ГМК продольной ГМК циркулярного слоя чувствительность к гистамину (см. эффект и чувствительность к кроликов. Значение этого пока остается неясным. к слоев рога матки рефракторов (31—32-е сутки беременности прогестерона, и особенно важно высокую чувствительность к индукции фазных сокращающих кроликов достаточная 3×10^{-6} Е/мл (или 6×10⁻⁶ — 13×10^{-6} Е/мл (или СА сохраняется еще в течении Кребса. Длительность от концентрации и времени исследования, подобно, гистамина, ацетилхолина крысы, свиньи и человека. Вероятнее всего, феномен матки рожающих кроликов рецепторов и большое их это явление имеет важное значение для изгнания плодов и окситоцина.

Считать, что в условиях кроликов обусловлена спонтанная может усиливаться влияний ЦНС и частично механизма. Ингибирование аппарата матки с помощью системы ме-

ханизмов, в том числе — механизма функциональных сфинктеров (образующихся между соседними плодовыми миометриями при участии циркулярного слоя под влиянием локальных воздействий со стороны ЦНС), β -АР-ингибиторного механизма, прогестеронового механизма (блокирующего образование окситоциновых рецепторов в ГМК) и механизма блокады синтеза ПГ. Снижение их выраженности или силы накануне родов ведет в конечном итоге к индукции родового акта. Родовая деятельность — результат вызванной окситоцином и, вероятно, другими биологически активными веществами (гистамином, ацетилхолином) СА ГМК обоих слоев рога матки.

В заключение рассмотрим данные, касающиеся свойства ГМК шейки и влагалища. Исследования показывают (см. табл. 2, 3), что на всех этапах репродуктивного цикла ГМК шейки матки способны генерировать спонтанные и вызванные ацетилхолином и адреналином фазные сокращения, интенсивность которых, однако, намного меньше, чем у ГМК рога матки. Как правило, ГМК шейки матки рефрактерны к серотонину, ПГФ_{2α} и ПГЕ₂, а также (в отличие от ГМК рога) к окситоцину и гистамину. Вероятно, что в условиях организма ГМК шейки матки работают в автоматическом режиме, который может модулироваться со стороны ЦНС. Небольшие потенциальные возможности сократительного аппарата шейки матки свидетельствуют о том, что при беременности шейка не выполняет запирающую функцию, а является лишь биологическим барьера между маткой и средой.

Полоски влагалища, как показывают наши исследования (см. табл. 2, 3), не способны к автоматии, развитию типичной калиевой контрактуры и рефрактерны ко многим веществам-активаторам, в том числе к ацетилхолину, окситоцину и гистамину. Генерацию фазных сокращений удается вызвать у них лишь при воздействии адреналина или гиперкалиевого раствора. Таким образом, ГМК влагалища кролика — уникальные структуры, заслуживающие пристального внимания. Анatomические особенности влагалища кролика, высокие потенциальные возможности его сократительного аппарата и характерные физиологические свойства его ГМК позволяют считать, что влагалище играет важную роль в изгнании плодов. Мы предполагаем, что ведущее значение в регуляции СА ГМК влагалища имеют механические факторы, в частности движение плода.

PHYSIOLOGICAL PROPERTIES OF THE SMOOTH MUSCLES IN THE RABBIT VAGINA, CORNEA AND CERVIX UTERI

Contractile activity of strips of the genital tract (cornea, cervix, vagina) has been studied in nongravid, gravid, parturient and postpartum rabbits. The physiological properties of smooth muscles depend on their functions. In the case of gravidity the sensitivity to histamine and oxytocin appears and contractility of the cornea smooth muscle increases, but the rate of the spontaneous contraction generation decreases.

Medical Institute, Chelyabinsk

- Пешков В. Л., Циркин В. И. Сократительная активность и адренорецепция различных слоев миометрии // Акушерство и гинекология. — 1976. № 5. — С. 19—21.
- Рокицкий П. Ф. Биологическая статистика. — Минск : Вышэйш. шк., 1967. — 327 с.
- Шуба М. Ф., Тараненко В. М., Кочемасова Н. Г. Действие ионов калия на электрогенез и сокращение в гладких мышцах мочеточника // Физиол. журн. СССР. — 1980. — 66, № 8. — С. 1200—1208.
- Anderson G., Kawarabayashi T., Marshall I. Effect of indometacin and aspirin on uterine activity in pregnant rats: comparison of circular and longitudinal muscle // Biol. Reprod. — 1981. — 24, N 2. — P. 359—372.
- Cornett L., Goldfien A., Roberts I. Tonic *in vivo* inhibition of rabbit myometrial adrenergic receptor // Nature. — 1981. — 292, N 5824. — P. 623—625.
- Kral I., Barrett I., Korenman S. Coupling of β -adrenoreceptors in rat uterine smooth muscle // Biol. Reprod. — 1981. — 24, N 4. — P. 859—866.

7. Nesheim B.-I. Effect of noradrenaline and isoprenaline on the circular and longitudinal muscle of the oestrogen dominated rabbit uterus // Acta pharmacol. and toxicol. — 1972. — 31, N 2. — P. 296—304.
8. Quirk S., Currie W. Uterine steroid receptor changes in late pregnancy associated with progesterone withdrawal in rabbits // Biol. Reprod. — 1981. — 24, suppl. 1. — P. 27A.
9. Zander H., Pauerstein C., Fremming B., Filner B. Failure of propranolol to antagonize helatone depression of the uterus // Anesthesiol. and Analg. Curr. Res. — 1970. — 49, N 6. — P. 948—955.

Челяб. мед. ин-т МЗ СССР. Зондирование гипоталамуса и спинного мозга. Поступила 11.04.85

УДК 577.37:577.352.4.5:591.044.2:612.819

З. А. Сорокина, И. В. Чижаков

ЗАВИСИМОСТЬ ПРОЦЕССА БЛОКИРОВАНИЯ ТЕТРОДОТОКСИНОМ ВХОДЯЩЕГО НАТРИЕВОГО ТОКА ОТ СОДЕРЖАНИЯ В СРЕДЕ ИОНОВ НАТРИЯ

Современное представление о молекулярных механизмах блокирующего действия тетродотоксина (TTX) и сакситоксина (CTX) на быстрые натриевые каналы возбудимых мембран основано на их способности взаимодействовать с определенными рецепторными участками образующих канал белковых молекул. Как показали исследования, проведенные различными электрофизиологическими методами, это взаимодействие обнаруживает исключительно высокую аффинность, уникальную специфичность и носит некооперативный и обратимый характер [15, 24, 28]. Содержание в среде одновалентных катионов оказывает незначительное влияние на взаимодействие с натриевыми каналами CTX и TTX [9, 10].

В то же время в литературе широкое распространение получили представления о том, что одновалентные катионы существенно снижают связывание CTX и TTX. Данные такого рода получены в опытах, в которых исследовалось взаимодействие меченых препаратов токсинов с изолированными мембранными фракциями различных тканей [8, 14, 20, 25, 27, 34]. Нельзя не отметить противоречивость этих данных. На одних препаратах взаимодействие ионов натрия среды и токсинов представляет собой обычную конкуренцию за участки связи, а на других обнаруживает свойства кооперативного процесса с коэффициентом Хилла более двух. Конкурентные взаимоотношения TTX и одновалентных катионов рассматриваются авторами этих работ как доказательство наличия в наружном устье канала катионсвязывающей кислотной группы, входящей в состав селективного фильтра и рецептора токсина.

В настоящем исследовании предпринята попытка проверить представления о конкурентных взаимоотношениях между ионами натрия и TTX, исследуя входящие натриевые токи нервных клеток в условиях внутриклеточного диализа и фиксации потенциала.

Методика

Опыты проводили в условиях внутриклеточного диализа (перфузии) с использованием метода фиксации потенциала на мембране изолированных нейронов спинальных ганглиев крыс возраста 14—21 сут [2]. Методика изоляции нейронов не отличалась от описанной ранее [5]. Для устранения калиевого входящего тока клетки перфузировали раствором трис-фтор (концентрация 150 ммол/л, pH 7,2). Основной наружный раствор содержал (ммоль/л): NaCl — 125, CaCl₂ — 2,0, MgCl₂ — 2,0, трис-HCl или Hepes-NaOH — 20,0; pH раствора 7,36. В растворах с уменьшенной концентрацией натрия NaCl замещали эквимолярным количеством трис-HCl. Исходный потенциал на мемbrane (holding potential) фиксировали на уровне — 100 мВ, и измерения транс-

мембранных токов производились на входе тенциала, подавали на входящей обработке информации. В работе использовали комнатной температуре 20—25°. В области физиологические значения входящей зависимости от [Na⁺]₀. Гидратов TTX формально ме-

где R — рецепторный участок, где одна молекула характеризуется отчетливо выраженной термой Ленгмюра [33].

В стационарном состоянии (θ) можно определить концентрацию натриевого тока по следующему выражению:

где I(0) — амплитуда входящего тока в отсутствии токсина. Зная значение K_d образующегося комплекса, можно определить концентрацию токсина в изолированной клетке:

Здесь T — концентрация токсина в изолированной клетке. Из уравнения (1) следует, что концентрация токсина в изолированной клетке в разы выше концентрации токсина в изолированной клетке.

где τ₁ — постоянная времени тока, 1/τ₁ = k₁T + k₂.

При отмыкке уменьшается концентрация токсина в изолированной клетке:

где τ₂ — постоянная времени тока в отсутствии токсина, τ₂ = 1/k₂.

В первой серии опытов (n = 87), изучали влияние на токи нейронов наружного потенциала (θ) от концентрации TTX. Во-первых, видно, что с увеличением концентрации TTX канал, и, во-вторых, с уменьшением концентрации TTX. Константы диссоциации TTX для различных каналов различны.

enaline on the circular and longitudinal uteruses // Acta pharmacol. and toxicol. in late pregnancy associated with ed. — 1981. — 24, suppl. 1. — P. 27A. 3. Failure of propranolol to antagonize, and Analg. Curr. Res. — 1970. —

Поступила 11.04.85

БЛОКИРОВАНИЯ НАТРИЕВОГО ТОКА ИОНОВ НАТРИЯ

В мембранных механизмах блоки- и сакситоксина (СТХ) на мембране основано на их спо- вными рецепторными участка-ми. Как показали исследования, ическими методами, это вза- высокую аффинность, уни- вративный и обратимый ха- ке одновалентных катионов амодействие с натриевыми распределение получили катионы существенно си- кого рода получены в опы- ие меченных препаратов ток- ациями различных тканей противоречивость этих дан- ионов натрия среди и ток- енцию за участки связи, а гивного процесса с коэффи- взаимоотношения СТХ и и авторами этих работ как канала катионсвязывающей активной фильтрации и рецеп- а попытка проверить пред- иях между ионами натрия и нервных клеток в услови- тенциала.

диализа (перфузии) с использо- ванием изолированных нейронов спинального изоляции нейронов не отличавшегося от входящего тока клетки пер- ммоль/л, pH 7,2). Основной на- aCl_2 — 2,0, MgCl_2 — 2,0, три- HCl с уменьшенной концентрацией три- HCl . Исходный потенциал — 100 мВ, и измерения транс-

мембранных токов производили при максимуме вольтамперной характеристики их пиковых значений. Ток, протекающий через мембрану при деполяризующем смещении потенциала, подавали на вход аналого-цифрового преобразователя ЭВМ, осуществляющей обработку информации.

В работе использовали тетродотоксин фирмы «Sankyo». Опыты проводили при комнатной температуре 20—22 °C. При статистической обработке данных методами вариационной статистики подсчитывали стандартную ошибку среднего.

Результаты

В области физиологических внеклеточных концентраций Na^+ пиковые значения входящего натриевого тока обнаруживают линейную зависимость от $[\text{Na}^+]_0$. Процесс блокирования быстрых натриевых каналов СТХ формально можно описать уравнением

$$[R] + \text{TTX} \xrightleftharpoons[k_2]{k_1} [\text{RTTX}], \quad (1)$$

где R — рецепторный участок канала, с которым обратимо взаимодействует одна молекула токсина, k_1 и k_2 — константы. Такой процесс характеризуется отчетливым насыщением и хорошо описывается изотермой Ленгмюра [33].

В стационарном состоянии долю числа заблокированных СТХ каналов (Θ) можно определить с помощью пиковых значений входящего натриевого тока по следующей формуле:

$$\Theta = \frac{I(0) - I(T)}{I(0)}, \quad (2)$$

где $I(0)$ — амплитуда входящего натриевого тока без токсина, $I(T)$ — с токсином. Зная значение Θ , можно рассчитать константу диссоциации (K_d) образующегося комплекса токсин — канал:

$$K_d = T \frac{1 - \Theta}{\Theta}. \quad (3)$$

Здесь T — концентрация токсина.

Из уравнения (1) следует, что по мере увеличения времени экспозиции клетки в растворе с СТХ значение Θ будет расти экспоненциально до стационарного значения

$$\Theta(t) = \frac{T}{K_d + T} (1 - e^{-t/\tau_1}), \quad (4)$$

где τ_1 — постоянная времени процесса блокирования входящего натриевого тока. $1/\tau_1 = k_1 T + k_2$.

При отмыкке уменьшение Θ будет описываться формулой

$$\Theta(t) = \frac{T}{K_d + T} e^{-t/\tau_2}, \quad (5)$$

где τ_2 — постоянная времени распада (диссоциации) комплекса токсин — канал. $\tau_2 = 1/k_2$.

В первой серии опытов, проведенной на большом числе клеток ($n = 87$), изучали влияние внеклеточной концентрации Na^+ на стационарные характеристики процесса блокирования СТХ входящего натриевого тока. На рис. 1 представлена зависимость доли заблокированных СТХ каналов (Θ) от концентрации токсина в среде при разной $[\text{Na}^+]_0$. Во-первых, видно, что экспериментальные данные хорошо согласуются с представлением об одномолекулярном механизме взаимодействия токсин — канал, и, во-вторых, свидетельствуют о том, что в мембране нейронов спинальных ганглиев имеется лишь один тип рецепторов СТХ. Константы диссоциации комплекса токсин — канал (K_d) при

концентрациях натрия 40, 90 и 125 моль/л составляли $(3,28 \pm 0,31) \times 10^{-9}$, $(3,32 \pm 0,36) \cdot 10^{-9}$ и $(3,41 \pm 0,35) \cdot 10^{-9}$ моль соответственно. Среднее значение K_d составляло $(3,40 \pm 0,28) \cdot 10^{-9}$ моль.

Таким образом, обнаруживается тенденция к увеличению K_d при повышении концентрации ионов натрия в среде, но различия между ее значениями статистически незначимы.

Поскольку K_d представляет собой отношение констант скоростей обратной и прямой реакции взаимодействия TTX с натриевым каналом, $K_d = k_2/k_1$, то в принципе не исключена возможность одновременного их изменения таким образом, что K_d остается постоянной (в пределах ошибки опыта). С целью проверки этого предположения во второй серии опытов исследовали кинетику формирования и диссоциации

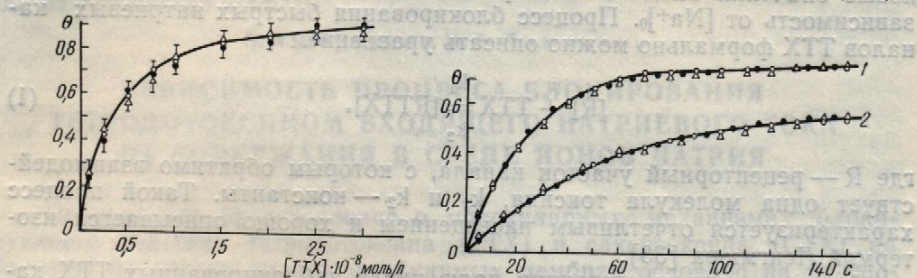


Рис. 1. Зависимость доли блокированных TTX натриевых каналов (Θ) от концентрации TTX (10^{-8} моль/л) при различном содержании ионов натрия в наружном растворе (моль/л): ● — 125; ○ — 90; △ — 40.

Рис. 2. Зависимость доли блокированных TTX натриевых каналов (Θ) от времени при концентрациях TTX 10^{-8} моль/л (1) и $5 \cdot 10^{-8}$ моль/л (2) и различных концентрациях ионов натрия в наружном растворе (обозначения те же, что и на рис. 1).

комплекса TTX — канал, позволяющую рассчитать независимо каждую из констант скоростей уравнений (4) и (5). Опыты проводили следующим образом. Диализируемые нейроны помещали в раствор, содержащий определенные концентрации TTX и $[Na^+]_0$, до достижения стационарного состояния, а затем отмывали раствором Рингера без TTX до стационарных значений входящего натриевого тока. На рис. 2 представлена временная зависимость доли блокированных TTX натриевых каналов при двух различных концентрациях TTX и трех — натрия в среде — 40, 90 и 125 моль/л. Как видно, кинетика блокирования TTX входящего натриевого тока в растворах при разных концентрациях ионов натрия существенно не различается. Значения k_1 и k_2 оказались почти идентичными в каждом из исследованных растворов и составляли $3,58 \cdot 10^6$ моль⁻¹ с⁻¹ и $1,3 \cdot 10^{-2}$ с⁻¹.

На рис. 3 показана кинетика диссоциации комплекса TTX — канал при тех же концентрациях натрия. Значения k_2 в этом случае составляют $1,11 \cdot 10^{-2}$ с⁻¹. Заметим, что аналогичные значения k_1 и k_2 получены в кинетических исследованиях, проведенных на других объектах [33].

Таким образом, независимость обеих констант скоростей от $[Na^+]_0$ приводит к постоянству значений K_d в исследуемых пределах концентраций этих ионов.

Следующим прямым доказательством отсутствия конкуренции ионов натрия среды и TTX за связывающий центр рецептора являются данные, полученные в третьей серии опытов. Как уже говорилось, в области физиологических внеклеточных концентраций Na^+ пиковые значения входящего натриевого тока линейно зависят от $[Na^+]_0$. Если заблокировать TTX 40 % каналов, а затем при той же концентрации токсина изменить $[Na^+]$ со 125 до 0 моль/л, то линейная зависимость пиковых значений тока от содержания в среде Na^+ должна искривиться в случае конкуренции за связывающий центр рецептора.

Эта зависимость будет и увеличение сродства, и TTX за участки связывающие на рис. 4. Как видим, о значений входящего натрия в среде взаимодействия быстрых натриевых

Таким образом, прошло, что разные методы

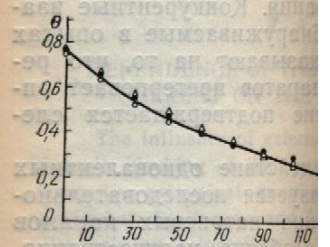


Рис. 3. Зависимость доли блокирований от времени в период десорбции концентрациях ионов

Рис. 4. Изменение амплитуды тока ионов натрия в среде в отсутствие TTX при

зрения относительно влияния токсина с каналами. Проведение анализа данных, полученных электрофизиологическим методом, обходило выяснить, что канал и характер взаимодействия следние годы исследованы новым направлением: СТХ и гуанидина [17—биологической (денервационной) модификации реагентов на определенном уровне и 3-е — сравнительное и с высокой и низкой TTX-чувствительностью].

Полученные экспериментальные данные показывают, что селективный фильтр на прежнем представлении, что TTX расположен вне мембранных идентифицируется молекулами токсинов, которые гуанидиновая группа и взаимодействие TTX с рецептором. Авторы некоторых групп, вероятно, вступают в канал. Группы

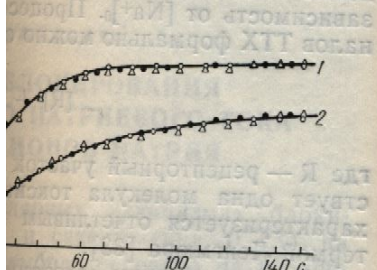
Физиол. журн., 1986, т. 32,

оль/л составляли $(3,28 \pm 0,31) \times 10^{-9}$ моль соответственно. Среди 10^{-9} моль.

иденция к увеличению K_d при

в среде, но различия между

отношение констант скоростей TTX с натриевым каналом останется постоянной (в пределах этого предположения во вторичного формирования и диссоциации



натриевых каналов (θ) от концентрации ионов натрия в наружном растворе

натриевых каналов (θ) от времени при $[Na^+]_0 = 125$ моль/л (2) и различных концентрациях ионов натрия (такие же, что и на рис. 1).

рассчитать независимо каждую). Опыты проводили следующим образом: в раствор, содержащий TTX и $[Na^+]_0$, до достижения равновесия с наружным раствором Рингера без натриевого тока. На рис. 2 видно, что концентрации блокированных TTX натриевых каналов в растворах при разных концентрациях TTX и трех ионов натрия не различается. Значения k_1 и k_2 вычислены из исследованных распределений θ в 10^{-8} с^{-1} .

Коэффициент комплекса TTX — константа k_2 в этом случае совпадает с константами k_1 и k_2 , полученных на других объектах.

констант скоростей от $[Na^+]_0$ в пределах концентраций, следуемых

отсутствия конкуренции ионов натрия и центра рецептора. Как уже говорилось, константы k_1 и k_2 не зависят от концентраций $[Na^+]_0$. Если бы при той же концентрации $[Na^+]_0 = 25$ моль/л, то линейная зависимость в среде Na^+ должна была бы выглядеть как

Эта зависимость будет вогнутой, если уменьшение $[Na^+]_0$ вызывает увеличение сродства, и выпуклой, если ионы натрия конкурируют с TTX за участки связывания. Результаты этих опытов представлены на рис. 4. Как видим, отклонений от линейной зависимости пиковых значений входящего натриевого тока от $[Na^+]_0$ не наблюдается.

Обсуждение

Приведенные экспериментальные данные позволяют прийти к заключению, что в области физиологических концентраций ионов натрия в среде взаимодействие TTX со связывающими центрами рецептора быстрых натриевых каналов не зависит от $[Na^+]_0$.

Таким образом, проведенное нами исследование еще раз показало, что различные методы приводят к прямо противоположным точкам

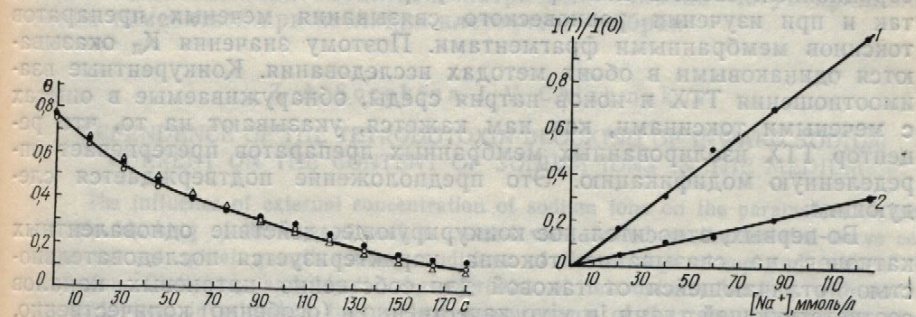


Рис. 3. Зависимость доли блокированных TTX (10^{-8} моль/л) натриевых каналов (θ) от времени в период десорбции в нормальном рингеровском растворе при различных концентрациях ионов натрия (обозначения те же, что и на рис. 1).

Рис. 4. Изменение амплитуды входящего натриевого тока при уменьшении концентрации ионов натрия в среде в отсутствие TTX (1) и при концентрации TTX 10^{-8} моль/л (2). Амплитуда нормировалась на постоянное пиковое значение силы тока, измеренной в отсутствие TTX при концентрации натрия 125 моль/л: $I(t)/I(0)$.

зрения относительно влияния факторов внешней среды на связывание токсина с каналами. Поэтому возникает необходимость детального анализа данных, полученных двумя альтернативными методами — электрофизиологическим и изотопным. Первый вопрос, который необходимо выяснить, это месторасположение рецепторных участков в канале и характер взаимодействия с ними TTX и ионов натрия. В последние годы исследования в этой области проводили по трем основным направлениям: 1-е — применение различных дериватов TTX, СTX и гуанидина [17—19, 22, 26, 32]; 2-е — использование методов биологической (денервация ткани, культура ткани) [12—31] и химической модификации канального белка (применение специфических реагентов на определенные функциональные группы) [7, 23, 25, 29] и 3-е — сравнительное изучение свойств натриевых каналов у клеток с высокой и низкой TTX-аффинностью [6, 16].

Полученные экспериментальные данные позволяют считать, что селективный фильтр натриевого канала и рецептор TTX, вопреки прежним представлениям [15], пространственно разобщены. Рецептор TTX расположен вблизи устья канала, на наружной поверхности мембранны. Идентифицированы функционально важные участки молекул токсинов, которыми являются положительно заряженная гуанидиновая группа и незаряженные части молекул. О природе взаимодействия TTX с рецептором на сегодняшний день нет единого мнения. Авторы некоторых работ [17—19] полагают, что гуанидиновая группа, вероятно, вступает в электростатическое взаимодействие с кислотной (карбоксильной) группой рецептора, расположенной вблизи входа в канал. Группы — гуанидиновая, C-4, C-6 и C-11 — располагаются

ются в одной плоскости; три последние образуют с рецептором слабые (водородные) связи. Молекула TTX оказывается, таким образом, распластанной на поверхности мембранных. По мнению других авторов [32] взаимодействие TTX с рецептором представляет собой двухстадийную реакцию. В первой стадии происходит нейтрализация положительного заряда гуанидиновой группы, образующей ионную связь с рецептором. Это, в свою очередь, может привести к перемещению электрона с атома азота гуанидина на C-4, что вызовет дегидратацию гем-диола с образованием негидратированного кетона при C-12, и в результате между ним и нуклеофильной группой рецептора образуется слабая ковалентная связь. Кроме того, предполагается возможность одной или нескольких водородных связей [17—19].

Несомненно, что расположение рецепторной части натриевого канала на наружной поверхности мембранных может обусловить сходство сорбционных свойств как при электрофизиологических исследованиях, так и при изучении равновесного связывания меченых препаратов токсинов мембранными фрагментами. Поэтому значения K_d оказываются одинаковыми в обоих методах исследования. Конкурентные взаимоотношения TTX и ионов натрия среды, обнаруживаемые в опытах с меченными токсинами, как нам кажется, указывают на то, что рецептор TTX изолированных мембранных препаратов претерпевает определенную модификацию. Это предположение подтверждается следующим:

Во-первых, относительное конкурирующее действие одновалентных катионов на связывание токсина характеризуется последовательностью, отличающейся от таковой для собственно натриевых каналов соответствующей ткани *in vivo* качественно и (особенно) количественно. Например, на мембранный фракции нервного волокна лягушки получен ряд $Tl^+ > Li^+ > Na^+ > K^+ > Cs^+$; при этом сродство к Na^+ по сравнению с таковым к K^+ выше всего лишь в 2 раза. У собственно натриевых каналов перехвата Ранвье отношения проницаемостей для одновалентных катионов, определенные по измерению потенциалов, реверсии, следующие: $Na^+ : Li^+ : Tl^+ : K^+ = 1,0 : 0,93 : 0,33 : 0,086$ [25].

Во-вторых, данные о влиянии одновалентных катионов на связывание меченого TTX противоречивы. По данным одних авторов одновалентные катионы проявляют обычную конкуренцию за места связи [8, 14, 20, 25, 34], по данным других — кооперативные взаимодействия с коэффициентом Хилла более 2 [37]. В то же время взаимодействие TTX с натриевым каналом на всех исследованных электрофизиологическими методами объектах носит некооперативный характер [15, 33].

В последние годы получено большое число экспериментальных данных, свидетельствующих о важной роли макроструктуры натриевого канала и о динамических изменениях его конформации, сопровождающих переход из покоя в активное и инактивированное состояние. Конформационные сдвиги возникают и при различного рода фармакологических воздействиях на натриевый канал, обуславливая его работу в необычных режимах. Примечательно, что ряд свойств натриевого канала в изолированных препаратах мембран оказывается иными. Особенно демонстративны в этом отношении полученные недавно данные на одиночных натриевых каналах мозга и скелетных мышечных волокон, выделенных в виде синаптосом или мембранных везикул и встроенных в искусственные бислойные липидные мембранные (БЛМ) [11, 13, 21]. Модифицированные батрахотоксином, эти каналы обнаруживали потенциалозависимое связывание TTX и CTX. Потенциалозависимыми оказывались k_1 и k_2 . Кроме того, связывание TTX блокировалось ионами натрия, поскольку k_1 зависела от их концентрации с *cis*-стороны мембранных.

В связи с этим определенный интерес представляют эффекты собственно батрахотоксина и аконитина — химических агентов, воз-

действующих на ворота вызывают одновременно ионной селективность такими ионами, как является и канал станочного метиламмония [1, 3]. Селективность модифицированных и относительно тионов на связывание.

Суммируя сказанное, курентные взаимоотношения мембранных препаратов меняются конформацией, определенные свойства сильно изменяться при

Z. A.

DEPENDENCE OF THE CURRENT ON THE

The influence of external toxin blocking of the current from the rat spinal ganglion perfusion. Stationary and channels were investigated, and inverse blocking reaction that the dissociation constant of sodium between tetrodotoxin and Na^+ that alternative results obtained with isolated membrane fractions in the conformation

A. A. Bogomoletz Institute of Academy of Sciences of the USSR

- Зубов А. Н., Наумов А. И. Каналы мембранные клеток // Улитки // Нейрофизиология. № 2. — С. 152—160.
- Крышталь О. А., Пидопечкин // Нейрофизиология. № 3. — С. 313—317.
- Можаева Г. Н., Наумов А. И. Свойства натриевых каналов // Улитки // Нейрофизиология. № 2. — С. 152—160.
- Ревенко Е. В., Ходоров // Каналы в мембране мышечных волокон // Улитки // Нейрофизиология. № 3. — С. 313—317.
- Сорокина З. А., Чижман // Торможение быстрых натриевого канала в макродактилиях и раздражение // Нейрофизиология. № 5. — С. 571—578.
- Чемерис Н. К. Специфика // Биофизика. — 1982. — 27.
- Baker P. F., Rubinson // Interaction with Meerwein's reagent. — J. Physiol. 1978. — 285. — P. 396.
- Colquhoun D., Ritchie J. // Mammalian non-myelinated nerve fibres. — J. Physiol. 1978. — 285. — P. 396.
- Colquhoun D., Hendershot // Non-myelinated nerve fibres. — J. Physiol. 1978. — 285. — P. 396.
- French R. J., Worley J. // Potassium channels in non-myelinated nerve fibres. — J. Physiol. 1978. — 285. — P. 301—312.

Физиол. журн., 1986, т. 32, № 4

е образуют с рецептором сложную систему. По мнению других авторов, это представляет собой двухстадийный процесс: сначала происходит нейтрализация полоны, образующей ионную связь, что приведет к перемещению C-4, что вызовет дегидратацию цианного кетона при C-12, и в конечном результате образуется возможная связь [17–19].

Второй части натриевого канала может обусловить сходство физиологических исследований, изучения меченых препаратов оэтому значения K_d оказывается одинаковым. Конкурентные взаимодействия, обнаруживаемые в опытах, указывают на то, что реальные препараты претерпевают определенное подтверждение.

Действие одновалентных катионов на связанные с ними натриевые каналы характеризуется последовательно: 1) количественно, 2) качественно. Внешнее волокно лягушки по-прежнему сродство к Na^+ по-прежнему в 2 раза. У собственного отношения проницаемостей по измерению потенциала $\text{Na}^+ : \text{K}^+ = 1,0 : 0,93 : 0,33$.

Литературные данные о связанных одних авторов однажды конкуренцию за места других — кооперативные взаимодействия [37]. В то же время взаимодействие всех исследованных электропроводностей некооперативный характер. Число экспериментальных макроструктур натриевых каналов, сопровождающих его конформации, сопротивление инактивированному состоянию при различного рода фармакологических каналах, обусловливая его количественно, что ряд свойств натриевых мембран оказывается в отношении полученные неизвестными мозга и скелетных нанапсом или мембранными ионными липидными мембранами батрахотоксином, эти каналы связывают TTX и CTX. Кроме того, связывание TTX зависит от их концентрации, а также от температуры, что предполагает эффекты химических агентов, воз-

ействующих на воротное устройство натриевых каналов. Эти вещества вызывают одновременные изменения процессов активации, инактивации и ионной селективности натриевых каналов. Последняя изменяется таким образом, что относительная проницаемость канала для таких ионов, как NH_4^+ , Tl^+ , K^+ , гуанидин значительным образом увеличивается и канал становится заметно проницаемым для Rb^+ , Cs^+ , Ca^{2+} и метиламмония [1, 3, 4]. Нельзя не обратить внимания на то, что селективность модифицированных батрахотоксином и аконитином каналов и относительное конкурирующее действие одновалентных катионов на связывание TTX мембранными фрагментами весьма сходны.

Суммируя сказанное, можно заключить, что обнаруженные конкурентные взаимоотношения TTX и ионов натрия на изолированных мембранных препаратах обусловлены, вероятно, специфическими изменениями конформационного состояния канала. Таким образом, определенные свойства интактных натриевых каналов могут принципиально изменяться при изоляции клеточных мембран.

Z. A. Sorokina, I. V. Chizhakov

DEPENDENCE OF THE TETRODOTOXIN BLOCKING OF INWARD SODIUM CURRENT ON THE CONTENT OF SODIUM IONS IN THE MEDIUM

The influence of external concentration of sodium ions on the parameters of tetrodotoxin blocking of the inward sodium current was studied on the isolated nerve cells from the rat spinal ganglia under conditions of the voltage clamp and intracellular perfusion. Stationary and kinetic characteristics of tetrodotoxin binding with sodium channels were investigated. Independent measurements of the rate constants for direct and inverse blocking reactions with different concentrations of sodium ions have shown that the dissociation constant K_d of the toxin-channel complex is independent of the external concentration of sodium ions, that testifies to the absence of the competition between tetrodotoxin and Na^+ for one binding centre. Arguments are presented which show that alternative results obtained by the study of the labelled toxin preparations' binding with isolated membrane fractions of different tissues may be induced by the specific changes in the conformation state of sodium channels.

A. A. Bogomoletz Institute of Physiology,
Academy of Sciences of the Ukrainian SSR, Kiev

1. Зубов А. Н., Наумов А. П., Ходоров Б. И. Действие батрахотоксина на натриевые каналы мембранных клеток нейробластомы // Цитология. — 1984. — № 4. — С. 415—423.
2. Крышталь О. А., Пидопличко В. И. Внутриклеточная перфузия гигантских нейронов улитки // Нейрофизиология. — 1975. — № 3. — С. 327—329.
3. Можаева Г. Н., Наумов А. П., Негуляев Ю. А. Влияние аконитина на некоторые свойства натриевых каналов мембранных перехватов Ранье // Там же. — 1976. — № 2. — С. 152—160.
4. Ревенко Е. В., Ходоров Б. И. Влияние батрахотоксина на селективность натриевых каналов в мембране миэлинизированного первого волокна // Там же. — 1977. — № 3. — С. 313—317.
5. Сорокина З. А., Чижмаков И. В., Еляков Г. Б. и др. Исследование механизма инактивации быстрых натриевых каналов с помощью нейротоксина из актинии *Radianthus macrodactylus* и различных химических реагентов // Физиол. журн. — 1984. — № 5. — С. 571—578.
6. Чемерис Н. К. Специфичность действия тетродотоксина на нейроны моллюска // Биофизика. — 1982. — № 4. — С. 738—739.
7. Baker P. F., Robinson K. A. TTX-resistant action potentials in crab nerve after treatment with Meerwein's reagent // J. Physiol. — 1977. — 266, N 1. — P. 3—4P.
8. Barchi R. L., Weigle J. B. Characteristics of saxitoxin binding to the sodium channel of sarcolemma isolated from rat skeletal muscle // Ibid. — 1979. — 295. — P. 383—396.
9. Colquhoun D., Ritchie J. M. The interaction at equilibrium between tetrodotoxin and mammalian non-myelinated nerve fibres // Ibid. — 1972. — 221, N 3. — P. 533—554.
10. Colquhoun D., Henderson R., Ritchie J. M. The binding of labelled tetrodotoxin to non-myelinated nerve fibres // Ibid. — 1972. — 227, N 1. — P. 95—126.
11. French R. J., Worley J. F., Krueger B. K. Voltage-dependent block by saxitoxin of sodium channels incorporated in planar lipid bilayers // Biophys. J. — 1984. — 45, N 3. — P. 301—312.

12. Fukuda J., Kameyama M. Tetrodotoxin-sensitive and tetrodotoxin-resistant sodium channels in tissue-cultured spinal ganglion neurons from adult mammals // Brain Res. — 1980. — 182, N 1. — P. 191—197.
13. Green W. N., Weiss L. B., Andersen O. S. Voltage- and Na⁺-dependent tetrodotoxin (TTX) block of batrachotoxin (BTX)-modified sodium channels // Biophys. J. — 1984. — 45, N 2, pt. 2. — P. 68—74.
14. Henderson R., Ritchie J. M., Strichartz G. R. Evidence that tetrodotoxin and saxitoxin act at a metal cation binding site in the sodium channels of nerve membrane // Proc. Nat. Acad. Sci. U. S. A. — 1974. — 71, N 12. — P. 3996—3940.
15. Hille B. The receptor for tetrodotoxin and saxitoxin: A structural hypothesis // Biophys. J. — 1975. — 15, N 5. — P. 615—619.
16. Huang L.-Y. M., Catterall W. A., Ehrenstein G. Comparison of ionic selectivity of batrachotoxin-activated channels with different tetrodotoxin dissociation constants // J. Gen. Physiol. — 1979. — 73, N 6. — P. 839—854.
17. Kao C. J. New perspectives on the interactions of tetrodotoxin and saxitoxin with excitable membranes // Toxicon. — 1983. — 21 (Suppl. 3). — P. 211—219.
18. Kao C. Y., Walker S. E. Active groups of saxitoxin and tetrodotoxin as deduced from actions of saxitoxin analogues on frog muscle and squid axon // J. Physiol. — 1982. — 323. — P. 619—637.
19. Kao P. N., James-Krake M. R., Kao C. J. The active guanidinium group of saxitoxin and neosaxitoxin identified by the effects of pH on their activities on squid axon // Pflügers Arch. — 1983. — 398. — P. 199—203.
20. Lazdunski M., Balera M., Barhanin J. et al. Biochemical studies of the structure, mechanism and differentiation of the voltage-sensitive sodium channel // Neurochem. Int. — 1980. — N 2. — P. 61—71.
21. Moczydlowski E., Garber S. S., Miller Ch. Batrachotoxin-activated Na⁺ channels in planar lipid bilayers. Competition of tetrodotoxin block by Na⁺ // J. Gen. Physiol. — 1984. — 84, N 5. — P. 665—686.
22. Moczydlowski E., Sherwood H., Garber S. S. et al. Voltage-dependent blockade of muscle Na⁺ channels by guanidinium toxins. Effect of toxin charge // Ibid. — 1984. — 84, N 5. — P. 687—704.
23. Mozhayeva G. N., Naumov A. P., Nosyreva E. D. Effect of water-soluble carbodimide on gating in sodium channels // Biochem. et biophys. acta. — 1984. — 774, N 2. — P. 288—292.
24. Narahashi T. Chemicals as tools in the study of excitable membranes // Physiol. Rev. — 1974. — 54, N 6. — P. 813—889.
25. Reed J. F., Raftery M. A. Properties of tetrodotoxin binding compound in plasma membranes isolated from electrophorus electricus // Biochemistry. — 1976. — 15, N 5. — P. 944—953.
26. Reed J. K., Trzos W. Interaction of substituted guanidines with the tetrodotoxin-binding component in Electrophorus electricus // Arch. Biochem. and Biophys. — 1979. — 195, N 3. — P. 414—422.
27. Rhoden V. A., Golden S. M. The binding of saxitoxin to axolemma of mammalian brain // J. Biol. Chem. — 1979. — 254, N 22. — P. 11199—11201.
28. Ritchie J. M., Rogart R. B. The binding of saxitoxin and tetrodotoxin to excitable tissue // Rev. Physiol. Biochem. and Pharmacol. — 1977. — 79, N 1. — P. 1—51.
29. Shrager P., Profera Ch. Inhibition of the receptor for tetrodotoxin in nerve membranes by reagents modifying carboxyl groups // Biochim. et biophys. acta. — 1973. — 318, N 1. — P. 141—146.
30. Spalding B. Properties of toxin-resistant channels produced by chemical modification in frog skeletal muscle // J. Physiol. — 1980. — 305. — P. 485—500.
31. Stefani E., Chiarandini D. I. Ionic channels in skeletal muscle // Ann. Rev. Physiol. — 1982. — 44. — P. 357—372.
32. Strichartz G. G. Structural determinants of the affinity of saxitoxin for neuronal sodium channels. Electrophysiological studies on frog peripheral nerve // J. Gen. Physiol. — 1984. — 84, N 2. — P. 281—305.
33. Ulbricht W. Kinetics of neurotoxin action at the nodal membrane // Hoppe-Seyler's Z. Physiol. Chem. — 1983. — 364, N 6. — P. 622—626.
34. Weigle J. B., Barchi R. L. Saxitoxin binding to the mammalian sodium channel: Competition by monovalent and divalent cations // FEBS Letters. — 1978. — 95, N 1. — P. 49—53.

Ин-т физиологии им. А. А. Богомольца
АН УССР, Киев

Поступила 15.07.85

ИЗМЕНЕНИЯ ПРИ РАЗДРА

Центральная регуляция слабо, хотя участвующих в процессах, происходящих в физиологами и клиницистами.

В серии опытов, произведенных на кровоток в печени [7, 8], изменения в рефлекторных взаимодействиях вазомоторных структур выражены, то о нем идет речь [1, 3].

Цель настоящего опыта раздражения некоторыми составом классического венозного артерии и воротной областей.

Исследования выполнены на крысах массой 8—20 кг под наркозом. Электроды диаметром 1 mm изучаемые буллы вентрального и латерального мозга рассчитывали по атласу [1], координаты изучаемых булл определяли с помощью стимулятора ЭСЛ 50 с⁻¹; длительность импульса опыта на гистологически

Давление в сонной артерии и воротной вене записывали с помощью электроманометра ЭСЛ 50 с⁻¹; длительность импульса опыта на гистологически

В ходе опыта давление в сонной артерии и воротной вене записывали с помощью электроманометра ЭСЛ 50 с⁻¹; длительность импульса опыта на гистологически

Средние значения давления в сонной артерии и воротной вене — (3,9±0,1) гПа, 132,7±6,1 мл/мин или в сонной артерии и воротной вене — (469,1±16,9) мл.

Раздражение исследованного участка со значительными силами вызывало выраженные изменения (рис. 1, 2). Так, в 82 случаях из 100 тонкие прессорные ре

Физиол. журн., 1986, т. 32, № 4

re and tetrodotoxin-resistant sodium channels from adult mammals // Brain age- and Na^+ -dependent tetrodotoxin sodium channels // Biophys. J. — 1984. — Evidence that tetrodotoxin and saxitoxin channels of nerve membrane // P. 3996—3940. — Tetrodotoxin: A structural hypothesis // Biochemistry. — 1984. — Comparison of ionic selectivity of tetrodotoxin dissociation constants // Effect of tetrodotoxin and saxitoxin with pI. 3). — P. 211—219. — Tetrodotoxin and tetrodotoxin as deduced from squid axon // J. Physiol. — 1982. — Active guanidinium group of saxitoxin on their activities on squid axon // Biochemical studies of the structure, sensitive sodium channel // Neuropharmacology. — 1984. — Cholinergic-activated Na^+ channels in block by Na^+ // J. Gen. Physiol. — 1984. — Voltage-dependent blockade of effect of toxin charge // Ibid. — 1984. — Effect of water-soluble carbodiimide // Biophys. acta. — 1984. — 774, N 2. — Citable membranes // Physiol. Rev. — Saxitoxin binding compound in plasma // Biochemistry. — 1976. — 15, N 5. — Guanidines with the tetrodotoxin-binding. — Biochem. and Biophys. — 1979. — Tetrodotoxin to axolemma of mammalian — 11201. — Tetrodotoxin and tetrodotoxin to excitable — 1977—79, N 1. — P. 1—51. — Tetrodotoxin in nerve membrane // Biochim. et biophys. acta. — 1973. — Produced by chemical modification — 305. — P. 485—500. — Skeletal muscle // Ann. Rev. Physiol. — Affinity of saxitoxin for peripheral — frog peripheral nerve // J. Gen. — nodal membrane // Hoppe-Seyler's — the mammalian sodium channel // FEBS Letters. — 1978. — 95,

Поступила 15.07.85

УДК 612.828—612.351.5

П. И. Яничук, В. А. Цыбенков
**ИЗМЕНЕНИЯ ПЕЧЕНОЧНОГО КРОВООБРАЩЕНИЯ
ПРИ РАЗДРАЖЕНИИ ПРОДОЛГОВАТОГО МОЗГА**

Центральная регуляция печеночного кровообращения изучена очень слабо, хотя участие сосудистого русла печени в различных процессах, происходящих в организме, давно поставило эту задачу перед физиологами и клиницистами.

В серии опытов, проведенных нами ранее, было установлено выраженное влияние раздражения различных структур гипоталамуса на кровоток в печени [7, 9]. Получены данные об участии сосудов печени в рефлекторных реакциях [5, 6, 11]. Что же касается влияния вазомоторных структур продолговатого мозга на печеночное кровообращение, то о нем имеются сообщения лишь в единичных работах [1, 3].

Цель настоящего исследования — изучить влияние электрического раздражения некоторых структур продолговатого мозга, входящих в состав классического вазомоторного центра, на кровоток в печеночной артерии и воротной вене и на сопротивление этих сосудистых областей.

Методика

Исследования выполнены в острых опытах на 14 беспородных собаках обоего пола массой 8—20 кг под нембуталовым наркозом (35 мг/кг). Биполярные концентрические электроды диаметром 0,8 мм (диаметр кончика 0,1 мм) погружали в различные структуры продолговатого мозга с помощью стереотаксического аппарата СЭЖ-2. Координаты изучаемых бульбарных образований: гигантоклеточного, мелкоклеточного, центрального и латерального ретикулярных ядер, а также ядра солитарного тракта рассчитывали по атласу [12]. Раздражение мозга осуществляли импульсным током, идущим от стимулятора ЭСЛ-2. Параметры раздражающего тока: 2—8 В, 40—150 мА, 50 с⁻¹; длительность импульса 2 мс, длительность раздражения 30—60 с. По окончании опыта на гистологических срезах мозга уточняли локализацию точек раздражения.

Давление в сонной артерии, воротной и задней полой венах регистрировали с помощью электроманометра ЭМТ-31. Объемную скорость кровотока в печеночной артерии и воротной вене записывали электромагнитным расходомером РКЭ-2, калибровку расходомера производили *in situ* по окончании опыта, перфузируя исследуемые сосуды с различной скоростью. Сосудистое сопротивление рассчитывали по отношению разности давлений на входе и выходе из системы к скорости кровотока в ней. Изменения кровенаполнения печени регистрировали с помощью нами модифицированного [8] реографа РГ 4-01 и определяли их соотношение с объемом крови в печени по окончании эксперимента. Запись всех показателей производили на регистраторе Н-115.

В ходе опыта животных обездвиживали дитиалином (1—2 мг/кг) и переводили на искусственное дыхание.

Результаты и их обсуждение

Средние значения исходных показателей печеночного кровообращения в наших опытах были: артериальное давление — $182,2 \pm 6,0$ гПа, давление в воротной вене — $(10,7 \pm 0,3)$ гПа, давление в задней полой вене — $(3,9 \pm 0,1)$ гПа, скорость кровотока в печеночной артерии — $132,7 \pm 6,1$ мл/мин или $(25,8 \pm 1,2)$ мл/мин·100 г, кровоток в воротной вене — $(469,1 \pm 16,9)$ мл/мин или $(90,9 \pm 2,1)$ мл/мин·100 г.

Раздражение исследуемых образований продолговатого мозга наряду со значительными сдвигами системного артериального давления вызывало выраженные изменения показателей печеночного кровообращения (рис. 1, 2). Так, артериальное давление (АД) в наших опытах в 82 случаях из 106 повышалось на 29—50 %. Наиболее значительные прессорные реакции были получены при раздражении рети-

кулярного гигантоклеточного ядра (+50%). Снижение АД на 16—24 % наблюдалось преимущественно при стимуляции ядра солитарного тракта. Давление в воротной вене (D_{vv}) во время раздражения бульбарных структур повышалось в 80 случаях из 108 на 20—29 %. Снижение D_{vv} было еще меньшим по амплитуде (6—7 %) и статистически недостоверным. Лишь стимуляция латерального ретикулярного ядра вызывала статистически значимое снижение D_{vv} в среднем на 22 %. Относительно слабыми при раздражении продолговатого мозга

были изменения давления в задней полой вене.

Раздражение структур продолговатого мозга вызывало в основном слабо выраженные изменения кровотока в печеночной артерии. На рис. 3 представлены средние значения изменений всех исследуемых показателей печеночного кровообращения при раздражении различных образований продолговатого мозга. В большей части случаев (в

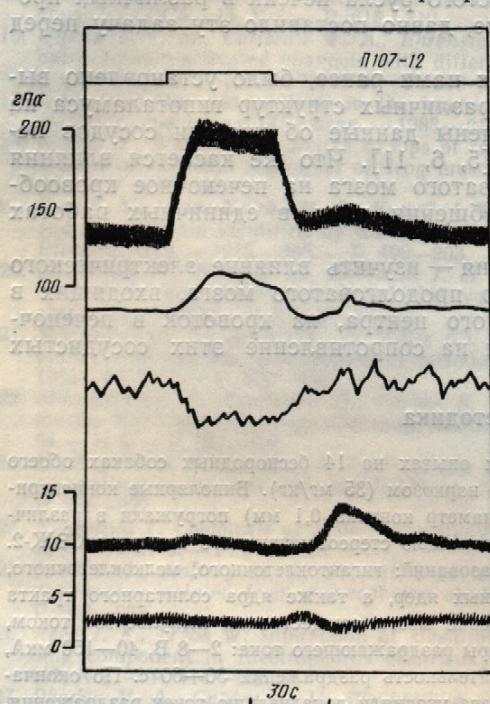


Рис. 1. Изменения кровообращения в печени при раздражении ретикулярного гигантоклеточного ядра (4 В, 0,07 мА). Сверху вниз: отметка раздражения, артериальное давление, скорость кровотока в печеночной артерии, кровоток в воротной вене, давление в воротной и задней полой венах. Слева — шкалы для давлений, справа — шкалы для кровотоков

69 из 111) раздражения продолговатого мозга возникало увеличение кровотока в печеночной артерии (K_{pa}) на 22—41 % (см. рис. 3, а), которое происходило на фоне повышения АД. Наиболее выраженные реакции увеличения K_{pa} наблюдали при раздражении мелкоклеточного и вентрального ретикулярных ядер (соответственно на 41 % и 37 % исходных значений). Уменьшение K_{pa} на 14—30 % происходило на фоне снижения и повышения АД. Самое значительное уменьшение кровотока в печеночной артерии вызывало раздражение области ядра солитарного тракта (—30 %) и мелкоклеточного ретикулярного ядра (—27 %).

Электростимуляция большинства медуллярных образований вызывала увеличение кровотока в воротной вене (K_{vv}) на 20—29 % исходного значения (см. рис. 2). Исключение составило лишь ретикулярное мелкоклеточное ядро, во время раздражения которого кровоток в воротной вене увеличивался гораздо сильнее — в среднем на 48 % (см. рис. 3, д). Уменьшение портального кровотока наблюдалось в 44 % случаев раздражения продолговатого мозга (см. рис. 1); во время стимуляции ретикулярных ядер K_{vv} уменьшался на 21—24 %, еще меньшими были ответы на раздражение ядра солитарного тракта (—10 %).

Исходные значения сопротивления сосудов печени и мезентериальных органов составляли соответственно: бассейн печеночной артерии и внутривенечный отдел воротной вены — $(5,73 \pm 0,38)$ и $(0,054 \pm 0,003)$ гПа·мин/мл·100 г, брыжеечные сосуды — $(0,28 \pm 0,02)$ гПа·мин/мл. Средние изменения этих показателей в ответ

на раздражение струи

рис. 4.

Сопротивление арт

половине случаев разд

лось в среднем на 32 %

никак при раздражении

Уменьшение C_{pa} слабо

Сопротивление вор

продолговатого мозга

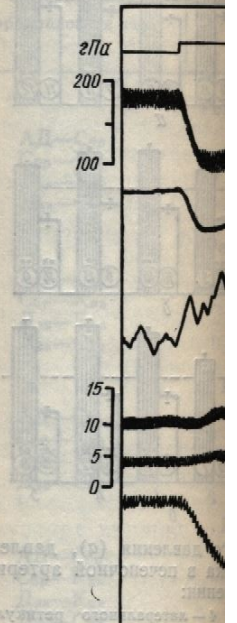


Рис. 2. Влияние раздражени

Сверху вниз: отметка раздражени

ри, кровоток в воротной вене, д

ава — шкалы для давлений, сп

шим эффектом от ст (+32 %). В 60 случаях значительная и статистически раздражения ядра мелкоклеточного ядра (образований вызывало) уменьшение C_{vv} .

На рис. 4 видно, что входит наиболее выраженный судов (C_{bp}). В 61 случае бульбарных образований уве тельный эффект ока латерального ретикуляри а в отдельных опытах — мент которого представ гантоклеточного ядра на 60 % увеличивало сопротивление внутрипи повышалось при этом значительное уменьшение солитарного тракта (—31 %). Стимуляция

60%). Снижение АД на 16% стимуляции ядра солитарного ($D_{\text{вв}}$) во время раздражения случаях из 108 на 20—29% амплитуде (6—7%) и статистически значительное снижение $D_{\text{вв}}$ в среднем на 10% при раздражении продолговатого мозга были изменения давления в задней полой вене.

Раздражение структур продолговатого мозга вызывало в основном слабо выраженные изменения кровотока в печеночной артерии. На рис. 3 представлены средние значения изменений всех исследуемых показателей кровообращения при раздражении различных образований продолговатого мозга. В большей части случаев (в

Рис. 1. Изменения кровообращения в печени при раздражении ретикулярного гигантоклеточного ядра (4 В; 0,07 мА). Сверху вниз: отметка раздражения, артериальное давление, скорость кровотока в печеночной артерии, кровоток в воротной вене, давление в воротной и задней полой венах. Слева — шкалы для давлений, справа — шкалы для кровотоков.

мозга возникало увеличение АД на 22—41% (см. рис. 3, в), АД. Наиболее выраженные раздражении мелкоклеточных (соответственно на 41% и на 14—30%) происходило значительное уменьшение раздражение области ядра ретикулярного ядра

уллярных образований вынене ($K_{\text{вв}}$) на 20—29% исчезновение составило лишь ретикулодиздражения которого кровотока сильнее — в среднем на 10% кровотока наблюдалось этого мозга (см. рис. 1); во уменьшался на 21—24%, ядра солитарного тракта

сосудов печени и мезентериального бассейна печеночной артерии — $(5,73 \pm 0,38)$ и брыжеечные сосуды — $(0,28 \pm 0,05)$ этих показателей в ответ

на раздражение структур продолговатого мозга представлены на рис. 4.

Сопротивление артериальных сосудов печени ($C_{\text{па}}$) более, чем в половине случаев раздражения бульбарных образований увеличивалось в среднем на 32%, причем наиболее значительный эффект возникал при раздражении ретикулярного мелкоклеточного ядра (+38%). Уменьшение $C_{\text{па}}$ слабо выражено и статистически недостоверно.

Сопротивление воротных сосудов печени ($C_{\text{вв}}$) при раздражении продолговатого мозга увеличивалось в среднем на 27%, с наиболь-

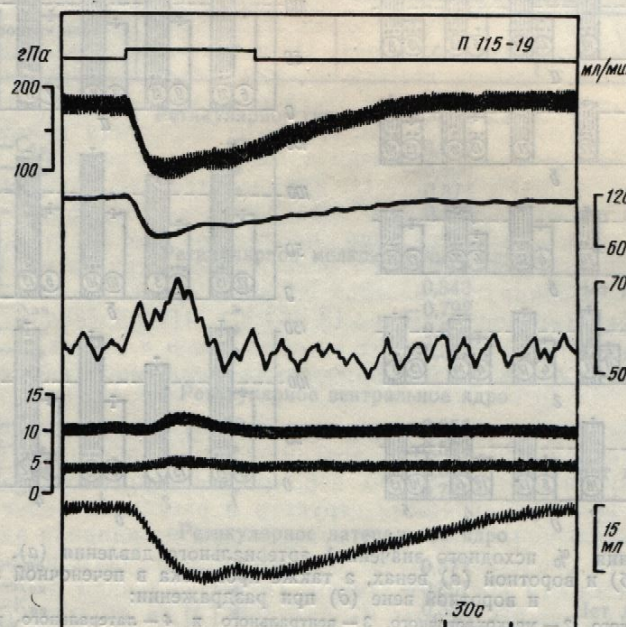


Рис. 2. Влияние раздражения области ядра солитарного тракта на кровообращение в печени (3,5 В; 0,05 мА).

Сверху вниз: отметка раздражения, артериальное давление, скорость кровотока в печеночной артерии, кровоток в воротной вене, давление в воротной и задней полой венах, реограмма печени. Слева — шкалы для давлений, справа: вверху — шкалы для кровотоков, внизу — шкала реограммы

шим эффектом от стимуляции ретикулярного вентрального ядра (+32%). В 60 случаях из 110 отмечалось уменьшение $C_{\text{вв}}$. Самая значительная и статистически значимая реакция наблюдалась во время раздражения ядра солитарного тракта (-31%) и ретикулярного мелкоклеточного ядра (-28%). Раздражение остальных медуллярных образований вызывало слабое (-17%) и статистически недостоверное уменьшение $C_{\text{вв}}$.

На рис. 4 видно, что раздражение продолговатого мозга оказывает наиболее выраженное влияние на сопротивление брыжеечных сосудов ($C_{\text{бр}}$). В 61 случае из 111 электростимуляция изучаемых бульбарных образований увеличивала $C_{\text{бр}}$ на 43—52%. Наиболее значительный эффект оказывало раздражение гигантоклеточного и латерального ретикулярных ядер: $C_{\text{бр}}$ увеличивалось в среднем на 52%, а в отдельных опытах — почти в два раза. Так, во время опыта, фрагмент которого представлен на рис. 1, раздражение ретикулярного гигантоклеточного ядра наряду с повышением артериального давления на 60% увеличивало сопротивление брыжеечных сосудов на 83%, сопротивление внутрипеченочных артериальных и воротных сосудов повышалось при этом слабо (соответственно на 25 и 12%). Самое значительное уменьшение $C_{\text{бр}}$ наблюдалось при раздражении ядра солитарного тракта (-34%) и ретикулярного мелкоклеточного ядра (-31%). Стимуляция других образований продолговатого мозга вы-

зывала слабое уменьшение сопротивления брыжеечных сосудов, которое для гигантоклеточного и центрального ретикулярных ядер было статистически незначимым.

Сравнение изменений некоторых показателей гемодинамики при раздражении продолговатого мозга позволило предположить существование тесной их взаимосвязи. Для проверки этого предположения мы провели корреляционный анализ, результаты которого приведены

в анатомии мозга, вызваны кровотока, а последние в жечевых сосудах. И только ядра можно гов активные сосудов двигателевой системы.

Коэффициенты корреляции и вызванных раз

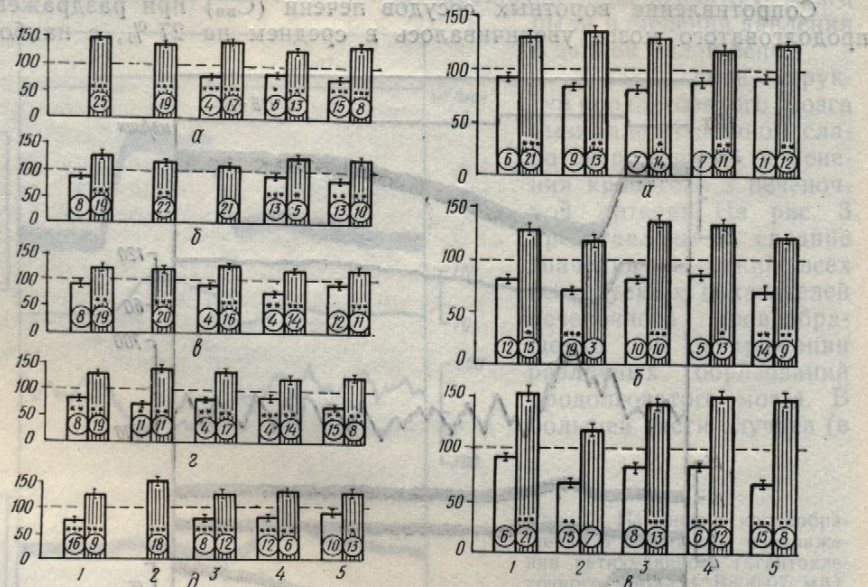


Рис. 3. Изменения (% исходного значения) артериального давления (а), давления в задней полой (б) и воротной (в) венах, а также кровотока в печеночной артерии (г) и воротной вене (д) при раздражении:

1 — гигантоклеточного, 2 — мелкоклеточного, 3 — центрального и 4 — латерального ретикулярных ядер, а также 5 — области ядра солитарного тракта. Вертикальные линии на вершине столбиков — ошибка среднего ($\pm m$). Достоверность реакций * <0,05; ** <0,01; *** <0,001. Цифры в кружках — число наблюдаемых реакций.

Рис. 4. Изменения сосудистого сопротивления печеночной артерии (а), внутрипеченочных ветвей воротной вены (б) и брыжеечных сосудов (в) при раздражении различных образований продолговатого мозга,

Условные обозначения те же, что и на рис. 3.

в таблице. Обнаружена достоверная зависимость изменений артериального давления и сопротивления брыжеечных сосудов, вызванных раздражением большинства изучаемых образований продолговатого мозга. Это указывает на то, что брыжеечные сосуды (в результате изменения их тонуса во время раздражения продолговатого мозга) принимают активное участие в возникающих при этом сдвигах системного АД.

Корреляционный анализ выявил также достоверную зависимость изменений сопротивления брыжеечных сосудов и кровотока в воротной вене при раздражении всех изучаемых нами структур продолговатого мозга. Это говорит о том, что изменения портального кровотока определяются прежде всего реакциями брыжеечных сосудов. Сдвиги давления в воротной вене, как свидетельствуют данные таблицы, во время раздражения гигантоклеточного и мелкоклеточного ретикулярных ядер, а также ядра солитарного тракта находились в тесной зависимости от изменений К_{вв}, но не сопротивления внутрипеченочных воротных сосудов. Достоверная корреляция изменений Д_{вв} и С_{вв} установлена лишь для случаев стимуляции ретикулярного центрального ядра.

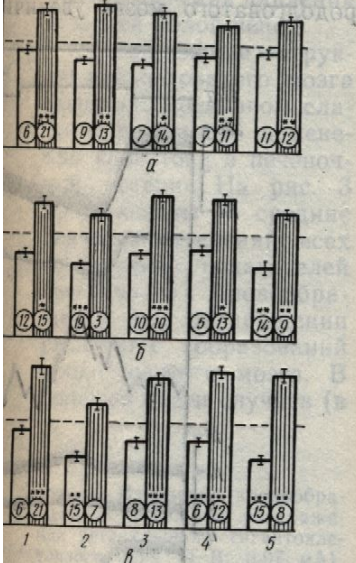
На основании этих данных можно сделать вывод, что сдвиги давления в воротной вене, наблюдавшиеся во время раздражения продолго-

ватого мозга, вызваны кровотока, а последние в жечевых сосудах. И только ядра можно гов активные сосудов двигателевой системы.

Объем крови, содержащийся в норме в предел среднем ($28,1 \pm 0,6$) мл/100 зований продолговатого мозга печени на 15—23 %. И находящаяся в печени гигантоклеточного и мелкок объема крови в печени, вы га, происходило на фоне тока в печеночной артерии том, что уменьшение крове раздражение, так же как зависит от объема притек роятно, сужением ёмкости Пути передачи влияни щью хирургической и фар ных органов и их сосудов. 0,2 мг/кг), ни двустороння венного влияния на измене портальном русле и в бас

ния брыжеечных сосудов, когда ретикулярных ядер было

оказателей гемодинамики при волю предположить существование этого предположения результаты которого приведены



иального давления (a), давления в кровотока в печеночной артерии (b) при раздражении:

ноги и 4 — латерального ретикулярных ядер на вершине столбиков — <0,01; *** <0,001. Цифры в кружках — акции.

артерии (a), внутрипеченочных (b) при раздражении различных ядер мозга, то и на рис. 3.

симость изменений артериальных сосудов, вызванных образований продолговатого мозга (в результате изменения продолговатого мозга) при этом сдвигах системно-

же достоверную зависимость сосудов и кровотока в воротных нами структур продольного изменился портального кциями брыжеечных сосудов. Помимо данных табличного и мелкоклеточного реального тракта находились в тесном сопротивления внутрипеченочного тракта изменил изменений Д_{вв} и ядер ретикулярного вентиляции

вать вывод, что сдвиги давления раздражения продольного

ваторного мозга, вызваны преимущественно изменениями воротного кровотока, а последние в свою очередь обусловлены реакциями брыжеечных сосудов. И только в случае раздражения ретикулярного вентрального ядра можно говорить о том, что причина изменений Д_{вв} — активные сосудодвигательные реакции внутрипеченочной части портальной системы.

Коэффициенты корреляции изменений показателей печеночного кровообращения, вызванных раздражением ядер продолговатого мозга

Корреляционная пара	Статистический показатель	
	n	P
Ретикулярное гигантоклеточное ядро		
АД—Сбр	27	0,640 <0,01
Сбр—К _{вв}	»	-0,800 <0,01
Д _{вв} —К _{вв}	»	0,577 <0,05
Д _{вв} —Сбр	»	0,123 Нет достоверности
Ретикулярное мелкоклеточное ядро		
АД—Сбр	20	0,343 Нет достоверности
Сбр—К _{вв}	»	-0,792 <0,001
Д _{вв} —К _{вв}	»	0,558 <0,05
Д _{вв} —Сбр	»	0,312 Нет достоверности
Ретикулярное вентральное ядро		
АД—Сбр	20	0,655 <0,01
Сбр—К _{вв}	»	0,529 <0,05
Д _{вв} —К _{вв}	»	0,014 Нет достоверности
Д _{вв} —Сбр	»	0,781 <0,01
Ретикулярное латеральное ядро		
АД—Сбр	18	0,577 <0,05
Сбр—К _{вв}	»	-0,897 <0,001
Д _{вв} —К _{вв}	»	0,387 Нет достоверности
Д _{вв} —Сбр	»	0,351 »
Ядро солитарного тракта		
АД—Сбр	23	0,914 <0,001
Сбр—К _{вв}	»	-0,860 <0,001
Д _{вв} —К _{вв}	»	0,770 <0,01
Д _{вв} —Сбр	»	0,250 Нет достоверности

Объем крови, содержащейся в печени подопытных животных, находился в норме в пределах 25,6—32,5 мл/100 г печени, составляя в среднем ($28,1 \pm 0,6$) мл/100 г. Во время раздражения изучаемых образований продолговатого мозга происходило уменьшение кровенаполнения печени на 15—23 %. Наиболее существенное уменьшение объема находящейся в печени крови (на 23 %) вызывало раздражение гигантоклеточного и мелкоклеточного ретикулярных ядер. Уменьшение объема крови в печени, вызванное раздражением продолговатого мозга, происходило на фоне как уменьшения, так и увеличения кровотока в печеночной артерии и воротной вене. Это свидетельствует о том, что уменьшение кровенаполнения печени в ответ на медуллярное раздражение, так же как и при стимуляции гипоталамуса [10], не зависит от объема притекающей к печени крови и обусловлено, вероятно, сужением ёмкостных сосудов печени.

Путь передачи влияний с продолговатого мозга изучали с помощью хирургической и фармакологической блокады иннервации чревных органов и их сосудов. Ни внутривенное введение атропина (0,1—0,2 мг/кг), ни двусторонняя шейная vagotomy не оказывали существенного влияния на изменения кровотока и сопротивления сосудов в портальном русле и в бассейне печеночной артерии, а также на ре-

акции кровенаполнения печени. Мало эффективным было введение в воротную вену или печеночную артерию β-адреноблокатора индерала (3—5 мг). И только введение α-адреноблокаторов фентоламина или дигидроэрготоксина (10—20 мг) уменьшало на 50—80 %, а в некоторых случаях снимало полностью или даже извращало реакции внутривеночных сосудов в ответ на раздражение продолговатого мозга.

Данные, полученные в настоящей работе, частично согласуются с результатами немногочисленных исследований других авторов. Так, было установлено [3], что раздражение ретикулярных ядер продолговатого мозга наряду с выраженным повышением системного АД (на 47—58 %) вызывает очень слабые изменения кровотока в печени (на 1,5—4,1 % исходных значений). Несколько большие значения реакций кровотока в наших опытах можно объяснить, вероятно, тем, что мы регистрировали кровоток отдельно в печеночной артерии и в воротной вене, а автор цитируемой работы определял изменения общего тканевого кровотока в печени с помощью термозонда. По данным других исследователей [2, 4], которые для регистрации реакций брыжеечных сосудов применили методику резистографии, во время раздражения различных структур продолговатого мозга происходит увеличение сопротивления сосудов в исследуемом русле на 18—95 %. В наших исследованиях увеличение сопротивления брыжеечных сосудов было несколько меньшим (+18—52 %). Наиболее значительный эффект как в опытах приведенных авторов, так и в наших экспериментах был получен во время раздражения ретикулярного гигантоклеточного ядра.

Тот факт, что раздражение продолговатого мозга вызывает выраженные изменения системного артериального давления и слабые — кровообращения в печени, можно, вероятно, объяснить тем, что в связи с важной ролью бульбарных структур в регуляции тонуса и рефлекторной деятельности скелетной мускулатуры их влияния адресуются сосудистой сети скелетных мышц больше, чем сосудам висцеральных органов, в частности сосудам печени. Подтверждением этого предположения могут служить опыты Вышатиной [3], в которых раздражение ретикулярных ядер продолговатого мозга наряду со слабым влиянием на печеночный кровоток оказывало значительное (примерно в 8 раз более сильное) воздействие на кровоток в скелетной мускулатуре.

Итак, на основании изложенного выше можно заключить, что раздражение продолговатого мозга наряду с выраженным сдвигами системного артериального давления вызывает значительные изменения тонуса брыжеечных сосудов и более слабые — сосудов печени, осуществляемые через α-адренергическую симпатическую иннервацию.

Р. И. Янчук, В. А. Цыбенко

CHANGES OF THE HEPATIC CIRCULATION DURING STIMULATION OF THE MEDULLA OBLONGATA

Pressure in the carotid artery, portal and posterior caval veins and blood flow in the hepatic artery and portal veins were registered in acute experiments on dogs under nembutal anaesthesia by electromanometer and electromagnetic flowmeter. Electrical stimulation of different bulbar points (nucleus tractus solitarius, reticular nuclei) induced considerable changes of the mesenteric vascular resistance and much lesser reactions of the intrahepatic arterial and portal vessels. The changes of liver blood volume were also insignificant, although all these reactions were accompanied by considerable elevation of arterial blood pressure. Vasomotor medullary structures influenced the resistive and capacitance vessels of the liver less than the resistive vessels of gastrointestinal tract and some other vascular beds.

Institute of Physiology of the University, Kiev

Физiol. журн., 1986, т. 32, № 4

1. Бекетаев А. М., Ким Т кулярной формации при // Центральная регуляция Волгоград, 1977. — С. 1.
2. Вальдман А. В. Функции гуляции системного артериального давления // Нейрофармакология при инф. мед. ин-та, 1969.
3. Вышатина А. И. Изменение ретикулярных сосудов // Журн. СССР. — 1970. — № 9.
4. Ковалев Г. В. Изучение артериальной регуляции системного тонуса: Автореф. дис. Кривецкая И. П. Изменение рефлекторных и гуморальных явлений // СССР. — 1973. — № 9.
5. Хаотин В. М. Сосудодействие // Пробл. физиологии. — 1984. — № 6.
6. Хаотин В. М. Сосудодействие // Пробл. физиологии. — 1984. — № 6.
7. Цыбенко В. А. Богачение // Пробл. физиологии. — 1984. — № 6.
8. Цыбенко В. А. Янчук // Пробл. физиологии. — 1984. — № 6.
9. Цыбенко В. А. Янчук // Пробл. физиологии. — 1984. — № 6.
10. Янчук П. И. Изучение // Пробл. физиологии. — 1984. — № 6.
11. Carniero J. J. Donald during direct and reflex control of the heart // J. Physiol. — 1960. — N 2. — P. 150—158.
12. Lim R., Liu Ch., Moffat J. A. // J. Physiol. — 1960. — N 2. — P. 150—158.
13. Киев. ун-т им. Т. Г. Шевченко. МВССО УССР том 1. Биохимия. — 1960. — № 1. — 1960.
14. УДК 616—005.1+612.223.1:612.22.01.

ВЛИЯНИЕ УСЛОВНО-КОМПЕНСАТОРНЫХ СИГНАЛОВ НА ХРОНИЧЕСКОЙ

Вопросы, связанные с особенностями транспортных систем, имеют важное значение в практической практике. В частности, определение и детализация функций организма кислородом, потерянного организмом, остается относительно недостаточно.

В литературе основное внимание уделяется реакциям на повышение концентрации кислорода в крови [6, 14], хотя логично предполагать, что и снижение концентрации кислорода может влиять на деятельность организма. Следует отметить, что в условиях кислородного гипоксии, кроме повышения концентрации кислорода в крови, существуют факторы, способствующие развитию гипоксии. Одним из таких факторов является снижение концентрации кислорода в тканях организма, что может быть обусловлено различными причинами, включая снижение кровообращения, нарушение дыхания и т. д.

Физiol. журн., 1986, т. 32

эффективным было введение в о β -адреноблокатора индерала блокаторов фентоламина или шало на 50—80 %, а в неко- даже извращало реакции внут- ражние продолговатого мозга, работе, частично согласуются с дований других авторов. Так, ретикулярных ядер продолго- повышением системного АД изменения кровотока в печени сколько большие значения ре- но объяснить, вероятно, тем, но в печеночной артерии и в оты определял изменения об- омощью термозонда. По дан- рые для регистрации реакций резистографии, во время продолговатого мозга происходит ледуемом русле на 18—95 %. противления брыжеечных сосу- (%). Наиболее значительный в, так и в наших эксперимен- ретикулярного гигантоклеточ-

шатого мозга вызывает выра- льного давления и слабые — но, объяснить тем, что в свя- в регуляции тонуса и реф- атуры их влияния адресуются е, чем сосудам висцеральных одтверждением этого предполо- [3], в которых раздраже- мозга наряду со слабым зало значительное (примерно кровоток в скелетной муску-

е можно заключить, что раз- с выраженным сдвигами зает значительные изменения абы — сосудов печени, осу- матическую иннервацию.

CIRCULATION DURING LA OBLONGATA

erior caval veins and blood flow in acute experiments on dogs under electromagnetic flowmeter. Electrical resistance and much lesser reactions changes of liver blood volume were accompanied by considerable elevations of resistive vessels of gastrointestinal tract and hepatic veins. (Table 3.)

1. Бекетаев А. М., Ким Т. Д., Гареев Р. А. Влияние переднего гипоталамуса и ретикулярной формации продолговатого мозга на лимфо- и гамодинамику в кишечнике // Центральная регуляция кровообращения: Материалы III Всесоюз. симпоз. — Волгоград, 1977. — С. 17—21.
2. Вальдман А. В. Функционально-морфологическое и фармакологическое изучение ре- гуляции системного артериального давления и регионарного сосудистого тонуса // Нейрофармакология процессов центрального регулирования. — Л.: Изд-во 1-го Ленингр. мед. ин-та, 1969. — С. 266—280.
3. Вышатина А. И. Изменения регионарного кровотока при электрической стимуляции ретикулярных сосудодвигательных образований продолговатого мозга // Физiol. журн. СССР. — 1970. — № 5. — С. 733—741.
4. Ковалев Г. В. Изучение действия нейротропных средств на различные уровни цен- тральной регуляции системного артериального давления и регионарного сосудисто- го тонуса: Автореф. дис. ... д-ра мед. наук. — Л., 1970. — 24 с.
5. Кричевская И. П. Изменения объема оттекающей от печени крови при некоторых рефлекторных и гуморальных воздействиях на кровообращение // Физiol. журн. СССР. — 1973. — № 9. — С. 1422—1428.
6. Яхутин В. М. Сосудодвигательные рефлексы. — М.: Наука, 1964. — 376 с.
7. Цыбенко В. А., Богач П. Г. Гипоталамический контроль воротного кровообраше- ния // Пробл. физиологии гипоталамуса. — 1982. — Вып. 16. — С. 28—35.
8. Цыбенко В. А., Янчук П. И., Симоненко П. Н. Применение импедансной плетизмогра- фии для изучения депонирующей функции печени в остром опыте // Физiol. журн. — 1984. — № 6. — С. 756—758.
9. Цыбенко В. А., Янчук П. И., Смирнова Л. А., Егорова Л. С. Взаимоотношения между изменениями давления, кровотока и сосудистого сопротивления в порталь- ной системе печени при раздражении гипоталамуса // Пробл. физиологии гипота- ламуса. — 1984. — Вып. 18. — С. 88—92.
10. Янчук П. И. Изучение гипоталамической регуляции депонирующей функции пече- ни // Физiol. журн. — 1983. — № 5. — С. 631—633.
11. Carniero J. J., Donald D. E. Change in liver blood flow and blood content in dogs during direct and reflex alteration of hepatic nerve activity // Circul. Res. — 1977. — 40, N 2. — P. 150—158.
12. Lim R., Liu Ch., Moffit R. A stereotaxic atlas of the dog's brain. — Springfield, 1960. — 94 p.

Поступила 13.06.85
МВССО УССР
[10] видетай модотаифим — [Нq] иефи ялонк хим-
стасыч модотем — мотаифимде [10] тенесиД оп) ииаэнтимоволофтимефт — па-
лынокс тоғасыР [8] алғФ модотем — (Ф) ииаэнтимоволофтимефт — [10] ал-
УДК 616—005.1+612.223.1;612.22.02+612.235
[8] ииаэнтимоволофтимефт — ииаэнтимоволофтимефт — [10] ииаэнтимоволофтимефт

Е. В. Розова

ВЛИЯНИЕ УСЛОВИЙ СРЕДНЕГОРЬЯ НА РАЗВИТИЕ КОМПЕНСАТОРНЫХ РЕАКЦИЙ ОРГАНИЗМА ПРИ ОСТРОЙ И ХРОНИЧЕСКОЙ КРОВОПОТЕРЕ С КРОВЕЗАМЕЩЕНИЕМ

Вопросы, связанные с изучением развития гипоксических состояний и особенностей транспорта кислорода в организме в различных усло- виях, имеют важное значение для физиологии как науки и для клини- ческой практики. В частности, значительный интерес представляют определение и детальное изучение изменений, происходящих в обеспе- чении организма кислородом при кровопотере с последующим возмеще- нием потерянного объема крови с помощью кровезаменителей, что остается относительно мало изученным.

В литературе основное внимание при исследовании кровопотери уделяется реакциям сердечно-сосудистой системы и системы крови [6, 14], хотя логично предположить, что массивная кровопотеря должна повлиять на деятельность всех систем, участвующих в снабжении организма кислородом. Следует отметить, что при значительной кровопотере с кровезамещением сохраняются предпосылки для развития гипок- сического состояния гемического типа, что связано со снижением обще- го количества гемоглобина в крови и уменьшением ее кислородной емкости. Поэтому для коррекции возникающих нарушений можно использовать факторы, активизирующие эритропоэз, в частности пре- бывание в условиях среднегорья. Данные об этом в литературе от-сутствуют, что определило выбор цели настоящей работы — изучение развития гипоксического состояния при кровопотере с последующим кровезамещением в условиях среднегорья.

Методика

Изучение развития гипоксического состояния при острой и хронической кровопотере в условиях среднегорья (2100 м над уровнем моря) проведено на 30 белых лабораторных крысах-самцах массой 130—200 г с применением хлоралозо-уретапового наркоза (5 мг хлоралозы и 50 мг уретана на 100 г массы тела) и антикоагулянта (10 ед. гепарина на 100 г массы тела). При моделировании острой кровопотери у крыс после оперативного вмешательства (трахеотомия, катетеризация сонной артерии и устья полых вен) в течение 3—4 мин отбирали из венозного катетера 10—15 % (I серия) или 25—30 % (II серия) общего объема циркулирующей крови (ОЦК), который принимали за соответствующий 7—10 % массы тела животного [9], затем возмещали экспериментальную острую потерю крови кровезаменителем геоссеном, обладающим гемодинамическим эффектом и не имеющим видовой специфичности [14]. В III серии исследований при моделировании хронической кровопотери у животных трижды в течение двух недель из разогретого кончика хвоста выпускали до 10 % ОЦК (это суммарно составляло около 30 % за весь указанный период) и возмещали выпущенный объем крови введением через хвостовую вену кровезаменителя геоссена.

Животных обследовали до кровопотери (исходное состояние), через 30 мин после окончания кровезамещения при острой и через 1 сут после последнего кровезамещения при хронической кровопотере. Определение основных параметров, характеризующих функцию внешнего дыхания: частоту дыхания (f), дыхательный объем (V_t), минутный объем дыхания (V_E) — осуществляли с помощью метода, разработанного в отделе по изучению гипоксических состояний Института физиологии им. А. А. Богоявленского АН УССР, для мелких лабораторных животных, основанного на измерении перепада давления на пневмосопротивлении, включенном в дыхательную цепь. Анализ газового состава выдыхаемого и альвеолярного газов осуществляли на масс-спектрометре типа МХ-6202. Напряжение O_2 в артериальной (a) и смешанной венозной (v), а также крови из кончика хвоста определяли полярографически; концентрацию водородных ионов крови (pH) — микрометодом Аструпа [16]; содержание гемоглобина в крови — фотоэлектроколориметрически (по Дервижу [3]); эритроцитов — методом Розенталя [13]; минутный объем кровообращения (Q) — методом Фика [2]. Расчет основных параметров, характеризующих транспорт кислорода в организме, производился общепринятым способом [10]. Полученные данные обработаны статистически [8].

Результаты и их обсуждение

Исследования показали (рис. 1), что при острой кровопотере, составляющей около 10 % ОЦК, отмечается достоверное уменьшение (на 14,8 %) общего количества гемоглобина в крови ($P < 0,05$) и, как следствие, снижение (в среднем 10,9 %) ее кислородной емкости (КЕ; $P < 0,05$). Эритропоэз в этом случае не нарушался. Обнаружено даже некоторое (в среднем на 8 %) увеличение числа эритроцитов в опыте по сравнению с контролем, что, вероятно, указывает на ускорение их продуцирования в условиях среднегорья [1] и (или) увеличение выброса депонированных эритроцитов [5, 9] с целью компенсации. Как известно [4, 7], молодые формы эритроцитов содержат относительно меньшее количество гемоглобина. Поэтому подобная компенсация малоэффективна и создавала предпосылки для развития гипоксического состояния гемического типа. Это с одной стороны.

С другой — в функции внешнего дыхания происходили изменения, явно направленные на увеличение доставки O_2 в организм. Так, значительно возрастал минутный объем дыхания (рис. 2), что на 70,5 % увеличивало количество O_2 , вентилируемого в легких (рис. 3). Указанные изменения осуществлялись наименее экономичным путем, т. е. рост V_E был преимущественно обусловлен повышением частоты дыхания ($P < 0,05$) и значительно меньше (см. рис. 2) — дыхательного объема ($P > 0,1$). Эффективность внешнего дыхания не претерпевала существенных изменений: значение отношения альвеолярной вентиляции к минутному объему дыхания незначительно ($P > 0,1$) возрастало (с 53,5 % ± 8,9 % до 66,6 % ± 3,8 %), поэтому резкое увеличение (в сред-

нем в 2,3 раза) альвеолярной вентиляции легких осуществлялось путем, все же данного транспорта O_2 (см. количества O_2 , доставляемые препятствовало развитию (paO_2 соответствовало з высоте 2100 м над уровнем моря) содержание O_2 в артери

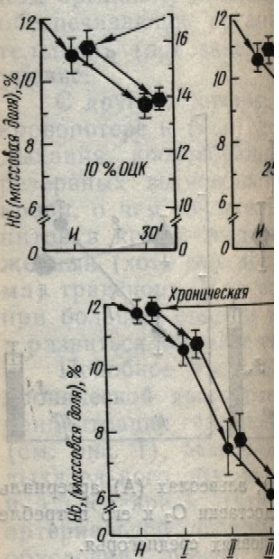


Рис. 1. Изменение концентрации гемоглобина в крови (КЕ; объемная доля) и гемоглобина в крови (% Hb) при острой кровопотере, составляющей 10 % ОЦК

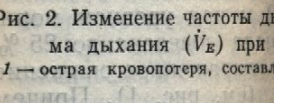


Рис. 2. Изменение частоты дыхания (f) и минутного объема дыхания (V_E) при острой кровопотере, составляющей 10 % ОЦК

Поэтому нормальное сопротивление дыханию может быть осуществлено лишь при достаточном объеме кровотока, тем более, что в условиях среднегорья гемоглобин в гемоглобине был выраженными. Показано, что при острой кровопотере, составляющей 10 % ОЦК, содержание гемоглобина в крови было относительно высоким, но его потребление превышало его потребление. Гипервентиляция приводила к дальнейшему развитию гипоксии. В условиях среднегорья, когда гемоглобин в крови был высоким, гипоксия могла быть компенсирована путем увеличения минутного объема дыхания и кровообращения.

при острой и хронической кровопотере (в условиях замещения объема циркулирующей крови ОЦК) проведено на 30 белых крысах (массы тела 10—15 % (I серия) и антикоагулянта (II серия) или катетеризация сонной артерии (III серия). Кровопотери у животных трижды в суммарном объеме до 10 % ОЦК (этот период) и замещали выпущенный из животного [9], затем возмещали геоссеном, обладающим специфичностью [14]. В III серии кровопотери у животных трижды в суммарном объеме до 10 % ОЦК (этот период) и замещали выпущенный из животного [9], затем возмещали геоссеном, обладающим специфичностью [14].

через 30 мин появлялись признаки острой кровопотери, характеризующиеся снижением основных параметров, характеризующих дыхательную цепь. Анализ осуществлялся на масс-спектрометре (a) и смешанной венозной (v), радиоактивной концентрации водород-1 (b), содержание гемоглобина в кро-эритроцитах — методом Розенталя Фика [2]. Расчет основных параметров организма, производился общепринятыми статистическими методами.

Результаты

При острой кровопотере, достоверное уменьшение гемоглобина в крови ($P < 0,05$) и, как правило, кислородной емкости крови (KE) наблюдалось. Обнаружено даже исчезновение эритроцитов в опыте, что приводило к ускорению их разрушения (или) увеличение выделению компенсации. Как правило, содержание относительно подобная компенсация — развитие гипоксического респираторного дыхания.

При острой кровопотере, несмотря на то что на 70,5 % легких (рис. 3). Указанное путем, т. е. ростом частоты дыхания — дыхательного объема не претерпевала существенное увеличение (в сред-

нем в 2,3 раза) альвеолярной вентиляции (V_A) происходило из-за роста общей вентиляции легких. Несмотря на то, что изменения внешнего дыхания осуществлялись относительно малоэкономичным и малоэффективным путем, все же достигалось значительное увеличение альвеолярного транспорта O_2 (см. рис. 3). Это свидетельствовало о повышении количества O_2 , доставляемого к газообменной поверхности легких, что препятствовало развитию и нарастанию артериальной гипоксемии (p_aO_2 соответствовало значениям, характерным для пребывания на высоте 2 100 м над уровнем моря). Вследствие сниженной KE крови, содержание O_2 в артериальной крови также оказывалось уменьшенным.

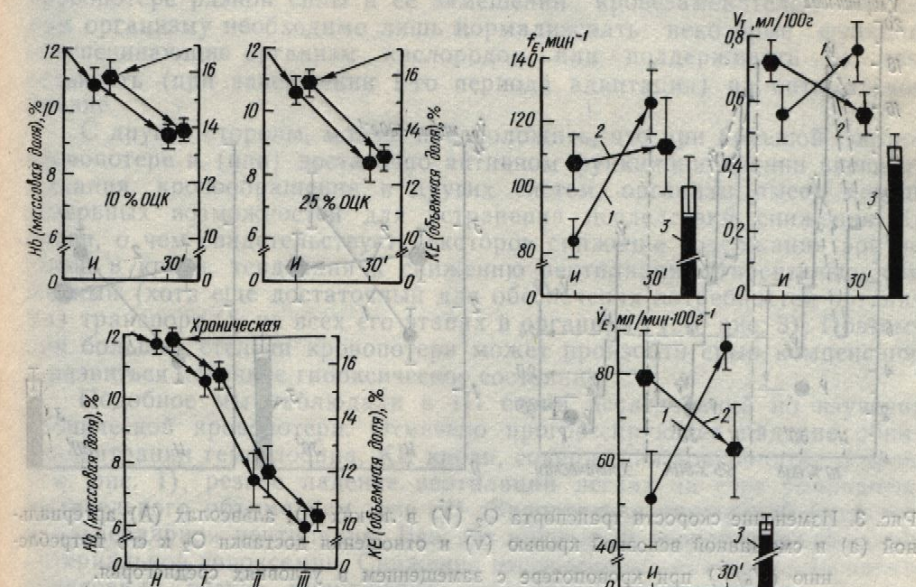


Рис. 1. Изменение концентрации гемоглобина (Hb; массовая доля, %) и кислородной емкости крови (KE; объемная доля, %) при кровопотере с замещением объема циркулирующей крови (ОЦК) в условиях среднегорья:
I — исходное состояние; 30' — срок острой кровопотери; I, II, III — этапы моделирования хронической кровопотери.

Рис. 2. Изменение частоты дыхания (f_B), дыхательного объема (V_T) и минутного объема дыхания (\dot{V}_E) при кровопотере с замещением в условиях среднегорья:
1 — острая кровопотеря, составляющая 10 % ОЦК; 2 — 25 % ОЦК; 3 — хроническая кровопотеря.

Поэтому нормальное снабжение кислородом тканей организма могло быть осуществлено лишь при условии достаточно высокой скорости кровотока, тем более, что при такой кровопотере и ее замещении геоссеном был выраженный рост потребления O_2 ($\dot{V}O_2$) (рис. 4). Исследования показали, что минутный объем кровообращения у животных составлял (на 100 г массы тела) в среднем 58,5 мл/мин, что обеспечивало относительно высокий артериальный транспорт O_2 . Доставка O_2 превышала его потребление в 2,4 раза (см. рис. 3), т. е. отсутствовали явления тканевой гипоксии [12].

Гипервентиляция приводила к повышенному вымыванию CO_2 , способствующему развитию гипокапнии: p_aCO_2 снижалось с 53,7 гПа ± 3,8 гПа до 38,0 гПа ± 5,3 гПа или (40,4 ± 2,9) мм рт. ст. до (28,6 ± 4,0) мм рт. ст.

В условиях среднегорья острая кровопотеря с замещением, составляющая 10 % общего ОЦК, не сопровождалась развитием гипоксического состояния, как такового, несмотря на наличие гемического компонента ожидаемой гипоксии, в частности снижения KE крови. Это достигалось с помощью напряженного функционирования систем внешнего дыхания и кровообращения.

Острую кровопотерю в данной серии исследований изучали на 6-е сутки пребывания в условиях гор, где значения основных параметров, характеризующих функцию внешнего дыхания, транспорт O_2 в организме, были существенно ниже, чем в условиях равнины [15]. Вероятно, период адаптации у животных еще не кончился, а компенсаторные реакции организма нормализовали значения изучаемых показателей. В связи с этим можно предположить, что после завершения 1-го периода адаптации, реакция организма на кровопотерю была бы менее выраженной. Подтверждение — серия исследований, проведенных на животных

вится очевидным, что сохраняется относительное требление (значение рис. 3), и тканевая гипоксия.

Таким образом, развития выраженного достигалось за счет ряда физиологических изменений деятельности с одной стороны; предупреждения кровопотери разной степени организму обеспечивающие организованность (при завершение уровня).

С другой стороны кровопотере и (или) дыхания, кровообращения резервных возможностей крови, о чем свидетельствует в крови, тенденция (хотя еще до конца) транспорт O_2 на организм при большей степени и развитии истинного.

Подобное мы находим при хронической кровопотере концентрации гемоглобина (см. рис. 1), резкое снижение дыхательного объема и альвеолярная вентиляция артериальной гипоксии обусловило резкое уменьшение потребления O_2 (рис. 3). И хотя отношение доставки O_2 к его потреблению (рис. 3) соответствовало 1,6 (т. е. вторичной тканевой гипоксии), потребление O_2 (см. рис. 4), каких-то первичных нарушений не было.

При анализе подъема на высоту 2100 м над уровнем моря, в которой острая кровопотеря с замещением была доведена до 25 % ОЦК. В этом случае отмечали несколько более выраженное снижение общей концентрации гемоглобина и КЕ крови (см. рис. 1). Причем содержание эритроцитов поддерживалось лишь близким к исходному значению. Вероятно, можно предположить, что за счет выброса депонированной крови и продуцирования молодых эритроцитов при такой кровопотерии сложно нормализовать содержание эритроцитов в крови.

Рис. 3. Изменение скорости транспорта O_2 (\dot{V}) в легких (i), альвеолах (A) артериальной (a) и смешанной венозной кровью (\dot{V}_v) и отношения доставки O_2 к его потреблению (\dot{V}_a/\dot{V}) при кровопотере с замещением в условиях среднегорья.

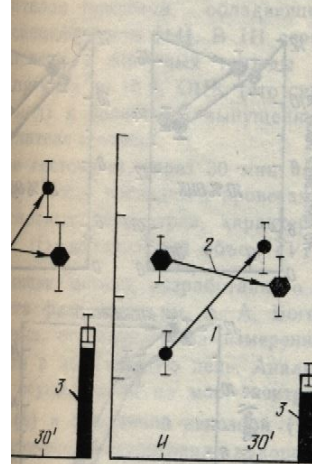
Рис. 4. Изменение потребления O_2 ($\dot{V}O_2$) и выделения CO_2 ($\dot{V}CO_2$) при кровопотере с замещением в условиях среднегорья.

после 2-недельного пребывания на высоте 2100 м над уровнем моря, в которой острая кровопотеря с замещением была доведена до 25 % ОЦК. В этом случае отмечали несколько более выраженное снижение общей концентрации гемоглобина и КЕ крови (см. рис. 1). Причем содержание эритроцитов поддерживалось лишь близким к исходному значению. Вероятно, можно предположить, что за счет выброса депонированной крови и продуцирования молодых эритроцитов при такой кровопотерии сложно нормализовать содержание эритроцитов в крови.

Как и в предыдущей серии исследований сохранялся гемический компонент предполагаемого гипоксического состояния. При этом в ходе исследований не отмечены достоверные изменения функции внешнего дыхания ни по легочной, ни по альвеолярной вентиляции. Наблюдалась лишь тенденция к снижению минутного объема дыхания за счет снижения дыхательного объема (см. рис. 2), что приводило к некоторому уменьшению количества O_2 , вентилируемого в легких. Существенных изменений альвеолярного транспорта O_2 обнаружено не было (см. рис. 3).

В этой серии исследований острая кровопотеря не сопровождалась развитием артериальной гипоксемии, а сниженное содержание O_2 в артериальной крови компенсировалось (по крайней мере частично) относительно высоким минутным объемом кровообращения, который обеспечивал достаточный транспорт O_2 артериальной кровью. Если учесть, что потребление кислорода организмом оставалось практически неизменным на протяжении всего периода исследований (см. рис. 4), станов-

исследований изучали на 6-е се-
сия основных параметров, ия, транспорт O_2 в организ-
и равнине [15]. Вероятно, ился, а компенсаторные ре-
изучаемых показателей. В
ле завершения 1-го периода
ро была бы менее выражен-
проведенных на животных



их (i), альвеолах (A) артериальная доставки O_2 к его потреблению в условиях среднегорья.

я CO_2 ($V\text{CO}_2$) при кровопотере
негорьба.

100 м над уровнем моря, и была доведена до 25 % лее выраженное снижение ови (см. рис. 1). Причем шь близким к исходному то за счет выброса депо-их эритроцитов при такой ние эритроцитов в крови. й сохранялся гемический состояния. При этом в ходе знения функции внешнего вентиляции. Наблюдалась ма дыхания за счет дыха-к некоторому уменьшению Существенных изменений было (см. рис. 3). потерю не сопровождалась иное содержание O_2 в ар-гней мере частично) отно-вращения, который обес-ной кровью. Если учесть, валось практически неиз-ваний (см. рис. 4), станов-

вится очевидным, что при такой кровопотере в условиях среднегорья сохраняется относительное соответствие доставки O_2 к тканям его потреблению (значение отношения этих величин составляет 2,0; см. рис. 3), и тканевая гипоксия, вероятно, не развивается.

Таким образом, и во II серии исследований мы не обнаружили развития выраженного гипоксического состояния, что в одном случае достигалось за счет значительного напряжения функционирования ряда физиологических систем организма, а в другом — без видимых изменений деятельности последних. Этот факт можно рассматривать с одной стороны, предположив, что в условиях среднегорья при острой кровопотере разной силы и ее замещении кровезаменителем геоссенном организму необходимо лишь нормализовать некоторые функции, обеспечивающие организм кислородом или поддерживать их деятельность (при завершении 1-го периода адаптации) на оптимальном уровне.

С другой стороны, можно предположить, что при большой острой кровопотере и (или) достаточно активном функционировании внешнего дыхания, кровообращения и других систем, организм имеет меньшие резервных возможностей для устранения последствий снижения КЕ крови, о чем свидетельствует некоторое снижение содержания эритроцитов в крови, тенденция к снижению вентиляции, относительно сниженный (хотя еще достаточный для обеспечения потребностей организма) транспорт O_2 на всех его этапах в организме (см. рис. 3). Поэтому при большей степени кровопотери может произойти срыв компенсации и развиться истинное гипоксическое состояние.

Подобное мы наблюдали в III серии исследований по изучению хронической кровопотери. Отмечено прогрессирующее падение общей концентрации гемоглобина, КЕ крови, содержания эритроцитов в крови (см. рис. 1), резкое падение вентиляции легких за счет уменьшения дыхательного объема (см. рис. 2). Значительно сниженной оказалась и альвеолярная вентиляция. Все это привело к развитию выраженной артериальной гипоксемии. Снижение минутного объема кровообращения обусловило резкое уменьшение артериального транспорта O_2 (см. рис. 3). И хотя отношение доставки O_2 к его потреблению еще соответствовало 1,6 (т. е. находилось на границе выраженного развития вторичной тканевой гипоксии) это происходило за счет резкого падения потребления O_2 (см. рис. 4), что может свидетельствовать о наличии каких-то первичных нарушений в системе утилизации кислорода тканями при хронической кровопотере.

При анализе подобной реакции, не характерной для развития гипоксического состояния организма, можно провести аналогию с резким гипоксическим воздействием, при котором концентрация O_2 в газовой смеси снижена более чем в 2 раза по сравнению с атмосферным воздухом [11]. В этом случае практически исчерпываются компенсаторные возможности организма и энергетическое обеспечение организма уже не в состоянии поддерживать оптимальные или близкие к ним значения показателей функционирования основных физиологических систем организма.

Есть основания предполагать, что при хронической кровопотере воздействие условий среднегорья — отягчающий фактор для развития гипоксического состояния организма, поскольку суммарные кровопотери во II и III сериях исследований практически не отличались, и можно было бы ожидать аналогичные (или близкие) изменения в обеспечении организма кислородом, однако, в первом случае истинно гипоксическое состояние выражено не было.

В заключение следует отметить, что воздействие среднегорья на течение острой кровопотери с возмещением объема крови с помощью кровезаменителя геоссена можно рассматривать как положительное, так как в этом случае истинное гипоксическое состояние (за счет гемического компонента) не развивается. При хронической же кровопотере в сочетании с пребыванием на высоте 2 100 м над уровнем моря разви-

вается выраженное гипоксическое состояние с наличием гемического, циркуляторного и гипоксического компонентов, что в итоге приводит к истощению компенсаторных возможностей организма.

УДК 612.411.014.2:612.6/-06:615.3

E. V. Rozova

EFFECT OF MIDDLE MOUNTAINS ON DEVELOPMENT
OF COMPENSATORY REACTIONS OF THE ORGANISM UNDER ACUTE
AND CHRONIC HEMORRHAGE WITH BLOOD SUBSTITUTION

Development of the hypoxic state under chronic and acute hemorrhage amounting to 10-15 and 25-30 % of the total blood volume, with subsequent replacement of the blood volume by the blood substitute, geosens, is studied in rats under conditions of middle mountains (2100 m altitude above sea-level). Effect of middle mountains on the course of the acute hemorrhage may be considered as a positive one as the true hypoxic state in this case (due to the hemic component) does not practically develop. A prolonged hypoxic state with the presence of hemic, circulatory and hypoxic components develops under chronic hemorrhage thus resulting in exhaustion of compensatory potentialities of the organism.

A. A. Bogomoletz Institute of Physiology,
Academy of Sciences of the Ukrainian SSR, Kiev

- Барбашова З. И. Динамика повышения резистентности организма и адаптивных реакций на клеточном уровне в процессе адаптации к гипоксии // Успехи физиол. наук.—1970.—1, № 3.—С. 70—78.
- Гайтон А. Физиология кровообращения: Минут. объем сердца и его регуляция: Пер. с англ.—М.: Медицина, 1969.—472 с.
- Дервіз Г. В., Воробьев А. И. Количественное определение гемоглобина крови посредством аппарата ФЭК-М // Лаб. дело.—1959.—№ 3.—С. 3.
- Іржак Л. И. Гемоглобины и их свойства.—М.: Наука, 1975.—239 с.
- Козинер В. Б., Коваленко Е. А. Напряжение кислорода в тканях мозга при острой кровопотере и лечение ее кровезаменителями и кровью // Патол. физиология и эксперим. терапия.—1964.—№ 1.—С. 56—58.
- Кочетыгов Н. И. Кровезаменители при кровопотере и шоке.—Л.: Медицина, 1984.—160 с.
- Кушаковский М. С. Клинические формы повреждения гемоглобина.—Л.: Медицина, 1968.—324 с.
- Лакин Г. Ф. Биометрия.—М.: Высш. шк., 1973.—343 с.
- Лановенко И. И. Системная гемодинамика организма, оживляемого после смертельной кровопотери.—Киев: Наук. думка, 1977.—174 с.
- Лаудэр Н. В., Колчинская А. З., Куликов М. А. Расчеты параметров кислородных режимов организма и построение кислородных каскадов // Кислородный режим организма и его регулирование.—Киев: Наук. думка, 1966.—С. 16—22.
- Малкин В. Б., Гиппенрейтер Е. Б. Острая и хроническая гипоксия // Проблемы космической биологии.—М.: Наука, 1977.—315 с.
- Минайленко Т. Д. Изменения кислотно-основного состояния и напряжения газов в крови при гипоксии различного происхождения: Автореф. дис. ... канд. биол. наук.—Киев, 1984.—23 с.
- Розенталь М. И. Определение количества эритроцитов на аппарате ФЭК-М // Лаб. дело.—1966.—№ 3.—С. 170.
- Спасокукоцький Ю. А., Воробей А. И. Гемодинамічна дія кровозамінника геосену за даними патофізіологічного експерименту // Фізіол. журн. 1974.—20, № 2.—С. 188—191.
- Филиппов М. М., Маньковская И. Н., Курбаков Л. А. Открытый метод определения газообмена у мелких лабораторных животных // Физиол. журн.—1981.—27, № 2.—С. 240—242.
- Astrup P., Engel K., Jorgensen K. et al. Definitions and terminology in blood acid-base chemistry. 2-/Ar. New York Acad. Sci.—1966, 133, N 1.—P. 59—65.

Ин-т физиологии им. А. А. Богомольца
АН УССР, Киев

Поступила 21.01.85

СИСТЕМА РЕГУЛЯЦИИ

Феномен инактивированным и Сеславиной по исследованию этой культуры *in vivo* и различественной оценки тканевой ткани летал номена инактивации облученным реципиентом происходит подавление в селезенках. Отсутственности, защиты, ции, данный феномен мунологического надеждования стволовых клеток как в рамках гла его [17].

Исследования факторами, обеспечивающими стволовые фоциты, не обладали челябинский эффект.

Исследования роли клеток в данном В-лимфоцитов на прощественно зависит отный при варьированновое значение приобщенности орга

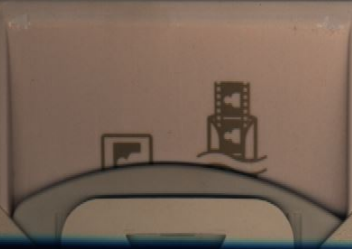
В экспериментах ис (СВА×С57BL/6)F₁. Донор линии СВА, донорами кле из этих органов готовили узлов разделяли с помощью градиента плотности, как Till и McCulloch [11] на 8-мозга (0,3 млн на мышь).

Взаимодействие лимф изменению колониообразов га и варьируемого числа л теризовали индексом инакт

где S — среднее число клеток костного мозга, S_0 — костного мозга в комбинации

В группах было по 1 фоцитов ЛУ характеризова

Физиол. журн., 1986, т. 32, № 4



УДК 612.411.014.2:612.6/-06:615.385.32

И. М. Дозмиров

СИСТЕМА РЕГУЛЯЦИИ ПРОЛИФЕРАЦИИ СТВОЛОВЫХ КЛЕТОК

Эпидемиология и инфекционные болезни

Феномен инактивации аллогенных стволовых клеток открыт Петровым и Сеславиной в 1967 г. [9]. Основополагающие эксперименты по исследованию этого феномена проведены с использованием метода культуры *in vivo* и разработанного Till и McCulloch [20] способа количественной оценки стволовых клеток при трансплантации кроветворной ткани летально облученным мышам-реципиентам. Суть феномена инактивации состоит в том, что при совместном введении облученным реципиентам лимфоцитов и несингенных стволовых клеток происходит подавление способности последних образовывать колонии в селезенках. Относящийся к разряду явлений естественной регуляции, защиты, не требующей предварительной сенсибилизации, данный феномен по многим критериям — основной механизм иммунологического надзора, поскольку осуществляет контроль пролиферации стволовых клеток с широким спектром антигенных отклонений как в рамках главного комплекса гистосовместимости, так и вне его [17].

Исследования феномена инактивации показали, что клетками-эффекторами, обеспечивающими необратимую блокаду пролиферации аллогенных стволовых клеток, являются Т-лимфоциты [11], а В-лимфоциты, не обладая инактивирующими действием, они могут оказывать хелперный эффект [5, 6].

Исследования роли количественных соотношений взаимодействующих клеток в данном феномене показали, что эффект действия Т- и В-лимфоцитов на пролиферацию стволовых клеток не однозначен, существенно зависит от их числа и может изменяться на противоположный при варьировании этих соотношений [1, 7, 9]. В связи с этим новое значение приобретает вопрос о роли обсуждаемого феномена в жизнедеятельности организма.

Методика

В экспериментах использовали мышей линии СВА, C57BL/6 и гибриды (СВА×C57BL/6)F₁. Донорами лимфоцитов лимфатических узлов (ЛУ) служили мыши линии СВА, донорами клеток костного мозга — мыши C57BL/6. Клеточные суспензии из этих органов готовили общепринятыми методами. Т- и В-лимфоциты лимфатических узлов разделяли с помощью препаративного клеточного электрофореза в вертикальном градиенте плотности, как описано [8]. Экзогенное колониеобразование оценивали по Till и McCulloch [11] на 8-е сутки после введения мышам-реципиентам клеток костного мозга (0,3 млн на мышь).

Взаимодействие лимфоцитов с аллогенными стволовыми клетками определяли по изменению колониеобразования при введении реципиентам смеси клеток костного мозга и варьируемого числа лимфоцитов. Эффекторную функцию Т-лимфоцитов ЛУ характеризовали индексом инактивации

$$I = \frac{S - S_0}{S},$$

где S — среднее число колониеобразующих единиц в контрольной группе при введении клеток костного мозга, S_0 — то же в экспериментальной группе при введении клеток костного мозга в комбинации с лимфоцитами.

В группах было по 10—12 мышей-реципиентов. Регулирующую функцию В-лимфоцитов ЛУ характеризовали коэффициентом регуляции:

$$R = \frac{I' - I}{1 - I},$$

ие с наличием гемического, что в итоге приводит организма.

ON DEVELOPMENT
ORGANISM UNDER ACUTE
LOOD SUBSTITUTION

and acute hemorrhage amounting with subsequent replacement of the studied in rats under conditions of Effect of middle mountains on the a positive one as the true hypoxic not practically develop. A pronopatory and hypoxic components dehancement of compensatory poten-

тности организма и адаптивных ции к гипоксии // Успехи физиол. объем сердца и его регуляция:

пределение гемоглобина крови по № 3.— С. 3.
ука, 1975.—239 с.

рода в тканях мозга при острой кровью // Патол. физиология и эк-

и шоке.— Л.: Медицина, 1984.—

дения гемоглобина.— Л.: Медици-

на.

ма, оживляемого после смертель-

асчеты параметров кислородных каскадов // Кислородный режим, 1966.— С. 16—22.

еская гипоксия // Проблемы кос-

тостояния и напряжения газов в

тореф. дис ... канд. биол. наук.—

цитов на аппарате ФЭК-М//

чна дія кровозамінника геосену

їзіол. журн., 1974.—20, № 2.—

A. Открытый метод определения

їзіол. журн.— 1981.—27, № 2.—

and terminology in blood acid-

6, 133, N 1.— P. 59—65.

Поступила 21.01.85

где I — индекс инактивации при введении смеси клеток костного мозга и Т-лимфоцитов; I' — то же при добавлении к указанной смеси В-лимфоцитов.

Статистическую обработку результатов проводили обычными методами с некоторыми дополнениями [2].

Результаты и их обсуждение

На рис. 1 представлена зависимость индекса инактивации от числа вводимых лимфоцитов ЛУ. Зависимость имеет двухфазный характер — стимуляция колониеобразования малым числом лимфоцитов и

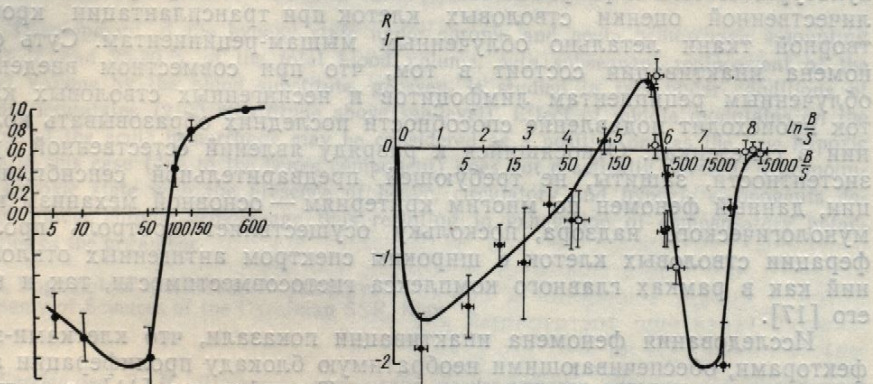


Рис. 1. Зависимость индекса инактивации (ось ординат) от числа (тыс. клеток на мышь) вводимых лимфоцитов ЛУ (ось абсцисс; масштаб логарифмический).

Рис. 2. Зависимость коэффициента регуляции (ось ординат) от отношения числа В-лимфоцитов к среднему числу КОЕс в контрольной группе (ось абсцисс; масштаб логарифмический).

подавление колониеобразования большим. Аналогичные зависимости мы получили при использовании Т-лимфоцитов из различных органов мыши при разнообразных способах очистки и обогащения [1]. Мы установили также, что изменение характера действия Т-лимфоцитов на аллогенные стволовые клетки зависит не от их количественного соотношения со стволовыми клетками, а только от абсолютного числа Т-лимфоцитов. Число Т-лимфоцитов, при котором их стимулирующее действие меняется на инактивирующее, составляет 80 тыс на мышь (см. рис. 1), мы называем «уровнем нулевой активности».

В серии экспериментов мы исследовали регулирующую функцию В-лимфоцитов в данном феномене. При этом опытным группам мышей-реципиентов вводили вместе с клетками костного мозга разделенные электрофорезом Т- и В-лимфоциты ЛУ в различных количественных сочетаниях. На рис. 2 представлен фрагмент зависимости коэффициента регуляции от соотношения В-лимфоцитов и КОЕс в контрольной группе. При изменении этого соотношения может проявляться супрессорный и хелперный эффекты В-лимфоцитов-регуляторов [5]. При двух относительных значениях чисел В-лимфоцитов (при В/КОЕс-100 и В/КОЕс-500) их регулирующий эффект отсутствует. Назовем их «первым и вторым уровнями нулевого регулирования».

Характер регулирующего действия В-лимфоцитов исследован в отдельном эксперименте, в котором к нарастающему числу Т-лимфоцитов добавляли фиксированное число В-лимфоцитов, т. е. В/КОЕс-50 (действие супрессорное; рис. 3). Результирующее действие В-лимфоцитов нашло отражение в «смещении» графика зависимости индекса инактивации вправо по оси абсцисс.

Как показали наши исследования, мишенью для В-лимфоцитов также являются аллогенные стволовые клетки, а отношение В/КОЕс определяет их регулирующий эффект. Отдельно от Т-лимфоцитов В-лимфоциты видимого эффекта на аллогенные стволовые клетки не

проявляют, что соответствует [3, 6].

В чем смысл эффективности клеток Т-лимфоцитам организма? Ее инактивирующей, имеющей надзор за мутагенами, мониторингом и т. д. Примеры стимуляции клеток-мишеней в ра-

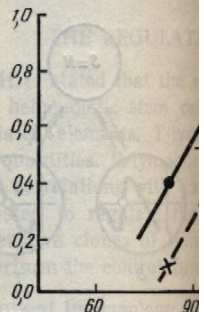


Рис. 3. Зависимость (в часах) от добавления мыши В-лимфоцитов.

Рис. 4. Контроль размера зывает положения нулевы

что привело к появлению системы, функции которой в организме [13, 16, 18]. Согласно с животного и человеческих лимфоцитов. Некоторым клеткам проявляются, как полагают, их норме не пророванным соотношением организме и нарушенными соотношениями *in vitro*. Двухфазного взаимодействия клетками состоит из выделяющих стволовых Т-лимфоцитов. Но здесь стимулирующая или связана с числом клеток, числом Т-лимфоцитов пульсирующей мишенией одними дополнительные регуляторами, как мы устремляемся печать хеллерное, либо явление эффекта определено. Самые В-лимфоциты, вероятно, способны конкурировать на стволовых клетках Т-лимфоцитов.

В целом можно контролировать пролифера-

ток костного мозга и Т-лимфоцитов. Их обычными методами с некоторыми осложнениями можно изучить.

Индекс инактивации от числа лимфоцитов имеет двухфазный характер, с максимумом в 80 тыс. клеток на мышь.

Индекс инактивации от отношения числа В-лимфоцитов к КОЕс имеет вид кривой с максимумом в 80 тыс. клеток на мышь.

Индекс инактивации от отношения числа В-лимфоцитов к КОЕс имеет вид кривой с максимумом в 80 тыс. клеток на мышь.

Аналогичные зависимости из различных органов и обогащения [1]. Мы действия Т-лимфоцитов не от их количественного, а от абсолютного числа горючего их стимулирующее гавляет 80 тыс на мышь гибкости».

регулирующую функцию опытным группам мышечного мозга разделены различных количественных зависимостей коэффициентов и КОЕс в контроле может проявляться фагоцитов-регуляторов [5]. Т-лимфоцитов (при В/КОЕс-отсутствует. Назовем их ования».

мфоцитов исследован в текущем числе Т-лимфоцитов, т. е. В/КОЕс-50 общее действие В-лимфо-ка зависимости индекса инактивации для В-лимфоцитов и, а отношение В/КОЕс не от Т-лимфоцитов В-е стволовые клетки не

проявляют, что соответствует выводам, изложенным в некоторых работах [3, 6].

В чем смысл эффекта стимуляции аллореактивных пролиферирующих клеток Т-лимфоцитами? Какую роль он может играть в жизнедеятельности организма? Если в отношении второй фазы взаимодействия, инактивирующей, имеется полная ясность [4] — осуществление функции надзора за мутациями соматических клеток, то в отношении стимулирующего эффекта Т-лимфоцитов такой ясности пока нет.

Примеры стимулирующего действия лимфоцитов на размножение клеток-мишеней в различных системах известны давно [14, 15, 21],

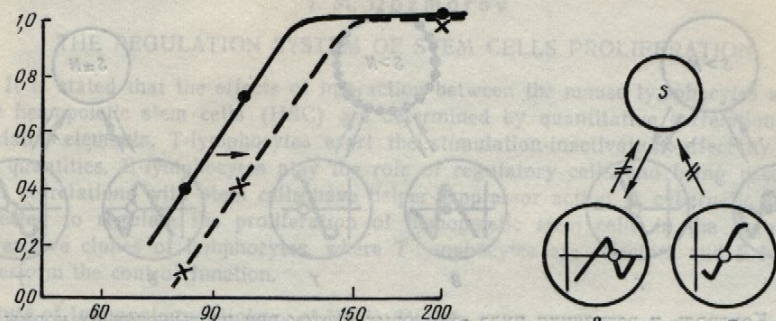


Рис. 3. Зависимость (в частности, «смещение» зависимости) индекса инактивации (ось ординат) от добавления в каждую группу фиксированного числа (тыс. клеток на мышь) В-лимфоцитов (ось абсцисс; масштаб логарифмический).

Рис. 4. Контроль размера пула стволовых клеток в норме. Маленькие кружочки указывают положения нулевого регулирования (В-лимфоциты) и нулевой активности (Т-лимфоциты).

что привело к появлению гипотез о трофической функции иммунной системы, функции контроля размножения клеток различных тканей и органов [13, 16, 18]. Возвращаясь к полученным нами данным, заметим, что согласно современным представлениям, в организме любого животного и человека постоянно присутствуют кланы аутоагрессивных лимфоцитов. Способность к проявлению агрессии к собственным клеткам проявляется однако лишь в тестах *in vitro*, а в организме, как полагают, их активность супрессирована какими-то факторами и в норме не проявляется. Но это можно объяснить и сбалансированным соотношением клеток-эффекторов и клеток-мишеней в организме и нарушением этого баланса при измененных клеточных соотношениях *in vitro*. Можно предположить, что смысл феномена двухфазного взаимодействия лимфоцитов с аллореактивными клетками состоит в контроле размера пула собственных пролиферирующих стволовых клеток организма аутореактивными клонами Т-лимфоцитов. Но здесь имеется противоречие. Как мы установили, стимулирующая или инактивирующая активность Т-лимфоцитов не связана с числом клеток-мишеней, а определяется лишь абсолютным числом Т-лимфоцитов-эффекторов. Таким образом контроль размера пула мишеней одними Т-лимфоцитами невозможен. Требуется какое-то дополнительное регулирующее их активность звено. Такими регуляторами, как мы установили, являются В-лимфоциты. Они могут обеспечить хеллерное, либо супрессорное влияние, причем конкретное проявление эффекта определяется их соотношением с клетками-мишеними. Сами В-лимфоциты эффекторной функцией не обладают, но, видимо, способны конкурировать с Т-лимфоцитами за общие рецепторы на стволовых клетках, влияя тем самым на проявление функций Т-лимфоцитов.

В целом можно представить следующую схему лимфоцитарного контроля пролиферации стволовых клеток. Размеры клонов аутореак-

тивных Т-лимфоцитов и В-лимфоцитов-регуляторов заданы генетически и соответствуют уровню нулевой активности и нулевого регулирования. При соответствии пула стволовых клеток норме их соотношение с В-лимфоцитами таково, что их регулирующее влияние не проявляется (рис. 4).

При отклонении размера пула стволовых клеток от нормы меняется их соотношение с В-лимфоцитами. Те, взаимодействуя со стволовыми клетками, переводят их в форму, доступную для проявления эффекторной функции Т-лимфоцитов. После чего Т-лимфоциты, взаимодействуя со стволовыми клетками, стимулируют или подавляют их

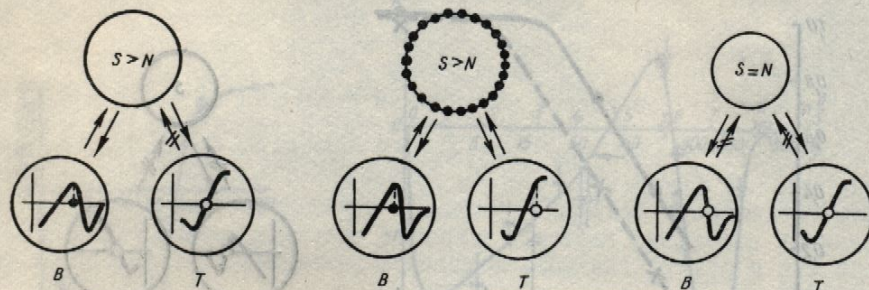


Рис. 5. Контроль и регуляция пула стволовых клеток при превышении их нормы. Первый рисунок — превышение размера пула стволовых клеток нормы вызывает супрессорное действие В-лимфоцитов. Второй рисунок — В-лимфоциты, действуя на стволовые клетки, делают их лабильными к воздействию Т-лимфоцитов. Третий рисунок — действием Т-лимфоцитов размер пула стволовых клеток приведен к норме. Т- и В-лимфоциты находятся в зонах нулевой активности регулирования.

пролиферацию и возвращают размер пула стволовых клеток к норме. Для случая увеличения пула стволовых клеток сверх нормы этот пример регуляции показан на рис. 5.

Таким образом, имеется кибернетическая система регуляции размера пула собственных стволовых клеток организма, в которой контролирующую и управляющую функцию исполняют В-лимфоциты, а эффекторным звеном являются Т-лимфоциты. Если принять предположение, что основная функция этой системы — генетически запрограммированный контроль размера пула стволовых клеток, то иммунологический надзор можно рассматривать как одно из следствий этой функции. Именно поэтому система иммунологического надзора способна при нарушениях клеточных соотношений приводить к парадоксальным проявлениям стимулирующей опухолевый рост активности [19]. Патология иммунной системы при опухолевом росте проявляется, в частности, в значительном поражении предшественников В-клеток, нарушении дифференцировки и их числа [12].

Согласно нашим данным, значительное снижение числа В-клеток может привести к переходу системы в состояние первого уровня нулевого регулирования — состояние неустойчивого равновесия. В этом состоянии увеличение числа клеток-мишеней приведет к проявлению сильного супрессорного эффекта В-лимфоцитов.

В свою очередь супрессия эффекторной функции Т-лимфоцитов приведет к выраженному проявлению их стимулирующего эффекта. Все это наблюдается на практике. Супрессорная активность В-лимфоцитов при опухолевом росте значительно повышается [12]. Т-лимфоциты могут оказывать стимулирующий эффект на рост опухоли [20]. Эти проявления носят на начальных стадиях канцерогенеза локальный характер, сосредоточены в области локализации опухоли и могут быть объяснены ослабленной миграцией Т- и В-лимфоцитов к месту локализации опухоли [12]. Сниженные числа В-лимфоцитов оказывают супрессорный эффект, чем еще больше способствуют проявлению стимулирующей активности сниженного числа Т-лимфоцитов. Таким об-

разом, развитие опухоли ниями количественных схем, согласно изложенной обеспечивающей распознаванию и регуляцию эффекторных

Открытие регулирующих их в разряд центрального механизма иммунологичес-

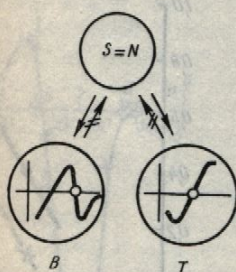
THE REGULATION

It is stated that the effect of genetic hemopoietic stem cells (associated elements, T-lymphocytes) on their quantities. B-lymphocytes have different correlations with stem cells suggested to regulate the proliferation of autoreactive clones of lymphocytes perform the control function

Institute of Immunology, Ministry of the USSR

1. Дозморов И. М. Применение генетических исследований // Ученые записки УдГУ. 1985. № 1.
2. Дозморов И. М., Петров Р. В. Управление пулем стволовых клеток субпопуляциями // Иммунология. — 1985. № 1.
3. Манько В. М., Халатян Н. А. Генетика и регуляция логенных стволовых клеток // Иммунология. — 1978. — № 11. — С. 81.
4. Петров Р. В. Иммунология.
5. Петров Р. В., Дозморов И. М. Биология развития. — М.
6. Петров Р. В., Дозморов И. М. Реакции инактивации аллогенных антигенов // Иммунология. — 1983. — № 3. — С. 20—22.
7. Петров Р. В., Дозморов И. М. Установление генетической совместимости лимфоцитов на аллогенных антигенах // Иммунология. — 1983. — № 5. — С. 5—8.
8. Петров Р. В., Дозморов И. М. Установление генетической совместимости лимфоцитов, полученных при трансплантации // Иммунология. — 1983. — № 3. — С. 20—22.
9. Петров Р. В., Сеславина Л. Иммунологические несовместимые клетки // Иммунология. — 1967. — № 176. — С. 5—10.
10. Петров Р. В., Халатян Н. А. Установление генетической совместимости клеток на иммунный ответ // Иммунология. — 1979. — № 11. — С. 81.
11. Руднева Т. Б., Халатян Н. А. Генетическая совместимость клеток костного мозга // Иммунология. — 1979. — № 11. — С. 81.
12. Халатян Н. А. Патология и лечение опухолей // Иммунология. — 1979. — № 11. — С. 92—116.
13. Burch P. B., Burwell R. J. Immunochemistry // Quart. Rev. Biochem. — 1967. — Vol. 22. — P. 1—50.
14. Carrel A. Growth promoting factors // Quart. Rev. Biochem. — 1967. — Vol. 22. — P. 385—391.
15. Lambert P. B., Frank H. A. Grafts // Science. — 1967. — Vol. 155. — P. 1035—1036.
16. Petranyi G. The other side of the immune system // Acta Endocrinol. (Copenh.). — 1977. — Vol. 80. — P. 1—10.
17. Petrov R. V., Seslavina L. A. Suppression of proliferation of mouse hemopoietic stem cells by lymphocytes non-activated by antigen // Proc. Natl. Acad. Sci. USA. — 1977. — Vol. 74. — P. 1—5.
18. Pliskin M. E., Perlin R. T. Suppression of proliferation of mouse hemopoietic stem cells by lymphocytes non-activated by antigen // Proc. Natl. Acad. Sci. USA. — 1977. — Vol. 74. — P. 1—5.
19. Pliskin M. E., Perlin R. T. Suppression of proliferation of mouse hemopoietic stem cells by lymphocytes non-activated by antigen // Proc. Natl. Acad. Sci. USA. — 1977. — Vol. 74. — P. 1—5.
20. Pliskin M. E., Perlin R. T. Suppression of proliferation of mouse hemopoietic stem cells by lymphocytes non-activated by antigen // Proc. Natl. Acad. Sci. USA. — 1977. — Vol. 74. — P. 1—5.

регуляторов заданы генетиче-
стивности и нулевого регули-
ющих клеток норме их соотно-
гулирующее влияние не про-
вляется. Взаимодействие между
клетками от нормы меня-
ется, взаимодействия со ство-
доступную для проявления
сле чего Т-лимфоциты, вза-
модействуют или подавляют их



к при превышении их нормы. Первый клеток нормы вызывает супрессию Т-лимфоцитов, действуя на стволовые Т-лимфоциты. Третий рисунок — это приведен к норме. Т- и В-лимфоциты регулирования.

стволовых клеток к норме. Естественно сверх нормы этот признак системы регуляции разного организма, в которой контролируют В-лимфоциты, а не Т-клетки. Если принять предпосылку — генетически запрограммированных клеток, то иммунитет как одно из следствий иммунологического надзора может приводить к параллельному росту активности холевом росте проявляется, предшественников В-клеток, снижение числа В-клеток становится первого уровня пульсивного равновесия. В этом приведет к проявлению генетики.

Функции Т-лимфоцитов стимулирующего эффекта. Очная активность В-лимфоцитов повышается [12]. Т-лимфоцит на рост опухоли [20]. Канцерогенез локальный ации опухоли и могут быть лимфоцитов к месту локализации. В-лимфоцитов оказывают существуют проявлению стимуляции Т-лимфоцитов. Таким обра-

разом, развитие опухоли в организме может быть связано с нарушениями количественных соотношений взаимодействующих клеток. Причем, согласно изложенным представлениям, центральной фигурой, обеспечивающей распознавание опухолевых клеток, а также контроль и регуляцию эффекторного звена являются В-лимфоциты-регуляторы.

Открытие регулирующего действия В-лимфоцитов [10] выдвигает их в разряд центрального элемента в иммунологических реакциях и в механизме иммунологического надзора.

I. M. Dzomarov

THE REGULATION SYSTEM OF STEM CELLS PROLIFERATION

It is stated that the effects of interaction between the mouse lymphocytes and allogenic hemopoietic stem cells (HSC) are determined by quantitative correlations of the associated elements. T-lymphocytes exert the stimulation-inactivation effect by varying their quantities. B-lymphocytes play the role of regulatory cells and being used in different correlations with stem cells have helper-suppressor action. A cybernetic scheme is suggested to regulate the proliferation of hemopoietic stem cells in the organism by autoreactive clones of lymphocytes, where T-lymphocytes are effectors and B-lymphocytes perform the control function.

Institute of Immunology, Ministry of Public Health of the USSR

- Дозморов И. М. Применение препаративного клеточного электрофореза в иммунологических исследованиях // Иммунология. — 1984. — 13. — С. 166—194.
- Дозморов И. М., Петров Р. В., Левин А. Д. и др. Инактивация аллогенных стволовых клеток субпопуляциями лимфоцитов с различной электрофоретической подвижностью // Иммунология. — 1982. — № 6. — С. 45—48.
- Манько В. М., Халатян Н. А., Руднева Т. Б. Роль В-лимфоцитов в инактивации аллогенных стволовых клеток // Журн. микробиологии, эпидемиологии и иммунобиологии. — 1978. — № 11. — С. 81—85.
- Петров Р. В. Иммунология. — М.: Медицина, 1983. — С. 368.
- Петров Р. В., Дозморов И. М. В-лимфоциты-регуляторы // Иммунологические аспекты биологии развития. — М.: Наука, 1984. — С. 5—14.
- Петров Р. В., Дозморов И. М., Левин А. Д. и др. Синергизм Т- и В-лимфоцитов в реакции инактивации аллогенных кроветворных стволовых клеток // Иммунология. — 1983. — № 3. — С. 20—22.
- Петров Р. В., Дозморов И. М., Левин А. Д. Стимулирующее влияние малых количеств лимфоцитов на аллогенные стволовые клетки // Там же. — № 2. — С. 42—43.
- Петров Р. В., Дозморов И. М., Левин А. Д. и др. Характеристика субпопуляций лимфоцитов, полученных препаративным электрофорезом // Иммунология. — 1980. — № 5. — С. 5—8.
- Петров Р. В., Сеславина Л. С. Инактивация «стволовых клеток» при контакте генетически несовместимых клеточных взвесей из лимфоидных тканей // Докл. АН СССР. — 1967. — 176, № 5. — С. 1170—1173.
- Петров Р. В., Хайтов Р. М., Батырбеков А. А. Супрессивное действие сингенных В-клеток на иммунный ответ у мышей, относящихся к высоко или низко реагирующим генотипам // Там же. — 220, № 6. — С. 1446—1448.
- Руднева Т. Б., Халатян Н. А., Манько В. М. Инактивация колониеобразующей способности клеток костного мозга аллогенными Т-лимфоцитами // Журн. микробиологии, эпидемиологии и иммунобиологии. — 1978. — № 3. — С. 84—87.
- Хайтов Р. М. Патология иммунной системы при опухолевом росте // Иммунология, 1979, 8. — С. 92—116.
- Burch P. B., Burwell R. G. Self and nonself. A clonal induction approach to immunology // Quart. Rev. Biol. — 1965. — 40. — P. 252—279.
- Carrel A. Growth promoting function of leukocytes // J. Exp. Med. — 1922. — 36, N 3. — P. 385—391.
- Lambert P. B., Frank H. A. Local recognition of histocompatibility differences in skin grafts // Science. — 1967. — 155, N 3785. — P. 99—101.
- Petranyi G. The other side of immunology: immunoplasia tropis (plastic) function of the immune system // Acta med. Hung. — 1983. — 40, N 2/3. — P. 83—74.
- Petrov R. V., Seslavina L. S., Panteleev E. I., Yegorova O. S. Inactivation of stem cells by lymphocytes nonlinked to the H-2 histocompatibility system // Transplant. Proc. — 1977. — 9, N 1. — P. 555—557.
- Pliskin M. E., Perlin R. T. Stimulation of liver regeneration and compensatory kidney hyperplasia by passive transfer of spleen cells // J. Reticuloendothel. Soc. — 1975. — 17, N 5. — P. 290—299.

19. Prehn R. T. The immune reaction as stimulator of tumor growth // Science.—1972.—176, N 4031.—P. 170—171.
20. Till J. E. McCulloch E. A. A direct measurement of the radiation sensitivity of normal mouse bone marrow cells // Radiat. Res.—1961.—14, N 2.—P. 213—222.
21. Wilson D. B. Quantitative studies on the behavior of sensitized lymphocytes in vitro. I. Relationship of destruction of homologous target cells to number of lymphocytes and to the time of contact in culture and consideration of isoimmune serum // J. Exp. Med.—1965.—122, N 1.—P. 143—166.

Ин-т иммунологии МЗ СССР

Поступила 06.12.85

«Schuchart»). Срезы, изготовленные ацетатом и цитратом JEM-100C (фирма «JEOL»).

Через 7 и 14 сут
чали увеличение абсол
7 сут после операции



Рис. 1. Фрагмент суб
ЛБ — лимфобласт, МЛ —

THE REGULATION SYSTEM OF STEM CELLS PROLIFERATION

УДК 611—018.2.428.438:616.451—089.87

К. П. Зак, М. Л. Винницкая

ВЛИЯНИЕ АДРЕНАЛЭКТОМИИ НА УЛЬТРАСТРУКТУРУ ЛИМФОИДНЫХ И СТРОМАЛЬНЫХ ЭЛЕМЕНТОВ ТИМУСА

Последнее десятилетие характеризовалось интенсивным изучением роли вилочковой железы в физиологических и патологических процессах. Были получены неоспоримые доказательства огромного значения тимуса в иммунных реакциях гомеостаза. Показано, что тимус — не только центральный орган лимфоидной системы, генерализующий иммунокомпетентные клетки, но и важная эндокринная железа, регулирующая внутри- и внеиммуническую дифференцировку Т-клеток и некоторые другие физиологические функции [12]. На субмикроскопическом уровне было выявлено значительное разнообразие структуры лимфоидных и особенно стромальных элементов тимуса, которые составляют микроокружение и отвечают за секрецию гормональных факторов. Было установлено, что различные виды лимфоидных и стромальных клеток эпителиального и мезенхимального происхождения, экспрессирующие неодинаковые наборы мембранных антигенов, находятся в сложных морфологических и функциональных взаимоотношениях, образуя клеточные ассоциации — «клетки-няньки», макрофагальные розетки и др. [9, 11, 13].

Известно, что в организме человека и животных тимус находится в тесной взаимосвязи с другими железами внутренней секреции, прежде всего с корой надпочечников. Инволюция тимуса — один из наиболее характерных признаков гиперкортицизма [2, 7]. С другой стороны, значительное увеличение массы вилочковой железы наблюдается после адреналэктомии [1, 4, 5]. Однако механизм взаимодействия этих двух желез в иммунном гомеостазе во многом остается еще неясным. Полученные в последние годы данные о структуре и функции различных видов тимоцитов и особенно клеток, составляющих микроокружение, позволяют рассмотреть этот вопрос с новых позиций. Цель настоящей работы — субмикроскопическое изучение лимфоидных и стромальных элементов тимуса мышей при недостатке кортикостероидов.

Методика

Исследования проведены на 35 мышах-самцах линии СВА, массой 18—20 г. Двустороннюю адреналэктомию проводили под эфирным наркозом по общепринятой методике. После операции мышам давали для питья 1 %-ный раствор хлористого натрия.

Изучение ультраструктуры клеток тимуса проводили через 7, 14 и 21 сут после адреналэктомии. Животных декапитировали, вилочковую железу отделяли от прилегающих тканей, взвешивали на торзионных весах и измельчали. Кусочки органа фиксировали в 2,5 %-ном растворе глютаральдегида (фирма «Merck»), приготовленном на фосфатном сбалансированном буфере (концентрация 0,1 моль/л, pH 7,3), постфиксировали в 1 %-ном растворе осмия, приготовленном на том же буфере, обезвоживали в спиртах восходящей крепости и в абсолютном ацетоне, затем заключали в аралдит (фирма

$P < 0,01$), через 14 сут $P < 0,01$, у контрольны соответственно.

Лимфоидные клетки, налэктомии у мышей (п чалось расширение корк расположались более п следовании субкапсулярн числа лимфобластов, ми с четко выраженным большим числом свободным эндоплазматическим (рис. 1). Возрастало чис пикнотический индекс с новыми ядрами отмечало цеплюлярно в гигантских лексах, называемых «кл

В мозговом слое же заметно повышенено. Уве щихся от субкапсулярн ком цитоплазмы, в котор электронно-светлых набух

Через 21 сут после у к нормализации состава и объясняется быстрым во этих видов животных в

of tumor growth // Science.—1972.—

of the radiation sensitivity of pogr. 1961.—14, N 2.—P. 213—222.
or of sensitized lymphocytes in vitro
target cells to number of lymphocytes
consideration of isoimmune serum //

Поступила 06.12.85

THE RECENTATION OF

ицкая

СУЛЬТРАСТРУКТУРУ ЭЛЕМЕНТОВ ТИМУСА

иись интенсивным изучением их и патологических процессов огромного значения.

Показано, что тимус — не стемы, генерализующий иммунодоктринальную железну, регулирующую Т-клетку и неко-². На субмикроскопическом образе структуры лимфоцитов тимуса, которые составляют гормональных факторов. лимфоидных и стромальных происхождения, экспрессирующих антигены, находятся в их взаимоотношениях, обра-ши, макрофагальные розет-

животных тимус находится в внутренней секреции, пре-оция тимуса — один из на-дизма [2, 7]. С другой сто-чковой железы наблюдает-ся механизм взаимодействия о многом остается еще не-ные о структуре и функции еток, составляющих микро-рос с новых позиций. Цель изучение лимфоидных и при недостатке кортикосте-

ции СВА, массой 18—20 г. Двупаркозом по общепринятой мето-ый раствор хлористого натрия. дили через 7, 14 и 21 сут после овой железы отделяли от при-измельчали. Кусочки органа фик-ма «Мерк», приготовленном на 1 моль/л, pH 7,3), постфиксиро-том же буфером, обезвоживали в атм заключали в араллит (фирма

«Schuchart»). Срезы, изготовленные на ультрамикротоме LKB-8 800, контрастировали ураниласетатом и цитратом свинца и исследовали под электронным микроскопом JEM-100C (фирма «JEOL»).

Результаты и их обсуждение

Через 7 и 14 сут после удаления надпочечников у мышей отмечают увеличение абсолютной и относительной массы тимуса: через 7 сут после операции $41,9 \pm 2,68$ мг и $2,38 \pm 0,19$ мг/г ($P < 0,001$ и



Рис. 1. Фрагмент суб capsуллярной зоны тимуса адреналектомированной мыши:
ЛБ — лимфобласт, МЛ — малые лимфоциты, ЭК — эпителиальная клетка. Электроно-
грамма. $\times 5000$.

$P < 0,01$), через 14 сут $42,5 \pm 2,87$ мг и $2,34 \pm 0,23$ мг/г ($P < 0,001$ и $P < 0,01$), у контрольных животных $29,1 \pm 1,46$ мг и $1,7 \pm 0,12$ мг/г соответственно.

Лимфоидные клетки. Через 7 и 14 сут после двусторонней адреналектомии у мышей (по сравнению с интактными животными) отмечалось расширение корковой зоны тимуса, малые тимоциты в которой располагались более плотно. При электронно-микроскопическом исследовании суб capsуллярной области наблюдали некоторое увеличение числа лимфобластов, характеризующихся эухроматиновыми ядрами с четко выраженным ядрышками, обильной цитоплазмой, большим числом свободных рибосом и полисом, развитым шероховатым эндоплазматическим ретикулумом, набухшими митохондриями (рис. 1). Возрастало число клеток в состоянии митоза, в то же время никнотический индекс снижался. Преобладание клеток с эухроматиновыми ядрами отмечалось и среди тимоцитов, расположенных интрапеллюлярно в гигантских лимфоэпителиальных многоклеточных комплексах, называемых «клетками-няньками».

В мозговом слое железы содержание малых тимоцитов было также заметно повышенено. Увеличивалось и число лимфобластов, отличающихся от суб capsуллярных более крупными размерами и широким обводком цитоплазмы, в которой находилось значительное число полисом и электронно-светлых набухших митохондрий.

Через 21 сут после удаления надпочечников наблюдали тенденцию к нормализации состава и строения лимфоидных элементов тимуса, что объясняется быстрым восстановлением содержания кортикостерона у этих видов животных в связи с наличием у них добавочной надпо-

чечниковой ткани. Как показали наши предыдущие исследования [3], через 14 сут после двусторонней адреналэктомии происходит восстановление содержания кортикостерона в плазме крови оперированных мышей линии СВА. В то же время у адреналэктомированных собак, у которых отсутствуют добавочные надпочечники, увеличение массы и размера тимуса с течением времени продолжает прогрессировать [1], что является еще одним убедительным доказательством зависимости состояния тимуса от содержания кортикостероидов в организме.

Стромальные эпителиальные клетки. Особенно значительные изменения у адреналэктомированных мышей наблюдали в стромальных

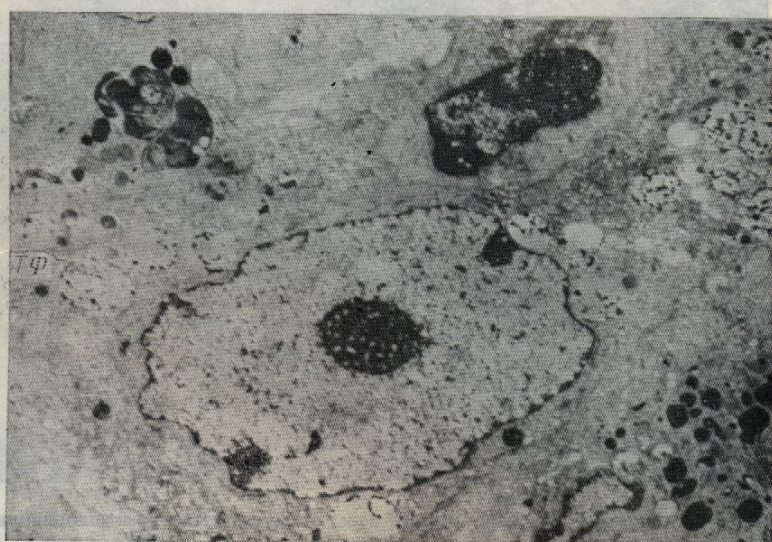


Рис. 2. Светлая звездчатая эпителиальная клетка коры тимуса адреналэктомированной мыши:

ТФ — тонофибриллы. Электронограмма. $\times 7000$.

элементах тимуса. Эпителиальные клетки железы, характеризуясь некоторыми присущими только им общими признаками (тонофибриллы, десмосомы), по своему субмикроскопическому строению весьма гетерогенны. Различные авторы идентифицируют от двух до шести типов клеток [8, 10, 14]. Согласно нашим данным, в тимусе мышей на ultraструктурном уровне можно условно выделить следующие 4 типа эпителиальных клеток:

1-й тип. Светлые звездчатые клетки с длинными, отходящими в разные стороны цитоплазматическими отростками, которые соединены между собой десмосомами. В цитоплазме содержится хорошо развитая зона Гольджи, многочисленные везикулы, встречаются электроннодense гранулы. Эти клетки располагаются в основном в корковой части тимуса, их считают ответственными за секрецию гормонов [14].

2-й тип. Темные клетки, характеризующиеся высокой электронной плотностью ядра и цитоплазмы. В последней много вакуолей, иногда содержащих аморфный осмиофильный материал, набухшие митохондрии и расширенные элементы ШЭР. Клетки располагаются преимущественно в глубокой зоне коры тимуса.

3-й тип. Промежуточные клетки, имеющие субмикроскопические признаки, присущие клеткам 1-го и 2-го типов.

4-й тип. Большие медуллярные клетки — крупные клетки с обильной электронно-светлой цитоплазмой и округлыми эухроматиновыми ядрами. В цитоплазме содержатся многочисленные элементы ШЭР,

митохондрии, рибосомы, число везикул, иногда с тем что это секреторные везикулы, трактируют с другими видами.

Через 7 и 14 сут по клетках (тип 1) корково рующих по размеру и фо пидных включений. В неяции и прослеживали в В последних иногда видн 2). Незначительное уве



Рис. 3. Эпителиальная клетка коры тимуса с болезнью мыши с болезнью регуляции уровня сахара в крови.

Десмосома указана стрелкой.

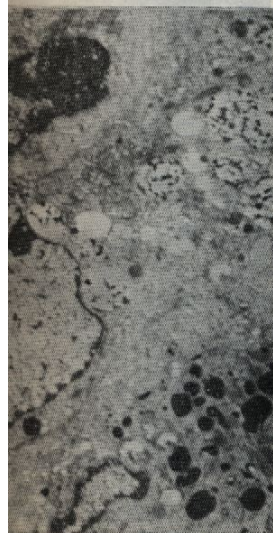
чили также в клетках промежуточных клетках (тип 2) и в клетках, наблюдается неко-ранства и цистерн ШЭР. Гетерогенные клетки интактны. Число электроннодense гранулы, различивается содержание β -глюкозы.

Необходимо отметить, что эти клетки значительно возрастают в интактных животных. Клетки с извилистой поверхностью различного размера и эпителиальные скопления (рис. 3) являются остатками секреторной природы.

Как известно, в тимусе имеются клетки-киллеры, гранулы в цитоплазме — (БГЛ). Причем показано, что БГЛ повышенено [3]. Имеющиеся клетки разновидности эпителиальных клеток не имеют десмосом и тонофибрилл. Имеющиеся клетки нельзя отнести к клеткам. Возможно, это

едущие исследования [3], артэктомии происходит восстановление крови оперированных адреналектомированных собак, почечники, увеличение массы продолжает прогрессировать и доказательством зависимости кортикоэстериоидов в организме.

Особенно значительные изменения наблюдали в стромальных



и коры тимуса адреналектомированной мыши. $\times 7000$.

железы, характеризуясь неизвестными (тонофибрillы, кому строению весьма гетерогенны от двух до шести типов), в тимусе мышей на удачливые следующие 4 типа

с длинными, отходящими в отростками, которые соединены между собой хорошо разделяются электронограммы в основном в корковыми за секрецию гормонов.

ющиеся высокой электронной плотностью много вакуолей, ядерный материал, набухшие ШЭР. Клетки располагаются в субмикроскопические ядра. — крупные клетки с обильными округлыми эухроматиновыми исленными элементами ШЭР,

митохондрии, рибосомы и полисомы. Под плазмолеммой — большое число везикул, иногда с электронноплотной сердцевиной. Полагают, что это секреторные везикулы. С помощью десмосом эти клетки контактируют с другими видами эпителиальных клеток.

Через 7 и 14 сут после адреналектомии в светлых звездчатых клетках (тип 1) корковой части тимуса увеличивается число варьирующих по размеру и форме осмиофильных гранул (ОГ), а также липидных включений. В некоторых клетках наблюдалось явление дегрануляции и прослеживали все этапы превращения гранул в вакуоли. В последних иногда видны мелкие электронноплотные включения (рис. 2). Незначительное увеличение числа ОГ, часто запустивших, отмечено.

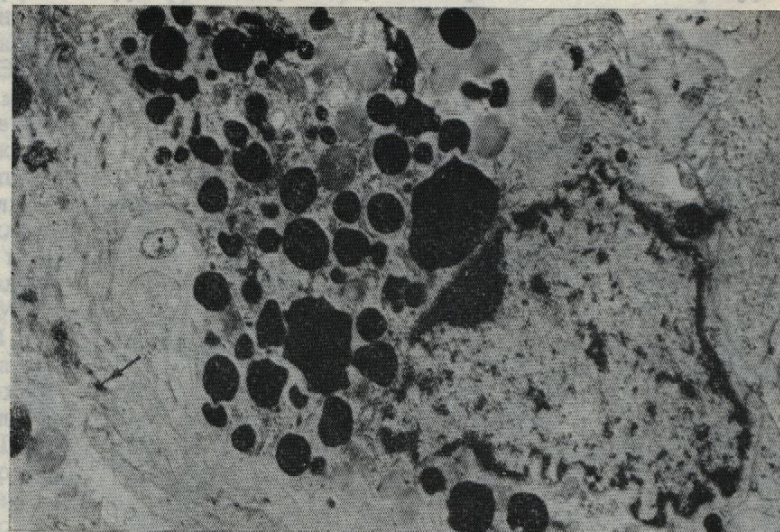


Рис. 3. Эпителиальная клетка корковой зоны тимуса адреналектомированной мыши с большим количеством осмиофильных гранул. Десмосома указана стрелкой. Электронограмма. $\times 10000$.

чили также в клетках промежуточного, 3-го типа. В темных эпителиальных клетках (тип 2) субмикроскопические изменения менее выражены, наблюдается некоторое расширение перинуклеарного пространства и цистерн ШЭР, митохондрии более набухшие, чем в аналогичных клетках интактных животных. В клетках 4-го типа уменьшено число электронноплотных гранул, появляются большие вакуоли, увеличивается содержание β -гранул гликогена.

Необходимо отметить, что в тимусе адреналектомированных мышей значительно возрастает число клеток, очень редко встречающихся у интактных животных. Это крупные клетки с эухроматиновыми ядрами с извилистой поверхностью, в цитоплазме — большое число ОГ различного размера и электронной плотности, иногда образующих целые скопления (рис. 3), тубулярные образования, свидетельствующие о секреторной природе этих клеток.

Как известно, в тимусе выявляются (небольшое число) естественные клетки-киллеры, а также содержащие электронноплотные гранулы в цитоплазме — большие гранулоциты лимфоциты (БГЛ). Причем показано, что в крови адреналектомированных мышей число БГЛ повышено [3]. Возникает вопрос: «Не являются ли описываемые клетки разновидностью БГЛ?» Однако БГЛ (в отличие от эпителиальных клеток) не имеют длинных цитоплазматических отростков, десмосом и тонофибрill. Исходя из этих же признаков, рассматриваемые клетки нельзя отнести и к другим видам гранулоцитов. Возможно, это эпителиальные клетки, субмикроскопическое

строение которых изменено вследствие нарушения их функционального состояния.

К сожалению, достоверная информация о содержании и секреции тимических факторов при недостатке кортикоидов чрезвычайно ограничена. По данным Комса и соавт. [6], через 15 сут после адреналэктомии содержание тимического гормона в ткани зобной железы крыс снижено. Кортикостерон (но не кортизол!) вызывает резкое повышение уровня гормона. Однако кроме фактора Комса описаны еще не менее пяти других тимических гуморальных факторов, содержание которых после адреналэктомии пока не изучено. Нет еще достаточночных сведений и о том, какой именно тип эпителиальных клеток секретирует тот или иной гормон. Существуют лишь фрагментарные

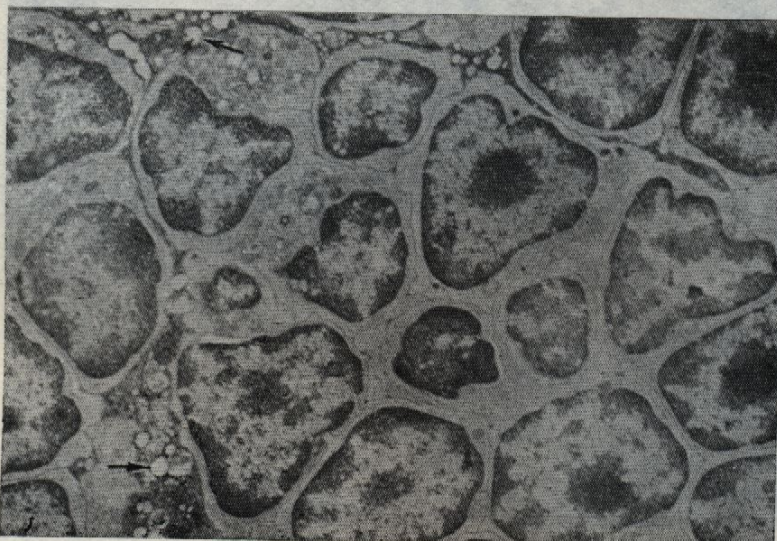


Рис. 4. Фрагмент «клетки-няньки» в коре тимуса адреналэктомированной мыши:

Многочисленные вакуоли в дендритных отростках эпителиальных клеток указаны стрелкой. Электронограмма. $\times 5000$.

данные, указывающие на то, что тимозины вырабатываются только светлыми эпителиальными клетками коры, а тимопоэтин — большими медуллярными. Следовательно, выявленные изменения ультраструктуры обоих типов клеток эндокринного эпителия позволяют высказать предположение лишь о дисфункции гормонообразования, но не о его характере в тимусе при недостатке кортикоидов.

Стромальные мезенхимальные клетки. Существенных изменений числа макрофагов и их субмикроскопической организации после удаления надпочечников у мышей не обнаружено. Макрофаги — характерные гигантские клетки, не содержащие десмосом и тонофиламентов, как и в тимусе интактных животных, располагались в основном на границе между корковым и мозговым слоями, содержали в цитоплазме хорошо развитую зону Гольджи, обилие цистерн ШЭР, фрагменты клеток, находящихся на разных стадиях утилизации, различные лизосомы и фагосомы.

В мозговом слое тимуса изредка встречались дендритные (интердигитирующие) клетки или клетки Лангерганса, которые, как предполагают, секретируют фактор, активизирующий тимоциты, необходимый для оптимального ответа Т-клеток [15]. Это крупные клетки характерной формы, с неровными краями, длинными отростками, охватывающими прилегающие лимфоциты, обильной светлой цитоплазмой, в которой содержится большое число мелких везикул и скопления элементов гладкого эндоплазматического ретикулума, а также хоро-

шо развитая зона Гольдверхностью, гетерохромат узкой полоски, централь ядре — одна-две нуклеоли и десмосомы отсутствуют цифических палочкообраз томированных мышей в ние числа электронноплот

Лимфостромальные к что элементы стромы в т в сложных морфологически что отражает их функцио два наиболее изученных и макрофагальные розетки

Эпителиальные клетки мышей по сравнению ризовались увеличенным и вакуолей в дендритных цитоплазме и отростках ры лимфоидных элемент комплексах, были описан фии и ультраструктуры выявлены.

У некоторых адренал 7, 14 и 21 сут после оп числа больших гранулос невых базофилов. В плаз иногда образование в них

Таким образом, пров литературы и наших пред костероидов в организме клеток тимуса. При адртельные изменения ульт элементов и лимфострома регулируют внутритимичеки Т-клеток, а также се вает на существенную ре кортикоидов на тим могут дать прямого ответ ниях секреторной активности условно указывают на его

K. P.

ADRENALECTOMY OF THYMIC LYMPHOCYTES

Bilateral adrenalectomy in mice, ultrastructure of its different sociations in CBA mice. The number of macrophages and other stromal cells increases in cortical and medullary zones of the light star-shaped epithelia of «nurse cells». Cells contain nuclear accumulations in the cytoplasm. Those and other submicroscopic changes in the mechanism of thymic lymphoid deficiency as well as disturbance

Institute of Endocrinology and M

рушения их функционально-
я о содержании и секреции
гормонов чрезвычайно
б), через 15 сут после адrena-
лэктомии в ткани зобной железы
изол!) вызывает резкое
фактора Комса описаны
моральных факторов, содер-
жка не изучено. Нет еще до-
типа эпителиальных клеток
вуют лишь фрагментарные



са адреналектомированной
тимуса. На рисунке
стриальные клетки указаны
5000.

вырабатываются только
а тимопоэтиз — большими
изменения ультраструктуры
позволяют высказать
образования, но не о его
гормонов.

Существенных изменений
и организации после удале-
нено. Макрофаги — харак-
тересом и тонофибрален-
располагались в основном
лоями, содержали в цито-
илие цистерн ШЭР, фраг-
диях утилизации, различ-

ались дендритные (интер-
наса, которые, как предпо-
ли тимоциты, необходимы.
Это крупные клетки ха-
рактерными отростками, охва-
ной светлой цитоплазмой,
х везикул и скопления
тикулума, а также хоро-

шо развитая зона Гольджи. Бухтообразное ядро — с зазубренной по-
верхностью, гетерохроматин расположен у ядерной мембраны в виде
узкой полоски, центральная часть ядра имеет «пятнистый» вид. В
ядре — одна-две нуклеоли с размытыми очертаниями. Тенофибриллы
и десмосомы отсутствуют. Для этих клеток характерно наличие спе-
цифических палочкообразных телец — гранул Бирбека. У адреналэк-
томированных мышей в этих клетках отмечалось некоторое увеличе-
ние числа электроноплотных включений и фаголизосом.

Лимфостромальные клеточные комплексы. Выше уже указывали,
что элементы стромы в тимусе расположены не хаотично, а находятся
в сложных морфологических ассоциациях с лимфоидными элементами,
что отражает их функциональную взаимозависимость. Мы рассмотрели
два наиболее изученных вида клеточных комплексов: «клетки-няньки»
и макрофагальные розетки.

Эпителиальные клетки в «клетках-няньках» у адреналектомирован-
ных мышей по сравнению с таковыми у интактных животных характе-
ризовались увеличенным числом осмиофильных гранул в цитоплазме
и вакуолей в дендритных отростках (рис. 4). Многие митохондрии в
цитоплазме и отростках были набухшими. Изменения ультраструктуры
лимфоидных элементов, расположенных интрацеллюлярно в этих
комплексах, были описаны выше. Отчетливые изменения топогра-
фии и ультраструктуры лимфоцитомакрофагальных комплексов не
выявлены.

У некоторых адреналектомированных мышей в коре тимуса через
7, 14 и 21 сут после операции отмечали незначительное увеличение
числа больших гранулосодержащих лимфоцитов, плазмоцитов и тка-
невых базофилов. В плазмоцитах наблюдали набухание митохондрий
и иногда образование в них миelinовых фигур.

Таким образом, проведенные исследования подтвердили данные
литературы и наших предыдущих работ о том, что недостаток корти-
костероидов в организме сопровождается гипертрофией лимфоидных
клеток тимуса. При адреналектомии впервые были выявлены значи-
тельные изменения ультраструктуры различных видов стромальных
элементов и лимфостромальных комплексов этого органа, которые
регулируют внутритимические процессы созревания и дифференцировки
T-клеток, а также секрецию гормональных факторов, что указы-
вает на существенную роль микроокружения в механизме действия
кортикостероидов на тимоциты. Полученные результаты, хотя и не
могут дать прямого ответа о количественных и качественных измене-
ниях секреторной активности тимуса после адреналектомии, но без-
условно указывают на его дисфункцию.

K. P. Zak, M. L. Vinnitskaya

ADRENALECTOMY EFFECT ON THE ULTRASTRUCTURE OF THYMIC LYMPHOID AND STROMAL ELEMENTS

Bilateral adrenalectomy induces considerable changes in thymic cellular structure, ultrastructure of its different lymphoid and stromal elements as well as in their associations in CBA mice. The number of densely arranged lymphocytes, especially blasts increases in cortical and medullary layers. The number of osmophilic granules rises in the light star-shaped epithelial cells and in the reticular cells of functional complexes of «nurse cells». Cells containing nuclei with winding surface and a great number of nuclear pores appear. Electron-dense granules of different sizes and shapes form complete accumulations in the cytoplasm of such cells. Signs of vacuolization are observed. Those and other submicroscopic changes show an essential role of microenvironment in the mechanism of thymocyte proliferation and differentiation under corticosteroid deficiency as well as disturbance of thymic secretory function.

Institute of Endocrinology and Metabolism, Kiev

1. Зак К. П. Про роль кори надниркових залоз у регуляції морфологічного складу периферичної крові. Повідомлення 2. Зміна крові у собак після двобічної адреналектомії // Фізіол. журн.— 1957.— 3, № 6.— С. 71—76.
2. Зак К. П., Винницкая М. Л. Субмікроскопіческое строение вилочковой железы после введения гидрокортизона // — Врачеб. дело. 1973.— № 4.— С. 108—110.
3. Зак К. П., Филатова Р. С., Шляховенко В. С. и др. Электронно-микроскопическое и цитохимическое исследование субпопуляций лимфоцитов крови при недостатке кортикостероидов.— Пробл. эндокринологии.— 1984.— 30, № 5.— С. 78—82.
4. Зарудин В. В., Семенов В. Ф. Морфологические и функциональные взаимоотношения тимуса и надпочечников у мышей инбредных линий // — Бюл. эксперим. биологии.— 1978.— 85, № 5.— С. 591—594.
5. Calvano S. E., Mark D. A., Good R. A., Fernandes G. In vitro assessment of immune function in adrenalectomized rats // Immunopharmacology.— 1982.— 4.— Р. 291—302.
6. Comsa J., Leonhardt H., Ozminski K. Hormonal influences on the secretion of the thymus // Thymus.— 1979.— 1.— Р. 81—93.
7. Dougherty T. F. Effect of hormones on lymphatic tissue // Physiol. Rev.— 1952.— 32, N 4.— Р. 379—401.
8. Hirokawa K. Electron microscopic observation of the human thymus of the fetus and the newborn // Acta pathol. jap.— 1969.— 19, N 1.— Р. 1—13.
9. Huiskamp R., Vliet E., Ewijk W. Repopulation of the mouse thymus after sublethal fission neutron irradiation. II. Sequential changes in the thymic microenvironment // J. Immunol.— 1985.— 134, N 4.— Р. 2170—2178.
10. Järplid B. Dark reticular cells in the thymus of mice // Acta radiol. Ther., Phys., Biol.— 1974.— 13, N 4.— Р. 319—328.
11. Kyewski B. A., Travis M., Kaplan H. S. Intrathymic lymphoproliferation: stromal cell-associated proliferation of T-cell is independent of lymphocyte genotype // J. Immunol.— 1984.— 133, N 3.— Р. 1111—1116.
12. Trainin N., Pecht M., Handzel Z. T. Thymic hormones: inducers and regulators of the T-cell system // Immunol. Today.— 1983.— 4, N 17.— Р. 17—23.
13. Wekerle H., Ketelsen U.-P., Ernst M. Thymic nurse cells. Lymphoepithelial cell complexes in murine thymuses: morphological and serological characterization // J. Exp. Med.— 1980.— 151, N 4.— Р. 925—944.
14. Wijngaert F. P., Kendall M. D., Schuurman H.-J. et al. Heterogeneity of epithelial cells in the human thymus. An ultrastructural study // Cell Tissue Res.— 1984.— 237.— Р. 227—237.
15. Wolff K., Stingl G. The Langerhans cell // J. Invest. Dermatol.— 1983.— 80, N 6, Suppl.— Р. 17—21.

Киев. ин-т эндокринологии
и обмена веществ МЗ УССР

Поступила 09.12.85

Хроника описываемых явлений. Наши наблюдения показывают, что введение гидрокортизона в организм крысы приводит к выраженному гипертрофии и гиперплазии тимуса. В результате этого в тимусе происходит значительное увеличение количества стромальных элементов, в том числе количества стромальных клеток. Видимо, это связано с тем, что гидрокортизон способствует пролиферации стромальных клеток, что приводит к увеличению количества стroma. Важно отметить, что гидрокортизон не оказывает прямого влияния на тимусные лимфоциты, а действует через стромальные элементы. Это подтверждается тем, что при удалении стромальных элементов из тимуса гипертрофия и гиперплазия тимуса исчезают. Таким образом, гипертрофия и гиперплазия тимуса являются результатом действия гидрокортизона на стромальные элементы тимуса. Важно отметить, что гидрокортизон не оказывает прямого влияния на тимусные лимфоциты, а действует через стромальные элементы. Это подтверждается тем, что при удалении стромальных элементов из тимуса гипертрофия и гиперплазия тимуса исчезают. Таким образом, гипертрофия и гиперплазия тимуса являются результатом действия гидрокортизона на стромальные элементы тимуса.

УДК 612.6

ПРИСПОСОБ. В ПЕРИОД ОСВАИВАНИЯ

Исследование функций людей, выполняющих значительный интерес в нем увеличением удельного зрения в условиях низкой освещенности необходимы как функционализацией условий этого вопроса, нем следованием функциональной зависимости от стажа, в 18, 20]. В доступной на системы в период освоения лишь в нескольких случаях связи с изложением функционального состояния среднего профессионального уровня ограничена.

Трудовые операции, ряду зрительных работ размеры объектов различны, заметны невооруженным глазом. Выполняется с приложенными требованиями к заслонкам блескостью сырья, учащихся у них определенную часть относительно генции, состояния мышечного тела, остроты зрения у них. Объем относительной анатомии точка конвергенции 30,9 % учащихся (115 из 375). В большинстве случаев расценивается рядом исключений к работе вблизи [3], снижалась до 0,6 и менее, что является явлением (см. таблицу).

В 63 % случаев миопия характера. Анизометропия отмечает неравномерное рабочих, чьи трудовые приборов. Однако, по данным значительно медленнее снижение остроты зрения вития миопии. Надо отметить, что Югая [17] миопизация симметричном характере.

Объем относительно значение его для лиц с

КРАТКИЕ СООБЩЕНИЯ

УДК 612.6

О. Р. Охременко

ПРИСПОСОБЛЕНИЕ ЗРИТЕЛЬНОГО АППАРАТА В ПЕРИОД ОСВОЕНИЯ ПРЕЦИЗИОННЫХ ТРУДОВЫХ ОПЕРАЦИЙ

Исследование функционального состояния зрительной системы у людей, выполняющих прецизионные трудовые операции, представляет значительный интерес в связи с широким распространением и постоянным увеличением удельного веса труда, требующего большого напряжения зрения в условиях современного производства. Такие исследования необходимы как основа для разработки вопросов, связанных с рационализацией условий труда и обучения. Однако работы, посвященные этому вопросу, немногочисленны. Большая их часть связана с исследованием функционального состояния зрительного анализатора в зависимости от стажа, возраста, условий трудовой деятельности [8—12, 18, 20]. В доступной нам литературе вопросы адаптации зрительной системы в период освоения прецизионных трудовых операций затронуты лишь в нескольких статьях [15].

В связи с изложенным выше цель настоящей работы — изучение функционального состояния зрительного аппарата у 373 учащихся среднего профессионально-технического училища, осваивающих профессию огранщика.

Трудовые операции, выполняемые огранщиками, относятся к разряду зрительных работ высокой точности (1а СНиП П-4-79). Так как размеры объектов различия (микроцарапины, микротрешины) не заметны невооруженным глазом, большой процент трудовых операций выполняется с применением десяти- и шестикратной лупы. Повышенные требования к зрению обусловлены малой контрастностью, высокой блескостью сырья и готовой продукции. Во время обследования учащихся у них определяли остроту зрения, запасную и израсходованную часть относительной аккомодации [1], ближайшую точку конвергенции, состояние мышечного равновесия [13]. При поступлении в училище острота зрения у всех испытуемых учащихся составляла 1,0—0,9. Объем относительной аккомодации ($7 \pm 0,5$) дптр, ортофория, ближайшая точка конвергенции ($6,1 \pm 0,8$) см. После 5—7 мес обучения у 30,9 % учащихся (115 человек) отмечалось снижение остроты зрения. В большинстве случаев это снижение незначительно: (0,9—0,8), что расценивается рядом исследователей как адаптация зрительной системы к работе вблизи [3]. Однако у 5,1 % обследованных острота зрения снижалась до 0,6 и менее, что вряд ли можно расценить как адаптационное явление (см. таблицу).

В 63 % случаев миопизация глаз носила анизометрический характер. Анизометропия не превышала 1,0 дптр. Ряд авторов [16, 18, 20] отмечают неравномерное снижение остроты зрения на оба глаза у тех рабочих, чьи трудовые операции связаны с применением оптических приборов. Однако, по данным этих авторов, приборная миопия развивается значительно медленнее. Вероятно, в данном случае неравномерное снижение остроты зрения отражает закономерности ранней фазы развития миопии. Надо отметить, что последние исследования Ульданого и Югая [17] миопизации глаз у школьников содержат данные о несимметричном характере появления миопии в 77 % случаев.

Объем относительной аккомодации у учащихся был высок. Среднее значение его для лиц с остротой зрения 1,0—0,9 составило ($9,7 \pm 0,7$)

регуляції морфологічного складу пе-
у собак після двобічної адреналек-
6.

еское строение вилочковой железы
по. 1973.— № 4.— С. 108—110.
и др. Электронно-микроскопическое
лимфоцитов крови при недостатке
984.— 30, № 5.— С. 78—82.
еские и функциональные взаимо-
шней инbredных линий //— Бюл.
94.

es G. In vitro assessment of immuno-
harmacology.— 1982.— 4.— P. 291—

influences on the secretion of the
tic tissue // Physiol. Rev.— 1952.—

of the human thymus of the fetus
N 1.— P. 1—13.

f the mouse thymus after sublethal
in the thymic microenvironment //

f mice // Acta radiol. Ther., Phys.,

lymphocytolysis: stromal cell-
of lymphocyte genotype // J. Im-

munes: inducers and regulators of
17.— P. 17—23.

se cells. Lymphoepithelial cell com-
rological characterization // J. Exp.

, et al. Heterogeneity of epithelial
study // Cell Tissue Res.— 1984.—

invest. Dermatol.— 1983.— 80, N 6,

Поступила 09.12.85

затруднено. Видимо, это связано с тем, что в ряде случаев миопия может быть временной, и ее можно предотвратить или устранить путем изменения условий труда. Важно отметить, что миопия может развиваться и у лиц с нормальным зрением, если они проводят много времени за компьютером или смотрят на экраны мобильных телефонов и планшетов.

Выводы. Изучение функционального состояния зрительной системы у учащихся среднего профессионально-технического училища, осваивающих профессию огранщика, показало, что острота зрения у них снижается в результате длительной работы с оптическими приборами. Снижение остроты зрения у 30,9 % учащихся (115 человек) является незначительным, но у 5,1 % обследованных острота зрения снижалась до 0,6 и менее. Для предотвращения миопии необходимо создать более благоприятные условия труда, особенно для тех, кто работает с оптическими приборами. Важно также регулировать время, проведенное за компьютером или смотрением на экраны мобильных телефонов и планшетов.

Характеристики функционального состояния зрительного анализатора учащихся, осваивающих прецизионные трудовые операции

Острота зрения	Анизометропия, дптр	Экзофория, %, дптр	Относительная аккомодация, дптр			К	Ближайшая точка конвергенции, м
			+часть	-часть	объем		
1,0	0	0,06±0,10	5,96±0,70	3,71±0,40	9,67±0,83	0,62	10,1±0,63
0,9	0	0,60±0,11	5,28±1,30	3,20±0,24	8,48±0,21	0,63	10,2±0,56
0,8	0	0,40±0,20	4,80±0,10	3,10±0,53	7,90±0,30	0,65	10,4±0,71
0,7	0	1,40±0,11	4,25±0,65	2,75±0,38	7,00±0,30	0,65	10,2±1,8
0,5	0	3,00±0,50	5,00±1,25	2,25±0,25	7,25±0,84	0,45	10,1±1,2
0,6	0—0,5	2,40±0,17	4,90±0,80	3,90±0,74	8,80±0,52	0,79	9,0±0,9
0,5	0,5—1,0	4,50±0,10	2,25±0,53	2,15±0,30	4,40±0,61	0,90	8,0±1,1

дптр, что на 28,2 % выше среднего значения объема относительной аккомодации у тех же лиц, при поступлении в училище. Увеличение объема относительной аккомодации вызвано ростом ее израсходованной части. Запасная часть практически не изменяется. Равномерное снижение остроты зрения на оба глаза сопровождается уменьшением объема относительной аккомодации. Корреляция снижения остроты зрения и уменьшения объема относительной аккомодации составила 0,71, в то время как связь между снижением остроты зрения и некоторым уменьшением положительной части аккомодации не выявлена. При неравномерном снижении остроты зрения на оба глаза объем относительной аккомодации практически не меняется по сравнению с объемом аккомодации у лиц с эмметропической рефракцией при анизометропии до 0,5 дптр. При дальнейшем увеличении анизометропии от 0,5 до 1,0 дптр объем относительной аккомодации значительно снижается (до $4,75\pm0,5$ дптр, см. таблицу). Во всех случаях анизометропии наблюдалось изменение отношения (К) запасной части к израсходованной относительной аккомодации: увеличение израсходованной части и уменьшение запаса относительной аккомодации, причем отношение приближается к единице. Это свидетельствует о развитии перенапряжения цилиарной мышцы [1]. При увеличении анизометропии от 0,5 до 1,0 дптр отмечается развитие спазма аккомодации. Проба Аветисова выявила наличие спазма аккомодации во всех случаях анизометропии выше 0,5 дптр.

Нарушение фузии развивалось у 13,2 % учащихся. Практически у всех учащихся с нарушением мышечного равновесия отмечается экзофория вблизи и вдали. Нарушение мышечного равновесия положительно коррелирует со снижением остроты зрения или степенью анизометропии при неравномерном снижении остроты зрения на оба глаза (0,60 и 0,71 соответственно). Мы полагаем, что развитие экзофории у учащихся вызвано некоторой дивергенцией зрительных осей в процессе работы с лупой. Этим, с нашей точки зрения, объясняется и тот факт, что ближайшая точка конвергенции была приближена к глазу менее чем на 10 см лишь у лиц с анизометрией. По литературным данным у молодых рабочих, осваивающих трудовые операции, которые требуют значительного напряжения зрения, обычно развивается чрезмерная конвергенция [6].

Нам представлялось важным оценить взаимозависимость описанных характеристик зрительной системы и успешности освоения специальности, работоспособности при выполнении работ, связанных с напряжением зрения, и характеристик глазомера.

В качестве модели зрительно напряженной работы были использованы модифицированные корректурные пробы Бурдона. Работа выполнялась в течение 10 мин. Глазомер оценивали посредством определения средней ошибки при оценке длины отрезков. Анализ данных показал, что работоспособность снижается при увеличении экзофории выше 2,5 пр. дптр (r составляет 2,15 и 2,05 соответственно). Снижение остроты зрения, уменьшение объема относительной аккомодации и

увеличение степени анизометропии, и на характеристики выполнения кратковременного, и на характеристики производственных показателей. Явилось, что снижение объема относительной аккомодации для учащихся с анизометропией, а значит к снижению нормы (ответственно).

Результаты проведенных исследований показали, что учебный процесс занятый в период занятий учащихся с анизометропией, проводится тренирование с дивергентной аккомодацией для учащихся с анизометропией.

Разработанный комплекс мероприятий направлен на восстановление астеноптической остроты зрения, препятствующей дальнейшему снижению остроты зрения.

ADAPTATION OF THE WORKING AND TRAINING CONDITIONS TO THE NEEDS OF MASTERING PRECISION OPERATIONS

Studies in the functional state of the eye during working and training conditions have shown that during the period of training, the ratio of its parts is disturbed, the output norms. To prevent this, a complex of measures for training the accommodative system has been developed and introduced.

Institute of Labour Hygiene and Safety at Work, Kiev, Institute of Labour Hygiene and Safety at Work, Kiev

1. Аветисов Э. С. Методика к. М.: Б. и., 1976.—10 с.
2. Волков В. В., Парпаров А. Техника и методика работоспособности. Офтальмогигиена.—М., 1978.
3. Дащевский А. И. Ложная блефароптоз.—М., 1978.
4. Заксенвегер Р. Аномалии зрения.—М.: Медгиз, 1963.—100 с.
5. Коваленко В. А., Лиман А. А. Офтальмогигиена труда.—Киев: Вып. 6.—С. 64—67.
6. Краузе-Либшер И. Роль зрения в работе // Офтальмогигиена труда.—Киев, 1978.
7. Кузнецова Ю. А. Состояние глаза при работе // Гигиена труда.—Киев, 1978.
8. Максименко В. И., Ковалева А. А. Офтальмогигиена труда.—Киев, 1978.
9. Сергеевский Л. И. Содружество глаза и мозга.—М.: Медгиз, 1951.—243 с.
10. Тагаева Н. И. Оценка динамики работоспособности при выполнении прецизионных трудовых операций.—Киев, 1982.
11. Тагировская А. О развитии глаза при работе // Вестник офтальмологии.—1982, № 10.
12. Ульданов Г. А., Юсай А. В. Оценка работоспособности школьников с начальной миопией.—Киев, 1982.
13. Kassel R. Instrument шупория.—Киев, 1967.—57.—Р. 576—584.
14. Sato T. Causes and prevention of eye strain.—Kiev, 1982.
15. Shimojama T. Eye accommodation.—Kiev, 1967.—21.—Р. 985—990.

Киев, ин-т гигиены труда и профзаболеваний МЗ УССР

Физиол. журн., 1986, т. 32, № 4

ительного анализатора учащихся, трудовые операции

модация, дптр	объем	K	Ближайшая точка конвергенции, M
0,40	9,67±0,83	0,62	10,1±0,63
0,24	8,48±0,21	0,63	10,2±0,56
0,53	7,90±0,30	0,65	10,4±0,71
0,38	7,00±0,30	0,65	10,2±1,8
0,25	7,25±0,84	0,45	10,1±1,2
0,74	8,80±0,52	0,79	9,0±0,9
0,30	4,40±0,61	0,90	8,0±1,1

ения объема относительной ии в училище. Увеличение ано ростом ее израсходоване изменяется. Равномерное провождается уменьшением реляция снижения остроты ой аккомодации составила ем остроты зрения и некото аккомодации не выявлена. на оба глаза объем относится по сравнению с объем рефракцией при анизометрии анизометропии от модации значительно снижается везах анизометропии асной части к израсходоване израсходованной части иши, причем отношение при о развитии перенапряжения анизометропии от 0,5 до модации. Проба Аветисова всех случаях анизометропии

учеников. Практически равновесия отмечается экзо- го равновесия положитель- или степенью анизометрии зрения на оба глаза (0,60 развитие экзофории у уч- зательных осей в процессе, объясняется и тот факт, приближена к глазу менее 10 литературным данным у операции, которые требуют развивается чрезмерная

взаимозависимость описан- пешности освоения специ- работ, связанных с на-

ной работы были исполь- бурдона. Работа вы- зывали посредством опреде- резков. Анализ данных по- и увеличении экзофории соответственно). Снижение тельной аккомодации и

увеличение степени анизометропии не оказывали влияния на точность выполнения кратковременной работы, связанной с напряжением зрения, и на характеристики глазомера учащихся. Однако сопоставление производственных показателей с исследуемыми характеристиками выявило, что снижение объема относительной аккомодации, увеличение степени анизометропии, а также увеличение степени экзофории приводят к снижению нормы выработки (r составляет 0,75; 0,64 и 0,71 соответственно).

Результаты проведенных исследований позволили включить в учебный процесс занятия по профилактике нарушения зрения. В период занятий учащихся обучают приемам зрительной гимнастики, массажа, проводятся тренировки аккомодации по Дащевскому: микрозатуманивание с дивергентной дезаккомодацией и тренировкой резервов аккомодации для дали [5]. В отдельных случаях применяли электро-punktурную рефлексотерапию.

Разработанный комплекс профилактических мероприятий предотвращает астенопические явления, способствует нормализации остроты зрения, препятствует развитию миопии.

O. R. Okhremenko

ADAPTATION OF THE VISUAL APPARATUS IN THE PERIOD OF MASTERING PRECISE WORKING OPERATIONS

Studies in the functional state of the visual system when performing operations of high accuracy serve as a basis to develop problems associated with rationalization of working and training conditions. Examination of persons mastering the precise working operations has shown that during adaptation the volume of relative accommodation changes, the ratio of its parts is disturbed, exophoria develops, the nearest convergence point moves away. These changes result in the development of visual fatigue and decrease of the output norms. To prevent the asthenopic phenomena a complex of preventive measures is developed and introduced into the training process: visual exercises, massage, exercises for training the accommodation muscle.

Institute of Labour Hygiene and Professional Diseases, Kiev

1. Аветисов Э. С. Методика комплексного клинического исследования аккомодации.— М.: Б. и., 1976.— 10 с.
2. Волков В. В., Парпаров А. Б. Аномалии рефракции как причина ограничения зрительной работоспособности и эргономические основы очковой коррекции зрения // Офтальмогеномика.— М., 1976.— С. 20—42.
3. Дащевский А. И. Ложная близорукость.— М.: Медицина, 1973.— 152 с.
4. Заксенвегер Р. Аномалии стереоскопического зрения при косоглазии и их лечение.— М.: Медгиз, 1963.— 100 с.
5. Коваленко В. А., Лиман А. Д. Возрастной аспект зрительной работоспособности при выполнении прецизионных трудовых операций // Гигиена труда.— 1982.— Вып. 6.— С. 64—67.
6. Краузе-Либшер И. Роль зрительного восприятия при точных операциях и сменной работе // Офтальмогеномика.— М., 1976.— С. 81—90.
7. Кузнецов Ю. А. Состояние аккомодации как показатель напряженности зрительной работы // Гигиена труда и проф. заболеваний.— 1975, № 2.— С. 43—45.
8. Максименко В. И., Ковалева Г. В., Алтер С. С. Использование бифокальных сферопризматических очков в условиях Омского телевизионного завода // Физиология и патология механизмов органа зрения.— Владивосток, 1983.— С. 100—101.
9. Сергиевский Л. И. Содружественное косоглазие и гетерофории.— М.: Медгиз, 1951.— 243 с.
10. Тагаева Н. И. Оценка динамики зрительной работоспособности у лиц, занятых на прецизионных трудовых операциях // Офтальмогеномика.— М., 1976.— С. 91—101.
11. Татевосян А. А. О развитии односторонней профессиональной близорукости // Вестн. офтальмологии.— 1968, № 2.— С. 63—64.
12. Ульданов Г. А., Югай А. В. Динамика анатомо-оптических параметров глаза у школьников с начальной миопией // Офтальмол. журн.— 1984, № 5.— С. 313—317.
13. Kassel R. Instrument myopia while working with microscopes // J. Opt. Soc. Amer.— 1967, 57.— P. 576—584.
14. Sato T. Causes and prevention of myopia.— Tokyo, 1957.— 107 p.
15. Shimojama T. Eye accommodation when looking into microscope // J. Clin. Ophthalmol.— 1967, 21.— P. 985—990.

Киев, ин-т гигиены труда и профзаболеваний
МЗ УССР

Поступила 05.05.85

А. Н. Верхратский

БЛОКАДА ИОНАМИ КАДМИЯ НАТРИЕВЫХ ТОКОВ МЕМБРАНЫ ИЗОЛИРОВАННЫХ КАРДИОМиОЦИТОВ

Блокирующее действие ионов кадмия на кальциевую проводимость впервые было показано на нейронах моллюсков [2]. Оно характеризовалось достаточно большой специфичностью (Кд для блокады кальциевого тока Cd^{2+} составляла 70 мкмоль/л). Ионы кадмия (концентрация 0,05—1 ммоль/л) применяют в качестве специфических блокаторов кальциевых каналов в исследованиях трансмембранных токов клеток миокарда [6, 7]. В настоящем сообщении приведены данные о том, что ионы кадмия блокируют не только кальциевую, но и натриевую проводимость мембраны изолированных кардиомиоцитов.

Методика

Эксперименты проводили на ферментативно изолированных миоцитах левого желудочка сердца крыс одномесечного возраста. Ионную проводимость мембраны одиночных кардиомиоцитов исследовали в условиях внутриклеточной перфузии и фиксации напряжения на мемbrane [9] при температуре 20—22°C. В качестве внутриклеточного раствора использовали ТРИС-НФ (135 ммоль/л; pH 7,2). Внеклеточный раствор содержал (ммоль/л): NaOH—154; KOH—5; $Ca(NO_3)_2$ —3,6-ТРИС-оксиметиламинометан—10 и был доведен метансульфоновой кислотой до pH 7,4. Разница в осмотическом давлении между вне- и внутриклеточным растворами (внутриклеточный раствор примерно на 25 % был гипосмотрическим наружного) обеспечивала высокие значения сопротивления утечки системы «клетка в поре» (R_L составляет 700—900 МОм). Трансмембранные токи регистрировали с помощью многоканального анализатора NTA-1024 и выводили на графопостроитель. Приложение к мембране кардиомиоцитов внеклеточных растворов кадмия различной концентрации осуществляли с помощью техники быстрой гидродинамической аппликации [3]. Время полной смены внеклеточного раствора составляло 50—70 мс. Влияние ионов кадмия на трансмембранный ионный ток приводили на 17 клетках.

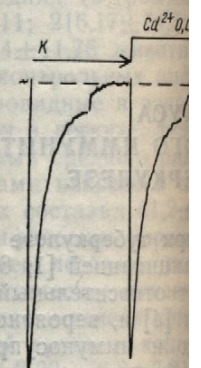
Результаты и их обсуждение

После разрушения клеточной мембраны и замены внутриклеточно-го содержимого искусственным солевым раствором в исследуемых кардиомиоцитах в ответ на деполяризующее смещение мембранныго потенциала регистрировался входящий ионный ток. В описываемых экспериментальных условиях высокая концентрация ионов фтора во внутриклеточном растворе подавляла кальциевые токи [8]. Поскольку внутриклеточный раствор был лишен ионов хлора для устранения хлорного тока [1, 4], можно было предположить, что регистрируемый входящий ток переносится только ионами натрия. Такое предположение подтверждалось зависимостью этого тока от концентрации Na^+ в наружном растворе, а также его чувствительностью к тетродотоксину (ток полностью блокировался 10^{-4} моль/л TTX).

Приложение к мембране кардиомиоцитов внеклеточных растворов кадмия нарастающей концентрации приводило к прогрессирующему подавлению входящего ионного тока, начиная с концентрации 30—60 мкмоль/л Cd^{2+} в наружном растворе. Полное подавление входящего ионного тока мембраны одиночных кардиомиоцитов, регистрируемого в описанных условиях, наблюдали при наружной концентрации Cd^{2+} , составляющей 0,7—0,8 ммоль/л. Пример блокирующего действия ионов кадмия на натриевые токи мембраны изолированных клеток сердца приведен на рисунке.

Полученные результаты совпадают с данными о полном подавлении ионами кадмия (0,5 ммоль/л) не только кальциевого, но и натриев-

вого тока на фрагментах строения нацируемой работе о раций кадмия на на натриевого тока мем с концентрации 0,05 0,8 ммоль/л, т. е. при лишь на порядок. Ве посредственным возд



Действие нарастающих концентраций ионов кадмия на токи мембраны изолированных кардиомиоцитов. К — регистратор.

на состояние мембраны, полученных данных можно использовать для трансмембранных изолированных кардиомиоцитов, используя инструмент, рассчитанный на каналы мембранные.

Cadmium Inhibition of the Inward Current in Isolated Cardiomyocytes

It is found that cadmium ions inhibit the inward current in isolated cardiomyocytes. The specific effect of cadmium on transmembrane currents can be used as a pharmacological tool.

A. A. Bogomoletz Institute of Biophysics, Academy of Sciences, Ukr.

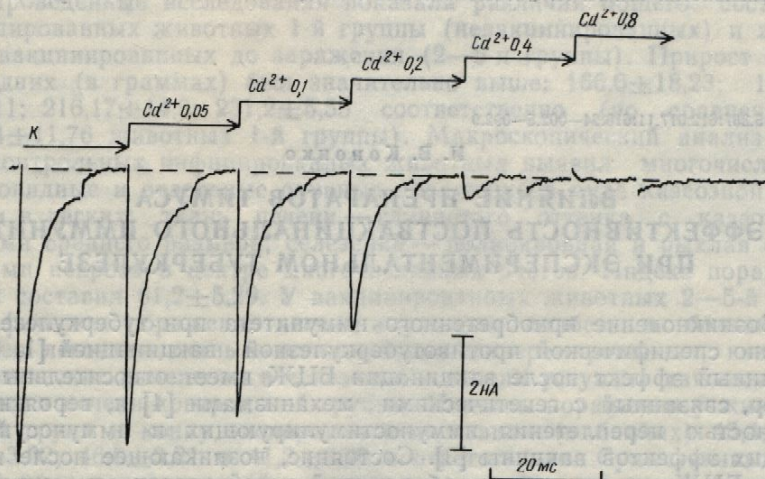
1. Верхратский А. Н., Пидопличко В. И. Блокада кальциевого тока в мембране изолированного кардиомиоцита. Физиология и экспериментальная медицина. 1985.—2, № 1.— С. 17—20.
2. Крышталь О. А. Блокада кальциевого тока в мембране нервной ткани. Физиология и экспериментальная медицина. 1985.—2, № 1.— С. 17—20.
3. Пидопличко В. И. Техника изолирования кардиомиоцитов. Физиология и экспериментальная медицина. 1983.—37, № 6.— С. 75—80.
4. Пидопличко В. И., Веселовская Е. А. Блокада кальциевого тока в изолированных кардиомиоцитах. Физиология и экспериментальная медицина. 1983.—37, № 6.— С. 75—80.
5. Difrancesco D., Ferroni J. Physiol., London.—1986.—10, № 1.— С. 1—10.

Физиол. журн., 1986, т. 32, № 4

и
вых токов мембранных кардиомиоцитов

кальциевую проводимость юсков [2]. Оно характеризует (K_d для блокады кальциевого ионами кадмия (концентрация специфических блокаторов трансмембранных токов клеток приведены данные о том, что кальциевую, но и натриевую проводимость юсков.

олицированных миоцитах левого желудочка проводимость мембраны одноклеточной перфузии и фиксации при температуре 20–22 °C. В качестве внутреклеточного раствора (NO₃)₂-3,6-ТРИС-оксиметиламиногидрат до pH 7,4. Разница в осмотических давлениях (внутреклеточный раствор) обеспечивала высокие значения сопротивления 700–900 МОм). Трансмембранный анализатор NTA-1024 измерял токи мембраны кардиомиоцитов в неклеточных условиях с помощью техники полной смены внеклеточного раствора трансмембранный ионную проводимость. Для устранения хлорного регистрационного тока во внутренней среде использовали подтверждение наружного раствора тетродотоксина (ток полностью подавляется). В описываемых экспериментах регистрируемый входящий ток изолированного кардиомиоцита (поддерживаемый потенциал составляет 120 мВ, тестирующий – 30 мВ):



Действие нарастающих концентраций ионов кадмия (ммоль/л) на входящий натриевый ток мембраны изолированного кардиомиоцита (поддерживающий потенциал составляет 120 мВ, тестирующий – 30 мВ):
К — регистрация тока в растворе, не содержащем ионов кадмия.

на состояние мембранны в целом. Таким образом, на основании полученных данных можно предполагать неспецифическое действие кадмия на трансмембранные ионные токи в клетках миокарда и считать нецелесообразным использование ионов Cd²⁺ в качестве фармакологического инструмента, рассчитанного на избирательную блокаду кальциевых каналов мембранны клеток сердца.

A. N. Verkhratsky

CADMUM IONS BLOCKAGE OF SODIUM CURRENTS IN THE MEMBRANE OF ISOLATED CARDIOMYOCYTES

It is found that cadmium ions block not only calcium conduction but also sodium one of the isolated cardiomyocyte membrane. Cadmium is supposed to have a non-specific effect on transmembrane ionic currents in the myocardium cells and is not expedient to be used as a pharmacologic means for a selective blockage of calcium channels.

A. A. Bogomoletz Institute of Physiology,
Academy of Sciences, Ukrainian SSR, Kiev

1. Верхратский А. Н., Пидопличко В. И. Тетродотоксин-чувствительный, pH зависимый хлорный ток в мембране изолированных кардиомиоцитов // Биол. мембранны.—1985.—2, № 1.—С. 17–24.
2. Крышталь О. А. Блокирующее действие ионов кадмия на кальциевый входящий ток в мембране нервной клетки // Докл. АН СССР.—1976.—231, № 4.—С. 1003–1005.
3. Пидопличко В. И. Техника «ступенчатой» и «прямоугольной» гидродинамической аппликации веществ на мембрану перфузированных нейронов // Физиол. журн.—1983.—37, № 6.—С. 754–757.
4. Пидопличко В. И., Верхратский А. Н. Возможное существование чувствительной к тетродотоксину потенциалозависимой хлорной проводимости в мембране перфузированных кардиомиоцитов // Докл. АН СССР.—1984.—279, № 4.—С. 1012–1015.
5. Difrancesco D., Ferroni A., Visentin S. Cadmium blocks i Na in calf Purkinje fibres // J. Physiol., London.—1984.—353, Aug.—P. 73.

6. Lee E. W., Lee K. S., Noble D., Spindler A. J. A very slow inward current in single ventricular cells // Ibid.—1983.—345, December.—P. 6.
7. Lee K. S., Tsien R. W. Mechanism of calcium channel blockade by verapamil, D600, diltiazem, and nifedipine in single dialysed heart cells / Nature.—1983.—302, N 5913.—P. 790—794.
8. Kostyuk P. G., Krishnal O. A., Pidoplichko V. I. Effect of internal fluoride and phosphate on membrane currents during intracellular dialysis of nerve cells // Ibid.—1975.—257, N 5445.—P. 691—693.
9. Kostyuk P. G., Krishnal O. A., Pidoplichko V. I. Intracellular perfusion // J. Neurosci. Meth.—1981.—4, N 3.—P. 201—210.

Ин-т физиологии им. А. А. Богомольца АН УССР,
Киев

Поступила 05.05.85

УДК 615.357:612.017.11:616.24—002.5—092.9

И. В. Кононко

ВЛИЯНИЕ ПРЕПАРАТОВ ТИМУСА НА ЭФФЕКТИВНОСТЬ ПОСТВАКЦИНАЛЬНОГО ИММУНИТЕТА ПРИ ЭКСПЕРИМЕНТАЛЬНОМ ТУБЕРКУЛЕЗЕ

Возникновение приобретенного иммунитета при туберкулезе обусловлено специфической противотуберкулезной вакцинацией [1, 6]. Но вакциниальный эффект после вакцинации БЦЖ имеет относительный характер, связанный с генетическими механизмами [4] и, вероятно, со сложностью переплетения иммуностимулирующих и иммуносупрессирующих эффектов вакцины [3]. Состояние, возникающее после вакцинации БЦЖ, не определяет абсолютной устойчивости к микобактериям туберкулеза [5]. В настоящее время внимание исследователей привлекают гормоны тимуса. Результаты изучения их действия на противотуберкулезный иммунитет представлены лишь в единичных работах.

Цель нашей работы — экспериментальное изучение возможности повышения эффективности вакцинации БЦЖ с помощью препаратов тимуса — лимбоцитозстимулирующего вещества (ЛСВ) и тимозина, регулирующее влияние которых на иммунологическую реактивность доказано при некоторых заболеваниях.

Методика

Исследования проведены на 75 туберкулиночувствительных морских свинках (самцы), начальная масса которых составляла $(251,99 \pm 6,82)$ г. Животных условно разделили на следующие 5 групп: 1-я — животные, которых заражали туберкулезом (контроль инфекции); 2-я — животные, которых вначале вакцинировали, а затем заражали туберкулезом (контроль вакцинации); 3-я — животные, которым на 1 кг массы вводили 2 мг ЛСВ; 4-я — животные, которым на 1 кг массы вводили 8 мг тимозина; 5-я — животные, которым вводили смесь препаратов (указанных их доз). 1-я и 2-я группы животных получали физиологический раствор натрия хлорида. Препараты и физиологический раствор (0,5 мл) вводили подкожно в течение 10 дней ежедневно, после чего животным 2—5-й групп подкожно в паховую область вводили 0,8 мг сухой вакцины БЦЖ (Ташкентский НИИВС) на 1 кг массы. После вакцинации возобновляли введение препаратов и вводили их в течение 7 сут (через сутки). Затем всех животных заражали с помощью подкожного введения 0,02 мг вирулентных микобактерий туберкулеза H_3Rv в 0,5 мл растворе натрия хлорида. На 30-е и 55-е сутки после заражения у морских свинок производили оценку туберкулиновой чувствительности путем внутрикожного введения туберкулина (1 : 10). Интенсивность туберкулиновой чувствительности определяли, измеряя площадь кожной реакции. Затем животных забивали под эфирным наркозом и определяли макроскопическую пораженность внутренних органов по Чернушенко и соавт. [7]. Вычисляли индексы массы вилочковой железы и селезенки, полученное значение умножали на 100. Производили иммунологические исследования содержания Е- и ЕАС-розеткообразующих клеток по Sandberg и соавт. [9], уровня неспецифической и специфической пролиферации лимфоцитов перифери-

ческой крови в культуре 20 мкг/мл) и ППД-Л (Лентитель — гемагглютининов — лучения исходных значений Препараторы вилочковой железы известному способу Ноорег-Энгнеса со временем

Проведенные исследования показали, что инфицированных животных, вакцинированных последних (в граммах) $\pm 18,11$; $216,17 \pm 14,3$; $118,14 \pm 11,76$ животных контрольных инфицированных и отдельных монии в легких; ткань очагами среднего размера злокачественного некроза в центре которых составил $61,2 \pm 5$ специфические поражения случаев легочная ткань некротические изменения в легенке и печени контролльной группы к концу 2—5-й групп к концу 43,8 $\pm 3,02$; $46,8 \pm 3,21$ и различий в макроскопических отдельных группах вакцинированных животных. Для туберкулезной лезенки и увеличение массы органов выявило, что в группах контрольных инфицированных животных $0,07 \pm 0,012$, чем у интактных морских свинок этой группы. Для животных 3-й группы, инфицированных животных, значительно отличалась от 1-й группы $1,1 \pm 0,25$. Несколько меньше ($0,7 \pm 0,17$; $0,69 \pm 0,09$) и получавших одновременно туберкулезную лезенку мало отличалась от 1-й группы ($1,25 \pm 0,010$).

Содержание Е-розеткообразующих животных, инфицированных животных, вакцинированных животных, включая селезенку и печень, у интактных животных (17,6 $\pm 1,25$ %) и (43,2 $\pm 3,02$ %) в период у животных 2—5-й групп, введение препаратов включая Е-РОК по сравнению с интактными животными. Под действием Е-РОК, лирующий эффект был соответственно ($33,0 \pm 3,02$ %) и ($26,6 \pm 1,50$ %); $P < 0,05$.

Существенных различий в содержании Е-розеткообразующих животных, вакцинированных животных, включая селезенку и печень, у интактных животных (17,6 $\pm 1,25$ %) и (43,2 $\pm 3,02$ %) в период у животных 2—5-й групп, введение препаратов включая Е-РОК по сравнению с интактными животными. Под действием Е-РОК, лирующий эффект был соответственно ($33,0 \pm 3,02$ %) и ($26,6 \pm 1,50$ %); $P < 0,05$.

Существенных различий в содержании Е-розеткообразующих животных, вакцинированных животных, включая селезенку и печень, у интактных животных (17,6 $\pm 1,25$ %) и (43,2 $\pm 3,02$ %) в период у животных 2—5-й групп, введение препаратов включая Е-РОК по сравнению с интактными животными. Под действием Е-РОК, лирующий эффект был соответственно ($33,0 \pm 3,02$ %) и ($26,6 \pm 1,50$ %); $P < 0,05$.

Число ЕАС-розеткообразующих животных 1-й группы

ery slow inward current in single channel blockade by verapamil, D600, heart cells // Nature.—1983.—302, effect of internal fluoride and phosphorus of nerve cells // Ibid.—1975.—intracellular perfusion // J. Neurosci.

Поступила 05.05.85

В ТИМУСА АЛЬНОГО ИММУНИТЕТА И ТУБЕРКУЛЕЗЕ

итета при туберкулезе обусловленной вакцинацией [1, 6]. Но К имеет относительный хамизмами [4] и, вероятно, со сопровождающими иммуносупрессии возникающее после вакцинации стойчивости к микобактериям. Внимание исследователей заслуживает изучения их действия на пропаганы лишь в единичных

изучение возможности Ж с помощью препаратов (ЛСВ) и тимозина, рентгенологическую реактивность до-

трицательных морских свинках $1,99 \pm 6,82$ г. Животных условно которых заражали туберкулезом але вакцинировали, а затем зараженные, которым на 1 кг массы кг массы вводили 8 мг тимозина; (указанных их доз). 1-я и 2-я паратрия хлорида. Препараты и в течение 10 дней ежедневно, вую область вводили 0,8 мг сухой. После вакцинации возобновляют (через сутки). Затем всех жи- 0,02 мг вирулентных микобактерий. На 30-е и 55-е сутки после заражения чувствительности пульмональной туберкулиновой чув- реакции. Затем животных заби- ческую пораженность внутренних скрытых массы вилочковой железы и производили иммунологические ис- их клеток по Sandberg и соавт. иферации лимфоцитов перифери-

ческой крови в культурах, стимулированных ФГА (фирма «Wellcome» Англия; 20 мкг/мл) и ППД-Л (Ленинградский НИИВС; 40 мкг/мл), уровня специфических антител — гемагглютининов — в сыворотке крови по общепринятым методикам. Для получения исходных значений исследуемых показателей забивали 5 интактных животных. Препараты вилочковой железы получены из тимусов телят: тимозин (фракция 5).— по известному способу Ноорег и соавт. [8], ЛСВ — по методу Безвершенко и соавт. [2].

Результаты и их обсуждение

Проведенные исследования показали различия общего состояния инфицированных животных 1-й группы (невакцинированных) и животных, вакцинированных до заражения (2—5-я группы). Прирост массы последних (в граммах) был значительно выше: $166,0 \pm 18,23$; $181,6 \pm 18,11$; $216,17 \pm 14,3$; $231,2 \pm 5,55$ соответственно (по сравнению с $118,14 \pm 11,76$ животных 1-й группы). Макроскопический анализ органов контрольных инфицированных животных выявил многочисленные стекловидные и отдельные сливные поражения в виде казеозной пневмонии в легких; ткань печени — глинистого оттенка с казеозными очагами среднего размера; селезенка — полнокровная и рыхлая с признаками некроза в центре многочисленных очагов. Индекс поражений у них составил $61,2 \pm 5,29$. У вакцинированных животных 2—5-й групп специфические поражения легких выражены слабее: в большинстве случаев легочная ткань — полнокровная, гиперемированная, казеозно-некротические изменения в селезенке и печени уступали таковым в селезенке и печени контрольной группы. Индексы поражения у животных 2—5-й групп к концу эксперимента составили (в баллах) $45,4 \pm 3,26$; $43,8 \pm 3,02$; $46,8 \pm 3,21$ и $41,2 \pm 3,96$ соответственно. Существенных различий в макроскопической картине поражений внутренних органов в отдельных группах вакцинированных животных не выявлено.

Для туберкулезной инфекции характерны атрофия вилочковой железы и увеличение массы селезенки. Вычисление индексов лимфоидных органов выявило, что на 30-е сутки после заражения индекс массы тимуса контрольных инфицированных животных был несколько меньше $0,07 \pm 0,012$, чем у интактных $0,084 \pm 0,015$. Среди вакцинированных морских свинок этот показатель был более высоким, особенно у животных 3-й группы, получавших ЛСВ $0,11 \pm 0,014$. На 55-е сутки инфекции были выявлены те же закономерности. Индекс массы селезенки инфицированных животных на 30-е сутки, начиная с момента заражения, значительно отличался от интактных животных и составлял $1,1 \pm 0,25$. Несколько меньшим он был у морских свинок 2—4-й групп ($0,7 \pm 0,17$; $0,69 \pm 0,09$ и $0,66 \pm 0,076$). В то же время у группы животных, получавших одновременно оба тимусных препарата, индекс массы селезенки мало отличался от этого индекса у контрольных животных 1-й группы ($1,25 \pm 0,0102$).

Содержание Е-розеткообразующих клеток в тимусе контрольных инфицированных животных было снижено по сравнению с этим показателем у интактных морских свинок на 30-е сутки и составляло ($17,6 \pm 1,25$) % и ($43,2 \pm 2,38$) % соответственно ($P < 0,001$). В этот период у животных 2—5-й групп вакцинация БЦЖ и дополнительное введение препаратов вилочковой железы способствовало повышению числа Е-РОК по сравнению с таковым у контрольных инфицированных животных. Под действием ЛСВ, тимозина и смеси препаратов стимулирующий эффект был выражен больше, чем у животных 2-й группы: соответственно ($33,0 \pm 3,74$) %, $39,8 \pm 4,19$ и $36,2 \pm 3,75$ по сравнению с ($26,6 \pm 1,50$) %; $P < 0,05$.

Существенных различий в уровне Е-розеткообразующих клеток в селезенке животных изучаемых групп практически не установлено на протяжении всего эксперимента: колебания числа Е-РОК соответствовали таковым у интактных свинок.

Число ЕАС-розеткообразующих клеток в селезенке инфицированных животных 1-й группы постепенно снижалось и к 55-м суткам после

заражения составило ($24,8 \pm 2,85$) % при ($30,2 \pm 2,97$) % у интактных животных. У вакцинированных до заражения животных (2-я группа) на 30-е сутки не выявлены существенные различия этого показателя. Стимулирующее влияние на уровень ЕАС-РОК оказывала вакцина БЦЖ на 55-е сутки течения инфекции — он достиг ($41,0 \pm 3,77$) % ($P < 0,01$). Дополнительное действие ЛСВ, тимозина и смеси препаратов на этот показатель проявилось в более интенсивном его увеличении: ($54,2 \pm 3,15$) %, ($49,0 \pm 2,30$ и $46,8 \pm 4,60$ соответственно).

Развитие инфекционного процесса сопровождалось незначительным угнетением ответа на ФГА лимфоцитов периферической крови инфицированных животных 1-й группы по сравнению с интактными морскими свинками, только у вакцинированных пролиферативный ответ оказался к концу эксперимента существенно более низким: ($19,0 \pm 1,18$) % при ($27,2 \pm 2,09$) % у интактных ($P < 0,01$). Раздельное введение ЛСВ и тимозина к 30-м суткам опыта способствовало повышению функциональной активности лимфоцитов на митоген: ($34,6 \pm 5,0$) % и ($32,8 \pm 5,9$) % при ($26,0 \pm 3,53$) % у вакцинированных животных 2-й группы. В это время действие смеси препаратов (5-я группа) проявилось в значительном усилении бластообразования ($44,0 \pm 4,34$) % ($P < 0,02$).

Специфическая кожная чувствительность на туберкулин у контрольных инфицированных животных была высокой уже на 30-е сутки заболевания. Площадь инфильтрата достигала ($262,8 \pm 24,88$) мм², а на 55-е сутки — ($302,2 \pm 26,37$) мм². В месте введения туберкулина в большинстве случаев развивался центральный некроз. Площадь реакции на туберкулин у вакцинированных животных в течение всего исследуемого периода была значительно меньше, чем у животных 1-й группы, что составило на 30-е сутки ($164,14 \pm 15,96$) мм² ($P < 0,01$), а на 55-е сутки — ($206,66 \pm 25,21$) мм² ($P < 0,05$). Введение ЛСВ, тимозина и смеси препаратов вакцинированным животным также способствовало снижению интенсивности кожной реакции по сравнению с контрольными инфицированными животными ($P < 0,05$).

У инфицированных морских свинок 1-й группы уровень бластообразования в культурах с ППД-Л, несмотря на прогрессирование инфекционного процесса постепенно снижался, составляя на 30-е сутки ($12,2 \pm 2,1$) %, а на 55-е сутки — ($6,0 \pm 0,77$) % ($P < 0,05$). Вакцинация способствовала увеличению числа трансформированных лимфоцитов и на 55-е сутки их число было значительно больше, чем у животных 1-й группы: ($10,2 \pm 0,89$) % ($P < 0,01$). Бластный ответ на ППД-Л лимфоцитов животных, получавших препараты тимуса, колебался на протяжении эксперимента в пределах 7—12 %. Существенной зависимости от вида препарата не выявлено.

Продукция циркулирующих антител в сыворотке крови инфицированных животных 1-й группы была повышенной на 30-е сутки: ($4,0 \pm 0,45$) усл. ед. и уменьшалась к 55-м суткам до ($2,2 \pm 0,31$) усл. ед. У контрольных вакцинированных животных титры гемагглютининов практически не изменялись на протяжении эксперимента и составляли на 30-е сутки ($2,4 \pm 0,25$), а на 55-е — ($2,6 \pm 0,25$) усл. ед. Раздельное введение ЛСВ и тимозина оказывало длительное стимулирующее действие на уровень противотуберкулезных антител, превышая этот показатель у вакцинированных животных 2-й группы на 30-е сутки: ($4,2 \pm 0,49$) усл. ед. и ($3,2 \pm 0,2$) усл. ед. и на 55-е сутки: ($4,4 \pm 0,51$) усл. ед. и ($3,0 \pm 0,32$) усл. ед. Под влиянием смеси препаратов уровень циркулирующих антител резко угнетался к концу эксперимента.

Выходы

1. При экспериментальном туберкулезе происходят нарушения Т- и В-систем иммунитета.

2. Предварительная вакцинация БЦЖ, проведенная до заражения микобактериями туберкулеза, улучшает общее состояние животных, задерживает развитие специфического поражения внутренних органов,

стимулирует в ранний период — В-систему иммунитета.

3. Дополнительное введение вилочковой железы способствует функциональную активацию антителообразования.

-МЕХАНИЗМЫ ИММУНИТИТА
И МИГРАЦИИ
ON THE EFFECT
-И И ОБРАЩЕНИЯ
IN THE
-BODY

Thymosine and lymphocyte effect on the development of tuberculosis in guinea pigs. No inhibiting effect on the immune response to tuberculin was found. Thymus has a stimulating effect, mainly in thymus. Thymus stimulates an increase in the w

F. T. Yanovsky Institute of Thoracic Surgery, Kiev

1. Авербах М. М. Исследование иммунитета // Проблемы туберкулеза. — Киев: Наукова думка, 1978.
2. Безвершенко И. А., Бойко И. А. Биологическая активность тимосина // Бюллетень научно-исследовательского института по изучению и лечению туберкулеза. — 1974. — № 46, № 3.
3. Лазарева Д. Н., Алексин В. А. Тимозин // Актуальные проблемы иммунитета и инфекционных заболеваний. — Краснодар: Кубанский государственный университет, 1980. — С. 256.
4. Мороз А. М., Ант А. С. Биологическая активность тимосина к туберкулезу у мышей // Актуальные проблемы иммунитета и инфекционных заболеваний. — Краснодар: Кубанский государственный университет, 1980. — С. 257.
5. Покровский В. И., Авербах М. М. Тимозин и иммунитет // Актуальные проблемы иммунитета и инфекционных заболеваний. — Краснодар: Кубанский государственный университет, 1980. — С. 258.
6. Чернушенко Е. Ф. Когезия легких. — Киев: Здоровье, 1981.
7. Чернушенко Е. Ф., Чумак В. А. Тимозин и иммунитет // Актуальные проблемы иммунитета и инфекционных заболеваний. — Краснодар: Кубанский государственный университет, 1980. — С. 259.
8. Hooper J. A., McDaniel A. B. Thymosin from bovine thymus // Ann. Rev. Med. — 1984. — № 5. — С. 51.
9. Sandberg G., Söder O., Engman L. Thymosin from pigs with evidence for a thymic factor // Int. Arch. Allergy and App. Immunol. — 1984. — № 75. — С. 52.

Кiev. ин-т туберкулеза, пул и грудной хирургии МЗ УССР

УДК 612.26+577.15.049

ОСОБЕННОСТИ НА ДЫХАТЕЛЬНУЮ У КРЫС С РАЗЛИЧНЫМИ ПОКАЗАТЕЛЯМИ

Известно, что животные различаются по некоторым физиологическим параметрам, которые в свою очередь при фармакологическом воздействии на организм обладают различными свойствами.

Физиол. журн., 1986, т. 32, № 4

($30,2 \pm 2,97$) % у интактных животных (2-я группа) различия этого показателя. С-РОК оказывала вакцина — он достиг ($41,0 \pm 3,77$) %, тимозина и смеси препарата интенсивном его увеличение 60 соответственно.

проводилось незначительное периферической крови сравнению с интактными пролиферативный ответ был более низким: ($19,0 \pm 1,6$) % ($P < 0,01$). Раздельное опыта способствовало повышение лимфоцитов на митоген: ($34,6 \pm 6$) % у вакцинированных животных препаратов (5-я группа) бластрообразования ($44,0 \pm 6$) %

на туберкулин у конт- высокой уже на 30-е сутки ала ($262,8 \pm 24,88$) mm^2 , а на введение туберкулина в боль- чекроз. Площадь реакции на

в течение всего иссле- , чем у животных 1-й групп- ($15,96$) mm^2 ($P < 0,01$), а на Введение ЛСВ, тимозина и тным также способствовало и по сравнению с контролем- 05).

группы уровень бластрообра- а прогрессирование инфек- составляя на 30-е сутки) % ($P < 0,05$). Вакцинация рмированных лимфоцитов и ольше, чем у животных 1-й ответ на ППД-Л лимфо- имуса, колебался на протя- Существенной зависимости

сыворотке крови инфициро- енной на 30-е сутки: ($4,0 \pm 0,5$) % до ($2,2 \pm 0,31$) усл. ед. х титры гемагглютининов эксперимента и составляли ± 0,25) усл. ед. Раздельное стимулирующее действи- ил, превышая этот пока- группы на 30-е сутки: ($4,2 \pm 0,5$) усл. ед. (4,4 ± 0,51) усл. ед. препаратов уровень цирку- эксперимента.

происходят нарушения Т- проведенная до заражения ее состояние животных, за- яния внутренних органов,

стимулирует в ранний период заболевания Т-систему, а в более поздний — В-систему иммунитета.

3. Дополнительное введение вакцинированным животным препаратов вилочковой железы выраженно стимулирует пролиферативную и функциональную активности Т-системы иммунитета, повышает уровень антителообразования.

I. V. Koponko

INFLUENCE OF THYMUS PREPARATIONS

ON THE EFFICIENCY OF POSTVACCINAL IMMUNITY

IN THE EXPERIMENTAL TUBERCULOSIS

Thymosine and lymphocytosis-stimulating substance have been studied for their effect on the development of experimental postvaccinal immunity. Data obtained from examinations of 80 guinea pigs are presented. They testify to that thymus preparations have no inhibiting effect on the formation of antituberculous immunity. They were found to have a stimulating effect, mainly, on the antibody formation as well as on E-rosette formation in thymus. Thymus preparations positively influenced the state of animals promoting an increase in the weight gain and delay of the infectious process development.

F. T. Yanovsky Institute of Tuberculosis, Pulmonology and Thoracic Surgery, Kiev

1. Авербах М. М. Исследования по иммунологии и иммуногенетике в отечественной фтизиатрии // Пробл. туберкулеза. — 1983. — № 9. — С. 3—6.
2. Безвершенко И. А., Бойко М. Г., Лукашева Р. Г. и др. Физико-химические свойства и биологическая активность низкомолекулярного фактора тимуса // Укр. биохим. журн. — 1974. — 46, № 3. — С. 358—363.
3. Лазарева Д. Н., Алексин Е. К. Стимуляторы иммунитета. — М.: Медицина, 1985. — 256 с.
4. Мороз А. М., Ант А. С., Никоненко Б. В. Иммуногенетические механизмы резистентности к туберкулезу у мышей // Пробл. туберкулеза. — 1983. — № 9. — С. 49—52.
5. Покровский В. И., Авербах М. М., Литвинов В. И., Рубцов И. В. Приобретенный иммунитет и инфекционный процесс. — М.: Медицина, 1979. — 279 с.
6. Чернушенко Е. Ф., Когосова Л. С. Иммунология и иммунопатология заболеваний легких. — Киев: Здоров'я, 1981. — 205 с.
7. Чернушенко Е. Ф., Чумак А. А., Гинзбург Т. С. Макроскопическая оценка поражения внутренних органов морских свинок, зараженных туберкулезом // Пробл. туберкулеза. — 1984. — № 5. — С. 53—55.
8. Hooper J. A., McDaniel M. C., Thurman G. B. et al. Purification and properties of bovine thymosin // Ann. N. Y. Acad. Sci. — 1975. — 249. — P. 125—144.
9. Sandberg G., Söder O., Ernström U. Quantitation of B- and T-lymphocytes in guinea pigs with evidence for a release of both cell type from the spleen into the blood // Int. Arch. Allergy and Appl. Immunol. — 1975. — 50, N 3. — P. 374—384.

Киев, ин-т туберкулеза, пульмонологии и грудной хирургии МЗ УССР

Поступила 19.02.86

Л. А. Горчакова

ОСОБЕННОСТИ ДЕЙСТВИЯ ФЕНОБАРБИТАЛА

НА ДЫХАТЕЛЬНУЮ АКТИВНОСТЬ МИТОХОНДРИЙ ПЕЧЕНИ
У КРЫС С РАЗЛИЧНОЙ УСТОЙЧИВОСТЬЮ К ГИПОКСИИ

Известно, что животные с различной устойчивостью к гипоксии различаются по некоторым параметрам дыхательной активности митохондрий печени [2], определяющих исходное состояние дыхательной цепи, которое в свою очередь определяет реактивность митохондрий при фармакологическом воздействии [3, 4]. Известно также, что фенобарбитал обладает разобщающим эффектом при окислении сукцинатов

митохондриями печени [7]. Однако особенности реактивности митохондрий при введении фенобарбитала в печени крыс с различной устойчивостью к гипоксии не изучались.

Цель исследования состоит в определении реактивности дыхательной цепи митохондрий печени у крыс с различной устойчивостью к гипоксии на введение фенобарбитала.

Методика

Исследования проводили на высоко- и низкоустойчивых к гипоксии крысах-самцах массой 250–300 г. Разделение животных по их индивидуальной устойчивости к гипоксии проводили по методике Березовского В. А. [1]. Об устойчивости крыс к гипоксии судили по времени выживания животного на 12 тыс. м над уровнем моря. Среднее время выживания для низкоустойчивых крыс составило 87 с, а для высокоустойчивых крыс — 270 с. Суммарную дозу (240 мг/кг) фенобарбитала вводили внутрьбрюшно в течение 3 сут по 80 мг/кг.

О дыхательной активности митохондрий судили по скорости потребления кислорода, выраженной вnanoатомах в минуту на миллиграмм белка, которую регистрировали с помощью платинового закрытого электрода в терmostатированной полярографической ячейке при 28°C. Инкубационная среда (рН 7,4) состояла (ммоль/л) из 240 сахарозы, 10 MgCl₂, 0,6 ЭДТА, 10 K₂PO₄. В качестве субстрата окисления использовали сукцинат натрия (7 ммоль), акцептора фосфата — АДФ (150 мкмоль), разобщителя дыхания и фосфорилирования — ДНФ (2,5 мкмоль).

Изучали следующие параметры дыхательной активности митохондрий: скорость эндогенного дыхания без субстрата и акцептора фосфата — v_0 ; скорость дыхания в присутствии субстрата — v_2 ; скорость дыхания в присутствии субстрата и АДФ — v_3 ; скорость дыхания после фосфорилирования АДФ — v_4 ; скорость разобщенного с фосфорилированием дыхания — v_p ; параметры энергетической функции митохондрий (дыхательные контроли по Чансу и Ларди — $\Delta K_q = \frac{v_3}{v_4}$ и $\Delta K_l = \frac{v_3}{v_p}$); разностные параметры дыхательной активности митохондрий: физиологический диапазон ($v_3 - v_4$), резерв ($v_p - v_3$) — дыхательной активности и остаточную дыхательную активность ($v_4 - v_0$) расчитывали по Маевскому и Кондрашовой [6]. Митохондриальный балок определяли по методу Лоури [12].

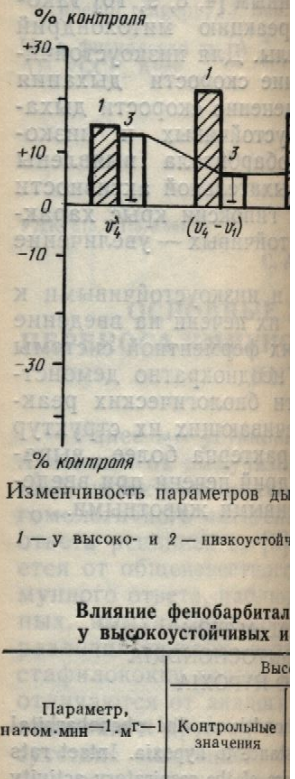
Показателем реактивности дыхательной цепи митохондрий служила степень изменчивости параметров дыхательной активности митохондрий при введении крысам фенобарбитала.

Результаты исследований

Результаты наших исследований подтвердили, что интактные высоко- и низкоустойчивые к гипоксии крысы различаются по некоторым параметрам дыхательной активности митохондрий печени (таблица). Так, высокоустойчивые к гипоксии крысы характеризуются меньшей (на 19 %) скоростью субстратного дыхания (v_2) и более высокими дыхательными контролами ΔK_q и ΔK_l у высокоустойчивых крыс составляют $2,4 \pm 0,1$ и $3,4 \pm 0,1$ соответственно, а у низкоустойчивых — $2,1 \pm 0,04$ и $3,1 \pm 0,1$. У высокоустойчивых к гипоксии крыс физиологический диапазон дыхательной активности митохондрий ($v_3 - v_4$) на 18 %, резерв дыхательной активности ($v_p - v_3$) на 27 % выше, а остаточная дыхательная активность ($v_4 - v_0$) на 20 % ниже, чем у низкоустойчивых крыс. Эти показатели свидетельствуют о том, что у высокоустойчивых к гипоксии крыс процессы окислительного фосфорилирования в митохондриях печени более эффективны [3, 6, 11]. Согласно результатам исследований некоторых авторов [3, 6] более низкие значения показателей v_4 и ($v_4 - v_0$) могут свидетельствовать о том, что в печени высокоустойчивых к гипоксии крыс восстановление дыхательной цепи до исходного метаболического состояния после выполненной митохондриями работы по фосфорилированию АДФ выражено больше, чем в печени низкоустойчивых. Это позволяет митохондриям высокоустойчивых к гипоксии крыс более эффективно осуществлять следующий цикл фосфорилирования АДФ.

В таблице представлены также данные относительно реакции ды-

хательной цепи митохондрий крыс на введение фенобарбитала при дыхательной активности разных крыс к гипоксии. У высокоустойчивых крыс эти изменения не выражены.



Влияние фенобарбитала на высокоустойчивых и

Параметр, наномоль·мин ⁻¹ ·мг ⁻¹	Контрольные значения
v_0	$16,0 \pm 0,3$ $P > 0,05$
v_2	$25,9 \pm 0,6$ $P < 0,05$
v_3	$91,2 \pm 3,4$ $P > 0,05$
v_4	$37,9 \pm 0,8$ $P < 0,05$
v_p	$120,0 \pm 4,6$ $P < 0,05$
Скоростные параметры:	
$v_3 - v_4$	$54,0 \pm 2,9$ $P < 0,05$
$v_p - v_3$	$83,2 \pm 3,9$ $P < 0,05$
$v_4 - v_0$	$22,8 \pm 0,8$ $P < 0,05$
$v_p - v_0$	$37,4 \pm 4,0$ $P < 0,05$
Разностные параметры:	

* Значения, достоверно отличные от контроля ($P < 0,05$).

ости реактивности митохондрий крыс с различной устойчивостью к гипоксии. Установлено, что высокостойчивые крысы характеризуются меньшей устойчивостью к гипоксии.

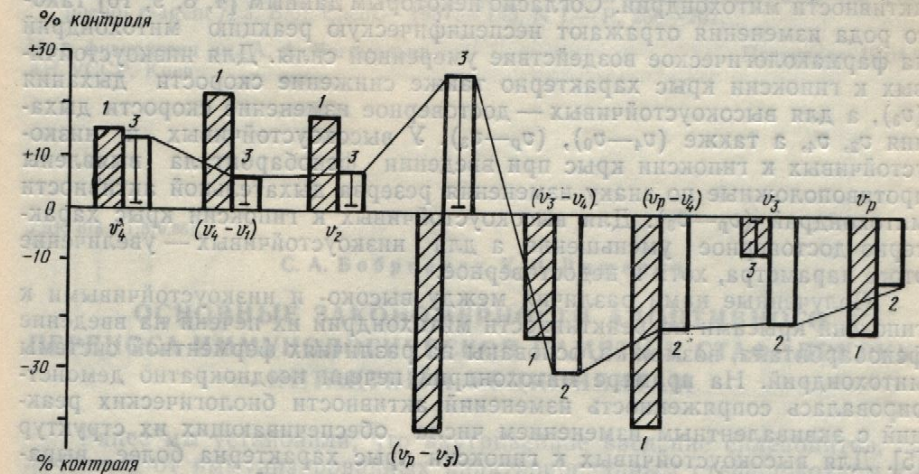
Установлено, что высокостойчивые крысы характеризуются индивидуальной устойчивостью к гипоксии в пределах от 10 до 12 тыс. м над уровнем моря. У крыс с устойчивостью к гипоксии 10 тыс. м над уровнем моря время восстановления дыхательной активности митохондрий печени после вынужденного перенесения на высоту 12 тыс. м было 87 с, а для высокоустойчивых крыс — 90 с.

Изучение дыхательной активности митохондрий показало, что скорость потребления кислорода в контроле равна v_0 , скорость дыхания в присутствии субстрата и АДФ — v_3 ; v_4 — скорость разобщенного с фосфорилазой дыхания митохондрий (дыхание и ДКЛ = $\frac{v_3}{v_2}$); разностные параметры $(v_3 - v_4)$ и $(v_p - v_3)$ определяют репрессорную дыхательную активность митохондрий [6]. Митохондриальный бета-окислительный цикл служила степень избирательности митохондрий при введении крысам фенобарбитала.

Установлено, что интактные высоко- и низкоустойчивые митохондрии отличаются по некоторым параметрам дыхательной активности митохондрий печени (таблица). У высокоустойчивых крыс характеризуются меньшими значениями v_0 и более высокими значениями v_3 и v_p по сравнению с низкоустойчивыми крысами. У низкоустойчивых крыс физиологические параметры дыхательной активности митохондрий ($v_3 - v_4$) и $(v_p - v_3)$ на 27% выше, чем у высокоустойчивых крыс.

Изучение дыхательной активности митохондрий печени крыс с различной устойчивостью к гипоксии показало, что у высокоустойчивых крыс физиологические параметры дыхательной активности митохондрий ($v_3 - v_4$ и $v_p - v_3$) на 27% выше, чем у низкоустойчивых крыс. У низкоустойчивых крыс физиологические параметры дыхательной активности митохондрий ($v_3 - v_4$ и $v_p - v_3$) на 20% выше, чем у высокоустойчивых крыс. Установлено, что у высокоустойчивых крыс физиологические параметры дыхательной активности митохондрий ($v_3 - v_4$ и $v_p - v_3$) на 27% выше, чем у низкоустойчивых крыс. Установлено, что у высокоустойчивых крыс физиологические параметры дыхательной активности митохондрий ($v_3 - v_4$ и $v_p - v_3$) на 27% выше, чем у низкоустойчивых крыс.

Изучение дыхательной активности митохондрий печени высоко- и низкоустойчивых крыс на введение фенобарбитала показывает, что введение фенобарбитала приводит к существенным изменениям параметров дыхательной активности митохондрий у крыс высоко- и низкоустойчивых к гипоксии. У высокоустойчивых эти изменения выражены больше и относятся к большему числу параметров. Изменчивость параметров



изменчивость параметров дыхательной активности митохондрий печени после введения фенобарбитала:

1 — у высокоустойчивых к гипоксии крыс; 2 — у низкоустойчивых к гипоксии крыс; 3 — изменения параметров недостоверны.

Влияние фенобарбитала на дыхательную активность митохондрий печени у высокоустойчивых и низкоустойчивых к гипоксии крыс ($M \pm m$; $n=15$)

Параметр, $\text{нмоль} \cdot \text{мин}^{-1} \cdot \text{м}^{-2}$	Высокоустойчивые			Низкоустойчивые		
	Контрольные значения	Экспериментальные значения	Отклонение, % контрольных значений	Контрольные значения	Экспериментальные значения	Отклонение, % контрольных значений
Скоростные параметры:						
v_0	$16,0 \pm 0,3$ $P > 0,05$	$16,5 \pm 0,8$	+3	$16,7 \pm 0,6$ $P > 0,05$	$16,7 \pm 1,0$	-0,5
v_2	$25,9 \pm 0,6$ $P < 0,02$	$30,4 \pm 1,3$	+17	$30,7 \pm 1,5$ $P > 0,05$	$33,2 \pm 1,4$	+8
v_3	$91,2 \pm 3,4$ $P > 0,05$	$83,9 \pm 4,6$	-8	$90,0 \pm 4,1$ $P < 0,001$	$71,3 \pm 2,1^*$	-21
v_4	$37,9 \pm 0,8$ $P < 0,01$	$43,4 \pm 1,9$	+15	$41,4 \pm 2,0$ $P > 0,05$	$47,1 \pm 2,4$	+14
v_p	$120,0 \pm 4,6$ $P < 0,01$	$93,3 \pm 6,2$	-23	$110,4 \pm 4,7$ $P < 0,02$	$96,2 \pm 3,2$	-13
Разностные параметры:						
$v_3 - v_4$	$54,0 \pm 2,9$ $P < 0,01$	$40,9 \pm 2,7$	-24	$44,4 \pm 2,5^*$ $P < 0,001$	$30,7 \pm 2,7^*$	-31
$v_p - v_4$	$83,2 \pm 3,9$ $P < 0,01$	$49,0 \pm 4,4$	-41	$75,8 \pm 6,5$ $P = 0,05$	$59,3 \pm 3,0$	-22
$v_4 - v_0$	$22,8 \pm 0,8$ $P < 0,01$	$27,8 \pm 1,2$	+22	$27,4 \pm 1,8^*$ $P > 0,05$	$29,2 \pm 1,9$	+7
$v_p - v_3$	$37,4 \pm 4,0$ $P < 0,02$	$21,8 \pm 4,3$	-42	$27,2 \pm 2,3^*$ $P > 0,05$	$34,1 \pm 2,7^*$	+25

* Значения, достоверно отличающиеся от аналогичного параметра высокоустойчивых крыс ($P < 0,05$).

дыхательной активности митохондрий печени (% контроля), представлена также на рисунке. Общие для высоко- и низкоустойчивых к гипоксии крыс достоверные изменения дыхательной активности митохондрий печени — сдвиг к низкоэнергетическому состоянию митохондриального метаболизма при снижении скорости разобщенного дыхания (v_p), полного ($v_p - v_0$) и физиологического ($v_3 - v_4$) диапазонов дыхательной активности митохондрий. Согласно некоторым данным [4, 8, 9, 10] такого рода изменения отражают неспецифическую реакцию митохондрий на фармакологическое воздействие умеренной силы. Для низкоустойчивых к гипоксии крыс характерно также снижение скорости дыхания (v_3), а для высокоустойчивых — достоверное изменение скорости дыхания v_2 , v_4 , а также ($v_4 - v_0$), ($v_p - v_3$). У высокоустойчивых и низкоустойчивых к гипоксии крыс при введении фенобарбитала выявлены противоположные по знаку изменения резерва дыхательной активности митохондрий ($v_p - v_3$). Для высокоустойчивых к гипоксии крыс характерно достоверное уменьшение, а для низкоустойчивых — увеличение этого параметра, хотя и недостоверное.

Полученные нами различия между высоко- и низкоустойчивыми к гипоксии крысами по реактивности митохондрий их печени на введение фенобарбитала, возможно, основаны на различиях ферментной системы митохондрий. На примере митохондрий печени неоднократно демонстрировалась сопряженность изменений активности биологических реакций с эквивалентным изменением числа обеспечивающих их структур [5]. Для высокоустойчивых к гипоксии крыс характерна более выраженная реактивность дыхательной цепи митохондрий печени при введении фенобарбитала по сравнению с низкоустойчивыми животными.

L. A. Gorchakova

PECULIARITIES OF THE PHENOBARBITAL ACTION
ON THE RESPIRATORY ACTIVITY OF LIVER MITOCHONDRIA
IN RATS WITH DIFFERENT STABILITY TO HYPOXIA

Reactivity of the respiratory chain of the liver mitochondria on the phenobarbital introduction has been determined in rats with different resistance to hypoxia. Intact rats high- and low-resistant to hypoxia differ in certain parameters of the respiratory activity of mitochondria. Rats high-resistant to hypoxia possess more pronounced reactivity of the respiratory chain in the liver mitochondria during phenobarbital introduction than animals low-resistant to hypoxia.

A. A. Bogomoletz Institute of Physiology,
Academy of Sciences of the Ukrainian SSR, Kiev

- Березовский В. Я. Риси індивідуальності в реакції на гіпоксію // Фізіол. журн.—1975.—21, № 3.—С. 371—376.
- Клименко О. С., Сукачева Л. А. Влияние углекислоты на дыхание и фосфорилирование в тканях коры головного мозга и печени // Укр. биохим. журн.—1980.—52, № 2.—С. 46—48.
- Кондрашова М. Н. Градации метаболического состояния митохондрий и реактивность ткани // Митохондрии: Структура и функции в норме и патологии.—М.: Наука, 1971.—С. 25—40.
- Кондрашова М. Н. Регуляция дыхания митохондрий при усиливающемся воздействии на клетку // Биофизика.—1970.—15, вып. 2.—С. 312—322.
- Котова Е. Н. Проявление индивидуальной реактивности в динамике изменений концентрации митохондриальных цитохромов при цирротическом процессе // Бюл. эксперим. биологии и медицины.—1985.—№ 3.—С. 303—306.
- Маевский Е. И., Кондрашова М. Н. Сукцинатная фракция дыхания — наиболее чувствительная характеристика при небольших изменениях физиологического состояния животных // Материалы Всесоюз. семинара «Регуляция энергетического обмена и физиологическое состояние».—Пущино, 1978.—С. 24—32.
- Малюк В. И., Лемюх В. М., Овруцкая З. Г. Влияние янтарнокислого натрия на течение отравления фенобарбиталом и окислительное фосфорилирование // Терапевтическое действие янтарной кислоты.—Пущино, 1976.—С. 119—122.
- Матханов Э. И., Косенко Е. А. Некоторые особенности энергетического обмена в митохондриях печени при экспериментальном гепатите // Митохондриальные процессы во временной организации жизнедеятельности.—Пущино, 1978.—С. 32—34.

- Тугаринова В. Н., Ели дыхания митохондрий печени в разные периоды // Свиренко С. В. Изменение обмена в регенерации митохондрий // Physiol.—1965.—49, № 12. Lowry O. H., Rosenblum K. Phenol reagent // J. Biochem. 1951.—39, № 1.
- Ин-т физиологии им. А. А. АН УССР, Киев

УДК 615.371:579.861.2

С.
ОСНОВНЫЕ
ПЕРЕНОСА ИММУН
И

Ранее мы установили, что различные от иммунитета, интактным синтезом гомологичного антигена, ответа реципиентов [3] отличается от общезвестного иммунного ответа, наблюдаемых, иммунизированых различия связаны, вероятно, с тем, что стафилококки клетки отличаются от аналогичных по отношению к другому антигену, существование «изогенного» антигена, связанных с корпукуллярными, интактным синтетическим антигеном.

В настоящей работе мы обнаружено, что антигена, длительность трансплантацией иммунного ответа реципиентов.

Исследования проведены на мышах (СВА×С57BL/6)F₁ и на донорах мышах «Столбовая» и «Родник» [3]. Донорами иммунных клеток были интактно внутриенно иммунные мыши до трансплантации. Взвесь вводили внутриенно интактные мыши, вводили КАС (5·10⁹ микробов) и КАС-буфер и КАС.

Число антителообразующих клеток определяли методом иммунных антител к стафилококку рода *Staphylococcus aureus* (Takachi). Агглютинин предварительной обработкой мышьей сыворотки, цифровой материал статистиста.

(% контроля), представляемые низкоустойчивыми к гипоксии активностями митохондрий при явию митохондриальногоенного дыхания (v_p), полудиапазонов дыхательной активности [4, 8, 9, 10] такоже реакцию митохондрий на силы. Для низкоустойчивых изменение скорости дыхания и низкоустойчивых и низкофенобарбитала выявлены а дыхательной активности к гипоксии крыс характерных устойчивых — увеличение

ко- и низкоустойчивыми к гипоксии их печени на введение гипоксии ферментной системы и неоднократно демонстрирует биологических реакций обеспечивающих их структурный характерна более выраженная гипоксия печени при введении гипоксии животными.

BITAL ACTION
ER MITOCHONDRIA
Y TO HYPOXIA

mitochondria on the phenobarbital resistance to hypoxia. Intact rats more pronounced reactivity of phenobarbital introduction than

на гипоксию // Физiol. журн.—

ты на дыхание и фосфорилирование // Укр. биохим. журн.— 1980.— 52,

активность митохондрий и реактивность в норме и патологии.— М.: Наука, 1980.

и при усиливающемся воздействии // Бюл. экспериментальной биологии и физиологии.— 1980.— 312—322.

активности в динамике изменений концепции процесса // Бюл. экспериментальной биологии и физиологии.— 1980.— 306.

активации дыхания — наиболее интенсивных физиологического состояния регуляция энергетического обмена // Терапевтическая практика.— 1980.— С. 24—32.

активности фосфорилирование // Терапевтическая практика.— 1980.— С. 119—122.

активности энергетического обмена в митохондриях // Митохондриальные процессы.— Пущино, 1978.— С. 32—34.

9. Тугаринова В. Н., Елисеева С. В., Лаврова Л. А. Динамика некоторых показателей дыхания митохондрий гепатоцитов и функциональноморфологические характеристики печени в разные периоды развития и инфильтрации цирроза // Там же.— С. 34—38.
10. Цвиренко С. В. Изменение реакции дыхательной цепи митохондрий и пластического обмена в регенерирующей печени при острой гипоксии // Там же.— С. 39—41.
11. Chance B. Reaction of oxygen with the respiratory chain in cells and tissues // J. Gen. Physiol.— 1965.— 49, N 1/2, P. 163—195.
12. Lowry O. H., Rosenbrough N. J., Farr A. L. Protein measurement with the Folin phenol reagent // J. Biol. Chem.— 1951.— 193, N 1.— P. 256—267.

Институт физиологии им. А. А. Богомольца АН УССР, Киев

Поступила 19.04.85

УДК 615.371:579.861.2

С. А. Бобровник, К. П. Ляшенко

ОСНОВНЫЕ ЗАКОНОМЕРНОСТИ АДОПТИВНОГО ПЕРЕНОСА ИММУНОЛОГИЧЕСКОЙ ПАМЯТИ К СТАФИЛОКОККУ ИНТАКТНЫМ РЕЦИПИЕНТАМ

Ранее мы установили, что внутривенное введение спленоцитов, полученных от иммунизированных инактивированным стафилококком мышей, интактным сингенным животным непосредственно перед инъекцией гомологичного антигена приводит к достоверному усилению иммунного ответа реципиентов [3]. Обнаруженное явление принципиально отличается от общезвестного феномена антигенспецифической супрессии иммунного ответа, наблюдавшегося при трансплантации спленоцитов животных, иммунизированных, например, эритроцитами барана [5, 8]. Эти различия связаны, вероятно, с тем, что специфические по отношению к стафилококку клетки иммунологической памяти по каким-то свойствам отличаются от аналогичных лимфоидных клеток, специфических по отношению к другому антигену. Отличия клеток могут обусловливать отсутствие «изогенного барьера» в случае адаптивного переноса иммунных к корпскулялярному антигену стафилококка (КАС) спленоцитов интактным сингенным реципиентам [4].

В настоящей работе представлены результаты дальнейшего исследования обнаруженного феномена. Изучена его зависимость от дозы антигена, длительности интервала между иммунизацией доноров и трансплантацией иммунных клеток, а также от генотипа пары донор—реципиент.

Методика

Исследования проведены на мышах линий СВА, BALB/c, C59BL/6, СЗН и гибридах (СВА \times С57BL/6)F₁ массой 18—20 г, полученных из питомников лабораторных животных «Столбовая» и «Рапполово» АМН СССР. КАС готовили, как описано ранее [3]. Донорами иммунных клеток селезенки (КС) служили мыши, которых предварительно внутривенно иммунизировали различными дозами КАС за 1—5, 30 или 90 сут до трансплантации. Взвесь спленоцитов в 0,5 мл фосфатно-солевого буфера (pH 7,2) вводили внутривенно интактным сингенным реципиентам, которых затем иммунизировали КАС (5·10⁹ микробных тел). Животным контрольной группы вводили 0,5 мл буфера и КАС.

Число антителообразующих клеток (АОК), специфичных к КАС, в селезенках мышей определяли методом иммунофлюоресцентных отпечатков [1]. Титры сывороточных антител к стафилококку оценивали в реакции агглютинации с помощью микротитратора Такачи. Агглютинины класса G определяли в сыворотке крови мышей после ее предварительной обработки раствором (0,1 моль/л) 2-меркаптоэтанола. Полученный цифровой материал статистически обрабатывали с учетом критерия достоверности Стьюдента.

Результаты и их обсуждение

Внутривенное введение $3 \cdot 10^7$ КС, полученных от примированных стафилококком мышей линии СВА, сингенным интактным животным перед иммунизацией последних КАС приводило к усилению иммунного ответа реципиентов (рис. 1). Как видно из рисунка, титры агглютининов в сыворотке крови реципиентов иммунных спленоцитов статистически достоверно ($P < 0,05$) превышали контрольные значения, начиная с 4-х суток после введения антигена и до конца опыта (10-х суток). Следует также отметить, что гуморальный иммунный ответ на стафи-

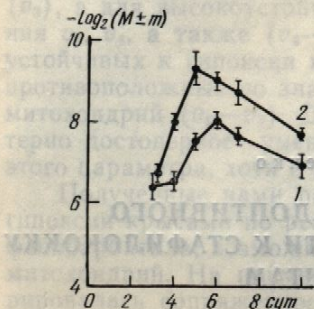


Рис. 1. Динамика (сут) формирования гуморального иммунного ответа у реципиентов (по титру противостафилококковых антител $-\log_2$) на КАС (1) и КАС+иммунные КС (2).

Рис. 2. Число антителообразующих клеток в селезенке реципиентов различных линий, получавших КАС (1), КАС+КС внутриенно (2), КАС+КС внутрибрюшинно (3); КАС+интактные КС (4):
α — BAL B/c; β — СВА; γ — C57BL/6, ε — СЗН.

лококк у мышей, получивших иммунные КС, отличался кроме того более быстрым достижением максимального значения содержания сывороточных антител (5-е сутки — у реципиентов иммунных КС, 6-е сутки — у контрольных животных).

Опыты по адоптивному переносу иммунологической памяти у мышей четырех линий (СВА, BAL B/c, C57BL/6, СЗН) показали, что повышение иммунореактивности к КАС у реципиентов иммунных спленоцитов — нелинейеспецифичный феномен (рис. 2). Однако усиление продукции антител в этих опытах варьировало в зависимости от генотипа пары донор — реципиент и была пропорциональна генетически детерминированной иммунореактивности мышей данной линии на стафилококк. Например, максимальный эффект наблюдали в случае адоптивного переноса на мышах линии СЗН, которая, согласно нашим данным [2] — высокореагирующая на КАС линия.

Следует также отметить, что статистически достоверное увеличение иммунного ответа на стафилококк мы наблюдали при трансплантации примированных КС не только в сингенной, но и в полуаллогенной системе, когда гибридам (СВА \times C57BL/6) F₁ вводили иммунные (но не интактные) спленоциты мышей линии СВА. При этом повышение гуморального антистафилококкового иммунитета, вероятно, обусловлено не одним лишь увеличением численности лимфоидных клеток в иммунной системе после трансплантации КС, так как стимулирующий эффект отсутствовал при введении мышам $5 \cdot 10^7$ интактных КС, но наблюдался при переносе $1 \cdot 10^7$ иммунных КС, т. е. не более 1/10 части числа кардиоцитов селезенки.

Установлено также, что внутривенное примирение доноров клеток более эффективно по сравнению с внутрибрюшинной иммунизацией (см. рис. 2, а). Следовательно, способность иммунных КС повышать иммунореактивность интактных реципиентов зависит от интенсивности антигенной стимуляции. Об этом свидетельствуют также результаты опытов, которые показали, что стимулирующая активность иммунных

спленоцитов повышается нормам спленоцитов (рис. 3) ответа на стафилококкных спленоцитов, трансплантатам.

На рис. 4 представлена зависимость иммунного эффекта от интервала между иммунной иадоминантной стимулами для интактных реципиентов иммунных спленоцитов, по-

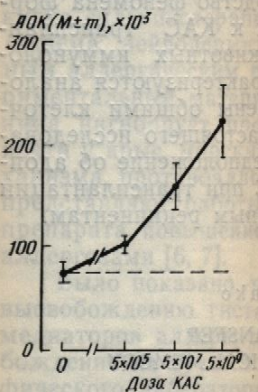
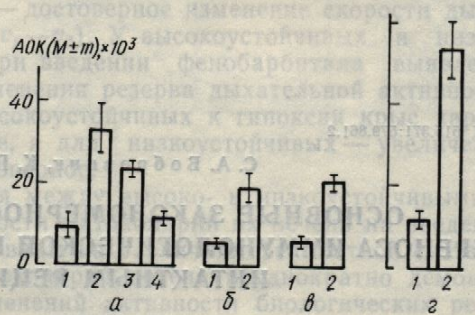


Рис. 3. Влияние дозы КАС

Прерывистая линия
Рис. 4. Динамика формирования гуморального иммунного ответа у реципиентов иммунных спленоцитов (a — зависимость числа АОК ($1 \cdot 10^3$) от дозы иммунизацией доноров клеток и столбики) и устойчивых к 2-мерс в сыворотке крови мышей, получивших КАС (1) и КАС+КС (2).

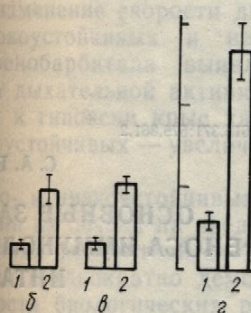
доноров клеток (через 1 сутки) реципиентов. Стимулирующие доноры живут на 3-и сутки

Дальнейшее изучение способность иммунных реципиентов к иммунной сингенной реципиентам более выражена для коэффициента к иммуноглобулин активности сыворотки к иммунизированных стафилококкам значительно снижалась в каптоэтанола ($P < 0,01$) на 3 мес до трансплантации на 3 мес до трансплантации обработке ($P > 0,05$). Стимулирующие доноры агглютининов у реципиентов в мере за счет IgG-синтеза личинки длительности иров клеток и адоптивных

Следует отметить, что иммунных спленоцитов на стафилококк (высокие иммунные доноры и т. д.) генетически обусловлены антигеном в основном со

ведение

енных от примированных иммунных спленоцитов к интактным животным ило к усилению иммунного ответа на стафилококк, титры агглютининов спленоцитов статистически значимые, начиная с конца опыта (10-х суток). иммунный ответ на стафи-



иммунного ответа у реципиентов на КАС (1) и КАС+иммунные

спленоциты различных линий, КАС+КС внутрибрюшно (3); 4 — СЗИ.

отличался кроме того боязнь содержания сыворотки иммунных КС, 6-е сут-

логической памяти у мышей, СЗИ) показали, что пациентов иммунных спленоцитов (2). Однако усиление процесса зависимости от генотипа линии генетически детерминированной линии на стафилококк. в случае адоптивного переселения нашим данным [2] —

достоверное увеличение дали при трансплантации и в полуаллогенной вводили иммунные (но). При этом повышение эта, вероятно, обусловлено лимфоидных клеток в так как стимулирующий 5×10^7 интактных КС, но, т. е. не более 1/10 части

иммунование доноров клетками иммунной иммунизацией иммунных КС повышать зависит от интенсивности результаты также результируют активность иммунных

спленоцитов повышается по мере увеличения дозы КАС, введенной донорами спленоцитов (рис. 3). Кроме того степень усиления иммунного ответа на стафилококк повышалась с увеличением числа примированных спленоцитов, трансплантированных интактным синтетическим реципиентам.

На рис. 4 представлены результаты изучения зависимости обнаруженного нами эффекта усиления антителообразования от длительности интервала между иммунизацией доноров спленоцитов и введением интактным реципиентам иммунных КС. Видно, что трансплантация иммунных спленоцитов, полученных в ранние сроки после примиривания

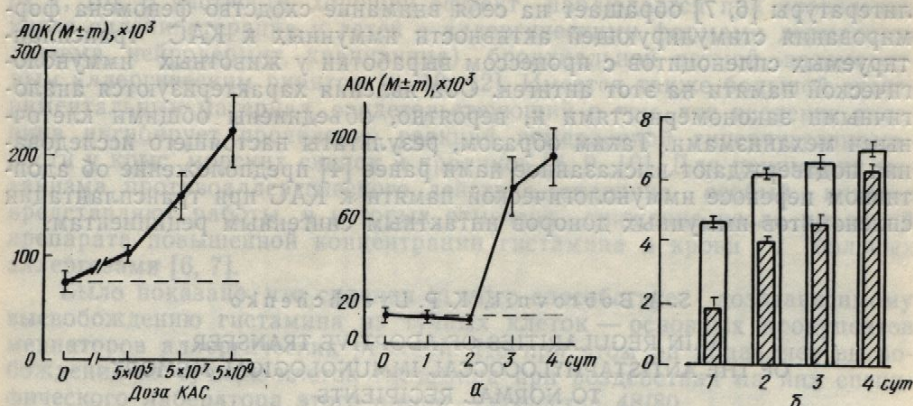


Рис. 3. Влияние дозы КАС на формирование стимулирующей способности иммунных спленоцитов.

Прерывистая линия — уровень контроля (КАС+интактные КС).

Рис. 4. Динамика формирования стимулирующей способности иммунных к стафилококку спленоцитов:

a — зависимость числа АОК (10^3) в селезенке реципиентов от длительности интервала (сут) между иммунизацией доноров клеток и адоптивным переносом ($M \pm m$); б — титры суммарных (светлые столбки) и устойчивых к 2-меркаптоэтанолу (заштрихованные столбки) антител к КАС ($-log_2$) в сыворотке крови мышей, получивших интактные КС (1), а также иммунные КС через 5 (2), 30 (3) и 90 (4) сут после примиривания доноров.

доноров клеток (через 1—2 сут), не изменяла числа АОК в селезенках реципиентов. Стимулирующую способность спленоцитов впервые обнаруживали на 3-и сутки после внутривенного введения КАС.

Дальнейшее изучение этого вопроса показало, что стимулирующая способность иммунных КС возрастала с увеличением длительности интервала между иммунизацией доноров клеток и их введением интактным синтетическим реципиентам (см. рис. 4, б). Подобная тенденция еще более выражена для концентрации сывороточных антител, принадлежащим к иммуноглобулинам класса G. Так, если агглютинирующая активность сыворотки крови мышей, получивших спленоциты доноров, иммунизированных стафилококком за 5 или 30 сут до трансплантации, значительно снижалась после инкубации в растворе (0,1 моль/л) 2-меркаптоэтанола ($P < 0,01$), то практически все антитела к стафилококку в сыворотке крови реципиентов КС животных, иммунизированных на 3 мес до трансплантации клеток, были резистентны к подобной обработке ($P > 0,05$). Следовательно, повышение уровня сывороточных агглютининов у реципиентов иммунных КС происходит в значительной мере за счет IgG-сintéтирующих клеток, что более выражено при увеличении длительности интервала между антигенной стимуляцией доноров клеток и адоптивным переносом.

Следует отметить, что оптимальные условия развития способности иммунных спленоцитов усиливать иммунореактивность животных на стафилококк (высокие дозы антигена, длительный интервал между иммунизацией доноров и трансплантацией иммунных клеток реципиентам, генетически обусловленная иммунореактивность животных на данный антиген) в основном совпадают с теми требованиями, которые необхо-

димы для индукции супрессорных клеток в селезенке при иммунизации животных другими антигенами, например эритроцитами барана [5, 8]. Этот факт наряду с другими указывает на существование пока не совсем понятных отличительных особенностей КАС как иммуногена, в связи с чем, вероятно, следует соблюдать осторожность при экстраполяции общиммунологических феноменов и закономерностей, полученных в экспериментах с немикробными антигенами, на противостафилококковый иммунитет, а возможно и антибактериальный иммунитет в целом.

При сопоставлении приведенных в настоящей работе данных с результатами наших предыдущих исследований [2, 3], а также с данными литературы [6, 7] обращает на себя внимание сходство феномена формирования стимулирующей активности иммунных к КАС трансплантируемых спленоцитов с процессом выработки у животных иммунологической памяти на этот антиген. Оба явления характеризуются аналогичными закономерностями и, вероятно, объединены общими клеточными механизмами. Таким образом, результаты настоящего исследования подтверждают высказанное нами ранее [4] предположение об адоптивном переносе иммунологической памяти к КАС при трансплантации спленоцитов иммунных доноров интактным синтетическим реципиентам.

S. A. Бобровник, K. P. Lyashchenko

MAIN REGULARITIES OF ADOPTIVE TRANSFER
OF THE ANTISTAPHYLOCOCCAL IMMUNOLOGICAL MEMORY
TO NORMAL RECIPIENTS

The increase of immune reactivity to staphylococci in recipients injected by primed spleen cells was studied on CBA, C3H, BALB/c, C57BL/6 and (CBA×C57BL/6)F₁ mice. The enhancement-effect was observed in syngeneic adoptive transfer experiments on all strains of mice and also in semiallogeneic system when immune cells of CBA mice were transferred to recipients (CBA×C57BL/6)F₁. Dependence of the stimulatory ability of primed splenocytes on the antigen dose and interval between priming and adoptive transfer was established. It was concluded that enhancement of immune response to staphylococci after transplantation of primed splenocytes is due to the anamnestic reaction of donor memory cells stimulated by antigen in the recipient's organism for the second time.

T. G. Shevchenko University, Kiev

1. Бобровник С. А. Метод обнаружения антителообразующих клеток, специфичных к корпскулярным бактериальным антигенам // Иммунология.—1983.—№ 5.—С. 91—92.
2. Бобровник С. А., Лященко К. П. Иммунный ответ и формирование иммунологической памяти на стафилококк у мышей различных генотипов // Журн. микробиологии, эпидемиологии и иммунобиологии.—1985.—№ 6.—С. 64—68.
3. Вершигора А. Е., Бобровник С. А. Динамика и факторы регуляции гуморального иммунного ответа на стафилококк // Там же. 1982.—№ 11.—С. 101—104.
4. Лященко К. П., Бобровник С. А. Адоптивный перенос иммунологической памяти к стафилококку интактным реципиентам // Физиол. журн.—1985.—31, № 1.—С. 44—48.
5. Писарев В. М., Певницкий Л. А. Изучение феномена специфической супрессии иммунного ответа в системе адоптивного переноса // Бюл. эксперим. биологии и медицины.—1977.—№ 5.—С. 571—573.
6. Feldbush T. L. Inhibition of adoptive secondary response by lymphoid cell populations // Cell. Immunol.—1976.—24, N 1.—P. 132—145.
7. Weiler E., Adam G., Schuler W., Weiler I. J. Clonal selection and network regulation // 27th Mosbacher Colloquium / Eds.: F. Melchers, K. Rajewsky.—Berlin: Springer, 1976.—P. 267—276.
8. Whisler R. L., Stobo J. D. Suppression of humoral and delayed hypersensitivity responses by distinct T-cell subpopulations // J. Immunol.—1978.—121, N 2.—P. 539—542.

Киев. ун-т им. Т. Г. Шевченко. Поступила 18.07.85
МВССО УССР

УДК 612.218.3.015.44:616.155.36

С. В. Пок
-НОМ МОНОГРАФИЯ О МОСКО
-ВНО ВОММЕХИЧЕСКОМ
ФУНКЦИОНАЛ
ХИМАЧЕСКОМ
КЛЕТОК КРЫС П
ИКИТИМ

Препарат спленин, изгото-
вленный из селезенки скота, в настоящее время шир-
око используется для лечения некоторых аллергических
[5, 7, 10]. В частности, хороший курс спленинотерапии уда-
(экзема, нейродермит, крапивница)
шествует аллергическим ринитом.
иментальный материал, сви-
нина ингибирует проявления
ности у крыс, морских свинок.
ханизма противоаллергический
представляют работы, в ко-
торых препарата повышенной кон-
центрации используются для
аллергозами [6, 7].

Было показано, что спленин способствует высвобождению гистамина из медиаторов аллергических ре-
акций, из которых высвобождение из тучных клеток

Физиологического либератора этого
реакции. В настоящей работе по-
рольного введения спленина в тучные клетки у крыс и попытаться со-
считать, полученными на систе-
мания механизма противоал-
лергической реакции.

Работа проведена на 35 крысах. В плевральной и брюшной полостях введено буферных растворов, флюоресцирующих, как описано Гущиным [1]. Во всем количестве тучных клеток не превышало 10% спленин, разведененный физиологически, но по различным схемам: 1-я — по 2-я — однократно за 30 мин до ис-
пользования той же дозы физиологического спленина (также по 0,25 мл на час вводили растворитель спленина). Параллельно с пробами, роль с известным количеством гистамина в тучных клетках в пересечении активности тучных клеток в 48/80 (доза 0,5 мкг/мл). Высвобождение гистамина в порции инкубированной тучной клетки в количестве высвободившегося гистамина.

Результаты

Результаты проведенного опыта показывают, что физиологическое введение спленина в тучные клетки вызывает снижение концентрации гистамина, разведенного физиологически, в количестве, равном количеству гистамина, содержащегося в одно-

го массой в таких клетках.

УДК 612.218.3.015.44:616.155.36

С. В. Покровская, А. В. Шевченко

ФУНКЦИОНАЛЬНОЕ СОСТОЯНИЕ ТУЧНЫХ КЛЕТОК КРЫС ПОСЛЕ ИНЬЕКЦИЙ СПЛЕНИНА

Препарат спленин, изготавляемый из селезенки крупного рогатого скота, в настоящее время широко применяется в клинической практике для лечения некоторых аллергических заболеваний у детей и взрослых [5, 7, 10]. В частности, хороший эффект наблюдается при проведении курса спленинотерапии у детей с аллергическими формами дерматозов (экзема, нейродермит, крапивница), бронхиальной астмой, вазомоторным аллергическим ринитом [6, 10, 12]. Имеется также большой экспериментальный материал, свидетельствующий о том, что введение спленина ингибирует проявление реакций немедленной гиперчувствительности у крыс, морских свинок и кроликов [8, 9, 10]. Для понимания механизма противоаллергического действия спленина особый интерес представляют работы, в которых отмечено снижение после инъекций препарата повышенной концентрации гистамина в крови у больных аллергозами [6, 7].

Было показано, что спленин *in vitro* способствует дозозависимому высвобождению гистамина из тучных клеток — основных продуцентов медиаторов аллергических реакций. Но при этом он подавляет высвобождение из тучных клеток гистамина при воздействии на них специфического либератора этого амина — вещества 48/80.

В настоящей работе поставлена задача изучить влияние парентерального введения спленина на функциональное состояние тучных клеток у крыс и попытаться сопоставить результаты исследований с данными, полученными на системе *in vitro* с целью более глубокого понимания механизма противоаллергического действия препарата.

Методика

Работа проведена на 35 крысах-самцах линии Вистар массой 300 г. Выделение из плевральной и брюшной полостей тучных клеток, условия их инкубации, приготовление буферных растворов, флюориметрическое определение гистамина проводились так, как описано Гущиным [1]. Во всех опытах спонтанное высвобождение гистамина из тучных клеток не превышало 10 %. Собственно концентрат спленина или концентрат, разведенный физиологическим раствором 1:4, вводили животным внутримышечно по различным схемам: 1-я — по 0,25 мл на 100 г массы ежедневно в течение 7 сут; 2-я — однократно за 30 мин до исследования. Контрольные животные получали инъекции той же дозы физиологического раствора. В некоторых случаях применяли ампульный спленин (также по 0,25 мл на 100 г массы). Контрольным животным в этом случае вводили растворитель спленина (физиологический раствор, содержащий 8 % алкоголя). Параллельно с пробами, содержащими порции тучных клеток, ставили контроль с известным количеством гистамина. Проводили определения содержания гистамина в тучных клетках в пересчете на $1 \cdot 10^6$ клеток, а также гистамины высвобождающей активности тучных клеток в ответ на введение в инкубационную среду вещества 48/80 (доза 0,5 мкг/мл). Высвобождение гистамина выражали в процентах его общего содержания в порции инкубированных клеток и пересчитывали на абсолютное количество высвободившегося медиатора одним миллионом тучных клеток.

Результаты и их обсуждение

Результаты проведенных экспериментов показали, что парентеральное введение спленина в течение 7 сут существенно снижает содержание гистамина в тучных клетках (рисунок, а). Так, введение спленина, разведенного физиологическим раствором в соотношении 1:4, вызывает существенное снижение (на 22,8 %) абсолютной массы гистамина, содержащегося в одном миллионе тучных клеток по сравнению с его массой в таких клетках у контрольных животных, получавших

елезенке при иммунизации итроцитами барана [5, 8]. Установление пока не совпадает как иммуногена, в связь при экстраполизации терностей, полученных в на противостафилококальный иммунитет в целом. ящей работе данных с ре- [2, 3], а также с данными о сходстве феномена форменных к КАС трансплантиру животных иммунологии характеризуются аналогичными общими клеточными настоящего исследова- предположение об адоптивном КАС при трансплантации инженным реципиентам.

chenko

TRANSFER
BIOLOGICAL MEMORY
S

in recipients injected by primed 6 and (CBA×C57BL/6)F₁ mice. Adaptive transfer experiments on all immune cells of CBA mice were of the stimulatory ability of been priming and adoptive transfer of immune response to staphylococci to the anamnestic reaction of organism for the second time.

авающих клеток, специфичных Иммунология.— 1983.— № 5.—

и формирование иммунологических явлений // Журн. микробиологии. — С. 64—68. Критерии регуляции гуморального иммунитета // Иммунология. — С. 101—104.

ос иммунологической памяти к журн.— 1985.— 31, № 1.—

а специфической супрессии иммунных клеток // Иммунология и эксперим. биологии и медицина. — 1985.— 31, № 1.—

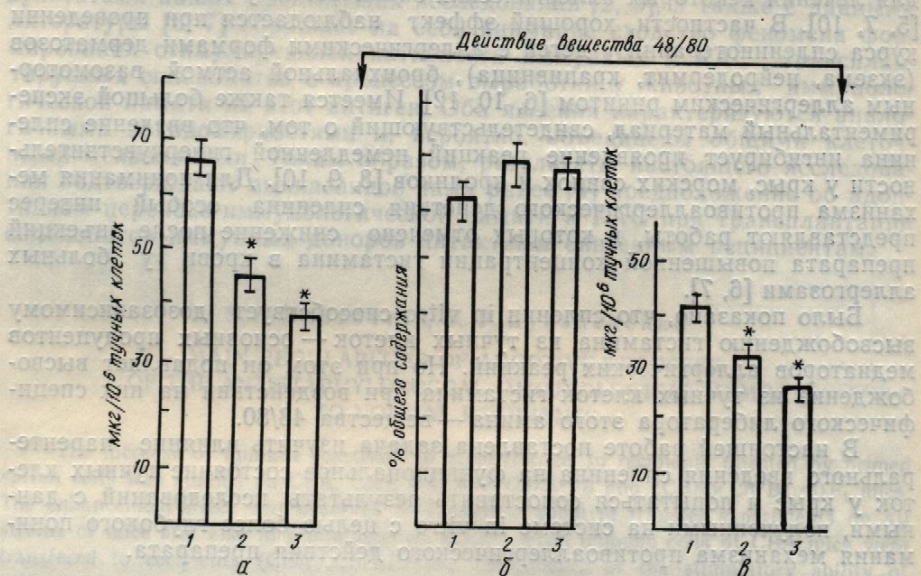
onse by lymphoid cell population selection and network regulation, K. Rajewsky. — Berlin: Springer.

and delayed hypersensitivity responses // Immunology. — 1978.— 121, N 2.— P. 539—544.

Поступила 18.07.85

инъекции физиологического раствора. Еще большее падение (на 34 %) абсолютных значений этого показателя наблюдалось при 7-суточном введении спленина-концентрата. Таким образом, с увеличением концентрации вводимого *in vivo* спленина происходит дозозависимое снижение общего количества гистамина в изолированных и инкубируемых тучных клетках, определяемое *in vitro*.

В отдельной серии опытов установлено, что аналогичной активностью обладает также и ампульный спленин, 7-суточное внутримышечное введение которого снижает (на 38,6 %) общее содержание гистамина в тучных клетках.



Влияние 7-суточного введения спленина на содержание гистамина в тучных клетках при инкубации их без (α) и в присутствии (β) вещества 48/80, а также высвобождение гистамина под воздействием этого либератора (β):

1 — физиологический раствор (контроль); 2 — спленин-концентрат сер. 94 (разведение 1:4); 3 — спленин-концентрат сер. 94. * Различия данных опыта по сравнению с данными контроля статистически достоверны.

мина в тучных клетках по сравнению с соответствующим контролем (опыт: $33,9 \pm 1,2$ мкг/1·10⁶ клеток; контроль: $55,2 \pm 1,8$ мкг/1·10⁶ клеток; $P < 0,001$).

О функциональном состоянии тучных клеток судили по их способности высвобождать медиатор в ответ на действие вещества 48/80. Результаты экспериментов представлены на рисунке б, на котором видно, что при инкубации тучных клеток животных с веществом 48/80 процент высвободившегося гистамина по отношению к его общему содержанию в соответствующих порциях клеток опытных животных не отличается от такового у контрольной группы. Это свидетельствует о том, что введение различных доз спленина *in vivo* не приводит к потере или изменению способности тучных клеток реагировать на действие специфического либератора гистамина в системе *in vitro*.

Вместе с тем было установлено, что абсолютная масса высвободившегося гистамина в пересчете на один миллион тучных клеток у опытных животных существенно ниже, чем в контроле (см. рисунок, в), причем, она зависит от дозы вводимого спленина. Так, у животных, получавших спленин, разведенный 1:4, в ответ на действие вещества 48/80 высвободилось 32,1 мкг медиатора из одного миллиона тучных клеток, что составляет 76 % такового у контрольных животных. При введении спленина-концентрата из того же числа тучных клеток высвободилось еще меньше гистамина — 26,3 мкг, что составляет 62 % количества медиатора, высвободившегося в контроле.

Таким образом, у живущие 7 сут, в полной мере отвечают на действие спленина. Масса высвободившегося гистамина в тучных клетках, нижний предел действия вещества.

В дополнительной серии введение спленина вызывает каких-либо изменений в тучных клетках, нижний предел действия вещества.

Анализируя полученные следующее. Семисуточное введение спленина приводит к достоверному снижению общего количества гистамина в тучных клетках, нижний предел действия вещества.

Представленные результаты в экспериментальной и клинической практике предположительно влияния препарата на организма.

У сенсибилизованных животных спленина, происходит постоянное высвобождение гистамина из тучных клеток, содержащего медиатора в этических количествах. Гистамина, не сопровождающиеся, приводят к «тренировке» чувствительных тканей и тем способности их к данному медиатору разрешающей дозы из тучных клеток на медиатор.

Такой механизм десенсибилизации целого ряда фармакологически активных веществами неизвестен и может объяснить положительное влияние спленина больным с целым.

Высказанное предположение проявления реакции неизвестного спленина не исключает аллергического действия препарата.

S. V. Рокто

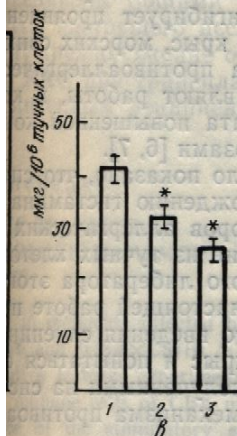
FUNCTIONAL STATE OF MAST CELLS

The experiment on rats has shown that seven days considerably decreases mast cells of these animals. At the action of a specific histamine liberator the percentage of the histamine release with respect to the number of cells in test animals does not differ from that in control animals.

Физиол. журн., 1986, т. 32, № 4

большее падение (на 34 %) наблюдалось при 7-сугочном разом, с увеличением концентрации дозозависимое снижение и инкубируемых

о, что аналогичной активности, 7-сугочное внутримышечное общее содержание гистамина в вещества 48/80



ние гистамина в тучных клетках за 48/80, а также высвобождение либератора (б):

нтрат сер. 94 (разведение 1:4); з — венцию с данными контроля статистически значимо различия в группах

ответствующим контролем 55,2 ± 1,8 мкг/1 · 10⁶ клеток; тучных клеток судили по их способность реагировать на действие вещества in vitro.

абсолютная масса высвободивших тучных клеток у опытных животных (см. рисунок, в), при- на. Так, у животных, получающих действие вещества 48/80 в миллиона тучных клеток, х животных. При введении тучных клеток высвободилось вдвое 62 % количества ме-

Таким образом, у животных, получавших спленин ежесуточно в течение 7 сут, в полной мере сохраняется способность тучных клеток отвечать на действие специфического либератора, однако абсолютная масса высвободившегося гистамина существенно снижена. Вероятно, это связано с меньшим его содержанием в тучных клетках опытных животных в момент воздействия на них высвободителя.

В дополнительной серии экспериментов установлено, что одноразовое внутримышечное введение спленина за 0,5 ч до исследования не вызывает каких-либо изменений ни абсолютных значений массы гистамина в тучных клетках, ни их способности высвобождать медиатор в ответ на действие вещества 48/80.

Анализируя полученные результаты работы, необходимо отметить следующее. Семисуточное парентеральное введение спленина приводит к достоверному снижению массы гистамина в тучных клетках крыс. Этот эффект препарата хорошо согласуется с данными о дозозависимой способности спленина высвобождать гистамин из изолированных тучных клеток в системе *in vitro* [5]. На основании этого можно предположить, что обнаруженное нами уменьшение содержания гистамина в тучных клетках животных, получавших инъекции спленина — следствие выхода (высвобождения) медиатора из клеток. Вероятно, длительное введение спленина животным уменьшает запасы гистамина, находящегося в клетках, что и проявляется в снижении выброса медиатора в ответ на действие специфического либератора — вещества 48/80, хотя сама ответная реакция клеток при этом не нарушена.

Представленные результаты, а также опыт применения спленина в экспериментальной и клинической иммунологии дают основания для следующей предположительной трактовки механизма ингибирующего влияния препарата на развитие гиперчувствительности немедленного типа.

У сенсибилизованных животных, получающих курс инъекций спленина, происходит постоянное высвобождение небольшой массы гистамина из тучных клеток и тем самым происходит снижение общего содержания медиатора в этих клетках. Такое постоянное высвобождение гистамина, не сопровождающееся видимыми общими проявлениями, приводит к «тренировке» гистаминовых рецепторов гистаминчувствительных тканей и тем самым способствует снижению чувствительности их к данному медиатору. Вследствие этого при введении животному разрешающей дозы аллергена происходит не только меньший выброс гистамина из тучных клеток, но и сниженный ответ окружающих тканей на медиатор.

Такой механизм десенсибилизирующего действия предложен для целого ряда фармакологических препаратов, обладающих гистамин-высвобождающими нецитотоксическими свойствами [2, 3]. Аналогично можно объяснить положительный клинический эффект при введении спленина больным с целым рядом аллергических заболеваний.

Высказанное предположение о наличии такого механизма снижения проявлений реакции немедленной гиперчувствительности под влиянием спленина не исключает существования других путей противоаллергического действия препарата.

S. V. Pokrovskaya, A. V. Shevchenko

FUNCTIONAL STATE OF MAST CELLS IN RATS AFTER SPLENIN INJECTIONS

The experiment on rats has established that parenteral introduction of splenin for seven days considerably decreases the total histamine content in isolated and incubated mast cells of these animals. At the same time response of mast cells *in vitro* to the action of a specific histamine liberator, substance 48/80, remains undisturbed: percentage of the histamine release with respect to its total content in corresponding portions of cells in test animals does not differ from that in control ones. But absolute weight of the released mediator in terms of a million of mast cells is reliably lower in the sple-

nin-injected animals. It is concluded that inhibitory action of splenin on the development of hypersensitive immediate species is associated with its histamine-releasing noncytotoxic properties.

Institute of Endocrinology and Metabolism, Kiev

1. Гущин И. С. Действие простагландинов Е₁ и папаверина на анафилактическое высвобождение гистамина из тучных клеток // Патол. физиология и эксперим. терапия.—1977.—№ 1.—С. 32—35.
2. Гущин И. С. Антигистаминные препараты как высвободители гистамина и ингибиторы его высвобождения // Патогенез аллергических процессов в эксперименте и клинике.—М.: Медицина, 1979.—С. 118—131.
3. Гущин И. С. Использование элементов механизма специфической гипосенсибилизации для поиска новых принципов лечения аллергии // Вопросы этиологии, патогенеза, диагностики и лечения аллергических заболеваний: Сб. науч. тр.—Ташкент, 1980.—С. 29—35.
4. Гущин И. С., Покровская С. В., Зебрев А. И. Действие спленина на клетки-мишени аллергической реакции.—Иммунология.—1983.—№ 1.—С. 73—75.
5. Захарова А. Ф., Митрохина Н. М., Плотникова Н. Е. Лечение спленином вазомоторного ринита у детей // Сов. медицина.—1976.—№ 7.—С. 108—111.
6. Митрохина Н. М., Захарова А. Ф. Применение спленина при лечении аллергических заболеваний верхних дыхательных путей // Материалы к международной научно-практической конференции оториноларингологов и выезд. науч. сессии Моск. НИИ уха, горла и носа.—М.: 1977.—С. 93—95.
7. Митрохина Н. М. Иммунотерапия больных аллергическим ринитом // Актуальные вопросы оториноларингологии.—М., 1981.—С. 47—50.
8. Покровская С. В., Шевченко А. В., Шуцкий И. В. и др. Влияние спленина на иммунологическую реактивность организма // Регуляция иммунного гомеостаза.—Л., 1982.—С. 82.
9. Покровская С. В., Шевченко А. В. Особенности течения анафилактической реакции у животных на фоне введения спленина. Деп. Библиограф. указатель ВИНИТИ, 1984, 7, б/о 308.
10. Чернушенко Е. Ф., Чумак А. А., Исаева Э. Г. и др. Влияние иммуномодулирующих препаратов на гиперчувствительность замедленного и немедленного типа // Актуальные проблемы современной патофизиологии.—Кiev: Наук. думка, 1981.—С. 394—396.
11. Чернушенко Е. Ф., Когосова Л. С., Гончарова С. И. и др. Иммунорегулирующее действие спленина // Регуляция иммунного гомеостаза.—Л., 1982.—С. 109—110.
12. Шуцкий И. В., Покровская С. В. Применение спленина в комплексном лечении заболеваний кожи у детей // Информ. листок МЗ УССР.—1983.

Кiev, ин-т эндокринологии и обмена веществ МЗ УССР

Поступила 19.04.85

В. А. Березовский, Б. С. Сушко

ВЛИЯНИЕ ДИЕТ С РАЗЛИЧНЫМ СОДЕРЖАНИЕМ НАСЫЩЕННЫХ И НЕНАСЫЩЕННЫХ ЖИРНЫХ КИСЛОТ НА ДИФФУЗИЮ КИСЛОРОДА В МЫШЕЧНОЙ ТКАНИ

Известно, что химический состав клеточных мембран может значительно изменяться под влиянием алиментарных факторов или парентерального введения липосом заданного состава [1, 5, 6]. В первую очередь при этом меняется липидный состав мембран, что влияет на их кинетическую вязкость, условия диффузии кислорода. Тем не менее в доступных нам работах отсутствуют сведения о возможной модификации сопротивления тканей потоку кислорода и пределах вариации значений коэффициента диффузии в тканях в различных условиях. Цель настоящей работы — исследовать влияние пищевых рационов на диффузию кислорода в скелетных мышцах белых крыс.

Методика

Работа проведена на 75 белых крысах-самцах массой 250—300 г, которые добавочно получали жиры из расчета 0,2 г на 100 г массы тела в течение 2—3 нед. Исследованы три группы животных (рисунок): K — контрольные животные, содержащиеся

на стандартной диете; C — животные M — животные, получавшие добавки насыщенных жирных кислот. Проведены (2) периоды года.

Измерение коэффициентов диффузии кислорода [2, 3, 4, 7] на первом токе кислорода с теоретическими коэффициентами диффузии O₂ в при-

родных условиях (1) и осенний (2) периоды. Среднегрупповые значения коэффициентов кислорода в мышечной ткани

ней (1) и осенний (2) серий и K — группа контрольных животных; C — животные, получавшие добавки гидрированных жиров с содержанием насыщенных жир-

Результаты

Проведенные измерения коэффициентов диффузии кислорода в мышечной ткани показали, что коэффициент диффузии кислорода в мышечной ткани контрольных животных в летний период был равен 157 %, а в осенний — 155 %. Соответственно коэффициент диффузии в мышечной ткани животных, получавших добавку насыщенных жирных кислот, был равен 152 %, а в осенний — 150 %. Коэффициент диффузии кислорода в мышечной ткани животных, получавших добавку гидрированных жиров с содержанием насыщенных жирных кислот, был равен 154 %, а в осенний — 152 %.

Для решения вопроса о влиянии на диффузию кислорода в мышечной ткани животных насыщенных жирных кислот было проведено исследование в осенний период. Результаты показали, что среднее значение коэффициента диффузии кислорода в мышечной ткани контрольных животных было равно $(3,9 \pm 0,5)$ $\times 10^{-6}$ см² · с⁻¹. Для животных, получавших добавку насыщенных жирных кислот, это значение было равно $(3,7 \pm 0,4)$ $\times 10^{-6}$ см² · с⁻¹. Для животных, получавших добавку гидрированных жиров с содержанием насыщенных жирных кислот, это значение было равно $(3,8 \pm 0,4)$ $\times 10^{-6}$ см² · с⁻¹.

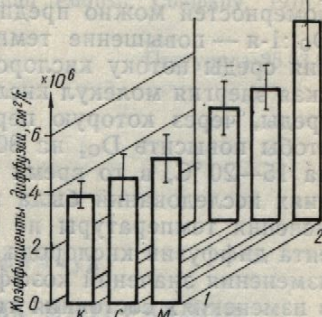
Физиол. журн., 1986, т. 32, № 4

на стандартной диете; С — животные, получавшие гидрированные растительные жиры; М — животные, получавшие добавку растительного масла с высоким содержанием ненасыщенных жирных кислот. Проведены две серии опытов — в летний (1) и осенний (2) периоды года.

Измерение коэффициентов диффузии кислорода (D_{O_2}) осуществляли методом бросковых токов [2, 3, 4, 7] на платиновом электроде. Сравнивая темп спада броскового тока кислорода с теоретической зависимостью этого тока от времени, оценивали коэффициенты диффузии O_2 в приэлектродной зоне. Оптимальный режим поляризации

Среднегрупповые значения коэффициентов диффузии кислорода в мышечной ткани крыс для летней (1) и осенней (2) серий исследований:

Группа животных	Летний (1) серия	Осенней (2) серия
K — группа контрольных животных	$(3,9 \pm 0,5) \cdot 10^{-6} \text{ см}^2 \cdot \text{с}^{-1}$	$(4,0 \pm 1,0) \cdot 10^{-6} \text{ см}^2 \cdot \text{с}^{-1}$
C — группа животных, получавших добавки гидрированных жиров	$(4,6 \pm 0,8) \cdot 10^{-6} \text{ см}^2 \cdot \text{с}^{-1}$	$(4,7 \pm 0,9) \cdot 10^{-6} \text{ см}^2 \cdot \text{с}^{-1}$
M — группа животных, получавших добавки жиров с высоким содержанием ненасыщенных жирных кислот	$(5,2 \pm 0,9) \cdot 10^{-6} \text{ см}^2 \cdot \text{с}^{-1}$	$(6,0 \pm 1,1) \cdot 10^{-6} \text{ см}^2 \cdot \text{с}^{-1}$



индикаторного электрода, использованный в настоящей работе, следующий: длительность импульса — 6,0 с; интервал между импульсами 60—180 с, период считывания точек броскового тока — 0,2 с. За время одного импульса считывали 30 точек. Потенциал поляризации — 0,625 В. Платиновый индикаторный электрод точечно-го типа диаметром 75 мкм в стеклянной изоляции располагался в инъекционной игле диаметром 0,5 мм. В качестве вспомогательного использовали хлорсеребряный электрод. Измерения проводили на протяжении 50—60 мин без перемещения электрода в икроножной мышце наркотизированного животного (уретан—2 %-й раствор+хлоролоза — 0,2 %-й раствор, 2,5 мл суммарного раствора на 100 г массы тела).

Результаты и их обсуждение

Проведенные измерения показали, что для контрольных животных коэффициент вариации значений D_{O_2} составляет 130 %. После кормления подопытных животных вариации значений D_{O_2} возросли до 149 и 157 % соответственно для двух опытных групп животных. Среднее значение коэффициента диффузии кислорода для животных контрольной группы составило $(3,9 \pm 0,5) \cdot 10^{-6} \text{ см}^2 \cdot \text{с}^{-1}$, для животных, получавших добавку насыщенных жиров — $(4,6 \pm 0,8) \cdot 10^{-6} \text{ см}^2 \cdot \text{с}^{-1}$, для животных, получивших добавку ненасыщенных жирных кислот — $(5,2 \pm 0,9) \cdot 10^{-6} \text{ см}^2 \cdot \text{с}^{-1}$. Число измерений, по которым производилось усреднение составило 100, 83 и 87 соответственно. Данные, полученные в летней серии (1) опытов показали, что добавление к стандартной диете различных жиров сдвигает средние значения коэффициента диффузии кислорода в скелетной мышце, однако эти изменения относительно невелики, что при больших разбросах индивидуальных значений не позволяет говорить о статистически достоверных изменениях.

Для решения вопроса о возможности сдвига значений D_{O_2} при экзогенном введении липидов с различным содержанием насыщенных и ненасыщенных жирных кислот мы повторно провели аналогичные исследования в осенний период года (2). Полученные результаты показали, что среднее значение коэффициента диффузии кислорода в мышечной ткани контрольных животных составило $(4,0 \pm 1,0) \cdot 10^{-6} \text{ см}^2 \cdot \text{с}^{-1}$. Это значение практически идентично с тем, которое было получено в летней серии экспериментов — 3,9. Для животных, получавших добавки полностью насыщенных растительных жиров выявлено некоторое повышение значения коэффициента диффузии — до $(4,7 \pm 0,9) \cdot 10^{-6} \text{ см}^2 \cdot \text{с}^{-1}$. Для животных, получавших добавку растительных жиров с большим содержанием ненасыщенных жирных кислот возра-

- на стандартной диете; С — животные, получавшие гидрированные растительные жиры; М — животные, получавшие добавку растительного масла с высоким содержанием ненасыщенных жирных кислот. Проведены две серии опытов — в летний (1) и осенний (2) периоды года.
- Измерение коэффициентов диффузии кислорода (D_{O_2}) осуществляли методом бросковых токов [2, 3, 4, 7] на платиновом электроде. Сравнивая темп спада броскового тока кислорода с теоретической зависимостью этого тока от времени, оценивали коэффициенты диффузии O_2 в приэлектродной зоне. Оптимальный режим поляризации
- Среднегрупповые значения коэффициентов диффузии кислорода в мышечной ткани крыс для летней (1) и осенней (2) серий исследований:
- | Группа животных | Летний (1) серия | Осенней (2) серия |
|--|--|--|
| K — группа контрольных животных | $(3,9 \pm 0,5) \cdot 10^{-6} \text{ см}^2 \cdot \text{с}^{-1}$ | $(4,0 \pm 1,0) \cdot 10^{-6} \text{ см}^2 \cdot \text{с}^{-1}$ |
| C — группа животных, получавших добавки гидрированных жиров | $(4,6 \pm 0,8) \cdot 10^{-6} \text{ см}^2 \cdot \text{с}^{-1}$ | $(4,7 \pm 0,9) \cdot 10^{-6} \text{ см}^2 \cdot \text{с}^{-1}$ |
| M — группа животных, получавших добавки жиров с высоким содержанием ненасыщенных жирных кислот | $(5,2 \pm 0,9) \cdot 10^{-6} \text{ см}^2 \cdot \text{с}^{-1}$ | $(6,0 \pm 1,1) \cdot 10^{-6} \text{ см}^2 \cdot \text{с}^{-1}$ |

Поступила 19.04.85

Сушко

СОДЕРЖАНИЕ ЖИРНЫХ КИСЛОТ ЫШЕЧНОЙ ТКАНИ

чных мембран может знан-
ных факторов или парен-
тава [1, 5, 6]. В первую
в мембран, что влияет на
и кислорода. Тем не менее
ния о возможной модифи-
и пределах вариации
в различных условиях.
ние пищевых рационов на
белых крысах.

ицентров, которые со-
массой 250—300 г, которые до-
сы тела в течение 2—3 нед. Ис-
ольные животные, содержащиеся

стание значения коэффициента диффузии было еще более выраженным, составляя в среднем $(7,1 \pm 0,9) \cdot 10^{-6} \text{ см}^2 \cdot \text{с}^{-1}$, что составляет 180 % контрольного значения. Различие средних значений коэффициента диффузии кислорода в мышечной ткани между контрольными и получавшими добавки ненасыщенных жирных кислот животными статистически высоко достоверно ($P < 0,02$). Дисперсия значений D_{O_2} в последней группе животных минимальна: коэффициент вариации не превышал 103 %.

За счет каких факторов может происходить возрастание коэффициента диффузии кислорода в тканях? Исходя из физических закономерностей можно предполагать следующие две причины изменения D_{O_2} : 1-я — повышение температуры среды, 2-я — снижение сопротивления среды потоку кислорода. В первом случае повышается кинетическая энергия молекул кислорода, во втором — меняются свойства самой среды, через которую перемещаются молекулы кислорода. Для того, чтобы повысить D_{O_2} на 80 % необходимо повысить температуру среды на 15—20 °C, в то время как температура тела животных во всех сериях исследований была практически одинакова. Иными словами, изменения температуры не могут быть причиной повышения коэффициента диффузии кислорода в мышце обследованных животных. Причину изменения значений коэффициента диффузии кислорода следует искать в изменениях состояния ткани. Добавление к рациону животных липидов с различным содержанием насыщенных и ненасыщенных жирных кислот, которые способны встраиваться в структуру плазматических и других мембран клеток, может быть одной из причин изменения сопротивления тканей потоку кислорода.

Следует отметить, что перемещение молекул кислорода в живых тканях и клетках может осуществляться не только диффузионно, но и гидродинамически, с потоками межклеточной жидкости и цитоплазмы. Отсюда понятие «коэффициент диффузии кислорода» в тканях целесообразно рассматривать как «коэффициент перемещения» кислорода или «коэффициент эффективной диффузии», подразумевая участие в этом процессе нескольких биологических составляющих. Возрастание удельного содержания в тканях ненасыщенных жирных кислот может оказывать влияние не только на структуру биологических мембран, но и на многие биохимические процессы, сопряженные с биологическим окислением, стабилизацией биомембран, освобождением энергии. Не исключено, что повышение проницаемости тканей для кислорода при преобладании в пищевом рационе ненасыщенных жирных кислот — частный случай общего повышения проницаемости тканевых структур для веществ с малой молекулярной массой. Это создает возможность использования такого воздействия на организм для коррекции явлений кислородного голодания и активации доставки кислорода к тканям.

V. A. Beregovskiy, B. S. Sushko

INFLUENCE OF DIETS WITH DIFFERENT CONTENT OF SATURATED AND UNSATURATED FATTY ACIDS ON THE OXYGEN DIFFUSION COEFFICIENTS IN MUSCULAR TISSUE

Oxygen diffusion coefficients in skeletal muscles of the laboratory albino rats under urethan-chloroform anesthesia have been polarographically estimated by the method of automatic formation, recording and analysis of the inrush current on the platinum electrode. It is shown that average-group values of the diffusion coefficients for groups of animals which were given saturated (C) and unsaturated (M) vegetable fats in addition to the basic nutrition ration has increased as compared with the control group of animals (K). The highest (up to 180 % on the average) reliable increase of the diffusion coefficient was observed in the group of animals (M) given unsaturated vegetable fats. Large values of oxygen tension in the tissue corresponded to the large values of O_2 diffusion coefficients. The data obtained permit judging that the effective coefficient of oxygen diffusion in tissues is not a constant but can vary depending on the external actions.

A. A. Bogomoletz Institute, Academy of Sciences of the Ukrainian SSR, Kiev

1. Бергельсон Л. Д. Роль памяти // Всесоюзный биохимический конгресс. Труды. 1975. — 280 с.
2. Березовский В. А. Напряжения // Ученые записки. 1970. — 220 с.
3. Делимарский Ю. К., Скобец Е. А. — 1970. — 220 с.
4. Колтгофф И. М., Лингей Д. А.
5. Покровский А. А., Тутельян В. А.
6. Bietsch J. M., Cotto Jr., Optimism. — New York: Plenum Publishers, 1980.
7. Erdmann W., Krell W. Measures of oxygen transport to tissue // Oxygen transport to tissue. 1980. — 225—228.

Ин-т физиологии им. А. А. Богомолца УССР, Киев

УДК 613.6:612.172.2.08

Н. В. Ма

УСТРОЙСТВО ВВ ФИЗИОЛОГИЧЕСКОГО ДЛЯ МИКРО-

Один из основных параметров эксперимента — необходимое условие эффективности ввода его в ЭЦВМ с теми, которые нередко отсутствуют в эксперименте ЭЦВМ «Электронные машины не обеспечены кодом и соответствующими

Создание периферийных устройств для машин — дело труда машин (их доступность, достоверность, возможность их использования в установках и на объектах), такие разработки.

В Институте экспериментальной градации для автоматизированной реализованной на базе двух специальных преобразований взаимодействия ЭЦВМ с ПК. Мы разработали преобразующую программу ввода физиологического эксперимента. Функциональная схема ПК тора опорной частоты (ГС) делящий стандартный генератор кварцевый генератор частоты зователья — 12 двоичных разрядов в асинхронном режиме по заранее заданной команде — чтение содержимого памяти по адресу ПВМ B2A2, которая принимает сигналы (R10) + (BD) при состоянии ветви ПУ (СИП) не ограниченной. Второй байт этой команды. Так как ЭЦВМ «Электроника-80» имеет информационный байт информации, а разряды

Физиол. журн., 1986, т. 32, № 4

ило еще более выраженным, что составляет 180 % контейнеров коэффициента диффузии и получавшими животными статистически выявленных D_{O_2} в последней группе не превышал 103 %. Исходя из физических законов две причины изменения D_{O_2} — снижение сопротивления повышается кинетически — меняются свойства самой ткани кислорода. Для того, чтобы повысить температуру среды тела животных во всех секторах. Иными словами, из-за повышения коэффициентов животных. Причину кислорода следует искать в рациональности животных липидов и ненасыщенных жирных структур плазматических мембран из причин изменения со-

лекул кислорода в живых организмах не только диффузионно, но и в жидкости и цитоплазме. «Кислорода» в тканях целесообразнее перемещения кислорода, подразумевая участие вставляющих. Возрастание жирных кислот может инициировать физиологических мембран, но связанные с биологическим обменом энергии. Не хватает для кислорода приенных жирных кислот — емости тканевых структур. Это создает возможность для коррекции явлений кислорода к тканям.

ENT CONTENT
TY ACIDS ON THE
MUSCULAR TISSUE

the laboratory albino rats usually estimated by the method of current on the platinum electrode coefficients for groups of (M) vegetable fats in addition with the control group of animal increase of the diffusion even unsaturated vegetable fats. Due to the large values of O_2 diffusion the effective coefficient of oxygen binding on the external actions.

1. Бергельсон Л. Д. Роль памяти липидов в слабых лиганд-рецепторных взаимодействиях // Всесоюзный биохимический съезд. — М.: Наука, 1985, т. 1. — С. 221—222.
2. Березовский В. А. Напряжение кислорода в тканях животных и человека. — Киев: Наук. думка, 1975. — 280 с.
3. Делимарский Ю. К., Скобец Е. М. Полярография на твердых электродах. — Киев: Техника, 1970. — 220 с.
4. Колтгофф И. М., Лингейн Д. Дж. Полярография. — М.: Гостехиздат, 1948. — 573 с.
5. Покровский А. А., Тутельян В. А. Лизосомы. — М.: Наука, 1976. — 382 с.
6. Bietsch J. M., Cotto Jr., Ontko J. A. Disturbances in lipid and lipoprotein metabolism. — New York: Plenum Publish. Company, 1978. — 303 p.
7. Erdmann W., Krell W. Measurement of diffusion parameters with noble metal electrodes // Oxygen transport to tissue — New York: Plenum Publish. Company, 1976. — P. 225—228.

Ин-т физиологии им. А. А. Богомольца
АН УССР, Киев

Поступила 25.03.86

УДК 613.6:612.172.2.08

Н. В. Макаренко, Г. Е. Трофимчук

УСТРОЙСТВО ВВОДА ВРЕМЕННЫХ ИНТЕРВАЛОВ ФИЗИОЛОГИЧЕСКИХ ПРОЦЕССОВ ДЛЯ МИКРО-ЭЦВМ «ЭЛЕКТРОНИКА Д3-28»

Один из основных параметров, анализируемый в процессе физиологического эксперимента — длительность временных интервалов. Необходимое условие эффективной обработки данного параметра — прямой ввод его в ЭЦВМ с помощью специальных преобразователей, которые нередко отсутствуют. Широко применяемые в физиологическом эксперименте ЭЦВМ «Электроника Д3-28», «Электроника-100И» и другие машины не обеспечены стандартными преобразователями времени — код и соответствующими программами ввода информации.

Создание периферийных устройств и программного обеспечения для машин — дело трудоемкое и длительное, но достоинства подобных машин (их доступность, достаточно хорошие технические характеристики, возможность их использования непосредственно в лабораторных установках и на объектах, в том числе и на подвижных) оправдывают такие разработки.

В Институте экспериментальной медицины АМН СССР (Ленинград) для автоматизированной системы управления состоянием мозга, реализованной на базе двух ЭЦВМ «Электроника-100И» был разработан специальный преобразователь времени — код и программное обеспечение взаимодействия ЭЦВМ с периферийным устройством [1].

Мы разработали преобразователь времени — код (ПВК) и соответствующую программу ввода информации для автоматизированного физиологического эксперимента на базе ЭЦВМ «Электроника Д3-28». Функциональная схема ПВК приведена на рис. 1. В качестве генератора опорной частоты (ГОЧ) может быть использован любой подходящий стандартный генератор. Мы применили термостабилизированный кварцевый генератор частотометра Ф571. Разрядность счетчика преобразователя — 12 двоичных разрядов. Обмен информацией происходит в асинхронном режиме по запросам ПВК. Преобразователь выполняет команду — чтение содержимого запоминающего регистра. Чтение осуществляется по адресу ПВК двухшаговой командой (два байта) INPS B2A2, которая принимает в ОЗУ (S9) байтов с начального адреса (R10)+BD при состоянии регистра УПР-B2A2. Время ожидания ответа ПУ (СИП) не ограничено. По окончании приема УПР←0, РС. +2. Второй байт этой команды — код адреса периферийного устройства. Так как ЭЦВМ «Электроника Д3-28» может ввести одновременно один байт информации, а разрядность выходной информации ПВК — 12, то

результат измерения временного интервала вводится в виде последовательности двух байтов. Дешифратор адреса (ДША) реализован в виде схемы совпадения, имеющей восемь входов и дающей на выходе логический 0 в случае установленной комбинации сигналов на ее входах, подключенных к шинам управления ЭЦВМ. В ДША могут быть «защиты» с помощью инвертирования определенных входов схемы совпадения адреса, начиная 0001 и кончая 1515.

Измерение и ввод значений временных интервалов в ЭЦВМ происходит следующим образом (рис. 1). На вход ПВК подаются импульсы,

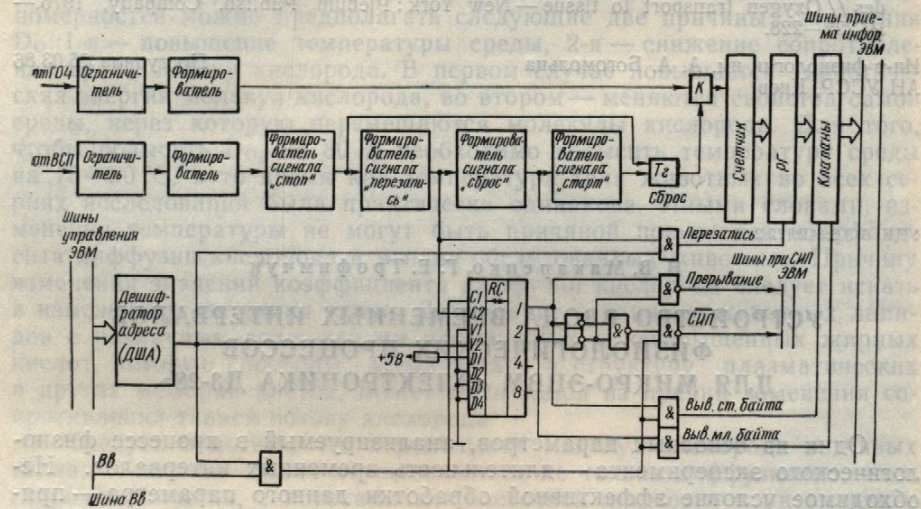


Рис. 1. Функциональная схема преобразователя времени — код.

интервалы между которыми подвергаются измерению. По переднему фронту очередного входного импульса формирователь сигнала «стоп» генерирует короткий импульс. Этим импульсом триггер (ТГ) устанавливается в нулевое состояние и закрывает клапан (К), в результате чего прекращается поступление импульсов ГОЧ на вход счетчика (СЧ). По заднему фронту импульса «стоп» формирователь сигнала «перезапись» генерирует короткий импульс. Этот импульс в случае логической 1 на выходе ДША (отсутствие адреса ПВК на шинах управления ЭЦВМ) вызывает перезапись содержимого СЧ в запоминающий регистр (РГ). Кроме того уровень логической 1 с выхода ДША поступает на вход V2 сдвигового регистра и устанавливает его в режим записи параллельного кода. На установочный вход D1 регистра постоянно подана логическая 1, а на входы D2, D3, D4 — логические нули, поэтому импульс «перезапись» записывает логическую 1 в младший разряд регистра и логические нули в остальные разряды, что вызывает появление сигнала прерывания и разрешение ввода в ЭЦВМ старшего байта результата измерения по нулевому уровню ВВ. При наличии уровня логического 0 на выходе ДША перезапись содержимого СЧ в РГ не происходит. По заднему фронту импульса «перезапись» формирователем сигнала «сброс» генерируется короткий импульс, который устанавливает СЧ в «0». По заднему фронту импульса «сброс» формирователем сигнала «старт» генерируется короткий импульс. Этим импульсом ТГ устанавливается в единичное состояние и открывает К. Таким образом начинается измерение очередного временного интервала.

По сигналу прерывания ЭЦВМ устанавливает на шинах управления код адреса ПВК (уровень логического 0 на выходе ДША). Логический 0 с выхода ДША поступает на вход V2 сдвигового регистра и переводит его из режима записи параллельного кода в режим сдвига информации. На входе последовательной информации (VI) постоянно

присутствует уровень 1 каждого ВВ на входе С разряда. Кроме того, запись информации из ПВК. Одновременно ВВ также устанавливаются в регистре импульс уровня логического 0 на мации ЭЦВМ старший



Рис. 2. Блок — схема

ЭЦВМ вводит информацию на шину снимается СИП и сдвиговый регистр сдвиг ввод в ЭЦВМ младшего уровня ВВ, одновременно чания подготовки ЭЦВМ навливается в «0». По приема информации ЭЦВМ вводит информацию и ся СИП и информацией 1 еще на один вания СИП и, следовательно, содержимого за код адреса ПВК с шиной прерывания цикла ввода.

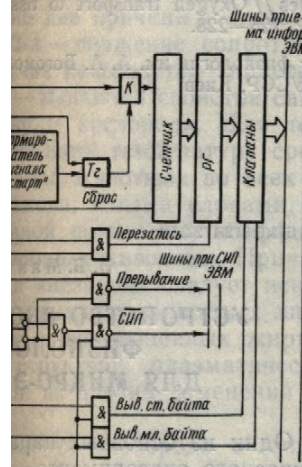
При использовании имеет защиты информационного сигнала «перезапись 2-й — совпадение того

На базе разработанной реализовали методику ЭКГ. Обработка RR-посредственном вводе магнитный накопитель.

Электрическая аккумуляция дисковых электродов (ВСП). С его помощью извлечение его из различных импульсов, передний фронт ЭКГ. Импульсы с выхода преобразование в виде сам ПВК ЭЦВМ осуществляет интервалов, результат индикацию или на ЦПУ. Установленный с помощью усилителя самопищущий прибор.

вводится в виде последовательности (ДША) реализован в виде и дающей на выходе логики сигналов на ее входах, а. В ДША могут быть «запоминаемых» входов схемы совпадения

интервалов в ЭЦВМ происходят ПВК подаются импульсы,



для измерения временного интервала — код.

измерению. По переднему фронту сигнала «стоп» с триггером (ТГ) устанавливается на вход счетчика (СЧ). Установка сигнала «перезапись» в случае логики ПВК на шинах управляемого СЧ в запоминающий байт 1 с выхода ДША поступает и устанавливается его в режиме вход D1 регистра постоянных, D4 — логические нули, постоянную 1 в младший разряды, что вызывает ввода в ЭЦВМ старшего уровня ВВ. При наличии записи содержимого СЧ в ячейке «перезапись» формируется импульс, который у импульса «сброс» формирует импульс. Этим импульсом состояние и открывает К. Для очередного временного интервала на шинах управления (0 на выходе ДША). Логика V2 сдвигового регистра и нового кода в режиме сдвига информации (VI) постоянно

присутствует уровень логического 0, поэтому в результате воздействия каждого ВВ на вход C1 сигнала логической 1 будет сдвигаться на один разряд. Кроме того, логический 0 на выходе ДША блокирует перезапись информации из СЧ в РГ и разрешает воздействие сигнала ВВ на ПВК. Одновременно с появлением логического 0 на выходе ДША ВВ также устанавливается в «0». Так как в младшем разряде сдвигового регистра импульсом «перезапись» записана логическая 1, то по уровню логического 0 ВВ ПВК устанавливается на шинах приема информации ЭЦВМ старший байт результата измерения и формирует СИП.

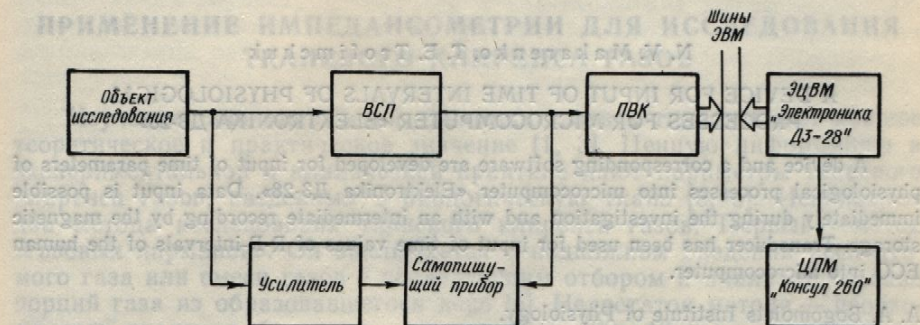


Рис. 2. Блок-схема системы для автоматизированной обработки R—R-интервалов ЭКГ.

ЭЦВМ вводит информацию и устанавливает ВВ в «1». По этому сигналу снимается СИП и информация с шин приема информации ЭЦВМ, сдвиговый регистр сдвигает логическую 1 на один разряд, разрешая ввод в ЭЦВМ младшего байта результата измерения по нулевому уровню ВВ, одновременно снимается сигнал прерывания. После окончания подготовки ЭЦВМ к приему очередного байта ВВ снова устанавливается в «0». По этому сигналу ПВК устанавливает на шинах приема информации ЭЦВМ младший байт и формирует СИП. ЭЦВМ вводит информацию и устанавливает ВВ в «1». В результате снимается СИП и информация с шин ЭЦВМ, сдвиговый регистр сдвигает логическую 1 еще на один разряд, что приводит к прекращению формирования СИП и, следовательно, к блокированию выполнения команды чтения содержимого запоминающего регистра. Одновременно снимается код адреса ПВК с шин управления ЭЦВМ. По очередному сигналу прерывания цикл ввода повторяется.

При использовании ПВК в эксперименте следует учесть, что он не имеет защиты информации в следующих случаях: 1-й — приход очередного сигнала «перезапись» до чтения ЭЦВМ предыдущего результата, 2-й — совпадение того же сигнала с моментом чтения информации.

На базе разработанного ПВК и программного обеспечения мы реализовали методику автоматизированной обработки R—R-интервалов ЭКГ. Обработка RR-интервалов может осуществляться как при непосредственном вводе их в ЭЦВМ, так и с промежуточной записью на магнитный накопитель.

Электрическая активность сердца отводится (рис. 2) с помощью дисковых электродов и подается на вход выделителя сигналов пульса (ВСП). С его помощью осуществляется усиление ЭКГ-сигнала, выделение его из различных артефактов и формирование прямоугольных импульсов, передний фронт которых совпадает по времени с R-зубцами ЭКГ. Импульсы с выхода ВСП поступают на вход ПВК, где происходит преобразование временных интервалов в цифровой код. По запросам ПВК ЭЦВМ осуществляет ввод и накопление значений R—R-интервалов, результаты обработки которых могут быть выведены на индикацию или на ЦПМ «Консул 260». Параллельно ЭКГ-сигнал, усиленный с помощью усилителя, и сигналы с выхода ВСП подаются на самопищущий прибор для визуального контроля.

Для обмена информацией между ЭЦВМ и ПВК и для ее обработки разработано программное обеспечение, которое включает следующие программы: 1-я — подготовка ввода и обработка массивов данных; 2-я — ввод данных в оперативное запоминающее устройство ЭЦВМ; 3-я — статистическая обработка массивов данных; 4-я — визуализация результатов статистической обработки; 5-я — визуализация памяти.

Программы математической обработки экспериментального материала могут легко заменяться в зависимости от задачи исследования при неизменных программах ввода данных в ЭЦВМ.

UDK 615.47:615.456

N. V. Makarenko, T. E. Trofimchuk

A DEVICE FOR INPUT OF TIME INTERVALS OF PHYSIOLOGICAL PROCESSES FOR MICROCOMPUTER «ELEKTRONIKA D3-28»

A device and a corresponding software are developed for input of time parameters of physiological processes into microcomputer «Elektronika D3-28». Data input is possible immediately during the investigation and with an intermediate recording by the magnetic storage. Transducer has been used for input of time values of R-R-intervals of the human ECG into microcomputer.

A. A. Bogomolets Institute of Physiology,
Academy of Sciences of the Ukrainian SSR, Kiev

1. Данько С. Г., Каминский Ю. Л. Система технических средств нейрофизиологических исследований человека. — Л.: Наука, 1982.— 133 с.

Ин-т физиологии им. А. А. Богомольца АН УССР, Киев Поступила 03.10.84

ПРИМЕНЕНИЕ ИМП
ТКАН

Изучение закономерностей экспериментальной и клиренса газов, введенных в организм, проводится с помощью двух методов исследования «газовых карманов». Определение концентрации определенного газа или смеси газов в порции газа из образовавшегося в результате введения большого количества газа в организм эксперимента (от нескольких до 100 л) позволяет изучать динамику изменения концентрации газа в организме клиренса, введенного в организм в виде смеси газов Хе-133 [6]. Метод может применяться в различных условиях. Крупными газами.

Для устранения участка клиренса газов мы изменили способ установки, реализующий следующим образом. Головной участок устанавливается на выездной резервуаре с жидкостью газом (на рисунке не показан). Воздушный баллон и продувочный зонд. Отключают баллон, подавая жидкость в головной участок. Вводят эластичную ткань. В установку биопеданса, принцип действия которого основан на использовании двух электродов различной величины (в 2-3 раза). В этом случае измеряется площадь биопеданса, изменяющаяся в зависимости от изменения величины контактирующей с тканью поверхности. Применение биполярной системы установки. Для обогащения электрода 4, снаженного покрытием, кроме серебра на него методом ВЭП-2100 [4].

Выбор частоты и необходимость учета влияния межэлектродной емкости на величину импеданса рабочего электрода. После введения элек-тканьализируется в течение 30-60 с. Значение импеданса откладывается в таблице 1.

и ПВК и для ее обработки, которое включает следующие стадии: 1) ввод массивов данных; 2) устройство ЭЦВМ; 3) визуализация — визуализация памяти. В экспериментальном материале от задачи исследования в ЭЦВМ.

filmchuk

S OF PHYSIOLOGICAL
LEKTRONIKA D3-28»

ed for input of time parameters of
a D3-28». Data input is possible
mediate recording by the magnetic
tapes of R-R-intervals of the human

их средств нейрофизиологических
импедансометрии

Поступила 03.10.84

МЕТОДИКИ

Изучение закономерностей динамики газов в тканях имеет важное теоретическое и практическое значение [1, 3]. Ценную информацию в экспериментальной и клинической практике дают параметры тканевого клиренса газов, введенных в биологическую ткань [5, 6]. Используют два метода исследования тканевого клиренса газов. Первый — метод «газовых карманов». Он заключается в подкожном введении исследуемого газа или смеси газов с последующим отбором и анализом состава порций газа из образовавшегося депо [5]. Недостаток метода — необходимость введения большого объема газа (20—40 мл), длительность эксперимента (от нескольких часов до нескольких суток). Метод не позволяет изучать динамику клиренса [1]. Второй метод основан на регистрации изменения радиоактивности исследуемого участка ткани по мере клиренса, введенного радиоактивного изотопа газа (например, Хе-133) [6]. Метод может быть использован только при соблюдении специальных условий. Круг исследований ограничен радиоактивными изотопами.

Для устранения указанных недостатков при изучении тканевого клиренса газов мы измеряли электрический импеданс исследуемого участка ткани при введении в него газа. На рис. 1 представлена схема установки, реализующей предложенный метод. Установку собирают следующим образом. Градуированный капилляр 1 с помощью штатива 3 устанавливают на высоту, необходимую для биологической ткани и резервуара с жидкостью 2. Затем капилляр присоединяют к баллону с газом (на рисунке не показан). Для работы установки открывают вентиль баллона и продувают капилляр под давлением, заполняя его газом. Отключают баллон и присоединяют капилляр 1 к резервуару с жидкостью 2. Вводят электроды 4 и 5 в исследуемый участок биологической ткани. В установке использован биполярный метод измерения биомпеданса, принцип которого в том, что измерения проводят между двумя электродами разной площади. Площадь рабочего электрода 4 во много раз меньше (10^2) площади вспомогательного электрода 5. В этом случае измерительное поле концентрируется вблизи малой рабочей площади и измерение электрического импеданса происходит в ограниченном участке ткани, прилегающем к рабочему электроду [2]. Применение биполярного метода значительно повышает чувствительность установки. Для обеспечения малой измерительной площади рабочий электрод 4, снабженный внутренним каналом для введения газа, покрыт весь, кроме среза, диэлектриком. В качестве покрытия электрода на него методом электроосаждения нанесена эмаль марки ВЭП-2100 [4].

Выбор частоты и плотности измерительного тока обусловлен необходимостью учета влияния приэлектродных процессов и шунтирующей межэлектродной емкости на значение импеданса. По экспериментальным данным модельных исследований плотность измерительного тока у рабочего электрода составляет $10,0 \text{ мА}/\text{мм}^2$, а частота — 5 кГц. После введения электродов в ткань межэлектродный импеданс стабилизируется в течение 3—15 мин. После установления постоянного значения импеданса открывают кран 7 и под заданным давлением жид-

костного столба вводят необходимое количество газа в ткань. Введение газа контролируют по перемещению границы жидкостного столба между делениями в капилляре 1. Регистрируют изменение импеданса, по которому судят о динамике процесса клиренса.

Вероятно, что для меньшего воздействия на ткань желательно использовать минимальное давление введения газа. Однако, как показали эксперименты, скорость введения газов в ткань зависит от прилагаемого давления нелинейно. Причем разброс значений скорости введения

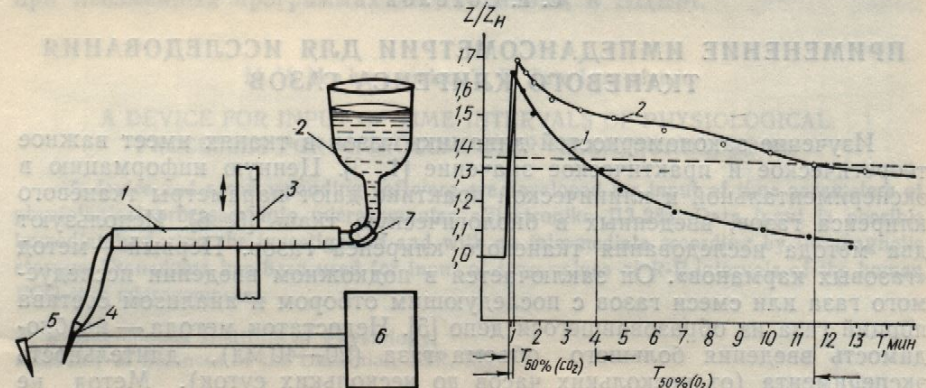


Рис. 1. Схема установки для исследования тканевого клиренса газов по измерению электрического импеданса ткани:

1 — градуированный капилляр; 2 — резервуар с жидкостью; 3 — штатив; 4 и 5 — металлические электроды; 6 — измеритель электрического импеданса; 7 — кран.

Рис. 2. Характерные кривые тканевого клиренса углекислого газа (1) и кислорода (2) в мышечной ткани белой крысы (стрелкой отмечен момент введения газа в ткань): T — текущее время; Z_n — начальное значение импеданса; Z — текущее значение импеданса; $T_{50\%}$ — время полуклиренса

для разных газов и разных участков ткани увеличивается с уменьшением давления введения. Поэтому с целью создания повторяемых условий экспериментов значение высоты жидкостного столба, т. е. значение давления введения, должно составлять 35 см.

С помощью описанной установки изучали тканевой клиренс углекислого газа, кислорода и аргона в следующих условиях: нормальных физиологических, при прекращении кровотока наложением жгута и омертвления ткани (каждая серия — 10 экспериментов). Эксперименты проведены на мышце бедра белых крыс-самцов массой 180—220 г. Животных анестезировали гексаналом. Объем вводимого газа составлял 0,2 мл. Критерием скорости процесса выбрано время полуклиренса.

В нормальной ткани значения полуклиренса углекислого газа находились в диапазоне 0,5—5 мин (среднее значение — 2,5 мин), кислорода — 7—23 мин (среднее значение — 9,3 мин), аргона — 8—27 мин (среднее значение 2—12 мин). Полученные результаты (достоверно более быстрый по сравнению с кислородом и аргоном клиренс углекислого газа) хорошо согласуются с результатами, приведенными в литературе [5, 7].

В ткани, находящейся в условиях прекращения кровотока наложением жгута и омертвления, тканевой клиренс аргона полностью прекращался. Это соответствует данным по клиренсу радиоактивных изотопов инертных газов [6], а также данным, полученным в экспериментах методом «газовых карманов» [7]. Клиренс углекислого газа и кислорода в большинстве экспериментов в условиях наложения жгута и омертвления ткани также прекращается. И лишь в двух случаях для кислорода (и однажды для углекислого газа) удалось зафиксировать незначительное рассасывание. Время полуклиренса при этом для кислорода составило 36 и 48 мин, для углекислого газа 36 мин. Полученные результаты опровергают мнение [7] о том, что тканевой клиренс

кислорода и углекислого газа и кислорода. Полученные нами механизмы тканевого кровотока.

На рис. 2 представлена кривая тканевого клиренса углекислого газа и кислорода.

Предлагаемый метод измерения импедансов газа и биоткани газом приводит к динамике тканевого кровотока. Таким образом, использование радиоактивных газов и кислорода для исследования тканевого кровотока и тканевого клиренса газов и кислорода в тканях животных и человека.

APPLICATION

Parameters of tissue clearance of gases in tissues in experiments of the electrical impedance method (for gas into it) is suggested to be investigated. A scheme of the apparatus for measurement of the curves of the tissue clearance of oxygen and carbon dioxide in muscle tissue of white rat.

Research Amalgamation on Research Apparatus «REMA», Ministry of Health of USSR.

1. Березовский В. А. Направления научных исследований в области изучения тканевого кровотока и тканевого клиренса газов и кислорода. Наук. думка, 1975.—280 с.
2. Гречин В. Б., Кропотова Е. А. Тканевое кровотечение и омертвление ткани человека.—Л.: Наука, 1973.
3. Коваленко Е. А. Вопросы определения кислорода в тканях. Докторская диссертация. 1973.
4. Мацкевич Г. В., Соколова Е. А. Изменение импеданса ткани при введении газов в брюшную полость. Науч.-техн. журн. по радиоактивным методам. № 1. 1975.
5. Campbell J. A. Changes in tissue impedance during entry of oxygen and carbon dioxide into abdominal cavity. // Acta physiol. Scand. 1962. — 55. — P. 133.
6. Larsen O. A., Lassen N. A. Radioactive xenon // Acta physiol. Scand. 1962. — 55. — P. 133.
7. Van Liew H. D. Oxygen and carbon dioxide clearance in rat muscle. Amer. J. Physiol. — 1962. — 203. — P. 133.

Науч.-произв. обн. по радиоактивным методам. № 1. 1975.

Науч.-произв. обн. по радиоактивным методам. № 2. 1975.

Науч.-произв. обн. по радиоактивным методам. № 3. 1975.

Науч.-произв. обн. по радиоактивным методам. № 4. 1975.

Науч.-произв. обн. по радиоактивным методам. № 5. 1975.

Науч.-произв. обн. по радиоактивным методам. № 6. 1975.

Науч.-произв. обн. по радиоактивным методам. № 7. 1975.

Науч.-произв. обн. по радиоактивным методам. № 8. 1975.

Науч.-произв. обн. по радиоактивным методам. № 9. 1975.

Науч.-произв. обн. по радиоактивным методам. № 10. 1975.

Науч.-произв. обн. по радиоактивным методам. № 11. 1975.

Науч.-произв. обн. по радиоактивным методам. № 12. 1975.

Науч.-произв. обн. по радиоактивным методам. № 13. 1975.

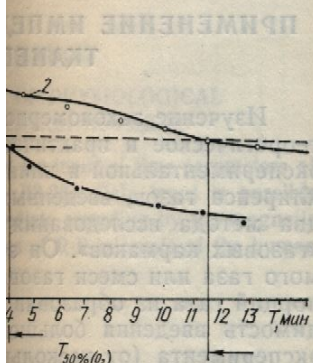
Науч.-произв. обн. по радиоактивным методам. № 14. 1975.

Науч.-произв. обн. по радиоактивным методам. № 15. 1975.

Физиол. журн., 1986, т. 32, № 4

во газа в ткань. Введение жидкостного столба не изменяет импеданса, исчезает.

на ткань желательно исчезать. Однако, как показали наши эксперименты, зависимость зависит от прилагаемой скорости введения



клиренса газов по измерению времени введения газа в ткань:

— текущее значение импеданса; $T_{50\%}$ —

увеличивается с уменьшением повторяемых условий: нормальных и тканевых клиренсов углекислого газа (1) и кислорода (2) в

условиях: нормальных (приложении жгута и экспериментов). Эксперименты проводились массой 180—220 г. Животного газа составляло время полуклиренса.

клиренса углекислого газа нахождение — 2,5 мин), кислорода — 8—27 мин

результаты (достоверно более аргоном клиренс углекислого газа, приведенные в лите-

ниях кровотока наложением аргона полностью пре-ренес радиоактивных изотопов в экспериментах углекислого газа и кислорода наложения жгута и лишь в двух случаях для удалось зафиксировать клиренса при этом для кислого газа 36 мин. Получено, что тканевой клиренс

кислорода и углекислого газа в отсутствие кровотока почти не изменяется. Полученные нами данные дают основание утверждать, что основной механизм тканевого клиренса исследованных газов — тканевой кровоток.

На рис. 2 представлены характерные кривые тканевого клиренса углекислого газа и кислорода.

Предлагаемый метод основан на разнице удельных электрических импедансов газа и биологической ткани, вследствие чего насыщение ткани газом приводит к резкому повышению ее электрического импеданса. Таким образом, применение импедансометрии позволяет изучать динамику тканевого клиренса практически любых газов, не требуя использования радиоактивных изотопов. Метод позволяет также сокращать время исследования и объема введенного газа. Это дает возможность расширить экспериментальное изучение тканевого клиренса газов при различных функциональных состояниях биологического объекта.

S. E. Sokolov

APPLICATION OF IMPEDOMETRY FOR INVESTIGATING TISSUE CLEARANCE OF GASES

Parameters of tissue clearance give valuable information to study regularities of the gas dynamics in tissues in experimental and clinical practice. Impedometry (measurement of the electrical impedance in the section of tissue under study during administration of gas into it) is suggested to be applied for eliminating defects in the existing methods of investigation. A scheme of the device which realizes the suggested method is given. Typical curves of the tissue clearance of carbon dioxide and oxygen are presented.

Research Amalgamation on Radioelectronic Medical Apparatus «REMA», Ministry of Medical Industry, Lvov

1. Березовский В. А. Напряжение кислорода в тканях животных и человека. — Киев: Наук. думка, 1975.—280 с.
2. Гречин В. Б., Кропотова Ю. Д. Медленные неэлектрические ритмы головного мозга человека. — Л.: Наука, 1979.—127 с.
3. Коваленко Е. А. Вопросы теории динамики газов в организме // Полярографическое определение кислорода в биологических тканях. — Киев: Наук. думка, 1974.—С. 120—123.
4. Мацкевич Г. В., Соколов С. Е., Тымкив А. Н. Покрытие игольчатых электродов для многократного использования // Новости мед. техники. — М., 1983.—С. 42—43.
5. Campbell J. A. Changes in the tensions of CO_2 and O_2 in gases injected under the skin and into abdominal cavity // J. Physiol. London. — 1924.—59, N 1.—P. 1—16.
6. Larsen O. A., Lassen N. A., Quoade F. Blood flow human adipose tissue determined with radioactive xenon // Acta physiol. scand.— 1966.—66.—P. 337—345.
7. Van Liew H. D. Oxygen and carbon dioxide permeability of subcutaneous pockets // Amer. J. Physiol.— 1962.—202, N 1.—P. 53—58.

Науч.-произв. об-ние по радиоэлектрон. мед. аппаратуре «РЕМА» ММП. Львов

Поступила 21.11.85

УДК 616.12—007.64

III ВСЕСОЮЗНЫЙ СИМПОЗИУМ ПО ГИПЕРБАРИЧЕСКОЙ ОКСИГЕНАЦИИ

Программа симпозиума, проходившего в Москве во Всесоюзном научном центре хирургии (ВНЦХ) АМН СССР 2–3 октября 1985 г., была посвящена фундаментальным вопросам проблемы гипербарической оксигенации (ГБО) и практическим аспектам применения ГБО в хирургии и реаниматологии. На четырех заседаниях было представлено свыше 50 докладов и столько же стендовых сообщений.

тервалокардиометрию, кислородные резервы организма, математические методы исследования с использованием ЭВМ и др. (Ж. М. Ваврик и соавт., Ивано-Франковск; М. Я. Ходас и соавт., А. Э. Цин и соавт., М. А. Юшков и соавт., Москва; Г. Л. Ратнер, Л. П. Дровяникова, Куйшев; И. Ф. Соколянский, Киев). Для определения эффективности и выбора режима ГБО при лечении больных с гнойной инфекцией были разработаны и внедрены

Открывая симпозиум, заместитель министра здравоохранения СССР А. Г. Сафонов отметил всевозрастающую роль ГБО в медицинской практике. Создалось такое положение, когда практические запросы выдвигают задачи ускорения фундаментальных исследований по данной проблеме. В программном докладе академика Б. В. Петровского и чл.-кор. АН СССР С. Н. Ефуни «На пороге третьего десятилетия» были отражены итоги организационно-методической, научной и лечебной работы Всесоюзного центра ГБО ВНИЦХ АМН СССР за 20 лет. На базе Центра ГБО работает проблемная комиссия «Гипербарическая оксигенация» АМН СССР, координирующая научные исследования в нашей стране.

На специальном заседании «Экспериментальные обоснования показаний и тактики использования гипербарической оксигенации в клинической практике» (председатель заседания — чл.-кор. АН СССР С. Н. Ефун) рассматривались вопросы о физиологических и патологических реакциях организма, различных органов и систем при ГБО, механизмах лечебного и токсического действия ГБО, фармакологической регуляции физиологических и патологических реакций, критериях адекватности режимов ГБО и их оптимизации на основе физиологических, биофизических и математических методов исследования.

Для оценки состояния организма в условиях ГБО и в качестве критериев адекватности гипоксической среды предлагается использовать интегральные показатели, характеризующие состояние важнейших функциональных систем, вариационную ин-

тервалокардиометрию, кислородные режимы организма, математические методы исследования с использованием ЭВМ и другие (Ж. М. Ваврик и соавт., Ивано-Франковск; М. Я. Ходас и соавт., А. Э. Ципис и соавт., М. А. Юшков и соавт., Москва; Г. Л. Ратнер, Л. П. Дровянникова, Куйбышев; И. Ф. Соколянский, Киев). Для определения эффективности и выбора режима ГБО при лечении больных с гнойной инфекцией используются бактериологическая экспресс-диагностика, оценка степени загрязнения раны, гистологические и гистохимические исследования, изучение центральной органной и периферической гемодинамики, полярографическое определение кислорода в тканях и другие показатели (В. Л. Лукич и соавт., Москва). По мнению А. В. Петрова и соавт. (Воронеж), критерии лечебного действия ГБО — ограничение альтеративных изменений тканей, клеток, субклеточных структур, оптимизация показателей характеризующих кровообращение в микросудистом русле, стимуляция компенсаторно-приспособительных процессов, а также реакций изменчивости в пределах физиологических границ за счет мобилизации физиологических и метаболических механизмов адаптации.

Важно отметить, что адекватность реакций организма на гипероксию осуществляется посредством регулирующих и пусковых влияний ЦНС. Необходимая перестройка указанных влияний достигается только при сохранении способности ЦНС поддерживать оптимальное для новых условий отношение уровней функционирования активирующей и деактивирующей системы головного мозга, что рассматривается в качестве физиологических резервов ЦНС. Их оценку в условиях гипероксии производили путем изучения динамики показателей, которые, во-первых, непосредственно отражают функциональное состояние ЦНС (различные виды медленной и быстрой биэлектрической активности мозга), во-вторых, характеризуют состояние регуляторных функций ЦНС (двигательные и вегетативные рефлексы, особенности сердечного ритма и дыхания).

тельных циклов и др.) и, в-третьи, характеризуют условия функционирования (внутричерепное кровенаполнение, насыщенный и локальный кровоток, насыщение кислорода и углекислого газа в крови). Согласно представленным результатам, наиболее ранний признак истощения патологических резервов ЦНС при гипертензии не отсутствие патологических сдвигов вектора наблюдаемых реакций, а практическая реализация этого принципа нозирования требует внедрения цессорной техники для обработки информации в реальном масштабе времени (А. И. Селивра, Ленинград).

Актуальное направление исследований - изучение механизмов лечебного действия ГБС на метаболические реакции кислородсвязывающих систем, посредством которых происходят изменения биоэнергетических, токсикационных и биосинтетических процессов в соответствии с потребностями организма в кислороде.

Так, А. И. Леонов (Воронеж) многолетних всесторонних экспериментальных исследований (шок, инфаркт кровопотеря, ишемия мозга; ГБО 50 мин) показал, что гипербарич лородная терапия оказывает влияние на механизмы сохранения таза большого организма. В механизмах энергетических реакций обнаружение скорости дыхания и активации фосфорилирования в митохондриях, активности АТФазы, митохондриальной креатинкиназы. Приведенных сеансах ГБО скорость синтетического фосфорилирования в митохондриях замедляется, что можно отнести к чистым проявлениям гипероксии. В динамической структуре механизма регуляции организма, мобилизующем влиянием ГБО, наибольшее значение имеют патологии, имеющие: стимуляция пролительной системы, устранение метаболического ацидоза и аммиачной интоксикации. Воздействие ГБО на «гипомозг» (ишемия, шок) активирует нейроны мочевины, глутамина, ГАМК. Под влиянием ГБО активируются механизмы биологического синтеза в эффекторных системах жизнеобеспечения, так и в системе нейрогуморализации; тем самым предотвращается повышение уровня ДНК и РНК в синаптических структурах, характерное для неврологических животных с различной этиологией патологий.

одновременно с гипоксиями
и гипоксиями мозга. Использование
гипоксии для выявления и ликвидации
патологических состояний ЦНС
имеет важное значение в диагностике и
лечении мозга.

**ПОЗИУМ
(СИГЕНЕАЦИИ)**

кардиометрию, кислородные режимы, математические методы испытания с использованием ЭВМ и др.

М. Ваврик и соавт., Ивано-Франко-Л. Я. Ходас и соавт., А. Э. Ципис и др., М. А. Юшков и соавт., Москва; автор, Л. П. Дровянникова, Куйбышев; Ф. Соколянский, Киев). Для определения эффективности и выбора режима лечения больных с гнойной инфекцией используются бактериологическая экспресс-диагностика, оценка степени загрязненности, гистологические и гистохимические исследования, изучение центральной и периферической гемодинамики, радиографическое определение кислорода и другие показатели (В. Л. Лукич, Москва). По мнению А. В. Петровского (Воронеж), критерии лечебного ГБО — ограничение альтераций тканей, клеток, субклеточных структур, оптимизация показателей, нарушающих кровообращение в миокарде, стимуляция компенсаторных процессов, а также изменчивости в пределах физических границ за счет мобилизации гомеостаза организма.

Отметить, что адекватность механизма на гипероксии осуществляется средством регулирующих и пусковых явлений ЦНС. Необходимая перестройка влияний достигается только при наличии способности ЦНС поддерживать оптимальное для новых условий от уровня функционирования активной и деактивирующей системы мозга, что рассматривается в кианологических резервов ЦНС. Их в условиях гипероксии производили изучения динамики показателей, в первых, непосредственно отражающие состояние ЦНС (различные медленной и быстрой биэлектрическости мозга), во вторых, характер состояния регуляторных функций вегетативные и вегетативные рефлексы сердечного ритма и дыхания.

тельных циклов и др.) и, в третьих, характеризуют условия функционирования мозга (внутричерепное кровенаполнение, регионарный и локальный кровоток, напряжение кислорода и углекислого газа в крови и мозге). Согласно представленным результатам, наиболее ранний признак истощения физиологических резервов ЦНС при гипероксии — не отсутствие патологических симптомов, а смена вектора наблюдаемых реакций. Практическая реализация этого принципа прогнозирования требует внедрения микропроцессорной техники для обработки текущей информации в реальном масштабе времени (А. И. Селивра, Ленинград).

Актуальное направление исследований механизмов лечебного действия ГБО — изучение метаболических реакций кислородзависимых систем, посредством которых реализуются изменения биоэнергетических, дезинтоксикационных и биосинтетических процессов в соответствии с потребностью клетки (организма) в кислороде.

Так, А. И. Леонов (Воронеж) на основе многолетних всесторонних экспериментальных исследований (шок, инфаркт миокарда, кровоточащие, ишемия мозга; ГБО — 3 ата, 50 мин) показал, что гипербарическая кислородная терапия оказывает адаптогенное влияние на механизмы сохранения гомеостаза больного организма. В механизмах биоэнергетических реакций обнаружено повышение скорости дыхания и активации фосфорилирования в митохондриях, усиление активности АТФазы, митохондриальной и цитозольной креатинкиназы. При множественных сеансах ГБО скорость окислительного фосфорилирования в митохондриях замедляется, что можно отнести к токсическим проявлениям гипероксигенации. В динамической структуре механизмов детоксикации организма, мобилизующихся под влиянием ГБО, наибольшее значение при патологии имеют: стимуляция противоокислительной системы, устранение метаболического ацидоза и аммиачной интоксикации. В антиоксидантских реакциях организма важную роль играют естественные антиоксиданты, в частности аминокислоты, содержащие соединения. Воздействие ГБО на «гипоксический» мозг (ишемия, шок) активирует образование мочевины, глутамина, глутамата, ГАМК. Под влиянием ГБО активируются механизмы биологического синтеза как в эффекторных системах жизнеобеспечения, так и в системе нейрогуморальной регуляции; тем самым предотвращается понижение уровня ДНК и РНК в субклеточных структурах, характерное для неоксигенированных животных с различной экспериментальной патологией.

В ряде работ с помощью клинико-лабораторного и биохимического комплекса исследований показано, что лечебное действие ГБО при инфекционной патологии различного генеза связано с улучшением кислородного снабжения тканей, ликвидацией гипоксического повреждения внутриклеточных систем, повышением антиоксидантной активности липидов, снижением процессов перекисного окисления липидов, активацией механизмов антиоксидантной системы защиты мембран, иммунокорригирующим и иммуностимулирующим эффектами (В. А. Лукич и соавт., Т. Г. Робустова и соавт., Москва; В. Е. Вольф, Л. А. Гасанова; Т. Н. Погорелова и соавт., Ростов-на-Дону).

Интерпретация механизмов лечебного действия ГБО затрудняется тем, что с одной стороны, ГБО способно вызывать усиление свободнорадикального перекисного окисления липидов (СПОЛ), обладающего повреждающим действием, а с другой стороны, оказывает благоприятное влияние на течение ряда болезней, сопровождающихся усилением СПОЛ. Этот кажущийся парадокс может быть объяснен с позиций гипотезы о так называемой «фаговой» функции свободных радикалов и перекисей, согласно которой активные радикалы и перекиси играют роль своеобразных вездесущих молекулярных «санитаров» (фагов), по-видимому, неспецифических, аналогичных клеточным фагоцитам, очищающим зону повреждения. При чрезмерном накоплении свободных радикалов и перекисей их действие выходит за пределы зоны повреждения, кроме того, под их влиянием образуется много токсических метаболитов, что ведет к расширению зоны альтерации. Помимо фагового действия, продукты СПОЛ могут обуславливать и ряд других полезных эффектов: а) нейтрализовать патогенное действие избытка катехоламинов (в частности, способность их больших доз вызывать отек легких), вероятно, отчасти за счет влияния на аденилатциклазный комплекс и др.; б) повышать в некоторой мере устойчивость к гипобарической гипоксии; в) стимулировать активность некоторых мембранных ферментов, в частности Са-АТФазы (при действии малых концентраций гидроперекисей); г) модулировать синтез простагландинов. Изложенные факты вместе с известными данными об увеличении доставки кислорода в условиях ГБО дают основание предположить, что умеренное усиление СПОЛ — компонент механизма лечебного действия ГБО. Вместе с тем ГБО целесообразно применять под прикрытием малых и умеренных доз антиоксидантов (А. Х. Коган и соавт.,

Москва). В этой связи большой интерес вызывает перспективное направление исследований — фармакологическая регуляция физиологических и патологических реакций, возникающих при воздействии на организм кислорода под повышенным давлением (Е. М. Мухин и соавт., Кишинев).

В заключительных выступлениях академик Б. В. Петровский и чл.-кор. АН СССР С. Н. Ефуни отметили, что дальнейшее внедрение ГБО в медицинскую практику сдерживается отсутствием научно обоснованного амбулаторного метода и методом выявления кислородной недостаточности.

(Лодыгин-Богданов А. А.) имел оценку многофункционального метода выявления кислородной недостаточности (Лодыгин-Богданов А. А., Лодыгин-Богданов А. А., Ефун С. Н. Тезисы конференции Академии наук СССР по проблемам медицины и физиологии горного воздуха и горного климата. Краснодар, 1985 г.).

НОВЫЕ КНИГИ ИЗДАТЕЛЬСТВА «НАУКОВА ДУМКА»

Березовский В. А., Дейнега В. Г. ФИЗИОЛОГИЧЕСКИЕ МЕХАНИЗМЫ САНОГЕННЫХ ЭФФЕКТОВ ГОРНОГО КЛИМАТА. — 16 л.—2 р. 70 к. План 1987 г.

В монографии рассмотрены основные физиологические механизмы, приводящие к перестройке общей неспецифической реактивности организма в условиях стимулирующего и лечебного действия пониженного парциального давления кислорода и комплекса факторов горного климата на центральную и вегетативную нервную системы, дыхание и кровообращение, биосинтез форменных элементов крови и ферментов. Сравнение экспериментальных данных с результатами клинических наблюдений позволило разработать практические рекомендации по терапевтическому применению дозированной гипоксии.

Для физиологов, патофизиологов, бальнеологов, пульмонологов, кардиологов и врачей широкого профиля.

Заказать это издание можно в магазине издательства «Наукова думка» (252001, Киев 1, ул. Кирова, 4), который высылает книги иногородним заказчикам наложенным платежом.

Индивидуальные покупатели должны оформлять заказы на почтовых открытках, где указывается автор и название книги, номер по плану, необходимое количество экземпляров и адрес, по которому должна быть отправлена заказанная литература. Организации и предприятия оформляют заказы гарантными письмами.

Прием предварительных заказов в магазине издательства прекращается за три месяца до выхода издания в свет.

Своевременное оформление заказов — гарантия приобретения заинтересованной Вами книги.

ванных показаний к его применению, техническими ошибками, компрометирующими метод, необходимостью подготовки грамотного медицинского и обслуживающего персонала. Была подчеркнута необходимость развития фундаментальных исследований по обоснованию лечебного и токсического действия ГБО. В принятой резолюции симпозиум наметил широкий круг вопросов, подлежащих решению в ближайшие годы.

И. И. Лаковенко

Лаковенко И. И. Повреждение апикальных нервов на условные рефлексы ядер таламуса кошки раздражения до и после у

Косицын Н. С., Сердюченко В. В. повреждения апикальных нервов на условные рефлексы Гаркавенко В. В., Гура Е. В., ядер таламуса кошки раздражения до и после у Талалаенко А. Н. Влияние нейротрансмиттеров на активность гладких мышц

Бурый В. А., Гурковская А. В., ма действия хлорацизина

Загороднюк В. П., Шуба М. Ф. дачу в гладких мышцах з

ловека Грайсман С. Д., Владимира Илиз в влияния серотонина на

Циркин В. И. Физиологические матки кролика

Сорокина З. А., Чижмаков Й. И. сином входящего натриево

Янчук П. И., Цыбенко В. А. Изменение продолжительности

Розова Е. В. Влияние условий организма при острой и хронической

Дозморов И. М. Система регуляции в опытах in vivo и in vitro

Зак К. П., Винницкая М. Л. Влияние ионных и стромальных элем

ентов на функции миокарда в

эпокарии с изменением

активности миокарда в

миокардии с изменением

СОДЕРЖАНИЕ

Косицын Н. С., Сердюченко В. М., Гетманцев С. В.	Влияние экспериментального повреждения апикальных дендритов пирамидных нейронов сенсомоторной коры на условные рефлексы разной степени сложности	385
Гаркавенко В. В., Гура Е. В., Лиманский Ю. П.	Активация нейронов медиальных ядер таламуса кошки раздражением различных групп волокон тройничного нерва	392
Великая Р. Р., Груздев Г. М.	Реакции нейронов неостриатума на звуковые сигналы с различной локализацией	397
Туркин В. В.	Реакции нейронов теменной ассоциативной коры кошки на тональные раздражения до и после удаления медиальных коленчатых тел	405
Талалаенко А. Н.	Влияние нейролептиков на эффекты самостимуляции вентрального тегментума	411
Бурый В. А., Гурковская А. В., Гокина Н. И., Шуба М. Ф.	Исследование механизма действия хлорацизина и стеноцирила на электрическую и сократительную активности гладких мышц воротной вены кролика	413
Загородников В. П., Шуба М. Ф.	Влияние 4-аминопиридина на синаптическую передачу в гладких мышцах желудочно-кишечного тракта морской свинки и человека	419
Грайсман С. Д., Владимирова И. А., Вовк Э. В., Черпак Б. Д.	Сравнительный анализ влияния серотонина на моторную функцию желудочно-кишечного тракта в опытах <i>in vivo</i> и <i>in vitro</i>	424
Циркун В. И.	Физиологические свойства гладких мышц влагалища, рога и шейки матки кролика	434
Сорокина З. А., Чижмаков И. В.	Зависимость процесса блокирования тетродотоксином входящего натриевого тока от содержания в среде ионов натрия	442
Янчук П. И., Цыбленко В. А.	Изменения печечно-кишечного кровообращения при раздражении продолговатого мозга	449
Розова Е. В.	Влияние условий среднегорья на развитие компенсаторных реакций организма при острой и хронической кровопотере с кровезамещением	455
Дозмиров И. М.	Система регуляции пролиферации стволовых клеток	461
Зак К. П., Винницкая М. Л.	Влияние адреналэктомии на ультраструктуру лимфоидных и стромальных элементов тимуса	466

Краткие сообщения

Охременко О. Р.	Приспособление зрительного аппарата в период освоения прецизионных трудовых операций	473
Верхратый А. Н.	Блокада ионами кадмия натриевых токов мембранных кардиомиоцитов	476
Кононко И. В.	Влияние препаратов тимуса на эффективность постvakцинального иммунитета при экспериментальном туберкулезе	478
Горчакова Л. А.	Особенности действия фенобарбитала на дыхательную активность митохондрий печени у крыс с различной устойчивостью к гипоксии	481
Бобровник С. А., Лященко К. П.	Основные закономерности адоптивного переноса иммунологической памяти к стафилококку интактным реципиентам	485
Покровская С. В., Шевченко А. В.	Функциональное состояние тучных клеток крыс после инъекций спленита	489
Березовский В. А., Сушко Б. С.	Влияние диет с различным содержанием насыщенных и ненасыщенных жирных кислот на диффузию кислорода в мышечной ткани	492
Макаренко Н. В., Трофимчук Г. Е.	Устройство ввода временных интервалов физиологических процессов для микро-ЭЦВМ «Электроника Д3-28»	495

Методики

Соколов С. Е.	Применение импедансометрии для исследования тканевого клиренса газов	499
---------------	--	-----

Информация

Лановенко И. И.	III Всесоюзный симпозиум по гипербарической оксигенации	502
-----------------	---	-----

оказаний к его применению, технико- ошибками, компрометирующими обходимостью подготовки грамот- и обслуживающего персонала. была подчеркнута необходимость фундаментальных исследований в области лечебного и токсического ГБО. В принятой резолюции сформулирован широкий круг вопросов,ящих решению в ближайшие годы.

И. И. Лановенко
Иногда под видом научных изысканий в области физиологии и химии организма вносятся в научную литературу результаты экспериментальных исследований, выполненных в чистом виде, без учета физиологических и клинических особенностей организма. Такие работы, как правило, не имеют практического применения и не могут быть рекомендованы для практического применения. Поэтому в дальнейшем необходимо уделить внимание изучению физиологических особенностей организма в различных условиях, чтобы лучше понять его функционирование и использовать его для практической деятельности.

МЕХАНИЗМЫ САНГОГЕННЫХ

ан 1987 г. Основные механизмы саногенности организма, в том числе механизмы, приводящие к генезу в условиях стимулированного давления кислорода и вегетативную нервную систему, элементов крови и ферментов клинических наблюдений по терапевтическому применению.

пульмонологов, кардиологов

и гастроэнтерологов

столичного издательства «Наукова думка» (252001

городним заказчикам наложены

заказы на почтовых открытках,

ану, необходимое количество

включена заказанная литература,

гийными письмами.

ельства прекращается за три

приобретения заинтересовав-

CONTENTS

<i>Kositsyn N. S., Serdyuchenko V. M., Getmantsev S. V.</i> The Effect of Experimental Damage of Apical Dendrites of the Pyramidal Neurons in the Sensorimotor Cortex on the Conditioned Reflexes of Different Degree of Complexity	385
<i>Garkavenko V. V., Gura E. V., Limansky Yu. P.</i> Activation of the Cat Thalamic Medial Nuclei Neurons by Stimulation of Different Groups of the Trigeminal Fibres	392
<i>Velikaya R. R., Gruzdev G. M.</i> Responses of Neostriatum Neurons to Sound Signals with Different Localization	397
<i>Turkin V. V.</i> Neuronal Responses of the Parietal Associative Cortex to Tonal Stimulations Before and After Ablation of Medial Geniculate Bodies in the Cat	405
<i>Talalaenko A. N.</i> Influence of Neuroleptics on the Effects of the Ventral Tegmentum Self-Stimulation	411
<i>Bury V. A., Gurkovskaya A. V., Gokina N. I., Shuba M. F.</i> Investigation of the Mechanism of Chloracizine and Stenopril Action on the Electrical and Contractile Activity of Smooth Muscles of the Rabbit Portal Vein	413
<i>Zogorodnyuk V. P., Shuba M. F.</i> The Influence of 4-Aminopyridine on the Synaptic Transmission in Smooth Muscles of the Human and Guinea-Pig Gastrointestinal Tract	419
<i>Groisman S. D., Vladimirova I. A., Vovk E. V., Cherpak B. D.</i> Comparative Analysis of the Serotonin Action on the Motor Function of the Gastrointestinal Tract in Experiments <i>in vivo</i> and <i>in vitro</i>	424
<i>Tsirkin V. I.</i> Physiological Properties of the Smooth Muscles in the Rabbit Vagina, Cornua and Cervix Uteri	434
<i>Sorokina Z. A., Chizhmakov I. V.</i> Dependence of the Tetrodotoxin Blocking of Input Sodium Current on the Content of Sodium Ions in the Medium	442
<i>Yanchuk P. I., Tsybenko V. A.</i> Changes of the Hepatic Circulation During Stimulation of the Medulla Oblongata	449
<i>Rozova E. V.</i> Effect of Middle Mountains on Development of Compensatory Reactions of the Organism Under Acute and Chronic Hemorrhage with Blood Substitution	455
<i>Dozmorov I. M.</i> The Regulation System of Stem Cells Proliferation	461
<i>Zak K. P., Vinnitskaya M. L.</i> Adrenalectomy Effect on the Ultrastructure of Thymic Lymphoid and Stromal Elements	466

Brief Notes

<i>Okhremenko O. R.</i> Adaptation of the Visual Apparatus in the Period of Mastering Precise Working Operations	473
<i>Verkratsky A. N.</i> Cadmium Ions Blockage of Sodium Currents in the Membrane of Isolated Cardiomyocytes	476
<i>Kononko I. V.</i> Influence of Thymus Preparations on the Efficiency of Postvaccinal Immunity in the Experimental Tuberculosis	478
<i>Gorchakova L. A.</i> Peculiarities of the Phenobarbital Action on the Respiratory Activity of Liver Mitochondria in Rats with Different Stability to Hypoxia	481
<i>Bobrovnik S. A., Lyashchenko K. P.</i> Main Regularities of Adoptive Transfer of the Antistaphylococcal Immunological Memory to Normal Recipients	485
<i>Pokrovskaya S. V., Shevchenko A. V.</i> Functional State of Mast Cells in Rats After Splenectomy	489
<i>Berezovsky V. A., Suchko B. S.</i> Influence of Diets with Different Content of Saturated and Unsaturated Fatty Acids on the Oxygen Diffusion Coefficients in Muscular Tissue	492
<i>Makarenko N. V., Trofimchuk T. E.</i> A Device for Input of Time Intervals of Physiological Processes for Microcomputer «Elektronika ДЗ-28»	495

Procedures

<i>Sokolov S. V.</i> Application of Impedancometry for Investigating Tissue Clearance of Gases	499
--	-----

Information

<i>Lanovenko I. I.</i> The Third Symposium on Hyperbaric Oxygenation	502
--	-----

УДК 591.88:591.481.1
Влияние экспериментальных нейронов пени сложности /
Физиол. журн.—1

Ультраструктура апикальных дендритов, пающие вследствие VPL, существенно животных, какой искусственный раздражитель быстрее восстанавливает не изменяет апикальный раздражатель сложных форм по-

УДК 612.826:612.1
Активация нейронов различных групп при Е. В., Лиманская 397.

В опытах на ответы нейронов волокон подглазничных ропов отвечали нейроны, отвечающие тягии А-б волокон, группы ответов, пределах 3—48 мкм верхнего клыка — новлена прямая ветви ответов, вызывая копороговых и Библиогр. 29.

УДК 612.826:612.5
Реакции нейронов на гипербарической оксигенацией / Велика № 4.— С. 397—40

На ненаркотике реагировать с характеристиками, которые его движения обладает чувством звука в пространстве, значительный признак сигнала может рассматриваться уточнение локализации

РЕФЕРАТЫ

The Effect of Experimental Lesions in the Sensorimotor Cortex of Complexity	385
of the Cat Thalamic Medial Groups of the Trigeminal	
Groups of the Trigeminal	392
Neurons to Sound Signals	397
ive Cortex to Tonal Stimulate Bodies in the Cat	405
of the Ventral Tegmentum	411
F. Investigation of the in the Electrical and Cont- Portal Vein	413
nopyridine on the Synaptic	
i Guinea-Pig Gastrointesti-	
19	419
B. D. Comparative Analy- on of the Gastrointestinal	
sles in the Rabbit Vagina,	424
odotoxin Blocking of Input	
the Medium	434
Circulation During Stimula-	
442	449
nt of Compensatory Reacti- orrhage with Blood Substi-	
455	461
Proliferation	466
ne Ultrastructure of Thymic	
in the Period of Mastering	473
Currents in the Membrane	476
Efficiency of Postvaccinal	478
on the Respiratory Acti-	
Stability to Hypoxia	481
of Adoptive Transfer of the	
Recipients	485
of Mast Cells in Rats After	
489	492
Different Content of Satura- ffusion Coefficients in Mus-	
of Time Intervals of Physio- Дз-28»	495
estigating Tissue Clearance	499
502	

УДК 591.88:591.481.1

Влияние экспериментального повреждения апикальных дендритов пирамидных нейронов сенсомоторной коры на условные рефлексы разной степени сложности / Косицын Н. С., Сердюченко В. М., Гетманцев С. В. // Физiol. журн.—1986.—32, № 4.—С. 385—391.

Ультраструктурные нарушения системы микротрубочек в цитоплазме апикальных дендритов пирамидных нейронов сенсомоторной коры, наступающие вследствие длительной высокочастотной электростимуляции ядра VPL, существенно отражаются на наиболее сложной форме поведения животных, какой в данном исследовании был инструментальный УР на искусственный раздражитель. Значительно меньше при этом страдает и быстрее восстанавливается инструментальный УР на обстановку. И совсем не изменяется наиболее простой инструментальный УР — на натуральный раздражитель. Следовательно, экспериментальное выключение апикальных дендритов пирамидных нейронов коры ведет к нарушению сложных форм поведения. Ил. 4. Табл. 1. Библиогр. 16.

УДК 612.826:612.1

Активация нейронов медиальных ядер таламуса кошки раздражением различных групп волокон тройничного нерва / Гаркавенко В. В., Гура Е. В., Лиманский Ю. П. // Физiol. журн.—1986.—32, № 4.—С. 392—397.

В опытах на кошках, наркотизированных хлоралозой, исследовали ответы нейронов медиальных ядер таламуса на стимуляцию A- α и A- δ волокон подглазничного нерва и пульпы зуба. 59 % исследованных нейронов отвечали на стимуляцию A- α волокон и пульпы зубы. 29 % нейронов отвечали только на стимуляцию A- α волокон, а 12 % — на стимуляцию A- δ волокон подглазничного нерва и пульпы зуба. Латентные периоды ответов, вызванных стимуляцией A- α волокон, колебались в пределах 3—48 мс, A- δ волокон подглазничного нерва — 4—64 мс, пульпы верхнего клыка — 7—58 мс, а пульпы нижнего клыка — 8—53 мс. Установлена прямая корреляционная зависимость между латентными периодами ответов, вызываемых в одних и тех же нейронах раздражением низкокорпоровых и высококорпоровых афферентов тройничного нерва. Ил. 3. Библиогр. 29.

УДК 612.826:612.85

Реакции нейронов неостриatum на звуковые сигналы с различной локализацией / Великая Р. Р., Груздев Г. М. // Физiol. журн.—1986.—32, № 4.—С. 397—405.

На ненаркотизированных кошках исследовали способность нейронов ХЯ реагировать на звуковые сигналы с различными пространственными характеристиками неподвижного источника звука и сигналы, имитирующие его движение. Обнаружено, что большинство исследованных нейронов обладает чувствительностью к определенному положению источника звука в пространстве и определенному направлению его движения. Отмечена значительная изменчивость реакций даже на тот же самый признак сигнала и появление их с различным латентным периодом, что может рассматриваться как дополнительный фактор, направленный на уточнение локализации звукового сигнала. Ил. 6. Библиогр. 22.

УДК 612.825—612.822.3

Реакции нейронов теменной ассоциативной коры кошки на тональные раздражения до и после удаления медиальных коленчатых тел / Туркин В. В. // Физиол. журн.—1986.—32, № 4.—С. 405—411.

В опытах на кошках, слабонаркотизированных хлоралозой (8—10 мг/кг внутривенно), изучали влияние удаления медиальных коленчатых тел (МКТ) на характер реакций нейронов теменной ассоциативной коры (ТАК), отвечающих на тоны различной частоты. Для 147 нейронов были построены частотно-пороговые кривые. Показано, что после удаления МКТ нейроны ТАК перестают проявлять частотную избирательность. Делается вывод, что отсутствие частотной избирательности исследованных нейронов связано с прекращениемafferентного потока вследствие удаления МКТ. Обсуждается вопрос о другом, более длительном пути поступления звуковых сигналов в ассоциативную кору. Ил. 5. Библиогр. 14.

УДК 612.73:612.33:61

Сравнительный и
дочно-кишечного
Владимирова И.
32, № 4.—С. 424

В исследовании вызывает возбуждение. В желудке возникает ритм ниже, чем желудку оказывает стимулирующее действие и несет тонкой кишечной нейронами Ауэрса возбуждающего катодами.

Возбуждающие
тонкого кишечника
пином и не устает
Табл. 1. Библиогр.

УДК 612.627.73]—0.8

Физиологические
кролика / Циркин

Изучали изо-
ных и циркуляр-
шеки (ПШ) и
срока, рожающ-
пах репродуктив-
во многом идентич-
ных кроликов хи-
нину, гистамину,
ном и ацетилхоли-
присходит снижение
утраты, возраста-
рецепторов (пере-
к гистамину и к
характерен эффект.

На всех этапах
СА и вызванной
цитоплом, гиста-
ПШ низкая. ПВ
лиевую контрактуру
СА у них визуально
адреналина; удаление
лиогр. 9.

УДК 577.37:577.352.4

Зависимость про-
вого тока от сол-
маков И. В. // Фи-

На изолированных
ловиях фиксации
влияние наружного
блокирования ТТ и
и кинетические ха-
Независимые изме-
блокирования при
зависимости концен-
ружной концентрации
конкуренции между
аргументами, показаны
посредством иссле-
изолированными и
обусловлены специ-
патриевых каналов.

УДК 612.73:612.014.42:611.149:615.225.2

Исследование механизма действия хлорацизина и стеноприла на электрическую и сократительную активности гладких мышц воротной вены кролика / Бурый В. А., Гурковская А. В., Гокина Н. И., Шуба М. Ф. // Физиол. журн.—1986.—32, № 4.—С. 413—419.

Хлорацизин (производное фенотиазина) и стеноприл эффективно снижали уровень тетанического тонуса мышечных полосок несмотря на то, что частота спонтанных потенциалов действия (ПД) при этом увеличивалась. Четвертичные аммониевые производные хлорацизина и стеноприла, которые не могут проникать через мембранные, также увеличивали частоту спонтанных ПД, однако, последующего снижения тонуса не вызывали.

Учитывая сходство действия хлорацизина и стеноприла, и тот факт, что фенотиазины — эффективные антиагонисты кальмодулина, предполагается, что сосудорасширяющее действие этих веществ связано с внутриклеточным угнетением кальмодулин-зависимой активации сократительных белков. Ил. 4. Библиогр. 11.

УДК 612.73:612.014.42

Влияние 4-аминопиридина на синаптическую передачу в гладких мышцах желудочно-кишечного тракта морской свинки и человека / Загороднюк В. П., Шуба М. Ф. // Физиол. журн.—1986.—32, № 4.—С. 419—424.

С помощью модифицированного метода одинарного сахарозного мостика исследовали влияние 4-аминопиридина (4-АП) на холинергические возбуждающие и неадренергические тормозящие синаптические потенциалы. 4-АП повышает эффективность возбуждающей холинергической и тормозящей неадренергической синаптической передачи вследствие увеличения высвобождения медиаторов в ответ на интрамуральную стимуляцию, а также увеличивает спонтанное выделение передатчиков, действующих на интрамуральные нервные образования, находящиеся в толще мышечной полоски. Ил. 4. Библиогр. 18.

УДК 612.73:612.33:616—003.725

Сравнительный анализ влияния серотонина на моторную функцию желудочно-кишечного тракта в опытах *in vivo* и *in vitro* / Грайсман С. Д., Владимирова И. А., Вовк Э. В., Черпак Б. Д. // Физиол. журн.— 1986.— 32, № 4.— С. 424—434.

В исследованиях на бодрствующих собаках показано, что серотонин вызывает возбуждение моторной активности желудка и тонкой кишки. В желудке возникают перистальтические сокращения, в кишке — преимущественно ритмическая сегментация. Порог возбудимости тонкой кишки ниже, чем желудка. Фармакологический анализ показал, что серотонин оказывает стимулирующее влияние на моторику желудка и тонкой кишки непосредственно в результате возбуждения структур Ауэрбаховского сплетения и непосредственно, воздействуя на гладкие мышцы желудка и тонкой кишки. Опосредованная реакция реализуется через высвобождение нейронами Ауэрбаховского сплетения ацетилхолина и, возможно, другого возбуждающего медиатора, эффект которого устраняется α -адреноблокаторами.

Возбуждающее действие серотонина на изолированные гладкие мышцы тонкого кишечника человека уменьшалось *M*-холиноблокатором атропином и не устранилось *H*-холино- и α -, β -адреноблокаторами. Ил. 4. Табл. 1. Библиогр. 26.

УДК 612.627.73]—0.83

Физиологические свойства гладких мышц влагалища, рога и шейки матки кролика / Циркин В. И. // Физиол. журн.— 1986.— 32, № 4.— С. 434—442.

Изучали изометрическую сократительную активность (СА) продольных и циркулярных полосок рога матки (ПРМ), циркулярных полосок шейки (ПШ) и влагалища (ПВ) небеременных, беременных (различные сроки), рожающих и родивших кроликов. Установлено, что на всех этапах репродуктивного цикла свойства продольных и циркулярных ПРМ во многом идентичны, но отличаются от ПШ и ПВ. Для ПРМ небеременных кроликов характерно наличие автоматии, рефрактерность к серотонину, гистамину, окситоцину $\text{PGF}_2\alpha$ PGE_2 . Их СА усиливается адреналином и ацетилхолином и ингибируется орципреналином. При беременности происходит снижение автоматии, а за 1—2 сут до родов — полная ее утрата, возрастает удельная сократимость, повышается число β -адренорецепторов (перед родами оно снижается), появляется чувствительность к гистамину и к окситоцину. Для стимулирующего влияния окситоцина характерен эффект последействия.

На всех этапах репродуктивного цикла ПШ способны к спонтанной СА и вызванной ацетилхолином и адреналином (но не серотонином, окситоцином, гистамином, $\text{TFG}_2\alpha$ и PGE_2) СА; удельная сократимость у ПШ низкая. ПВ не способны к автоматии, не развивают типичную калиевую контрактуру и рефрактерны ко многим стимуляторам СА. Фазная СА у них визникует лишь при действии гиперкалиевого раствора или адреналина; удельная сократимость у ПВ — высокая. Ил. 3. Табл. 3. Библиогр. 9.

УДК 577.37:577.352.4.5:591.044.2:612.819

Зависимость процесса блокирования тетродотоксином входящего натриевого тока от содержания в среде ионов натрия / Сорокина З. А., Чижиков И. В. // Физиол. журн.— 1986.— 32, № 4.— С. 442—448.

На изолированных нервных клетках спинальных ганглиев крыс в условиях фиксации потенциала и внутреклеточной перфузии исследовали влияние наружной концентрации ионов натрия на параметры процесса блокирования TTX входящего натриевого тока. Изучали стационарные и кинетические характеристики связывания TTX с натриевыми каналами. Независимые измерения констант скоростей прямой и обратной реакций блокирования при различных концентрациях ионов натрия показали независимость константы диссоциации K_d комплекса токсин—канал, от наружной концентрации ионов натрия, что свидетельствует об отсутствии конкуренции между TTX и Na^+ за один связывающий центр. Приводятся аргументы, показывающие, что альтернативные результаты, полученные посредством исследования связывания меченых препаратов токсинов с изолированными мембранными фракциями различных тканей, могут быть обусловлены специфическими изменениями конформационного состояния натриевых каналов. Ил. 3. Библиогр. 34.

Изменения печечно-кровообращения при раздражении продолговатого мозга / Янчук П. И., Цыбенко В. А. // Физиол. журн.— 1986.— 32, № 4.— С. 449—455.

В острых опытах на собаках под нембуталовым наркозом регистрировали давление в сонной артерии, воротной и задней полой венах, записывали объемную скорость кровотока в печечной артерии и воротной вене, а также кровенаполнение печени. Раздражение различных структур продолговатого мозга (ядро солитарного тракта и ретикулярные ядра) наряду с выраженным сдвигами системного артериального давления вызывало значительные изменения сопротивления брыжеечных сосудов и более слабые — внутрипечечных артериальных и воротных сосудов, а также небольшие изменения кровенаполнения печени. Вазомоторные структуры продолговатого мозга влияют на резистивные и емкостные сосуды печени меньше, чем на сосуды сопротивления желудочно-кишечного тракта и некоторых других органов. Ил. 4. Табл. 1. Библиогр. 12.

Изменения печечно-кровообращения при раздражении продолговатого мозга / Янчук П. И., Цыбенко В. А. // Физиол. журн.— 32, № 4.— С. 449—455.

Влияние среднегорья на развитие компенсаторных реакций организма при острой и хронической дозированной кровопотере с кровезамещением / Розова Е. В. // Физиол. журн.— 1986.— 32, № 4.— С. 455—460.

Исследовали развитие гипоксического состояния при хронической и острой кровопотере, составляющей 10—15 и 25—30 % общего объема циркулирующей крови с последующим замещением объема крови кровезаменителем гексосеном у крыс в условиях среднегорья (высота 2100 м над уровнем моря). Воздействие среднегорья на течение острой кровопотери можно рассматривать как положительное, так как в этом случае истинное гипоксическое состояние (за счет гемического компонента) практически не развивалось. При хронической кровопотере развивается выраженное гипоксическое состояние с наличием гемического, циркуляторного и гипоксического компонентов, что в итоге приводит к истощению компенсаторных возможностей организма. Ил. 4. Библиогр. 16.

Изменение кровообращения у крыс при хроническом кровопотерии с кровезамещением / Дозморов И. М. // Физиол. журн.— 1986.— 32, № 4.— С. 461—466.

Установлено, что эффекты взаимодействия лимфоцитов мыши с аллогенными стволовыми клетками определяются количественными соотношениями взаимодействующих элементов. Т-лимфоциты при вариации количества оказывают стимулирующее-инактивирующее действие, а В-лимфоциты играют роль клеток-регуляторов и при различных соотношениях со стволовыми клетками производят хелперно-супрессорное действие. Предложена кибернетическая схема регуляции пролиферации стволовых клеток организма аутореактивными клонами лимфоцитов, в которой эффективным звеном являются Т-лимфоциты, а контролирующую функцию исполняют В-лимфоциты. Ил. 5. Библиогр. 21.

УДК 611—018.2.428.438:616.451—089.87

БИБЛИОГРАФИЧЕСКАЯ КНИГА

Влияние адреналэктомии на ультраструктуру лимфоидных и стромальных элементов тимуса / Зак К. П., Винницкая М. Л. // Физиол. журн.— 1986.— 32, № 4.— С. 466—472.

Проведено электронно-микроскопическое исследование различных видов лимфоидных и стромальных элементов, а также клеточных комплексов тимуса у адреналэктомированных мышей линии СВА. Через 7 и 14 сут после удаления надпочечников в корковом и мозговом слоях вилочковой железы увеличивается число плотно расположенных лимфоцитов, особенно лимфобластов. В светлых звездчатых эпителиальных клетках и в ретикулярных клетках функциональных комплексах — «клетках-няньках» — возрастает число осмиофильных гранул. Появляются клетки, содержащие ядра с извилистыми контурами и большим числом ядерных пор, в цитоплазме этих клеток электронноплотные гранулы различного размера и формы образуют целые скопления. Отмечаются явления вакуолизации. Эти и другие субмикроскопические изменения указывают на существенную роль микроокружения в механизме пролиферации и дифференцировки тимоцитов при недостатке кортикостероидов, а также на нарушение секреторной функции тимуса. Ил. 4. Библиогр. 15.

Приспособление трудовых операций /

С. 473—475.

Исследование выполнения рабочих связанных с рабочими, осваивающими период адаптации, нарушаются естественные близлежащие ткани зрителем дотворчения аспекта комплекса массаж, упражнение Библиогр. 15.

УДК 612.17

Блокада натриевыми катионами / Верес С. 476—478.

Приведены данные о мембранных ионных каналах, использованных для расчета на Библиогр. 9.

УДК 615.357:612.017.1

Влияние препарата никотина при экспериментальном инфаркте миокарда /

Журн.— 1986.— 32.

Изучено влияние никотина на развитие экспериментальных явлений, установлены данные, свидетельствующие о том, что никотин способствует формированию их, стимулируя также на Еретельно влияние на пристрастия массы орг. 16.

УДК 612.26+577.15.04

Особенности действия никотина на печень у крыс /

Л. А. // Физиол.

Определяли рост крыс с различной интенсивностью высокого некоторым параметрами ферментной активности в тканях печени у крыс характерна токсичность никотина.

УДК 615.371:579.861.2

Основные закономерности стафилококку /

К. П. // Физиол.

Опыты по адаптации СВА, BALB к активности к КАС цитофильный феномен в сингене, но и увеличение иммунитета более эффективен. Стимулирующая активность дозы никотиновых гранул, трансплантирующих способность интервала интактным сингене

УДК 612.6

Приспособление зрительного аппарата в период освоения прецизионных трудовых операций / Охременко О. Р. // Физiol. журн.— 1986.— 32, № 4.— С. 473—475.

Исследование функционального состояния зрительной системы при выполнении работ высокой точности — база для разработки вопросов, связанных с рационализацией условий труда и обучения. Исследование лиц, осваивающих прецизионные трудовые операции показало, что в период адаптации происходит изменение объема относительной аккомодации, нарушается соотношение ее частей, развивается эзофория, удаляется ближайшая точка конвергенции. Эти изменения приводят к развитию зрительного утомления, снижению нормы выработки. С целью предотвращения астенопических явлений разработан и введен в учебный процесс комплекс профилактических мероприятий: зрительная гимнастика, массаж, упражнения по тренировке аккомодационной мышцы. Табл. 1. Библиогр. 15.

УДК 612.17

Блокада натриевых токов мембранны изолированных кардиомиоцитов ионами кадмия / Верхратский А. Н. // Физiol. журн.— 1986.— 32, № 4.— С. 476—478.

Приведены данные о том, что ионы кадмия блокируют не только кальциевую, но и натриевую проводимость мембранны изолированных кардиомиоцитов. Предполагается неспецифическое действие кадмия на трансмембранны ионные токи в клетках миокарда и считается нецелесообразным использование Cd^{2+} в качестве фармакологического инструмента, рассчитанного на избирательную блокаду кальциевых каналов. Ил. 1. Библиогр. 9.

УДК 615.357:612.017.11:616.24—002.5—092.9

Влияние препаратов тимуса на эффективность поствакцинального иммунитета при экспериментальном туберкулезе / Кононко И. В. // Физiol. журн.— 1986.— 32, № 4.— С. 478—481.

Изучено влияние тимозина и лимфоцитостимулирующего вещества на развитие экспериментального поствакцинального иммунитета. Представлены данные исследований на 80 морских свинках, которые свидетельствуют о том, что препараты тимуса не проявляют угнетающего действия на формирование противотуберкулезного иммунитета. Было выявлено их стимулирующее воздействие в основном на антителообразование, а также — на Е-розеткообразование в тимусе. Препараты тимуса положительно влияли на общее состояние животных, способствуя увеличению прироста массы и задержке развития инфекционного процесса. Библиогр. 16.

УДК 612.26+577.15.049

Особенности действия фенобарбитала на дыхательную активность митохондрий печени у крыс с различной устойчивостью к гипоксии / Горчакова Л. А. // Физiol. журн.— 1986.— 32, № 4.— С. 481—485.

Определяли реактивность дыхательной цепи митохондрий печени у крыс с различной устойчивостью к гипоксии на введение фенобарбитала. Интактные высоко- и низкоустойчивые к гипоксии крысы различаются по некоторым параметрам дыхательной активности, в частности по активности ферментной системы митохондрий. Для высокоустойчивых к гипоксии крыс характерна более выраженная реактивность дыхательной цепи митохондрий печени при введении фенобарбитала по сравнению с низкоустойчивыми к гипоксии животными. Ил. 1. Табл. 1. Библиогр. 12.

УДК 615.371:579.861.2

Основные закономерности адаптивного переноса иммунологической памяти к стафилококку интактным реципиентам / Бобровник С. А., Лященко К. П. // Физiol. журн.— 1986.— 32, № 4.— С. 485—488.

Опыты по адаптивному переносу иммунологической памяти у мышей линий СВА, BALB/c, C57BL/6 C3H показали, что повышение иммунореактивности к КАС у реципиентов иммунных спленоцитов — не линееспецифический феномен. При трансплантации приморванных КС не только в сингенной, но и в полуаллогенной системе наблюдалось достоверное увеличение иммунного ответа. Внутривенное приморвание доноров клеток более эффективно по сравнению с внутрибрюшинной иммунизацией. Стимулирующая активность иммунных спленоцитов повышается по мере увеличения дозы КАС, введенной донором, числа приморванных спленоцитов, трансплантированных интактным сингенным реципиентом. Стимулирующая способность иммунных КС возрастала с увеличением длительности интервала между иммунизацией доноров клеток и их введением интактным сингенным реципиентом. Ил. 4. Библиогр. 8.

УДК 612.218.3.015.44:616.155.36

Функциональное состояние тучных клеток крыс после инъекции спленина / Покровская С. В., Шевченко А. В. // Физиол. журн. — 1986. — 32, № 4. — С. 489—492.

В эксперименте на крысах установлено, что парентеральное введение спленина в течение 7 сут существенно снижает общее содержание гистамина в изолированных и инкубированных тучных клетках этих животных. Вместе с тем реакция тучных клеток *in vitro* на действие специфического либератора гистамина — вещества 48/80 — остается ненарушенной: процент высвобождения гистамина по отношению к общему его содержанию в соответствующих порциях клеток у опытных животных не отличается от такового у контрольных. Однако абсолютная масса высвободившегося медиатора в пересчете на миллион тучных клеток достоверно ниже у животных, получавших спленин. Вывод: ингибирующее влияние спленина на развитие гиперчувствительности немедленного типа связано с его гистаминвысвобождающими нецитотоксическими свойствами. Ил. 1. Библиогр. 12.

УДК 612.261

Влияние диет с различным содержанием насыщенных и ненасыщенных жирных кислот на коэффициенты диффузии кислорода в мышечной ткани / Березовский В. А., Сушко Б. С. // Физиол. журн. — 1986. — 32, № 4. — С. 492—495.

Поляграфически, методом автоматического формирования, регистрации и анализа броскового тока на платиновом электроде оценены коэффициенты диффузии кислорода в скелетных мышцах белых лабораторных крыс, находившихся под уретан-хлоролозным наркозом. Для контрольной группы животных (K) среднегрупповое значение коэффициента диффузии составило $(4,0 \pm 1,0) \cdot 10^{-8} \text{ см}^2 \cdot \text{s}^{-1}$. Для двух других групп животных, которые в течение 2—3 нед получали в качестве добавок к основному пищевому рациону насыщенные (C) и ненасыщенные (M) растительные жиры, обнаружено возрастание среднегруппового коэффициента диффузии O_2 до $(4,7 \pm 0,8) \cdot 10^{-8} \text{ см}^2 \cdot \text{s}^{-1}$ (C) и $(7,1 \pm 0,9) \cdot 10^{-8} \text{ см}^2 \cdot \text{s}^{-1}$ (M). Достоверное возрастание коэффициента диффузии наблюдалось в группе животных, получавших ненасыщенные растительные жиры. Большим коэффициентам диффузии соответствовали большие значения напряжения кислорода. Полученные данные позволяют говорить о том, что эффективные коэффициенты диффузии кислорода в тканях не являются константой, а могут меняться в зависимости от внешних воздействий. Ил. 1. Библиогр. 7.

УДК 613.6:612.172.2.08

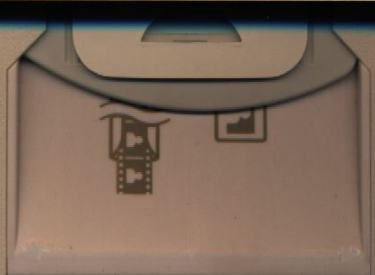
Устройство ввода временных интервалов физиологических процессов для микро-ЭЦВМ «Электроника Д3-28» / Макаренко Н. В., Трофимчук Г. Е. // Физиол. журн. — 1986. — 32, № 4. — С. 495—498.

Разработано устройство и соответствующее программное обеспечение для ввода временных параметров физиологических процессов в микро-ЭЦВМ «Электроника Д3-28». Ввод информации возможен непосредственно во время исследования и с промежуточной записью на магнитный накопитель. Преобразователь использовался для ввода в микро-ЭЦВМ временных значений R—R-интервалов ЭКГ человека. Ил. 2. Библиогр. 1.

УДК 615.47:615.456

Применение импедансометрии для исследования тканевого клиренса газов / Соколов С. Е. // Физиол. журн. — 1986. — 32, № 4. — С. 499—501.

Описаны метод и установка для изучения тканевого клиренса газов по изменению электрического импеданса биологической ткани. Приведены результаты апробации метода. Обсуждается преимущество метода перед известными. Библиогр. 7.



ле инъекции сплени-
журн., 1986.— 32,

арентеральное введение
щее содержание ги-
клетках этих живот-
на действие специфи-
остается ненарушен-
нию к общему его
опытных животных
о абсолютная масса
тиных клеток дос-
ывод: ингибирующее
и немедленного типа
клическими свойства-

ых и насыщенных
да в мышечной тка-
— 1986.— 32, № 4.—

мирования, регистра-
троде оценены коэф-
фиках белых лаборатор-
аркозом. Для конт-
чение коэффициента
ух других групп жи-
чество добавок к ос-
асыщенные (M) рас-
7,1±0,9). $\cdot 10^{-6}$ см $^2\cdot$ с $^{-1}$
узии наблюдалось в
гельные жиры. Боль-
льшие значения нап-
говорить о том, что
тканях не являются
внешних воздействий.

ических процессов для
Трофимчук Г. Е. //

граммное обеспечение
процессов в микро-
можен непосредствен-
ью на магнитный на-
в микро-ЭЦВМ вре-
Ил. 2. Библиогр. 1. и
этого контрактора от
под руководством энци-
ли новых способов
аневого клиренса га-
4.— С. 499—501.

евого клиренса газов
ой ткани. Приведены
щество метода перед

1 р. 40 к.

74523

НАУКОВА ДУМКА

Физiol. журн.— 1986.— Т. 32, № 4.— С. 385—512

